

PROYECTO ARQUEOLÓGICO BUSILJÁ-CHOCOLJÁ



2016

INFORME DE LA SÉPTIMA TEMPORADA DE INVESTIGACIÓN PRESENTADO ANTE EL CONSEJO DE ARQUEOLOGÍA DEL INSTITUTO NACIONAL DE ANTROPOLOGÍA E HISTORIA

EDITADO POR WHITTAKER SCHRODER, CHARLES GOLDEN Y ANDREW K. SCHERER

PROYECTO APOYADO Y FINANCIADO POR:
UNIVERSIDAD DE BROWN, UNIVERSIDAD DE BRANDEIS,
UNIVERSIDAD DE HARVARD, UNIVERSIDAD AUTÓNOMA DE YUCATÁN
UNIVERSIDAD DE PENNSYLVANIA
LA UNIVERSIDAD DE CIENCIAS Y ARTES DE CHIAPAS



PERSONAL TÉCNICO 2016

CHARLES GOLDEN
Universidad de Brandeis
Waltham, Massachusetts, Estados Unidos de América
cgolden@brandeis.edu

ANDREW K. SCHERER
Universidad de Brown
Providence, Rhode Island, Estados Unidos de América
akscherer@gmail.com

WHITTAKER SCHRODER
Universidad de Pennsylvania
Philadelphia, Pennsylvania, Estados Unidos de América
wschro@sas.upenn.edu

SOCORRO DEL PILAR JIMÉNEZ ALVAREZ
Universidad Autónoma de Yucatán
Mérida, Yucatán, México
sdpjimenez@yahoo.com.mx

CONTENIDO

| | |
|---|-----|
| CAPÍTULO 1. INTRODUCCIÓN..... | 1 |
| CAPÍTULO 2. EL INFIERNITO: INVESTIGACIONES ARQUEOLÓGICAS..... | 9 |
| CAPÍTULO 3. RANCHO NUEVO: RECONOCIMIENTO Y LEVANTAMIENTO PRELIMINAR..... | 94 |
| CAPÍTULO 4. RECONOCIMIENTO ARQUEOLÓGICO EN NUEVO FRANCISCO LEON Y NUEVO GUERRERO, OCOSINGO..... | 107 |
| CAPÍTULO 5. RECONOCIMIENTO ARQUEOLÓGICO EN NUEVA ESPERANZA PROGRESISTA, MARGARITA MAZA DE JUÁREZ, Y RÍO OSUMACINTA, PALENQUE..... | 124 |
| CAPÍTULO 6. CLASIFICACIÓN MÚLTIPLE DE LA CERÁMICA DEL GRUPO PRINCIPAL DE LA SELVA..... | 152 |
| CAPÍTULO 7. CONCLUSIONES..... | 188 |
| APÉNDICE 1. PESOS DE MATERIALES EXCAVADOS DEL SITIO EL INFIERNITO, TEMPORADA 2016..... | 195 |
| APÉNDICE 2. TABLAS DE LA CLASIFICACIÓN MÚLTIPLE DE CERÁMICA DEL SITIO LA SELVA, 2015..... | 202 |



CAPÍTULO 1

INTRODUCCIÓN

Charles Golden y Andrew K. Scherer

Desde el 20 de abril de 2016 hasta el 31 de agosto del mismo año, con la colaboración de los oficiales del INAH y los miembros de las comunidades locales, los arqueólogos del Proyecto Arqueológico Busiljá-Chocoljá (PABC) realizaron su séptima temporada de campo y laboratorio. Las investigaciones realizadas incluyeron el reconocimiento del asentamiento Clásico en las comunidades de Nueva Esperanza Progresista, Margarita Maza de Juárez, Río Osumacinta (del municipio de Palenque), y La Selva, Nuevo Guerrero, y Lacanjá Tzeltal (del municipio de Ocosingo), en el oriente de Chiapas, en la zona del río Usumacinta y la frontera con Guatemala (Figuras 1.1-1.8). Tales investigaciones se enfocaron mayormente en el levantamiento y las excavaciones en el sitio El Infiernito, reportado el año pasado (Figura 1.6). Además, se empezó en 2016 con el análisis de los materiales de cerámica recuperados en las excavaciones del sitio arqueológico La Selva el año pasado (Figura 1.8).

Los límites de la investigación, según la propuesta aprobada por el Consejo de Arqueología, tiene las esquinas aproximadas de: 17° 8' 45" N y 91° 36' 13" O (noroeste), 17° 10' 40" N y 91° 20' 54" O (noreste), 16° 50' 42" N y 91° 17' 53" O (sudoeste), 16° 58' 38" N y 91° 07' 12" O. Esta zona de investigación está delimitada al oeste por el valle del río Santo Domingo, donde está ubicado el pueblo del mismo nombre, y al este por el río Usumacinta y la frontera actual con Guatemala. La zona incluye tres sitios arqueológicos identificados por investigaciones anteriores: La Mar, Budsilhá, y El Cayo. Además la zona incluye varios sitios reportados por Charles Golden y Andrew Scherer desde la primera temporada de campo preliminar en febrero de 2010, de los cuales Rancho Búfalo, Flores Magón, Laguna Oscura, y Uch Chan son los más grandes (Golden y Scherer 2010). El proyecto siguió en 2015 con reconocimiento de asentamiento en las colonias Nueva Esperanza Progresista y Nuevo Guerrero y en los ejidos La Selva y Lacanjá Tzeltal (Golden y Scherer 2011; Scherer y Golden 2012; Scherer, Golden, y Dobereiner 2013; Schroder, Dobereiner, Golden, y Scherer 2014; Schroder, Golden, y Scherer 2015). Los objetivos de la séptima temporada de investigación eran los siguientes:

- 1) Establecer la cronología del asentamiento en la región de estudio.

- 2) Entender el comercio entre los sitios y la economía antigua.
- 3) Conocer los patrones de asentamiento, desde el nivel campesino hasta el de la élite de la nobleza.
- 4) Determinar las relaciones espaciales entre los sitios, especialmente en relación con las fronteras políticas antiguas entre reinos distintos.
- 5) Entender la relación entre el paisaje y los patrones de asentamiento.
- 6) Conocer los patrones de agricultura antigua que proporcionaron los medios de subsistencia necesarios para mantener las capitales del mundo maya, como Piedras Negras.
- 7) Comenzar a delimitar las fronteras de las entidades políticas como Piedras Negras y sus reinos vecinos, esto a través del reconocimiento arqueológico en la zona de La Mar, Budilha y otros sitios vecinos, el levantamiento preliminar de sitios arqueológicos, excavaciones menores con el objeto de fechar los sitios y ubicarlos dentro de las esferas cerámicas de la región, y el análisis de los asentamientos antiguos con un Sistema de Información Geográfica (SIG).

En los capítulos siguientes, los arqueólogos responsables de los estudios de campo y laboratorio presentan los resultados de su trabajo.



Figura 1.1 Mapa político actual.



Figura 1.2 Imagen de Google Earth de la región mayor mostrando sitios arqueológicos, ciudades actuales y rutas de costos mínimos de transporte peatonal (líneas rojas) (mapa por C. Golden).

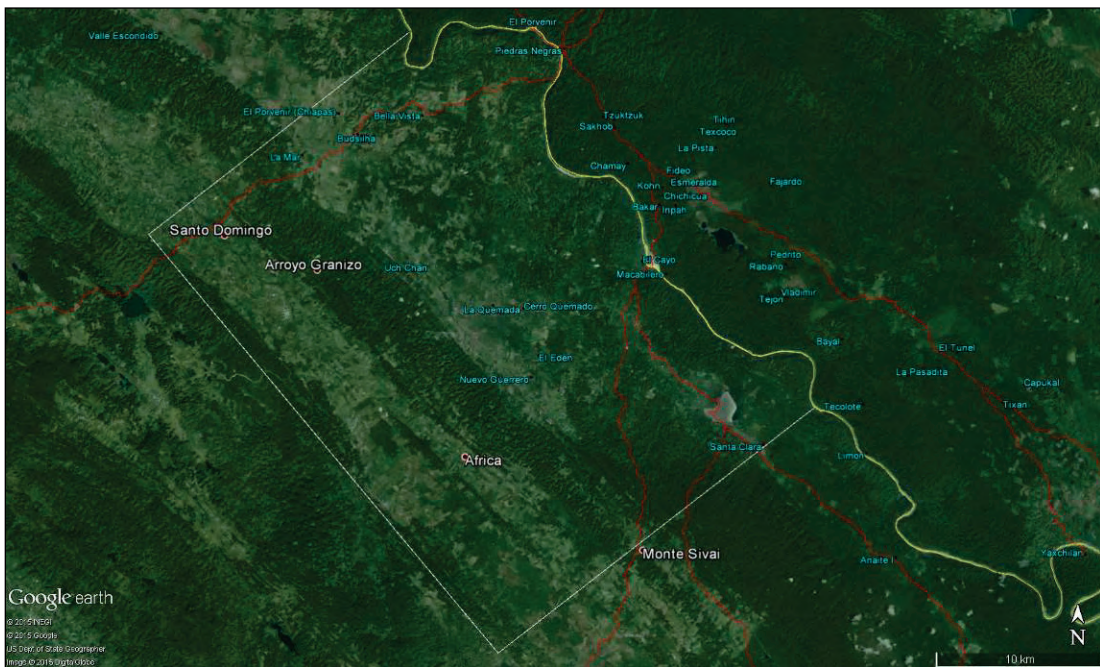


Figura 1.3 Imagen de Google Earth de la región del estudio mostrando sitios identificados, el polígono de investigación (cuadrilateral blanco) y rutas de costos mínimos de transporte (líneas rojas) (mapa por C. Golden).

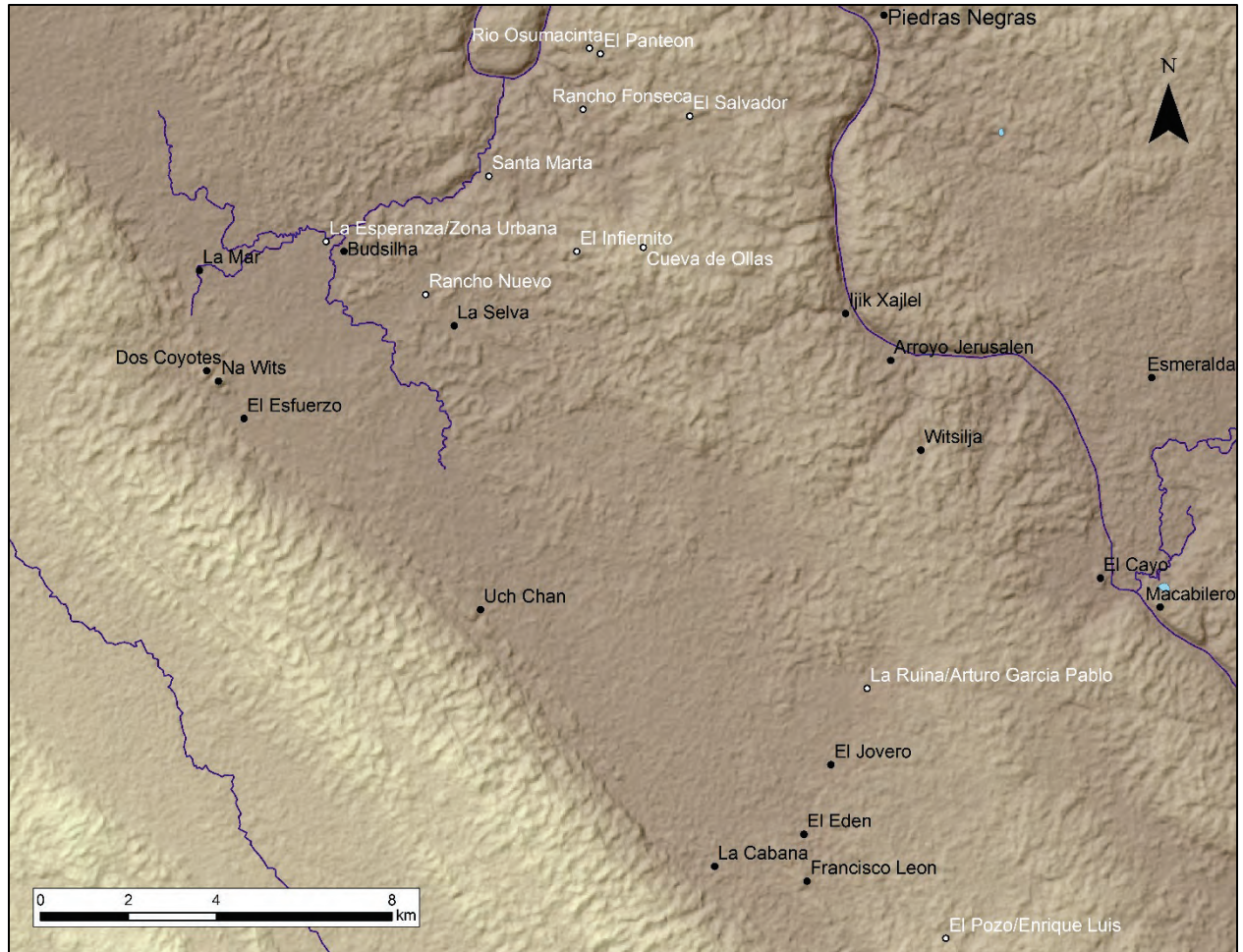


Figura 1.5 Mapa de la región mostrando sitios examinados durante la temporada 2016 en color blanco (mapa por W. Schroder).

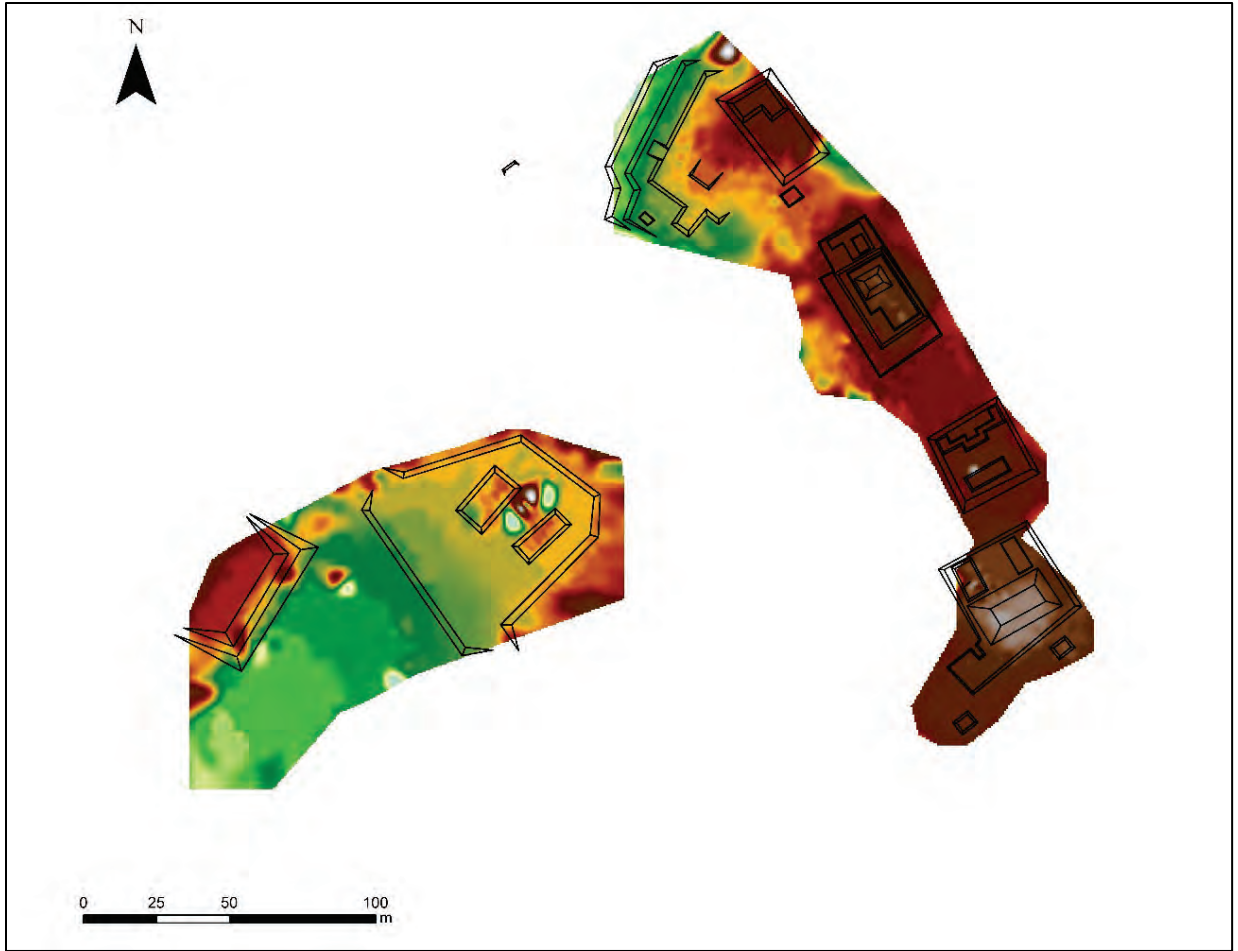


Figura 1.6 Mapa de El Infiernito, Chiapas, México, 2016 (por W. Schroder, Y. Cabrera, y C. Medina).

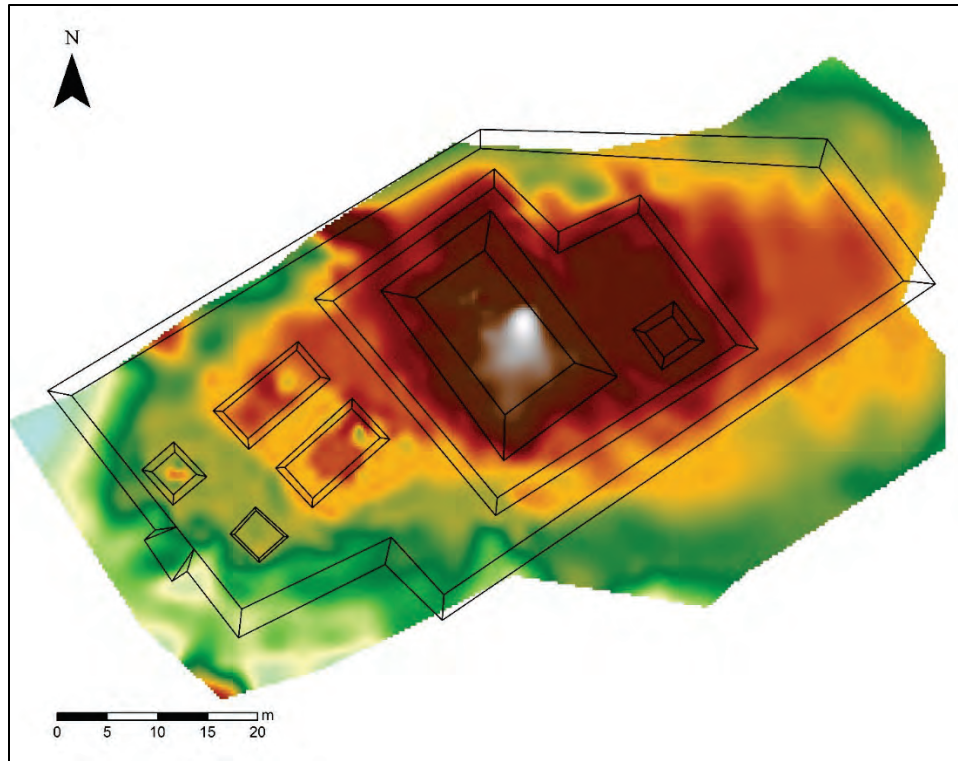


Figura 1.7 Mapa de Rancho Nuevo, Chiapas, México, 2016 (por W. Schroder).

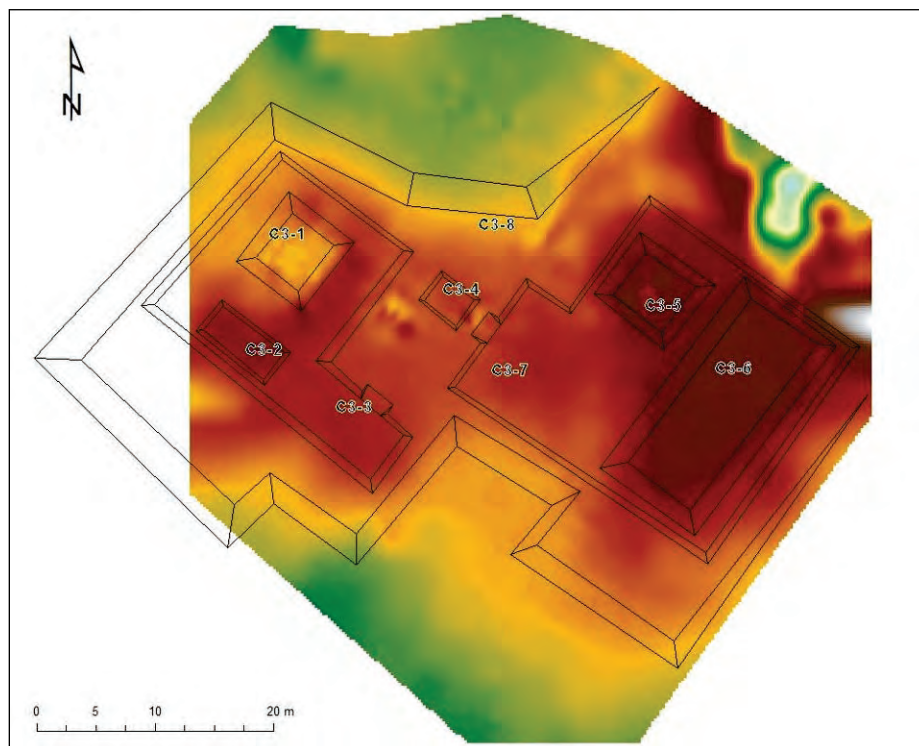


Figura 1.8 Mapa de La Selva, Chiapas, México, 2015 (por W. Schroder).

CAPÍTULO 2

EL INFIERNITO: INVESTIGACIONES ARQUEOLÓGICAS

Whittaker Schroder y Kellie Roddy

Introducción

El Infiernito es un sitio arqueológico expansivo documentado durante la temporada de 2015 como parte del reconocimiento entre Budsilha y Piedras Negras, Guatemala. El sitio está ubicado en el ejido La Selva en el municipio de Ocosingo en la parcela de Eric Pérez González. La mayoría del sitio se encuentra encima de un cerro alto y grande en forma de media luna con una vista amplia al oeste (Figuras 2.1-2.2). Arquitectura más monumental está ubicada en la base del cerro formando otro grupo arquitectónico. Los objetivos de los trabajos de 2016 incluyeron 1) continuar el reconocimiento arqueológico del rancho enfocando en documentar más grupos patio encima del cerro, 2) continuar el levantamiento de las partes del sitio ya conocidas para tener un mapa más completo y para entender mejor la relación entre los grupos arquitectónicos, 3) empezar un programa de pozos de sondeo para establecer la cronología de las partes distintas del sitio, y 4) empezar excavaciones horizontales en algunas plataformas para investigar la fase terminal de la ocupación.

Reconocimiento Arqueológico

Durante el reconocimiento de 2015, documentamos los grupos arquitectónicos enfocando en las estructuras E1-1, E2-1, E2-4, y C2-1. En 2016, ampliamos nuestro reconocimiento y documentamos tres grupos arquitectónicos: el grupo marcado en el mapa como D1-1 al noroeste de la estructura E1-5, un grupo encima de la parte del cerro 150 m al oeste de la estructura C2-1, y un grupo en otro cerro 300 m al sur de C2-1 (Figuras 2.3-2.11). Aunque estos grupos están similares en tamaño a los patios documentados antes, el epicentro del sitio todavía parece ser la estructura E1-1 (por la calidad de su mampostería), E2-4 (por ser la estructura en la cumbre del cerro), o la estructura C2-1 (por ser la construcción más monumental del sitio). Es probable que el epicentro del sitio cambió durante periodos diferentes. Por ahora, el área más densa de asentamiento se encuentra encima del cerro en la parte documentada durante 2015.

El grupo centrado en la estructura D1-1 está construida encima de un cerrito natural y modificado. La estructura más alta es la estructura D1-1 en forma de una “L” con espacio

amplio en el patio al sureste. Debajo de este grupo al suroeste hay un área planada con una terraza pequeña (D1-3) y al este hay una estructura baja (D1-4) también parte de un rasgo natural. Más abajo al suroeste hay un grupo patio pequeño enfocando en la estructura D1-5. El patio de la estructura D1-5 fue numerado D1-7 y en realidad forma una terraza grande que rodea mucho de esta parte del sitio, definiendo este lugar como epicentro. Esta terraza sigue alrededor de la estructura D1-1, E1-1, E2-1, terminando en un acantilado al este de la estructura E2-4. Esta terraza también sigue el lado suroeste del cerro desde la estructura D1-6 hasta la estructura E2-5.

Debajo de esta terraza hay otra terraza del mismo tamaño. Esta terraza, numerada D1-8, no parece ser tan largo como la terraza D1-7 pero hay que examinar donde termina. Estas dos terrazas parecen similares a las terrazas documentadas en el sitio Na Wits durante el mapeo de 2013 al suroeste de la estructura principal (A1-17).

Al norte de la estructura D1-1 hay por lo menos cinco terrazas más pequeñas que terminan en un acantilado. Estas terrazas parecen más similares a los ejemplos documentados en 2014 en el sitio Dos Coyotes por su forma baja y menos formal que las terrazas D1-7 y D1-8. Por eso, las terrazas D1-7 y D1-8 parecen servir una función arquitectural – definiendo el epicentro del sitio y posiblemente definiendo la ruta de acceso al sitio. En contraste, las terrazas más pequeñas probablemente tenían un uso agrícola por ser menos formal y su ubicación más restringida y protegida.

El grupo aproximadamente 150 m al oeste de la estructura C2-1 es similar en diseño al resto del sitio, con plataformas delineados con terrazas. Este lugar requiere más reconocimiento y mapeo, pero parece ser formado por una plataforma grande con una estructura encima, rodeado por tres otras estructuras. En vez de formar un grupo patio, estas estructuras siguen la orientación del cerro y posiblemente no sirvieron una función doméstica. Al norte hay dos terrazas posiblemente también marcando un acceso al sitio. Una línea de piedra interesante está ubicada encima de estas terrazas, quizás los restos de un muro. En el cerro 300 m al sur de la estructura C2-1 hay otro grupo menos formal con una estructura monumental con un pozo de sondeo. Esta parte del sitio también no parece ser doméstica por la ausencia de grupos patio. Es posible que estos dos cerros sirvieron un uso defensivo por sus vistas que son aún mejores que las vistas del epicentro del sitio.

Evidencia por la función defensiva de estos cerros es un gran muro ubicado entre ellos (Figura 2.12). Este muro bloquea el acceso al epicentro del sitio y a un manantial permanente 300 metros al este, que probablemente formó la fuente de agua para todo el sitio. El muro mide 20 m de largo y hasta 4 m de altura, aunque está derrumbado. La función más probable fue defensivo, pero otra posibilidad es la gestión de agua. En temporadas de lluvia, el manantial forma un arroyo pequeño que sigue hasta el área plano hasta el suroeste. Es posible que el área plana inmediatamente al nordeste del muro llena con agua para formar un campo agrícola pantanoso, un ambiente bueno para cultivos como algodón. También es posible que este muro sirvió ambos usos para defender y gestionar la fuente de agua.

Otro muro está ubicado encima del cerro al oeste de la terraza D1-8, probablemente bloqueando otra ruta de acceso al epicentro del sitio (Figura 2.13-2.14). Este muro no está tan grande pero tiene una altura de 60 cm y una anchura de 140 cm. Una observación interesante es que este muro también parece bloquear acceso y proteger recursos agrícolas en la forma de terrazas (Figuras 2.15-2.33).

Levantamiento

El mapeo del sitio enfocó en cubrir más terreno encima del cerro y también mapear el grupo arquitectónico en la base del cerro. Por eso hay algunos huecos en el mapa donde hay que regresar, pero el levantamiento fue exitoso en formar un mejor entendimiento del patrón de asentamiento del sitio. Levantamiento fue conducido con una estación total, modelo Leica. Para facilitar el levantamiento, tratamos la parte alta y la parte baja como mapas distintos. Unimos estos dos mapas con curvas de nivel generado con un modelo digital de elevación ASTER en forma de un archivo TIN en ArcGIS (Figuras 2.10-2.11). Agregamos 17 datos a los 4 usado en 2015 para un total de 21 datos. Tomamos 1,932 puntos en la parte alta del sitio y 1,050 en la parte baja que sumado con los puntos de 2015 son 3,637 puntos en un área de aproximadamente 8 hectáreas.

El levantamiento de 2015 terminó en la estructura E2-1. En 2016, continuamos en este lugar moviendo hacia el sur. La plataforma E2-1 tiene dos estructuras en su cumbre. La plataforma E2-2, al lado sureste era posiblemente doméstica, pero la estructura E2-3 tiene una forma interesante rectilínea pero formando un muro con ocho esquinas formando una letra “C.” Esta estructura está orientada de cara con el espacio entre la plataforma E1-3 y E2-1,

posiblemente un lugar de representación. Esta delineación de espacio es raro y requiere más investigación.

Al sureste, mapeamos el grupo patio centrandolo en la estructura E2-4. Este es uno de los grupos más monumentales del sitio y forma la cumbre del cerro en esta zona. Una de las estructuras en este patio, la estructura E2-5 fue excavada horizontalmente esta temporada. De enfrente de esta estructura, hay otra plataforma aún más baja, la estructura E2-6. Atrás de la estructura E2-4 hay dos estructuras construidas encima de afloramientos de piedra naturales. Al sureste, el sitio termina en acantilados. Posiblemente hay otras estructuras al suroeste para investigar en el futuro.

Luego movimos al noroeste de la estructura E1-5 para mapear la estructura D1-1 y las terrazas en esta zona. Acabamos el levantamiento de la parte alta del sitio en este lugar. Para la próxima temporada hay que mapear las terrazas al norte de la estructura D1-1 y la terraza que rodea la mayoría del epicentro del sitio.

El levantamiento de la parte baja del sitio fue más fácil por ser parcialmente deforestada y por ser más plano. Todavía hay huecos obvios en el mapa de esta zona, especialmente alrededor de la estructura C2-1 y entre las estructuras D2-1 y D2-2. Probablemente hay más terrazas en esta área para buscar en la próxima temporada.

Excavaciones

La mayoría del trabajo de campo de 2016 implicó excavaciones en varias partes del sitio para definir mejor la cronología del sitio y para investigar las actividades en las estructuras. Hicimos estos trabajos en nueve operaciones, cinco encima del cerro y cuatro en la base. Encima del cerro abrimos varios pozos de sondeo y operaciones horizontales (incluyendo la Operación 5A). En general, las excavaciones horizontales fueron más exitosas que los pozos de sondeo, porque en solo algunas ocasiones encontramos basureros con mucho material. Sin embargo, recuperamos bastante material, especialmente cerámica para analizar en el futuro.

Operación 1B

La Operación 1B se localizó en el patio E1-6, uno de los patios principales de la parte alta del sitio. Este patio se ubica al noroeste de la estructura E1-1 y está rodeado por la estructura E1-4 al noreste y la estructura E1-5 al noroeste. Durante las excavaciones de 2015,

enfocamos en la Operación 1A que se ubica al suroeste del patio E1-6. En la Operación 1A excavamos un basurero de una mezcla de cerámica de los periodos Preclásico Tardío y Clásico Tardío. En 2016, para entender mejor la cronología de la construcción del patio E1-6, abrimos la Operación 1B en la esquina donde se unen las estructuras E1-4 y E1-5. En 2016, la Operación 1B estaba compuesta de una sola unidad. En temporadas futuras, esperamos expandir la Operación 1B para investigar las actividades en el patio E1-6 y sus estructuras adyacentes.

IN-1B-1

La Unidad 1 midió 1 x 1 m y fue orientada con la estructura E1-5 a 50° de norte magnético. El dato se ubicó en un árbol encima de la estructura E1-5 al lado noroeste de la unidad. Este dato se midió 15 cm arriba de la superficie de la unidad. La medida inicial de la superficie de la tierra fue 22 cm en el centro de la unidad (Figura 2.34).

El Lote 1 fue al nivel de humus color negro (7.5 YR 2.5/1) y terminó con una profundidad de 29 cm en el centro de la unidad. Los materiales recuperados incluyeron una bolsa mediana de cerámica, una bolsa pequeña de obsidiana, una bolsa pequeña de pedernal, una piedra posiblemente de pómez, y una cuenta tubular de piedra (Figura 2.35).

El Lote 2 consistió en el último nivel del piso del patio de tierra color rojo café oscuro (5YR 2.5/2) mezclado con caliza. El lote terminó en roca madre con una profundidad de 41.5 cm en el centro de la unidad. El piso, entonces, fue construido inmediatamente encima de la roca madre sin relleno de piedras. Aunque llegamos a roca madre con rapidez, la cantidad de artefactos fue alta. Recuperamos una bolsa mediana de cerámica y una bolsa mediana de pedernal.

La Unidad 1 sugiere que esta parte del sitio fue construida en una fase, posiblemente tarde. En contraste con la sección del sitio al sur, el patio E1-6 no usó tanto relleno encima de la roca madre, y la evidencia de la Operación 1A durante las excavaciones de 2015 posiblemente significa que si había estructuras del periodo Preclásico Tardío anteriormente, fueron arrasadas para construir el patio E1-6.

Operación 2A

En 2015, las excavaciones en El Infiernito incluyeron un pozo en Operación 2A encima de la estructura E1-2. En el pozo IN-2A-1 investigamos un rasgo circular posiblemente cultural

con restos de concha de tortuga quemados y un malacate de cerámica. En 2016, continuamos en la Operación 2A, investigando un pozo al suroeste de la estructura E1-2, en el patio pequeño denominado E1-3. La Unidad 2 fue localizada para entender mejor la construcción de este patio y para encontrar un basurero asociado con las actividades documentadas anteriormente en la estructura E1-2 durante la temporada de 2015. Sin bajar mucho en la temporada de 2016 será necesario continuar las excavaciones en temporadas subsecuentes.

IN-2A-2

La Unidad 2 midió 1 x 1 m y fue orientada con la estructura E1-2 a 60° de norte magnético. El dato fue ubicado en un árbol en la esquina norte de la unidad, 23 cm arriba de la superficie de la tierra. La medida inicial fue 69 cm en la esquina norte de la unidad (Figura 2.36).

El Lote 1 no fue profundo y consistió en una mezcla de humus de tierra color oscuro rojo café (5YR 2.5/2) y piedrín posiblemente indicando los restos de un piso mal preservado. El lote se terminó cuando llegamos al nivel de relleno, con una profundidad de 71 cm en la esquina norte de la unidad. Los materiales recuperados incluyeron una bolsa mediana de cerámica.

El Lote 2 consistió en el nivel de relleno de la estructura E1-3 de tierra color oscuro rojo café (5YR 3/3) mezclado con caliza y piedras midiendo 20 cm de largo. La medida final del lote fue 102.5 cm. Según los dibujos del pozo de saqueo de la estructura E1-1, este relleno continua por lo menos un metro en una sola etapa hasta llegar a la superficie de la plataforma E1-6. Los materiales recuperados incluyeron una bolsa mediana de cerámica, una bolsa pequeña de obsidiana, una bolsa pequeña de pedernal, y una bolsa pequeña de hueso posiblemente animal. Los dos huesos encontrados eran parte de un hueso largo y una vértebra. Esos huesos fueron ubicados en la pared de la estructura E1-2 en el lado noroeste de la unidad, 50 cm de la esquina norte.

La Unidad 2 fue parte de una investigación breve de la estructura E1-2, que con más tiempo sería útil ampliar en excavaciones horizontales para entender mejor las actividades de una de las estructuras más importantes del sitio. El significado de esta parte del sitio, si representa un lugar ritual, administrativo, o residencia elite, será investigado en el futuro con el permiso del Consejo de Arqueología del INAH.

Operación 2B

Durante las investigaciones de 2015, los arqueólogos dibujaron los perfiles del pozo de saqueo en la estructura E1-1. Estos dibujos fueron nombrados la Operación 2B, y fueron asignados unidades y lotes aunque no fueron excavados por arqueólogos. En la temporada de 2016, regresamos al pozo de saqueo para ver si hay contextos preservados para entender la cronología de la estructura E1-1. Estas investigaciones fueron denominadas las Unidades 2 y 6. En 2015, la Unidad 2 en el pozo de saqueo fue asignado con los lotes 1 a 4 y la Unidad 6 tuvo los lotes 1 y 2. En la temporada de 2016, equivocamos y usamos los lotes IN-2B-2-1 e IN-2B-6-1 para las excavaciones. Para no confundir las notas de 2016 con el reporte de 2015, cambiamos los lotes de 2015. La descripción que viene explica los cambios, y los dibujos de 2015 han sido corregidos para mostrar estos cambios. Las excavaciones de 2016 mostraron que no es posible encontrar contextos preservados sin arriesgar la seguridad de los excavadores y la estructura intacta.

IN-2B-2

La Unidad 2 midió 2 x 2 m y fue ubicada en la porción más profunda del pozo de saqueo en la estructura E1-1. Está orientada 50° desde norte. El dato se ubicó al lado nordeste de la unidad, 30 cm arriba de la superficie de tierra. La medida de la superficie de la tierra fue 144 cm en la esquina norte de la unidad.

La unidad fue excavada en un solo lote. El Lote 1 se ubicó en una sección de 1 x 1 m en la esquina nordeste de la Unidad 2. El Lote 1 consistió en un contexto mezclado de humus, derrumbe, y relleno de tierra color rojo café (5YR 4/3) mezclado con caliza, piedrín, y piedras de 20 cm de largo. Recuperamos una bolsa pequeña de cerámica y dos latas de más o menos treinta años de edad asociadas con las actividades de saqueo (Figuras 2.37-2.38).

IN-2B-6

La Unidad 6 midió 2 x 2 m y fue ubicada al nordeste de la Unidad 2, en la parte menos profunda del pozo de saqueo. Esta parte del saqueo llegó a un nivel de piso arriba de la Unidad 2 y 120 cm debajo de la superficie de la estructura E1-2. La Unidad 2 fue orientada 50° desde norte y usó el mismo dato de la Unidad 2. La medida de la superficie de la tierra fue 50 cm en la esquina norte de la unidad.

La Unidad 6 también fue excavada en un solo lote. El Lote 1 se ubicó en una sección de 1 x 1 m en la esquina suroeste de la unidad. El Lote 1 consistió en un contexto mezclado de humus, derrumbe, y relleno de tierra color negro (5YR 2.5/1) mezclado con caliza. Aunque la Unidad 6 fue menos alterado que la Unidad 2, no recuperamos ningún artefacto. Tampoco había evidencia de un piso interior (Figura 2.39).

Operación 3A

El reconocimiento del sitio en 2015 pasó por las estructuras D1-5 y D1-6, y D1-3. Durante el reconocimiento de 2016, subimos a un punto más alto, que mide un poco más bajo que la estructura E1-1. En este punto alto hay otro grupo patio formado por una estructura en forma “L” con una plataforma amplia al sureste. La estructura tiene el número D1-1 en el mapa, y la plataforma tiene el número D1-2. Como parte de las investigaciones de 2016, decidimos abrir pozos en estas estructuras para entender la relación entre la parte más norte del sitio con los grupos al sur. Estos pozos formaron parte de una nueva operación, la Operación 3A que consistió en dos unidades.

IN-3A-1

La Unidad 1 se ubicó en el patio D1-2 en la esquina donde la estructura D1-1 forma la letra “L.” Esta unidad fue abierta para investigar la cronología del patio D1-2 y a buscar un basurero asociado con la estructura D1-1. La Unidad 1 midió 1 x 1 m y fue orientada 60° desde norte. El dato fue puesto en un árbol encima de la estructura D1-1 cerca de la esquina oeste de la unidad y la superficie de la tierra midió 99 cm en la esquina este (Figura 2.40).

El Lote 1 consistió en el nivel de humus color negro (5YR 2.5/1) y terminó con una profundidad de 109 cm en la esquina este de la unidad. Los materiales recuperados incluyeron una bolsa mediana de cerámica, una bolsa mediana de pedernal, y un fragmento de cuarzo posiblemente usado como herramienta para pulir piedra.

El Lote 2 era posiblemente un nivel de piso aunque no encontraron restos de estuco ni piedrín. La tierra era de color rojo negro (2.5 YR 2.5/1) con piedras midiendo 20 cm de largo representando quizás parte de un piso. Debajo de esas piedras empezó el relleno de piedras más pequeñas. El Lote 2 se terminó con una profundidad de 115 cm en la esquina este de la unidad.

Materiales encontrados incluyeron una bolsa grande de cerámica, una bolsa mediana de pedernal, una bolsa pequeña de obsidiana, y una bolsa pequeña de hueso animal (Figura 2.41).

El Lote 3 consistió en el nivel de relleno debajo del nivel de piso del patio D1-2. La tierra era de color oscuro rojo café (5 YR 2.5/2), y el lote se terminó con una profundidad de 127 cm en la esquina este de la unidad. Recuperamos bastante material, incluyendo dos bolsas medianas de cerámica, una bolsa pequeña de hueso animal, una bolsa pequeña de concha, una bolsa pequeña de obsidiana, y una bolsa mediana de pedernal.

El Lote 4 fue excavado debajo del relleno y representó quizás un nivel anterior de piso aunque no había evidencia de estuco. El lote terminó en la roca madre con una profundidad de 137 cm en la esquina este de la unidad. Recuperamos una bolsa mediana de cerámica, una bolsa pequeña de hueso animal, y una bolsa mediana de pedernal.

IN-3A-2

La Unidad 2 se ubicó al noroeste de la Unidad 1, encima de la estructura D1-1 en un lugar donde encontramos fragmentos de un incensario en la superficie. La unidad se midió 2 x 2 m y solo fue excavado al nivel de piso de la estructura para coleccionar tios de cerámica en contexto y para planear la ubicación de excavaciones horizontales para otras temporadas. La orientación de la unidad era 60° desde norte. El nivel de la superficie de tierra empezó con 44.5 cm al centro de la unidad (Figura 2.42).

El Lote 1 consistió en el nivel de humus de tierra color negro (5YR 2.5/1) y parte del piso de la estructura D1-1. Al fin del lote, la profundidad midió 48 cm en el centro de la unidad. Recuperamos una bolsa grande de cerámica, una bolsa mediana de cerámica, una bolsa pequeña concha de tortuga, una bolsa pequeña de hueso trabajado (quizás un fragmento de un cuerno de venado), y una bolsa mediana de pedernal.

El Lote 2 consistió en el nivel de piso hasta el relleno con tierra color negro (5YR 2.5/1). El piso no fue bien preservado, sin restos de estuco, pedrín, ni piedras planas que indicaron pisos en otras partes del sitio. El lote terminó en el nivel de relleno con una profundidad de 56 cm en la esquina sur de la unidad. Los materiales recuperados incluyeron una bolsa grande de cerámica, una bolsa mediana de pedernal, y una bolsa pequeña de obsidiana.

En la Operación 3A, encontramos bastante material, incluyendo cerámica y artefactos que sugieren que los habitantes de la estructura D1-1 participaron en actividades de producción,

posiblemente lítica por la gran cantidad de pedernal y herramientas. En temporadas futuras, excavaciones horizontales van a clarificar esos usos posibles de esta zona del sitio.

Operación 3B

La Operación 3B está situada en la zona general del norte del sitio al suroeste de la Operación 3A. Más específicamente, la Operación 3B está ubicada en la estructura D1-7, una terraza grande que rodea una gran parte del sitio. Obviamente estas terrazas sirvieron un uso arquitectónico pero es posible que también tenían una función agrícola. La operación fue puesta para examinar esta terraza y para buscar basureros asociados con el grupo patio al nordeste (estructura D1-1) y al sur (estructura D1-5). Esta temporada, la operación solo incluyó una unidad, pero en temporadas futuras, esta operación será ampliada al sur.

IN-3B-1

La Unidad 1, la única unidad de esta operación, fue localizada en la terraza D1-7 que se extiende del patio al sur y probablemente formó un área de acceso a la parte alta del sitio El Infiernito. Esta unidad queda inmediatamente al sur de una pila de piedras que parece formar una escalera para subir desde la terraza D1-7 hasta la plataforma D1-5 (Figura 2.43). Por eso, el lugar sería una buena área para buscar un basurero asociado con las actividades de las estructuras adyacentes. La unidad midió 1 x 2 m y fue orientada con la posible escalera, 10° del norte. El dato se ubicó en el lado oeste del pozo, y la medida inicial de la superficie de la tierra era 81 cm en la esquina suroeste (Figura 2.44).

El Lote 1 consistió en el nivel de humus de tierra color negro (5YR 2.5/1). La profundidad final del lote midió 83 cm en la esquina suroeste. Recuperamos bastante material indicando un basurero asociado con la escalera al norte. Los materiales incluyeron una bolsa grande de cerámica, una bolsa pequeña de concha, una bolsa mediana pedernal, una bolsa pequeña de cuarzo, y una bolsa pequeña hueso animal.

El Lote 2 consistió en un nivel de relleno con pocas piedras y tierra de color oscuro rojo café (5YR 2.5/2). El lote terminó con una profundidad midiendo 90 cm en la esquina suroeste. La densidad de artefactos continuó, incluyendo dos bolsas grandes de cerámica, una bolsa mediana de cerámica, una bolsa pequeña obsidiana, una bolsa pequeña concha, una bolsa

pequeña de arcilla (quizás bajareque), una bolsa pequeña de pedernal, una bolsa pequeña de hueso, y una hacha de pedernal.

El Lote 3 consistió en otro nivel de relleno de tierra de color muy oscuro café (7.5YR 2.5/2). El relleno casi no tenía piedras y fue puesto encima de la roca madre. El lote fue excavado hasta la roca madre, terminando con una profundidad de 112 cm en la esquina suroeste de la unidad. Todavía había bastante material hasta el fin del pozo, incluyendo una bolsa grande de cerámica, una bolsa mediana de cerámica, una bolsa pequeña de concha, una bolsa grande de pedernal, una bolsa pequeña de obsidiana, una bolsa mediana de hueso animal, un diente humano, una cuenta de piedra verde con dos agujeros en un lado, y una azuela de serpentina. El diente humano fue encontrado al lado norte de la unidad, 110 cm de la esquina noroeste, y la azuela fue documentada al lado sur del pozo, 80 cm desde la esquina suroeste de la unidad.

La Unidad IN-3B-1-1 reveló unos resultados interesantes sobre la construcción de las terrazas que rodean el epicentro de la parte alta del sitio. Parece que las terrazas fueron construidas principalmente con tierra y basura. Esta construcción sugiere que las terrazas posiblemente sirvieron una función agrícola además de su uso arquitectónico para definir el espacio alto del sitio. Futuras investigaciones al sur en el grupo patio posiblemente averiguarán esta hipótesis para ver si el relleno cambia a piedras como el resto del sitio. Los restos de un basurero también presentan una oportunidad para analizar una gran cantidad de cerámica, pedernal, y restos animales para entender mejor las actividades de esta parte del sitio.

Operación 4A

La Operación 4A está ubicada en el tercer grupo arquitectónico moviendo desde el norte al sur, encima de la estructura E2-2. La estructura E2-2 es una plataforma baja que cubre el lado sureste de la estructura E2-1. Para ampliar nuestras investigaciones horizontales de varias estructuras esta temporada, abrimos la Operación 4A para entender la cronología del patio E2-1 y las actividades de la estructura E2-2. En la Operación 4A, abrimos dos pozos, uno en el patio y otro encima de la estructura.

IN-4A-1

La Unidad 1 midió 2 x 2 m y fue ubicada en el patio directamente al noroeste de la estructura E2-2. El lado sureste de la unidad fue puesto encima del muro noroeste de la estructura E2-2. Esta unidad fue abierta para entender mejor las etapas de construcción de la estructura E2-1. La Unidad 1 fue orientada 60° desde norte. El dato fue ubicado en un árbol encima de la estructura E2-2, y la superficie de la tierra midió 51.5 cm en la esquina noroeste de la unidad (Figura 2.45).

El Lote 1 consistió en una capa ancha de humus de tierra color negro (7.5 YR 2.5/1). La profundidad del lote terminó con una medida de 70 cm. Los artefactos recuperados fueron una bolsa grande de cerámica, una bolsa pequeña de pedernal, y una azuela de serpentina en el piso del patio al suroeste de la unidad, 130 cm de la esquina sur y 21 cm de la esquina oeste de la unidad.

El Lote 2 consistió en el nivel de piso más reciente del patio E2-1 con relleno de piedras pequeñas debajo del piso. Aunque no había evidencia de un piso en forma de estuco, es obvio que era piso porque fue al mismo nivel del fondo del muro noroeste de la plataforma E2-2. La tierra era de color café oscuro (7.5 YR 3.5/2). El Lote 2 terminó con una profundidad de 75 cm en la esquina noroeste de la unidad. Había bastante material incluyendo una bolsa grande de cerámica, una bolsa mediana de obsidiana, una bolsa pequeña de bajareque asociado con la construcción de la estructura E2-2, una bolsa pequeña de pedernal, un núcleo bifacial de pedernal, y un fragmento de una figurina de cerámica en la forma de un tucán.

El Lote 3 fue una sección de 1 x 1 m en la esquina noroeste de la Unidad 1 para investigar la construcción del patio E2-1. El nivel era el relleno debajo del piso más reciente del patio E2-1 con piedras grandes de 30 cm de largo y tierra de color café oscuro (7.5 YR 3.5/2). El lote terminó con una profundidad de 119 cm en la esquina noroeste de la unidad cuando empezamos a encontrar estuco al lado sureste del pozo de 1 x 1 m indicando un piso anterior. Los materiales recuperados incluyeron una bolsa mediana de cerámica, una bolsa pequeña de hueso, una bolsa pequeña de pedernal, y una bolsa grande de estuco.

El Lote 4 fue una continuación del pozo de 1 x 1 m en la esquina noroeste de la Unidad 1, y consistió en otro nivel de relleno debajo del segundo piso. La tierra era de color oscuro rojo gris (5YR 4/2). Evidencia de estuco continuó pero no fue evidente si el estuco resultó de erosión de arriba o si indicó la presencia de otro piso al fin del lote 4. La unidad terminó con una

profundidad de 130 cm en la esquina noroeste. Los materiales recuperados incluyeron una bolsa pequeña de pedernal, un núcleo de pedernal, y una bolsa mediana de estuco. El lote terminó con piedras niveladas indicando posiblemente un tercer piso.

IN-4A-2

La Unidad 2 fue ubicada inmediatamente al sureste de la Unidad 1 y midió 2 x 2 m con la misma azimut de 60°. La unidad se localizó encima de la estructura E2-2 para entender las actividades de la plataforma. Solo excavaron hasta el nivel de piso más reciente de la estructura para entender mejor la forma. La superficie de la tierra midió 25.5 cm en la esquina suroeste de la unidad desde el mismo dato de la Operación 4A (Figura 2.46).

El Lote 1 era el nivel de humus de color negro (7.5YR 2.5/1) encima de la estructura E2-2. El lote terminó con una profundidad de 31 cm en la esquina suroeste de la unidad. Los materiales recuperados incluyeron una bolsa grande de cerámica, una bolsa pequeña de obsidiana, una bolsa pequeña de cuarzo, y una bolsa mediana de pedernal.

El Lote 2 consistió en el nivel de piso de la estructura E2-2, compuesto de tierra de color café muy oscuro (7.5 YR 3/2.5). La única evidencia de piso era piedras pequeñas y pedrín. Encontramos menos artefactos incluyendo una bolsa mediana de cerámica, una bolsa pequeña de concha del mar, y una bolsa mediana de pedernal (Figura 2.47).

Las investigaciones en la Operación 4A encontraron varios materiales, especialmente cerámica para entender la cronología de esta parte del sitio. Las excavaciones en el patio E2-1, aunque son pocas, sugieren que el patio fue construido en por lo menos tres fases, y posiblemente más por la cantidad de relleno que es evidente. Por eso, es posible que la estructura E2-1 forma una de las partes más antiguas del sitio y excavaciones en el futuro hasta roca madre pueden averiguar esa potencial.

Operación 5A

Las excavaciones de la Operación 5A fueron puestas encima de la estructura E2-5, una plataforma posiblemente habitacional en uno de los grupos patio más monumental del sitio. Este grupo patio consiste en tres estructuras, dos plataformas de rango (incluyendo la estructura E2-5) y una estructura monumental, la estructura E2-4, cuya cumbre es el punto más alto de esta parte del sitio. La estructura E2-5 está ubicada en el lado suroeste del patio, y su muro suroeste

corre a lo largo de un acantilado. Aunque parte de la estructura E2-5 ha colapsado al suroeste, la plataforma está bien preservada sin evidencia de saqueo. Hoy en día, la plataforma está cubierta de bosque secundario de árboles delgados que han crecido después de un fuego incontrolado en décadas recientes. La plataforma fue diseñada en dos niveles, el más bajo que forma una escalera que rodea la estructura. Antes de excavaciones, esta escalera fue más visible en la esquina sureste de la plataforma. Es seguro que la base de la plataforma fue construida parcialmente de mampostería que soportaba paredes de bajareque y una superestructura perecedera.

Decidimos abrir excavaciones horizontales amplias en la estructura E2-5 para entender muy bien una parte del sitio para planear excavaciones similares en el futuro (Figura 2.48-2.56). Estas excavaciones fueron planeadas con las metas de buscar evidencia de la última fase de ocupación de la plataforma, entender la rapidez de abandono, documentar evidencia de basureros y de áreas de actividad o cuartos para entender la función de la estructura durante el periodo Clásico Tardío. Las excavaciones en la Operación 5A también tenían el objetivo de abrir unas excavaciones verticales donde fuera posible para obtener materiales para interpretar la cronología de construcción de la plataforma y del patio adyacente.

Se empezó con una red de 11 cuadrados, cada uno midiendo 2 x 2 m, orientadas con la estructura, 60° del norte. Los cuadrados fueron puestos en la mitad sureste de la estructura E2-5, cubriendo casi todo el eje nordeste-suroeste. Era necesario expandir la red de 11 cuadrados para cubrir todo el eje hasta la esquina suroeste de la plataforma (la Unidad 12), y también al sureste para revelar el muro exterior (la Unidad 13). No se excavó cada unidad, solamente las unidades 1-8 y 11-13. Además, en la mayoría de unidades solo excavamos hasta el nivel de piso (dos lotes), y en las unidades 1, 6, y 12 abrimos excavaciones verticales en lugares donde la arquitectura tenía peor preservación. Las excavaciones horizontales revelaron varias paredes bajas interiores mostrando quizás usos diversos de espacio o un grupo familiar grande si la función primaria era habitacional. Se cribó todos los lotes con malla de .5 cm.

IN-5A-1

La Unidad 1 se localizó en la esquina sureste de la plataforma E2-5, donde la escalera fue visible antes de las excavaciones. Esta unidad tenía la meta de limpiar el muro exterior de la estructura y para investigar el patio que se encontró en la mitad nordeste de la unidad. El dato

fue ubicado en un árbol al sureste de la Unidad 3. A empezar, las medidas de la superficie de la Unidad 1 fueron 95 cm en la esquina norte, 95 cm en la esquina este, 57.5 cm en la esquina sur, 49 cm en la esquina oeste, y 96 cm al centro de la unidad (Figura 2.57).

El Lote 1 consistió en una capa de humus entre 5 y 10 cm grueso de color negro (10YR 2/1). Las medidas de profundidad al fin del lote fueron 100 cm (norte), 101 cm (este), 60 cm (sur), 54 cm (oeste), y 105.5 cm (centro). Los materiales recuperados incluyeron poca cerámica (una bolsa pequeña) y una bolsa pequeña de pedernal. Este lote reveló la escalera al lado sureste de la plataforma.

Continuamos con el Lote 2, buscando la superficie del patio E2-7. Todas estas excavaciones fueron encima de la escalera o afuera de la estructura. Cuando empezamos a encontrar poco estuco, era evidente que ya encontramos la superficie del patio, aunque era mal preservado. El matriz era tierra color café muy oscura (7.5YR 2.5/2). El pozo midió 113 cm (norte), 101 cm (este), 60 cm (sur), 54 cm (oeste), y 116 cm (centro) al fin. Los materiales recuperados incluyeron una bolsa pequeña de estuco, una bolsa pequeña de bajareque, una bolsa pequeña de pedernal, una bolsa grande de cerámica, y una muestra de carbón que posiblemente puede dar una fecha del último piso (Figuras 2.58-2.59).

Obviamente para no dañar la arquitectura de la escalera, continuamos el Lote 3 en una unidad de 1 x 2 m en la mitad noreste de la Unidad 1. Este lote consistió en el nivel de relleno de piedras de 30 cm de largo debajo del piso más reciente del patio. La tierra tenía color café oscuro (7.5YR 3/2). El lote terminó cuando encontramos una serie de cuatro piedras en una línea orientada con la estructura de noroeste a sureste. También encontramos tres dientes humanos. Pensando que encontramos un entierro, cambiamos el lote con una profundidad de 134 cm (norte), 110 cm (este), 124 cm (sur), 111 cm (oeste), y 142 cm (centro). Los materiales incluyeron una bolsa grande de cerámica, una bolsa mediana de cerámica, una bolsa pequeña de obsidiana, una bolsa mediana de concha, una bolsa mediana de concha del mar, tres puntas de flecha, una bolsa mediana de pedernal, una bolsa pequeña de cuarzo, una bolsa pequeña de dientes humanos, y una bolsa pequeña de estuco.

El Lote 4 era un nivel de piso en la unidad de 1 x 2 m en la Unidad 1. La tierra era el mismo color café oscuro (7.5 YR 3/2) con piedras grandes de 30 cm de largo. Sacamos las cuatro piedras que encontramos en el Lote 3, pensando que había un entierro. Sin encontrar restos humanos ni evidencia de una cista, continuamos hasta que empezamos a coleccionar estuco,

sugiriendo la presencia de otro piso. Las medidas finales fueron 131 cm (norte), 132 cm (este), 155 cm (sur), 150 cm (oeste), y 144 cm (centro). Los materiales incluyeron una bolsa mediana de cerámica, una bolsa pequeña de hueso animal, una mano de metate, una bolsa mediana de estuco, una bolsa mediana de concha, una bolsa pequeña de pedernal, y una bolsa pequeña de cuarzo (Figura 2.60).

Debajo del segundo piso, continuamos con el Lote 5 con otro nivel de relleno de piedras de 30 cm de largo. La tierra tenía el color café (7.5 YR 4/3). Después de sacar el relleno, encontramos siete piedras entre 10 y 20 cm de largo formando una línea midiendo 95 cm (Figuras 2.61-2.62). Esta línea de piedras no era orientada con la estructura E2-5; su orientación era 350° del norte y probablemente representa arquitectura más antigua, la mayoría que fue arrasado en el periodo Clásico Tardío. Las piedras no son de un tamaño para soportar arquitectura, entonces quizás formaron algún rasgo más pequeño, posiblemente un drenaje o parte de un piso. Con la presencia de estuco, es probable que el Lote 5 terminó con un piso construido encima de la roca madre, que ya era evidente en el perfil noroeste del pozo de 1 x 2 m. Terminamos el Lote 5 con las medidas 136 cm (norte), 170 cm (este), 176 cm (sur), 150 cm (oeste), y 170 cm (centro). Los materiales recuperados incluyeron una bolsa grande de cerámica, dos manos de metate, una bolsa pequeña de estuco, una bolsa mediana de concha, una bolsa pequeña de obsidiana, una bolsa mediana de pedernal, y una bolsa pequeña de cuarzo.

El Lote 6 fue el último nivel de relleno encima de la roca madre. El matriz consistió en una mezcla de tierra de color café oscuro (7.5 YR 3/4) mezclado con piedrín, indicando posiblemente el relleno debajo del tercer piso. Encontramos la roca madre con una profundidad de 170 cm (norte), 185 cm (este), 168 cm (sur), 176 cm (oeste), y 200 cm (centro). Los materiales recuperados incluyeron una bolsa mediana de cerámica, una bolsa mediana de concha, una bolsa mediana de pedernal, una bolsa pequeña de hueso animal, una bolsa pequeña de obsidiana, y una bolsa pequeña de cuarzo.

La Unidad 1 era uno de los pozos verticales de la Operación 5A que llegó a la roca madre. Los descubrimientos de esta unidad muestran la construcción de por lo menos dos pisos, pero probablemente tres, que sugieren tres fases de construcción del patio E2-7. Según la cerámica recuperada, hay evidencia de tiestos posiblemente Preclásico Tardío o Clásico Temprano hasta Clásico Tardío o Terminal. La transición desde el patio primero hasta el patio más reciente parece mostrar un cambio de orientación del sitio que posiblemente indica más

intervención de un estado centralizado o un cambio en el planeo de asentamientos. Otra observación interesante es que la roca madre se encontró más o menos 75 cm debajo de la superficie contemporáneo del patio, mientras al centro del patio aparece roca madre arriba de la superficie. Entonces, había bastante relleno del patio y pocas actividades de nivelar el cerro natural. Excavaciones en el centro del patio posiblemente pueden indicar si había modificación de la roca madre en esta parte del sitio.

IN-5A-2

La Unidad 2 era parte de las excavaciones horizontales de la estructura E2-5 al suroeste de la Unidad 1. Esta unidad está encima de la plataforma en su esquina sureste, con parte de la escalera en el lado noreste y parte del muro exterior de la plataforma en el lado sureste. Desde el dato, la superficie de la tierra midió 44 cm (norte), 48 cm (este), 49 cm (sur), 47.5 cm (oeste), y 48 cm (centro).

El Lote 1 era el nivel de humus de color negro (10YR 2/1), un máximo de 6 cm grueso. La profundidad al fin del Lote 1 era 50 cm (norte), 50 cm (este), 50 cm (sur), 50.5 cm (oeste), y 50 cm (centro). El Lote 1 terminó al nivel de las piedras que formaron la escalera, donde la presencia de un piso sería probable. Encontramos pocos artefactos incluyendo una bolsa mediana de cerámica, una bolsa pequeña de pedernal, una bolsa pequeña de hueso animal, y un fragmento de metate.

El Lote 2 era el nivel de piso debajo de una capa delgada de humus. El piso no era obvio, sin evidencia de estuco, y probablemente fue destruido por elementos naturales de árboles y quizás un reciente fuego incontrolado. Lo que sí produjo evidencia de un piso era una serie de piedras planas entre 5 y 10 cm de largo con una capa de piedrín debajo. El matriz era ese piedrín mezclado con caliza y tierra de color negro (7.5YR 2.5/1). La presencia de un aumento en la densidad de artefactos era evidente, incluyendo una bolsa grande de cerámica, una bolsa pequeña de obsidiana, una punta de pedernal, un martillo de piedra, una bolsa pequeña de pedernal, una bolsa pequeña de metates de basalto, y una bolsa pequeña de concha.

IN-5A-3

La Unidad 3 fue ubicada directamente al suroeste de la Unidad 2, y también fue puesto adentro de la estructura E2-5 para revelar el piso interior. Al lado sureste se encuentra el muro

exterior de la estructura. Las medidas al principio del lote fueron 53 cm (norte), 51 cm (este), 47 cm (sur), 52 cm (oeste), y 46.5 cm (centro).

El Lote 1 consistió en una capa de humus de menos 5 cm de grueso. La tierra era de color negro (10YR 2/1). Durante la limpieza, era obvio que había algún rasgo interior que extendía desde el lado sureste de la unidad hasta el centro. No era derrumbe porque la altura del muro exterior era consistente alrededor de la estructura y no había evidencia de partes más altos. Cuando empezamos, pensamos que era posiblemente un banquete, pero a terminar el lote, decidimos que era parte de un muro bajo interior que soportaba paredes percederas de bajareque. El Lote 1 terminó con las medidas 54 cm (norte), 52.5 cm (este), 47 cm (sur), 53 cm (oeste), y 52 cm (centro). Los materiales recuperados eran pocos, solo una bolsa mediana de cerámica.

La mayoría del Lote 2 era un nivel de derrumbe del muro interior con evidencia de un piso en forma de fragmentos de estuco. El color de la tierra era negro (7.5 YR 2.5/1). Las medidas al fin del Lote 2 fueron 57.5 cm (norte), 68 cm (este), 47 cm (sur), 66 cm (oeste), y 56 cm (centro). Los materiales aumentaron incluyendo una bolsa grande de cerámica, un fragmento de metate, un fragmento de serpentina no trabajado, una bolsa pequeña de obsidiana, una bolsa pequeña de estuco, y una posible herramienta de caliza para pulir.

IN-5A-4

La Unidad 4 fue ubicada al suroeste de la Unidad 3. Al lado nordeste era la orilla del muro interior en la Unidad 3, al lado sureste era el muro exterior de la plataforma, al suroeste era la escalera en la esquina suroeste de la estructura, y al lado suroeste era otro muro interior adentro de la Unidad 7. Entonces, la Unidad 4 se localizó adentro de un cuarto posiblemente habitacional o para almacenamiento. Las medidas de la superficie de la tierra fueron 52 cm (norte), 50 cm (este), 55 cm (sur), 57 cm (oeste), y 53 cm (centro).

El Lote 1 era el nivel de humus de color negro (10YR 2/1) con una anchura de un máximo de 7.5 cm. Terminamos el lote con una profundidad de 53.5 cm (norte), 57.5 cm (este), 57.5 cm (sur), 61 cm (oeste), y 54.5 cm (centro). Como en otras unidades, había pocos materiales, incluyendo una bolsa mediana de cerámica con un origen cerca al muro interior en el lado noreste de la unidad.

Siguiendo con el Lote 2, esperamos encontrar un nivel de derrumbe o piso, pero llegamos directamente al nivel de relleno sin evidencia de estuco. La única evidencia de un piso era una capa delgada de piedrín. La tierra era de color negro (7.5YR 2.5/1). No encontramos piedras planas como en otras unidades. El lote terminó con las medidas 54 cm (norte), 67 cm (este), 60 cm (sur), 63 cm (oeste), y 64 cm (centro). Los materiales recuperados incluyeron una bolsa mediana de cerámica, una bolsa pequeña de concha, y una punta de lanza.

IN-5A-5

La Unidad 5 fue abierta directamente al noroeste de la Unidad 2 y se ubicó adentro del cuarto principal en esta parte la plataforma con el muro exterior al lado nordeste de la unidad. Las medidas de la superficie de la tierra empezaron con 55.5 cm (norte), 46 cm (este), 43 cm (sur), 46 cm (oeste), y 50 cm (centro).

El Lote 1 fue una capa delgada de humus de color negro (10YR 2/1). Como en otros pozos, revelamos una serie de piedras planas indicando el nivel de piso. El lote terminó con las medidas 57.5 cm (norte), 46.5 cm (este), 49.5 cm (sur), 49.5 cm (oeste), y 53.5 cm (centro). Los materiales incluyeron una bolsa mediana de cerámica y una punta de lanza.

En el Lote 2 encontramos el mismo patrón consistente con el nivel de piso en el resto de la plataforma, una combinación de piedras planas, estuco, y piedrín. La tierra era de color negro (7.5YR 2.5/1). No había evidencia de arquitectura interior, ni muchos artefactos, que indica que posiblemente esta sección de la estructura quedó limpia durante su abandono. Los materiales incluyeron una bolsa mediana de cerámica y una bolsa pequeña de estuco.

IN-5A-6

La Unidad 6 se encuentra al suroeste de la Unidad 5 y al noroeste de la Unidad 3, al centro de la mitad sureste de la estructura E2-5. La Unidad 6 está en medio del mismo cuarto donde está ubicado la Unidad 5. Las medidas al empezar las excavaciones fueron 45 cm (norte), 49 cm (este), 50 cm (sur), 47 cm (oeste), y 44.5 cm (centro). Esta unidad también fue uno de los pozos que excavamos en forma vertical para entender las fases de construcción de la plataforma (Figura 2.63).

Empezamos excavando el Lote 1, el nivel de humus de tierra color negro (10YR 2/1) de menos de 5 cm de ancho. El lote terminó con las medidas 49 cm (norte), 53 cm (este), 52 cm

(sur), 50 cm (oeste), y 47 cm (centro). No había evidencia de rasgos como muros interiores. Los materiales recuperados incluyeron una bolsa mediana de cerámica y una bolsa mediana de fragmentos de metates de basalto.

Continuando el patrón de otras unidades, en el Lote 2 encontramos el nivel de piso más reciente, marcado con piedras planas. El matriz era tierra de color negro (7.5YR 2.5/1) mezclado con caliza y pedrín. Las medidas al fin del lote fueron 58 cm (norte), 57 cm (este), 64 cm (sur), 58 cm (oeste), y 61 cm (centro). Los materiales se aumentaron incluyendo una bolsa grande de cerámica, una bolsa pequeña de obsidiana, una bolsa pequeña de pedernal, y una bolsa mediana de fragmentos de metate.

Por la ausencia de rasgos culturales y árboles decidimos bajar en la Unidad 6 para entender la secuencia de construcción de la plataforma E2-5. Para no penetrar mucho piso, abrimos la mitad noreste de la unidad como un pozo de 1 x 2 m. El Lote 3 consistió en este pozo de 1 x 2 m que era un nivel de relleno de piedras grandes midiendo 50 cm de largo con tierra de color café oscuro (7.5YR 3/2). Había pocos materiales en este lote, pero cerámica se aumentó en el lado suroeste del pozo cuando nos acercamos a un piso anterior. El Lote 3 terminó con las medidas 94 cm (norte), 94 cm (este), 97 cm (sur), 94 cm (oeste), y 111 cm (centro). Los materiales incluyeron una bolsa mediana de cerámica, una bolsa pequeña de hueso animal, un fragmento de metate, una bolsa pequeña de pedernal, una bolsa pequeña de obsidiana, y un fragmento de carbón que puede ayudar a fechar este episodio de construcción.

Continuamos excavando en el pozo de 1 x 2 m abajo del nivel de relleno. Estas excavaciones revelaron otro nivel de piso de la estructura E2-5 sub 1. Este piso también no era bien preservado, sin evidencia de estuco, pero sí había una serie de piedras planas, más anchas que las piedras que formaban el piso de la estructura E2-5. La tierra era de color café oscuro (7.5YR 3/2). El Lote 4 terminó con el descubrimiento de un escondite y relleno debajo del piso, con las medidas de 118 cm (norte), 124 cm (este), 116 cm (sur), 106 cm (oeste), y 123 cm (centro) (Figuras 2.64-2.65). Los materiales se aumentaron bastante, indicando una mezcla de cerámica y herramientas. Los artefactos incluyeron una bolsa grande de cerámica, una bolsa mediana de cerámica, una bolsa pequeña de fragmentos de metate, una bolsa pequeña de hueso animal (incluyendo una lezna o aguja de hueso), una bolsa pequeña de obsidiana, una bolsa pequeña de concha, dos bolsas medianas de pedernal, varias puntas de lanza. La parte distal de una hacha grande fue descubierto 50 cm el lado noreste y 50 cm del lado sureste de la unidad y

110 cm abajo del dato, una punta 20 cm del lado noreste y 60 cm del lado sureste de la unidad y 115 cm abajo del dato, y un fragmento del cuerpo de una hacha grande con las mismas coordenadas horizontales pero 120 cm abajo del dato. Esta gran cantidad de material en el piso de la plataforma E2-5 sub 1 sugiere que esa fase fue abandonada rápidamente o quizás la plataforma E2-5 fue construida sin limpiar el piso anterior.

Mientras excavamos el Lote 4, encontramos un escondite en el perfil suroeste del pozo de 1 x 2 m. Denominamos este escondite el Lote 5, que estaba ubicado en un hueco formado por el espacio entre el piso de la plataforma E2-5 sub 1 y el relleno puesto encima de esa fase para construir la última fase de la estructura. El escondite fue ubicado desde el dato 107 cm (norte), 122 cm (este), 92 cm (sur), 108 cm (oeste), y 112 cm (centro) y midió 45 cm de largo y 15 cm de alto. El color de la tierra era café oscuro (7.5YR 3/2). Los artefactos incluyeron hueso tallado, concha tallada, cuentas o aretes de concha, y una bolsa mediana de cerámica posiblemente no asociada directamente con el escondite.

Excavando debajo de la plataforma E2-5 sub 1, seguimos el Lote 6 que fue compuesto de relleno de piedras de 30 cm de largo y tierra de color café oscuro (7.5YR 3/2). El lote terminó con el descubrimiento de estuco posiblemente indicando otro piso. Las medidas desde el dato fueron 161 cm (norte), 155.5 cm (este), 158 cm (sur), 160 cm (oeste), y 161 cm (centro). La cantidad de materiales continuó con una bolsa grande de cerámica, una bolsa pequeña de hueso animal, una bolsa pequeña de concha, una bolsa mediana de bajareque, una bolsa pequeña de obsidiana, una cuenta de piedra, una bolsa mediana de estuco, y una bolsa mediana de pedernal.

El Lote 7 era el nivel de piso debajo del relleno, de una estructura anterior denominado la estructura E2-5 sub 2. El matriz consistió en tierra de color café (7.5YR 4/3). Los restos del piso eran diferentes que los restos del piso de las estructuras más recientes. Mientras el piso más reciente consistió en estuco encima de piedras planas sobre pedrín, el piso de la subestructura E2-5 sub 1 consistió en estuco sobre piedras más anchos que 5 cm, y finalmente el piso de la subestructura E2-5 sub 2 consistió completamente de estuco bien preservado formado en bloques anchos entre 5 y 10 cm bien planos en la parte superior. Es posible que una explicación sobre la diferencia puede ver con técnicas distintas de construcción o quizás grados de preservación únicas. El Lote 7 terminó con otro nivel de relleno con medidas de 163 cm (norte), 156 cm (este), 156 cm (sur), 160 cm (oeste), y 168 cm (centro). Los materiales recuperados

incluyeron una bolsa mediana de cerámica, una bolsa pequeña de pedernal, una bolsa pequeña de concha, y una bolsa mediana de estuco.

Después de excavar el Lote 7, decidimos regresar a la otra mitad de la Unidad 6 para investigar mejor el contexto del escondite que se encontró en el perfil suroeste del pozo de 1 x 2 m empezado con el Lote 3. El Lote 8 era el nivel de relleno debajo del piso de la plataforma E2-5 en la mitad suroeste de la Unidad 6 (Figuras 2.66-2.67). El Lote 8 entonces correspondió con el mismo contexto que el Lote 3. La tierra en el Lote 8 tenía el color negro (7.5YR 2.5/1). La esperanza de este lote era que tuvimos la oportunidad de acercarnos al escondite desde arriba en vez del lado. El Lote 8 terminó con las medidas 98 cm (norte), 100 cm (este), 97 cm (sur), 83 cm (oeste), y 110 cm (centro). Los materiales recuperados incluyeron una bolsa mediana de cerámica, una bolsa pequeña de concha, una bolsa pequeña de hueso animal, y una figurina de cerámica de un torso de un hombre sentado, en un estilo similar de una figurina de Piedras Negras.

El Lote 9 era un pozo de 1 x 1 m debajo del Lote 8 en la esquina noroeste de la Unidad 6. Este lote corresponde más o menos con el área de piso alrededor del escondite en el Lote 5. Levantamos las piedras de relleno arriba del hueco del escondite y encontramos evidencia de cenizas posiblemente resultante de un evento de quemar asociado con el escondite. Desafortunadamente, había evidencia de una raíz grande de un árbol que obviamente entró parte del escondite, entonces los materiales estaban mezclados. No había materiales necesariamente consistentes con el escondite y los materiales documentados en el Lote 5. El color de la tierra era café oscuro (7.5YR 3/2). El lote terminó con las medidas 106 cm (norte), 102.5 cm (este), 108 cm (sur), 110.5 cm (oeste), y 110 cm (centro). Los materiales recuperados incluyeron una bolsa grande de cerámica, una bolsa pequeña de pedernal, una punta de lanza, una bolsa pequeña de hueso de tortuga, una bolsa pequeña de hueso, una bolsa pequeña de dientes animal (incluyendo un diente colmillo con un agujero de taladro), una bolsa pequeña de concha, una figurina de cerámica de la cabeza de un hombre anciano con un turbante (encontrado 110 cm del lado sureste y 85 cm del lado suroeste del pozo), y una mano de metate.

El Lote 10 era un pozo de 1 x 1 m al sureste del Lote 9 y consistió con otra sección de piso de la estructura E2-5 sub 1. El color de la tierra era café oscuro (7.5YR 3/2). El lote terminó con las medidas 102.5 cm (norte), 100 cm (este), 113 cm (sur), 108 cm (oeste), y 104.5 cm (centro). Los artefactos encontrados incluyeron una bolsa grande de cerámica, una bolsa

mediana de cerámica, una bolsa pequeña de hueso animal, una bolsa pequeña de obsidiana, una bolsa mediana de concha, una bolsa mediana de pedernal, y un cuchillo de pedernal en forma semicircular, y una figurina de cerámica zoomórfico, ambos encontrados 80 cm desde el lado sureste, 50 cm desde el lado suroeste, y 113 cm bajo del dato.

El Lote 11 era el pozo de 1 x 2 m debajo de los lotes 9 y 10 al lado suroeste de la Unidad 6. La mayoría del nivel parece ser el relleno debajo del piso de la subestructura E2-5 sub 1 por la presencia de piedras de 30 cm de largo mezclado con tierra de color café oscuro (7.5YR 3/2). El lote acabó con las medidas 135 cm (norte), 118 cm (este), 125 cm (sur), 118 cm (oeste), y 150 cm (centro). Los materiales incluyeron una bolsa mediana de cerámica, una bolsa pequeña de hueso animal, una cuenta de piedra, una bolsa pequeña de obsidiana, una bolsa pequeña de concha, una bolsa pequeña de pedernal, y una punta de lanza.

El Lote 12 era el mismo nivel de relleno en el pozo de 1 x 2 m debajo del Lote 11. La tierra tenía el color café (7.5YR 4.3) y era una mezcla caliza y pedrín con piedras de 70-80 cm de largo. La presencia de pedrín indicó la llegada al piso de la subestructura E2-5 sub 2 con una profundidad de 150 cm (norte), 146 cm (este), 135 cm (sur), 132 cm (oeste), y 156 cm (centro). Los materiales incluyeron una bolsa mediana de cerámica, una bolsa pequeña de pedernal, una bolsa pequeña de concha, una bolsa pequeña de hueso animal, y una bolsa pequeña de obsidiana.

Continuando hasta el nivel de piso de la subestructura E2-5 sub 2, excavamos el Lote 13 que fue el último nivel del 1 x 2 m en el lado suroeste de la Unidad 6. Este piso tenía las mismas características que el piso documentado en el Lote 7, con estuco bien preservado. La tierra era de color café (7.5YR 4/3) mezclado con caliza y pedrín. Acabamos el lote con las medidas 155 cm (norte), 150 cm (este), 135 cm (sur), 136 cm (oeste), y 160 cm (centro). Encontramos pocos materiales, incluyendo una bolsa mediana de estuco y una bolsa pequeña de concha.

En este momento, toda la Unidad 6 llegó al mismo nivel. Para seguir debajo del piso de la subestructura E2-5 sub 2, excavamos un pozo de 1 x 1 m en la esquina suroeste de la unidad. Este contexto era el relleno debajo de E2-5 sub 2 y consistió en tierra de color rojo café (5YR 4/3) mezclado con piedras grandes midiendo más de 50 cm de largo. Terminamos el lote y la unidad porque no encontramos mucho material y por la seguridad de los excavadores. Las medidas finales fueron 196 cm (norte), 189 cm (este), 180.5 cm (sur), 205 cm (oeste), y 206 cm centro. El único material recuperado era una bolsa pequeña de cerámica.

Las excavaciones en la Unidad 6 presentaron mucha evidencia de la secuencia de construcción de la plataforma E2-5. La cerámica encontrada en el piso más reciente de la estructura sugiere una ocupación final durante el periodo Clásico Terminal y la gran cantidad de material puede indicar un abandono rápido de esta parte del sitio. Los materiales durante esta fase son consistente con una función habitacional, por la abundancia de fragmentos de metates y manos. La evidencia de la subestructura E2-5 sub 1 requiere más análisis pero parece que indica un cambio grande desde el periodo Clásico Tardío a al periodo Clásico Terminal. Los materiales de esta fase quizás representan una variedad de actividades diferente que solo doméstico, con evidencia de herramientas.

También hay restos de actividades rituales, incluyendo un escondite de concha tallada al centro de uno de los cuartos más grandes de la estructura. La presencia de cenizas en este lugar sugiere que los habitantes dejaron un bulto de objetos encima del piso de la subestructura E2-5 sub 1 antes de construir el relleno de la última etapa de construcción. No parece que penetraron el piso para dejar la ofrenda. Este bulto puede ser similar a los ejemplos representados en monumentos del periodo Clásico Tardío, por ejemplo el Dintel 1 de Yaxchilán. También es evidente que el piso y el relleno de la subestructura E2-5 sub 1 tenían una densidad alta de material, más que en la última etapa de construcción. Con más análisis y quizás más investigaciones verticales sería posible entender la razón por esos cambios. También hay que analizar la cerámica para ver si los pisos de la plataforma E2-5 y sus subestructuras corresponden con los tres pisos documentados en la Unidad 1.

IN-5A-7

La Unidad 7 está ubicada al suroeste de la Unidad 6 y al noroeste de la Unidad 4. El lado suroeste de la unidad está alineado con el muro exterior de la estructura, y un árbol estaba creciendo desde un muro interior. Las medidas de la superficie de la tierra desde el dato fueron 60 cm (norte), 57.5 cm (este), 69 cm (sur), 72.5 cm (oeste), y 61.5 cm (centro) (Figura 2.68).

El Lote 1 era la capa de humus menos de 5.5 cm de ancho de un color negro (10YR 2/1). Las medidas al fin del lote fueron 62 cm (norte), 60 cm (este), 70 cm (sur), 73 cm (oeste), y 67 cm (centro). El lote terminó cuando llegamos al nivel de piso. Los materiales recuperados incluyeron una bolsa mediana de cerámica y una bolsa pequeña de fragmentos de metates.

El Lote 2 consistió en el nivel de piso alrededor del muro interior. El color de la tierra era negro (7.5 YR 2.5/1). El lote terminó con las medidas 66 cm (norte), 65 cm (este), 72 cm (sur), 74 cm (oeste), y 68 cm (centro). El muro interior, junto con el muro interior en la Unidad 3, forma el cuarto pequeño en la Unidad 4. Este muro interior en la Unidad 7 es el menos preservado por las raíces del árbol y el derrumbe al suroeste. Los materiales incluyeron una bolsa grande de cerámica, una bolsa pequeña de cerámica, y un fragmento de metate.

IN-5A-8

La Unidad 8 fue abierta al noroeste de la Unidad 5 con el muro exterior de la plataforma E2-5 en su lado nordeste y con parte de un muro interior en su lado noroeste. Las medidas al principio del lote fueron 49 cm (norte), 46 cm (este), 42 cm (sur), 55 cm (oeste), y 45 cm (centro).

El Lote 1 era la capa de humus menos de 10 cm de ancho con color negro (10YR 2/1). Las medidas al cerrar el lote fueron 50 cm (norte), 50 cm (este), 49 cm (sur), 63 cm (oeste), y 55 cm (centro). Los materiales recuperados eran una bolsa mediana de cerámica y una piedra posiblemente usada como peso de pescado.

El Lote 2 era el nivel de piso alrededor del muro interior con una mezcla de tierra de color negro (7.5YR 2.5/1) con caliza y piedrín. El piso era mala preservada por los procesos naturales de las raíces del árbol. Después de encontrar el piso, terminamos el lote con las medidas 65 cm (norte), 55 cm (este), 57 cm (sur), 63 cm (oeste), y 62 cm (centro). Los materiales recuperados incluyeron una bolsa mediana de cerámica.

IN-5A-11

Excavamos la Unidad 11 al noroeste de la Unidad 8 para investigar el otro lado del muro interior. Las medidas empezaron con 45 cm (norte), 46 cm (este), 64 cm (sur), 64 cm (oeste), y 69 cm (centro).

El Lote 1 consistió en la capa de humus menos de 7 cm de ancho con color negro (10YR 2/1). Acabamos el lote cuando llegamos al nivel de piso con las medidas 45 cm (norte), 53 cm (este), 67 cm (sur), 70 cm (oeste), y 71 cm centro. Los materiales recuperados incluyeron una bolsa mediana de cerámica.

Mientras excavamos el muro interior en la Unidad 11, observamos que había una depresión en medio del muro con un diámetro de 40 cm. Pensando que pudiera ser un rasgo cultural, posiblemente una cisterna, excavamos el Lote 2, que consistió en el interior de esta depresión encima del muro. La tierra tenía el color negro (7.5YR 2.5/1). Acabamos el lote cuando encontramos que solo había relleno del muro en la depresión. Las medidas finales eran 63 cm (norte), 67 cm (este), 64.5 cm (sur), 68 cm (oeste), y 66.5 cm (centro). Los materiales incluyeron una bolsa pequeña de cerámica.

Moviendo afuera del muro, excavamos el Lote 3, el nivel de piso alrededor del muro interior en la Unidad 11. El color de la tierra era café muy oscuro (7.5YR 2.5/2). Cuando llegamos al nivel de relleno debajo del piso, terminamos el lote con las medidas 67 (norte), 68 cm (este), 67 cm (sur), 79 cm (oeste), y 76 cm (centro). Los materiales recuperados incluyeron una bolsa grande de cerámica, una bola de cerámica, una bolsa pequeña de bajareque, una bolsa pequeña de obsidiana, una bolsa pequeña de pedernal.

Examinando el otro lado de la estructura inmediatamente al suroeste de la Unidad 11 vimos evidencia de otro muro interior que está ubicado parcialmente en la Unidad 10. Aunque no excavamos la Unidad 10, la forma del muro interior era visible en la superficie de la tierra. También en el medio de este muro había una depresión de aproximadamente 40 cm de diámetro. Con esta evidencia de simetría en la estructura, parece que estos dos muros interiores formaban una entrada a la mitad noroeste de la estructura que no fue excavada. Es probable que las depresiones sirvieron para hoyos de palo grandes para soportar las paredes de bajareque y el techo percedero de la estructura.

IN-5A-12

La Unidad 12 fue agregado a la Operación 5A para continuar las investigaciones de la eje nordeste-suroeste de la estructura E2-5. La unidad fue ubicada al suroeste de la Unidad 4 y queda al lado opósito de la Unidad 1 encima de la escalera al lado suroeste de la plataforma. Otro objetivo de la unidad fue para buscar evidencia de un piso afuera de la estructura para determinar si era un área de acceso o si era un área de desecho de basura. Entonces, la Unidad 12 era uno de los pozos verticales en esta operación. Las medidas de la superficie de la tierra desde el dato fueron 65 cm (norte), 58 cm (este), 113.5 cm (sur), 128.5 cm (oeste), 101 cm (centro) (Figura 2.69).

El Lote 1 consistió en una capa de humus entre 6 y 9 cm de ancho con color negro (7.5YR 2.5/1). Las medidas de profundidad terminaron con 74 cm (norte), 64 cm (este), 121 cm (sur), 130 cm (oeste), y 107 cm (centro). Los materiales recuperados incluyeron una bolsa grande de cerámica y una bolsa pequeña de pedernal.

Como error de campo, omitimos el Lote 2 y pasamos directamente al Lote 3. Este lote consistió en un nivel de relleno con tierra de color café (7.5YR 4/3). Las medidas terminales fueron 123 cm (norte), 124 cm (este), 145 cm (sur), 153 cm (oeste), y 146 cm (centro). Los artefactos excavados incluyeron una bolsa grande de cerámica, una bolsa pequeña de huesos de animal, una bolsa pequeña de obsidiana, una bolsa mediana de bajareque, una bolsa pequeña de pedernal, y una bolsa pequeña de concha (Figura 2.70).

El Lote 4 era el mismo nivel de relleno de color 7.5 YR 5/3 café. La cantidad de material bajó, incluyendo una bolsa mediana de cerámica y una bolsa pequeña de estuco preservado y similar al piso documentado en IN-5A-6-7. El estuco en IN-5A-12-4 probablemente no representó un piso afuera de la estructura sino basura de un episodio de renovación de la plataforma. Hay que examinar la cerámica para ver si esta consistente con la cerámica del periodo de la construcción de la subestructura E2-5 sub 2. Para no causar colapso del muro exterior suroeste de la plataforma E2-5, acabamos la unidad con las medidas 160 cm (norte), 166 cm (este), 153 cm (sur), 160 cm (oeste), y 193 cm (centro).

IN-5A-13

La Unidad 13 era un pozo de 1 x 1.8 m puesto al lado sureste de la plataforma E2-5 al lado de la Unidad 2. La Unidad 13 extendió la Operación 5A para revelar esta parte del muro exterior y para ver si había evidencia de un basurero. Entre la estructura E2-5 y E2-4 hay un callejón pequeño donde los muros exteriores de las dos estructuras están separados. Un rasgo interesante y no bien entendido es un muro en la esquina este de la plataforma E2-5 que bloquea acceso a este callejón. Este muro está por lo menos doble la altura del muro exterior de la plataforma y está construida de mampostería seca. Puede ser que el muro fue construido para bloquear acceso al patio desde el suroeste o posiblemente bloquear acceso al acantilado peligroso desde el patio. La manera de construcción parece tan distinto al resto del patio que no había mucho esfuerzo para integrar el muro con la arquitectura alrededor. Por esa razón, es posible que el muro fue construido rápidamente por una razón defensiva. Si hay evidencia de

abandono rápido de la plataforma posiblemente sería evidencia de este evento. Medido desde el mismo data de la Operación 5A, el nivel de la superficie de la tierra era 56 cm (norte), 34 cm (este), 36 cm (sur), 55 cm (oeste), y 53 cm (centro).

El Lote 1 consistió en la capa de humus 13 cm de ancho con tierra color negro (7.5YR 2.5/1). Las medidas de profundidad al terminar el lote fueron 58 cm (norte), 47 cm (este), 49 cm (sur), 55 cm (oeste), y 66 cm (centro). Los materiales recuperados incluyeron una bolsa pequeña de cerámica.

El Lote 2 era un nivel de derrumbe encima del callejón entre las estructuras E2-4 y E2-5 con tierra color café muy oscuro (7.5YR 2.5/2). El lote terminó con la profundidad de 61 cm (norte), 47 cm (este), 49 cm (sur), 55 cm (oeste), y 77 cm (centro). Los materiales recuperados incluyeron una bolsa mediana de cerámica y una bolsa pequeña de bajareque (Figura 2.71).

El Lote 3 era la continuación del nivel de derrumbe anterior en el callejón con tierra color gris muy oscuro (7.5YR 3/1). El lote terminó cuando limpiamos el derrumbe hasta el nivel de piso entre las estructuras E2-4 y E2-5, marcado con bloques grandes. Los materiales recuperados incluyeron una bolsa mediana de cerámica, una bolsa pequeña de estuco, una bolsa mediana de concha, una bolsa pequeña de pedernal. En general, encontramos poco material en la Unidad 13, y no hay evidencia de un basurero. Sugiere que este lugar fue usado como un pasillo limpio hasta que el lugar fuera restringido por la construcción del muro. Posiblemente, hay evidencia de un basurero en otra parte del callejón. La medida final al centro de la unidad fue 96 cm.

Las excavaciones de la plataforma E2-5 revelaron la forma de la estructura y evidencia de las actividades. También las excavaciones verticales mostraron que esta parte del sitio estaba ocupado por mucho tiempo desde el periodo Preclásico Tardío hasta el Clásico Terminal. Análisis de la cerámica y de las muestras de carbón posiblemente pueden averiguar si estas ocupaciones eran continuos o distintas. La forma de la estructura evidentemente era una habitación formal pero fue construida sin piedras trabajadas. La gente usó piedras locales sin preocupación de modificarlas. Esta evidencia está consistente con una ocupación del periodo Clásico Terminal en un lugar de acceso complicado. La evidencia de varias puntas de flechas y parte de un muro posiblemente defensivo sugiere que había conflicto en el sitio en este periodo. La ubicación de este muro también puede significar que durante el periodo Clásico Tardío había un deseo de restringir acceso a los patios más élites, como ha sido documentado en otros sitios

Mayas. Trabajos futuros van a comparar y contrastar esta evidencia con excavaciones horizontales en otras partes del sitio.

Operación 5B

La Operación 5B consistió en excavaciones horizontales atrás de la estructura E2-4. Al suroeste de esta estructura monumental hay una plataforma baja, la estructura E2-9. Hay un pasillo entre las estructuras E2-4 y E2-9, y más abajo al noroeste había una línea de piedras, posiblemente un muro o derrumbe de la plataforma E2-9. Estas excavaciones tenían el objetivo de definir mejor la forma de la estructura E2-9 y el pasillo. Las excavaciones horizontales enfocaron en cuatro unidades, cada uno de 2 x 2 m, juntos formando un cuadrado de 4 x 4 m, orientado 50° del norte (Figura 2.72).

IN-5B-1

La Unidad 1 se ubicó en la esquina norte de los cuatro pozos. La mitad noreste de la unidad era encima del pasillo entre las estructuras E2-4 y E2-9, y la mitad suroeste cubrió parte del muro exterior de la estructura E2-9. La superficie de la tierra midió desde el dato 92 cm (norte), 64 cm (este), 61 cm (sur), 53.5 cm (oeste), y 80 cm (centro).

Excavamos la unidad en un solo lote que consistió en la capa de humus de color café muy oscuro (7.5YR 2.5/2). Llegamos a un nivel de derrumbe de la estructura E2-4 con las medidas del dato 95 cm (norte), 72 cm (este), 62 cm (sur), 62 cm (oeste), y 83 cm (centro). Por ser solo la capa de humus, encontramos bastante cerámica, una bolsa mediana. No bajamos más en el pozo por razones de tiempo, pero sería un buen lugar para buscar basureros.

IN-5B-2

La Unidad 2 estaba ubicada al sureste de la Unidad 1, también cubriendo parte del pasillo y parte de la estructura E2-9. Al lado sureste del pozo, la estructura E2-9 junta con la base de la estructura E2-4, delineando el fin del pasillo. La superficie de la tierra midió desde el dato 65 cm (norte), 38 cm (este), 56 cm (sur), 58.5 cm (oeste), y 81.5 cm (centro) (Figura 2.73).

También excavamos un solo lote en la Unidad 2. El Lote 1 consistió en la capa de humus de color café muy oscuro (7.5YR 2.5/2). Al fin del lote, las medidas de profundidad

fueron 70 cm (norte), 42 cm (este), 56 cm (sur), 58.5 cm (oeste), y 84 cm (centro). Los materiales recuperados incluyeron una bolsa mediana de cerámica.

IN-5B-3

La Unidad 3 estaba puesto al noroeste de la Unidad 1 para revelar el muro exterior de la estructura E2-9. La superficie de la tierra midió desde el dato 46 cm (norte), 58.5 cm (este), 87 cm (sur), 45 cm (oeste), y 62.5 cm (centro). También solo excavamos el primer lote de la unidad. Después de encontrar que todo el pozo estaba ubicado encima del muro exterior, movemos a la Unidad 4.

El Lote 1 era la capa de humus de color café muy oscuro (7.5YR 2.5/2). Las medidas finales de la unidad fueron 54 cm (norte), 58.5 cm (este), 87 cm (sur), 45 cm (oeste), y 77 cm (centro). No era posible continuar más sin destruir el muro exterior de la estructura E2-9. Los materiales recuperados incluyeron una bolsa mediana de cerámica.

IN-5B-4

La Unidad 4 estaba ubicada al sureste de la Unidad 3 y era el único pozo que excavamos en dos lotes. Está ubicada adentro de la estructura E2-9. Las medidas a empezar el Lote 1 fueron 62 cm (norte), 56.5 cm (este), 77 cm (sur), 86 cm (oeste), y 63 cm (centro) (Figura 2.74).

El Lote 1 consistió en la capa de humus de color café muy oscuro (7.5YR 2.5/2). Terminamos el lote cuando llegamos a un nivel de derrumbe arriba del piso. Las medidas al fin del Lote 1 fueron 63 cm (norte), 65 cm (este), 81 cm (sur), 91 cm (oeste), y 75 cm (centro). Los materiales recuperados incluyeron una bolsa pequeña de cerámica.

El Lote 2 era el nivel de derrumbe debajo del humus con tierra de color café oscuro (7.5YR 3/2). Buscamos el piso de la estructura E2-9, pero no había evidencia de un piso ni mucho material. Terminamos el lote con las medidas 97 cm (norte), 93 cm (este), 93 cm (sur), 103.5 cm (oeste), y 98.5 cm (centro). Los materiales incluyeron una bolsa mediana de cerámica. La función de la estructura no está clara pero parece que sirvió más para un patio o terraza elevada y menos como uso doméstico.

Operación 5C

Durante el mapeo del sitio, encontramos un hacha bifacial grande de pedernal encima de la estructura E2-8. Esta estructura consiste en un afloramiento de piedra natural con una plataforma pequeña construida encima. No hay espacio para vivir ni para ni almacenamiento. La plataforma está ubicada al lado de un acantilado y tiene una buena vista hacia el sur y el nordeste. Posiblemente sirvió como un puesto de observación militar y por eso encontramos un hacha. Para investigar esta hipótesis, abrimos una unidad al lado de la plataforma para buscar más evidencia de herramientas de lítica.

IN-5C-1

La Unidad 1 era un pozo de 1 x 2 m orientado 88° del norte encima de la estructura E2-8. Esta unidad fue ubicada al norte de un grupo de piedras donde encontramos un hacha de pedernal en la superficie. La medida de la superficie de la tierra fue 27 cm en la esquina nordeste de la unidad (Figura 2.75).

El Lote 1 consistió en la capa de humus con tierra color negro (7.5YR 2.5/1). La medida al final del lote fue 36 cm en la esquina nordeste de la unidad. Recuperamos pocos artefactos, incluyendo una bolsa mediana de cerámica, una bolsa pequeña de pedernal, y un hacha de pedernal (superficie).

El Lote 2 consistió en un nivel de derrumbe de la plataforma E2-8 directamente encima de la roca madre. La tierra era de color café muy oscuro (7.5YR 2.5/2). La medida final de la unidad fue 39 cm en la esquina nordeste del pozo. Los materiales recuperados fueron pocos, incluyendo una bolsa mediana de cerámica y una bolsa pequeña de pedernal (Figura 2.76).

Operación 6A

Moviendo de la cumbre del cerro, empezamos a investigar la parte baja del sitio. Esta parte es bien diferente que la sección alta en el diseño de las estructuras y su tamaño más monumental. El año pasado formamos la hipótesis que la parte baja del sitio fuera más antiguo y parece que tuvimos razón por la cerámica que recuperamos durante las excavaciones de 2016. El análisis de cerámica en años futuros clarificará la cronología.

La Operación 6A fue ubicada entre las estructuras D2-1 y D2-2, que son dos montículos grandes en un patio rodeado por una terraza que sigue la base del cerro. El montículo D2-1 está

completamente saqueado y el montículo D2-2 no tanto. Con esta operación, esperamos entender mejor la cronología de este patio. La operación consistió en dos unidades orientadas 50° del norte.

IN-6A-1

La Unidad 1 midió 1 x 1 m y la medida de la superficie de la tierra fue 47 cm en el centro de la unidad. Excavamos esta unidad en solo dos lotes porque la tierra era tan compacta por las actividades de ganado y los tipos de suelos. También recuperamos muy pocos artefactos y una sugerencia para trabajo futuro es planear un sistema de sondeo con palas para encontrar áreas de actividad (Figura 2.77).

El Lote 1 consistió en la capa de humus de tierra color negro (5YR 2.5/1). Este lote terminó con 55.5 cm en el centro de la unidad. Recuperamos solo una bolsa pequeña de cerámica en este nivel.

El Lote 2 era un nivel de relleno muy compacto consistiendo en piedrín y rocas pequeñas de 5 cm de largo. Era muy difícil excavar este relleno. El color de la tierra era café muy oscuro (7YR 3/2). Los materiales recuperados incluyeron una bolsa pequeña cerámica y una bolsa pequeña de pedernal. Terminamos el lote cuando llegamos a una laja trabajada – la única encontrada en todo el sitio. La medida final del lote fue 73 cm en el centro de la unidad.

IN-6A-2

Ampliamos la Unidad 1 para revelar toda la laja descubierta en IN-6A-1-2. La Unidad 2 era un pozo de 0.5 x 1 m al noroeste de la Unidad 1. Esta unidad empezó con una medida de la superficie de 50.5 cm al centro de la unidad. La laja continuó en la Unidad 2 pero solo 20 cm más. Excavamos el pozo en dos lotes.

El Lote 1 consistió en la capa de humus de 8-10 cm de ancho con tierra color negro (7.5YR 2.5/1). Este lote terminó con la medida 59 cm al centro de la unidad. No recuperamos artefactos en este lote.

El Lote 2 era un nivel de relleno muy compacto de piedrín y piedras de 5 cm de largo mezclado con tierra de color café muy oscuro (10YR 2/2). Excavamos el Lote 2 hasta la base de la piedra trabajada. Levantamos la piedra pero solo encontramos más relleno compacto abajo.

Por la dificultad de excavar el relleno, y también porque no recuperamos ningún artefacto, decidimos acabar la unidad con la medida final de 74 cm al centro del pozo (Figura 2.78-2.79).

La ubicación de una piedra bien trabajada en el relleno del patio no tiene buena explicación. Es probable que la piedra fuera parte de la fachada de la estructura D2-1 hasta que la construcción del patio cuando fue usado para relleno. Por el saqueo de la estructura D2-1 es difícil entender mejor su contexto.

Operación 7A

La Operación 7A fue ubicada encima de la estructura C2-1, que junto con la estructura C2-2 forma la estructura más monumental del sitio. Esta estructura mide casi 50 m de largo y entre 8 y 10 metros de altura. Parece que fuera construida como terraza modificada al lado del cerro. La función de la estructura no está clara pero por el gran espacio encima de la estructura es posible que tenía usos rituales. No hay evidencia clara de una escalera para subir, entonces el acceso probablemente era desde el nordeste o el suroeste. Durante la temporada de 2016, abrimos una unidad en esta operación para buscar material para entender mejor la relación entre la estructura y el resto del sitio.

IN-7A-1

La Unidad 1 midió 2 x 2 m y fue orientada 50° del norte. La unidad fue puesta encima de una parte plana encima de la estructura C2-1 donde había un fragmente de metate de caliza en la superficie de la tierra. Este metate probablemente fue movido recientemente. La medida de la superficie de la tierra al empezar la unidad fue 74.5 cm en el centro del pozo (Figura 2.80).

Por la manera de relleno de piedras grandes y por la ausencia de vegetación encima de la estructura C2-1, no había una capa de humus orgánica. Ni había un nivel de piso encima de la estructura. Empezamos el Lote 1 inmediatamente con relleno de piedras de 30 cm de largo. Había evidencia de pedrín y caliza mezclado con la tierra, entonces posiblemente había piso destruido. La tierra era de color café rojo oscuro (5YR 3/4). No encontramos mucho material, solo una bolsa mediana de cerámica, una bolsa pequeña de concha, y un metate (superficie). Terminamos el lote y el pozo por razones de tiempo y porque casi no había tierra para cribar. El lote terminó con una medida de 101 cm al centro de la unidad.

Operación 7B

La Operación 7B fue ubicada en la base de la estructura C2-2 para investigar la cronología del patio en esta parte del sitio. Excavamos una sola unidad al lado sureste de la estructura. Pensamos que sería un buen lugar para examinar materiales que posiblemente cayeron de la estructura, quizás por las actividades, la presencia de un basurero, o por las acciones naturales.

IN-7B-1

La Unidad 1 midió 1 x 2 m y fue orientada 34° aproximadamente con la estructura C2-2. La superficie de la tierra empezó con 76 cm en la esquina norte. Consideramos ampliar las excavaciones si encontramos materiales, pero el suelo en esta zona también era muy difícil de excavar. Por eso, solo excavamos el pozo en un lote (Figura 2.81).

El Lote 1 consistió en un nivel de derrumbe de la estructura C2-2. La tierra era de color rojo café oscuro (5YR 2.5/2) y el suelo tenía la consistencia de barro muy compacto sin muchas piedras. No encontramos materiales y terminamos el lote con una medida de 88 cm en la esquina norte de la unidad.

Operación 8A

En un esfuerzo para encontrar una parte de esta zona del sitio con mejor suelos para excavar y para encontrar materiales, empezamos la Operación 8A al lado de la terraza D2-3 que sigue la forma natural de la base del cerro. Esta operación estaba ubicada al nordeste de la estructura D2-1 y al sur de la terraza D2-3. Aquí, en la base de la terraza, los suelos no eran tan compactos y tuvimos más suerte encontrando material. La Operación 8A consistió en dos unidades orientada 60° del norte.

IN-8A-1

La Unidad 1 midió 1 x 1 m y fue ubicada en la base de la terraza D2-3, en la entrada a una ruta para subir hasta la estructura D1-1 encima del cerro. En esta unidad encontramos más material pero en un contexto de derrumbe o erosión desde arriba de la terraza. La medida de la superficie de la tierra a empezar las excavaciones fue 46 cm en la esquina oeste de la unidad (Figura 2.82).

El Lote 1 consistió en una capa de humus ancha de entre 15 y 20 cm por la inclinación de la base del cerro y la terraza. La tierra era de color rojo café oscuro (5YR 2.5/2). El lote terminó con la medida de 64 cm en la esquina oeste de la unidad. Los materiales recuperados incluyeron una bolsa mediana de cerámica.

El Lote 2 era un nivel de derrumbe causado por la erosión de materiales al lado de la terraza. Había pocas piedras en el derrumbe con tierra de color rojo café oscuro (5YR 2.5/2). Los materiales recuperados incluyeron una bolsa mediana de cerámica y una bolsa pequeña de pedernal. El lote terminó con una medida de 77 cm en la esquina oeste de la unidad.

El Lote 3 consistió en la continuación del nivel de derrumbe de la terraza adyacente y relleno de tierra. La tierra era del mismo color rojo café oscuro (5YR 2.5/2). El lote terminó con una medida de 88 cm en la esquina oeste de la unidad cuando llegamos al nivel del patio. También bajó la densidad de artefactos. Solo recuperamos una bolsa pequeña de cerámica.

IN-8A-2

La Unidad 2 también se ubicó en la base de la terraza D2-3, tres metros al suroeste de la Unidad 1. La Unidad 2 midió 1 x 2 m con el lado largo siguiendo la orientación de la terraza, 60° del norte. El contexto y la cantidad de material en este pozo eran similar a la Unidad 1, con la mayoría de artefactos saliendo de la erosión de la terraza. La medida de la superficie de la tierra empezó con 58.5 cm en la esquina este de la unidad (Figuras 2.83-2.84).

El Lote 1 consistió en una capa de humus entre 8 y 15 cm de ancho con tierra color rojo café oscuro (5YR 2.5/2). Este lote terminó con una profundidad de 66.5 cm en la esquina este de la unidad. Los materiales recuperados incluyeron una bolsa mediana de cerámica.

El Lote 2 era un nivel de derrumbe y erosión de la terraza D2-3. El color de la tierra era café muy oscuro (7.5YR 2.5/2) con pocas piedras que cayeron de la pared de la terraza. El lote terminó con una profundidad de 72 cm en la esquina este de la unidad. Recuperamos poco material, incluyendo una bolsa pequeña de cerámica.

El Lote 3 era la continuación del nivel de derrumbe de la terraza. La tierra tenía un color café muy oscuro con pocas piedras. Terminamos el lote cuando era evidente que llegamos al nivel de la base de la terraza D2-3. La medida de la profundidad del lote al fin midió 82 cm debajo del dato en la esquina este del pozo. Los materiales recuperados aumentaron, incluyendo

una bolsa mediana de cerámica, una herramienta de pedernal bifacial, una bolsa pequeña de pedernal.

El Lote 4 consistió en un nivel de relleno debajo de la superficie del patio entre la terraza D2-3 y la estructura D2-1. La única evidencia de un piso formal era la presencia de pedrín en el perfil sureste de la unidad. El matriz del relleno era de tierra color café muy oscuro (5YR 2.5/2) con pocas piedras midiendo 20 cm de largo. Terminamos el lote con 99 cm de profundidad en la esquina este de la unidad. Los materiales recuperados incluyeron solo una bolsa mediana de cerámica.

Operación 8B

Para entender mejor el contexto de los artefactos recuperados en la unidad 8A que salieron ante todo de la erosión de la terraza D2-3, abrimos la Operación 8B encima de la terraza. Esta operación fue ubicada 4 m al norte de la Unidad IN-8A-1 al lado de una roca grande natural encima de la terraza en un lugar plano. Esta operación tenía la meta de examinar el uso de la terraza y su forma de construcción.

IN-8B-1

La Operación 8B consistió en una sola unidad que midió 1 x 1 m y fue orientada 80° del norte. El dato fue puesto en un árbol al este de la unidad, y la medida de la superficie de la tierra al empezar fue 6 cm en la esquina nordeste de la unidad. La Unidad 1 fue ubicada un una parte de la terraza con la menos probabilidad de ser afectado por erosión para ver si encontramos artefactos en su contexto original (Figura 2.85).

El Lote 1 consistió en una capa de humus 9 cm de ancho con tierra de color café muy oscuro (7.5YR 2.5/2). El lote terminó con una profundidad de 15 cm en la esquina nordeste de la unidad. No recuperamos artefactos en este lote.

El Lote 2 era un nivel de erosión de tierra de arriba. Derrumbe no es una buena descripción porque no hay arquitectura más arriba, pero el lote era un nivel de tierra natural adentro de la terraza. La tierra era de color negro (7.5YR 2.5/1) mezclado con pocas piedras. El lote terminó con un nivel de 22 cm medido desde el dato en la esquina nordeste de la unidad. Recuperamos una bolsa pequeña de cerámica y una bolsa pequeña de concha.

Operación 9A

Esta operación experimentó con otra estrategia de entender la forma de las terrazas y para recuperar artefactos. En vez de seguir la orientación de la terraza D2-3, la Operación 9A fue perpendicular a la terraza, formando una trinchera para examinar una parte encima de la terraza y una parte debajo. Esta operación consistió en una unidad.

IN-9A-1

La Unidad 1 fue ubicada en la misma terraza D2-3, 16 m al nordeste de la Operación 6A y 13 metros al sudeste de la Operación 8A. La Unidad 1 midió 1 x 2 m con el lado largo perpendicular a la orientación de la terraza. La orientación de la unidad era 40° del norte. El dato fue puesto en un árbol al noroeste de la unidad. La superficie de la tierra midió 6.5 cm (esquina norte), 6.5 cm (este), 76 cm (sur), 74.5 cm (oeste), y 41.5 cm (centro) (Figura 2.86).

El Lote 1 era la capa de humus de entre 2 cm y 13 cm de ancho con tierra de color café muy oscuro (7.5YR 2.5/2). Las medidas de profundidad al final del lote fueron 11 cm (norte), 19 cm (este), 78 cm (sur), 79 cm (oeste), y 41.5 cm (centro). Los materiales recuperados incluyeron una bolsa pequeña de cerámica y una bolsa pequeña de pedernal.

La mayoría del Lote 2 consistió en un nivel de derrumbe debajo de la terraza con tierra coluvial (erosión) encima de la terraza. La tierra tenía un color de café muy oscuro (7.5YR 2.5/2) con piedras pequeñas midiendo menos de 10 cm de largo. Las medidas de profundidad terminaron el lote con 20 cm (norte), 25 cm (este), 83 cm (sur), 84 cm (oeste), y 44.5 cm (centro). Recuperamos poco material incluyendo una bolsa pequeña de cerámica.

Seguimos excavando solo la parte suroeste de la unidad debajo de la terraza para llegar al nivel del patio. El Lote 3 siguió con un nivel de derrumbe de la terraza consistiendo de tierra color café muy oscuro (7.5YR 2.5/2) con muchas piedras midiendo menos de 10 cm de largo. Las medidas finales del lote fueron 88 cm (sur), 88 cm (oeste), y 81 cm (centro). Los materiales recuperados incluyeron una bolsa grande de cerámica, una bolsa pequeña pedernal, y una piedra pulida.

El Lote 4 era otro nivel de derrumbe buscando la base de la terraza. La tierra tenía el color café muy oscuro (7.5YR 2.5/2) con piedras de 10 cm de largo con piedras derrumbadas de terraza más grande hasta 30 cm de largo. Terminamos el lote cuando llegamos a la base de la terraza y aparentemente el nivel del patio. Las medidas finales de la profundidad del lote fueron

92 cm (sur), 91 cm (oeste), y 90 cm (centro). La densidad de material siguió con una bolsa grande de cerámica.

El Lote 5 consistió en el nivel de relleno debajo del patio al lado de la terraza con tierra color café muy oscuro (7.5YR 2.5/2). Las piedras de relleno midieron entre 10 y 30 cm de largo. Las medidas de profundidad finales fueron 104 cm (sur), 103 cm (oeste), y 104 cm (centro). La densidad de materiales bajó e incluyeron una sola bolsa pequeña de cerámica.

Las excavaciones en las operaciones 8A, 8B, y 9A no produjeron muchos artefactos pero sí revelaron una posible función de las terrazas. La única evidencia de construcción es el muro exterior de la terraza construido con piedras de 30 cm de largo. Estas piedras fueron puestas en este lugar para aprovechar de la erosión natural al lado del cerro. Posiblemente esta terraza sirvió para evitar que la erosión llegara a cubrir el patio o más probable estas terrazas fueron construidas para usos agrícolas. La ausencia de piedras grandes y evidencia de construcción adentro de las terrazas sugiere que fueron mantenidos para la agricultura. La cerámica parece fechar solamente al periodo Preclásico, entonces quizás estas terrazas fueron abandonadas y no reusadas durante el periodo Clásico. Un cambio ocurrió durante el periodo Clásico, y terrazas fueron construidas encima del cerro, quizás para mejorar la defensa de sus recursos.

Conclusiones

Las excavaciones de la temporada de 2016 plantearon varias preguntas para investigar en el futuro. La Operación 5A reveló por lo menos tres fases de construcción en el grupo más monumental de la parte alta del sitio. En particular la fase última y la fase penúltima parecen ser distintas en la calidad de su material. ¿Podemos atribuir esas diferencias al colapso del reino de Piedras Negras? Además, la relación entre las ocupaciones Preclásicas y Clásicas será útil para entender. ¿Porque parece que los habitantes Clásicos solo reocuparon la parte alta del sitio y no la parte baja? ¿Fueron continuos las varias ocupaciones o distintos con periodos de abandono? Parece evidente que los muros y otros rasgos identificados durante el reconocimiento de 2016 sugieren un uso defensivo para el sitio, pero hay que también entender las otras actividades domésticas y rituales del sitio. Con el permiso del Consejo de Arqueología del INAH y Eric Pérez González esperamos abordar estas preguntas en el contexto del paisaje político complicado de los reinos Clásicos del Usumacinta.

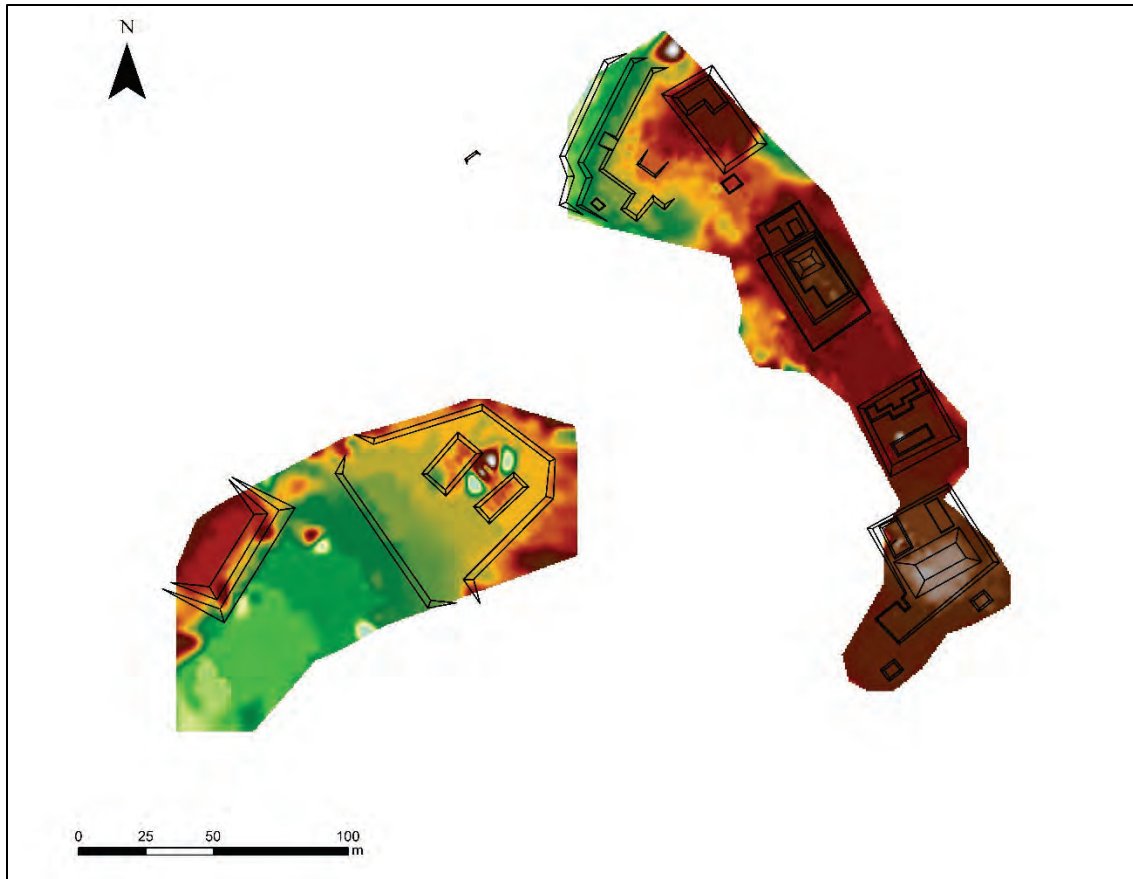


Figura 2.1 Mapa topográfico de El Infiernito (por W. Schroder, Y. Cabrera, y C. Medina).

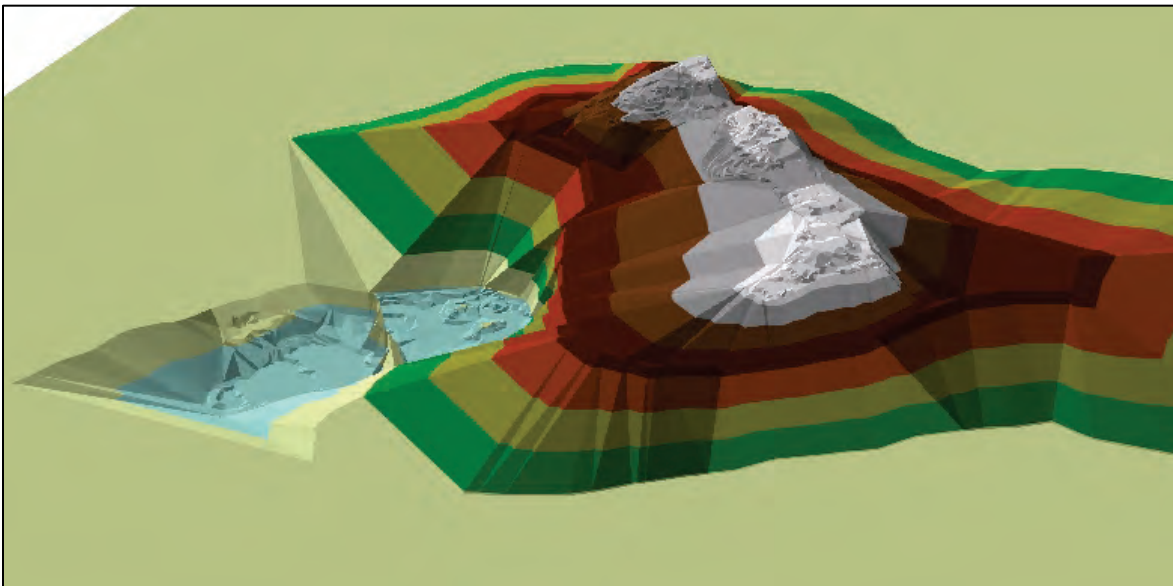


Figura 2.2 Modelo 3D de El Infiernito.

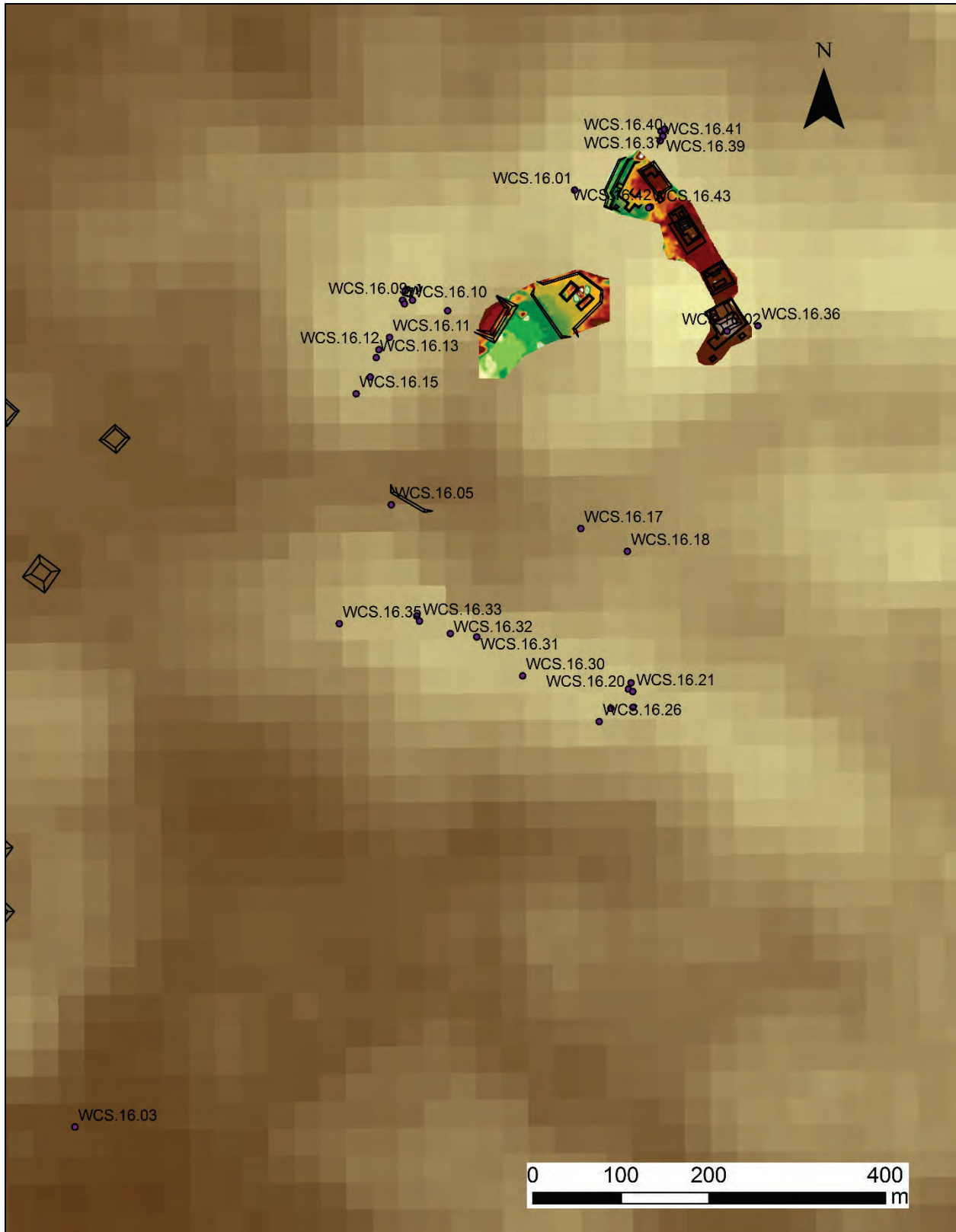


Figura 2.3 Mapa de los alrededores de El Infiernito con puntos de GPS (por W. Schroder).

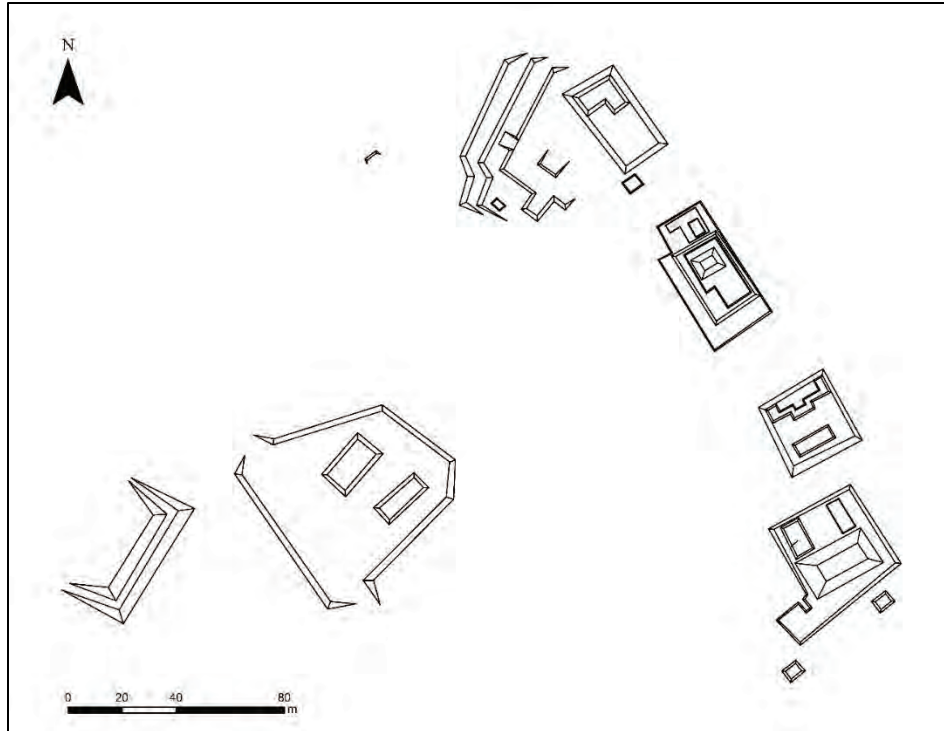


Figura 2.4 Mapa de El Infiernito, 2016.

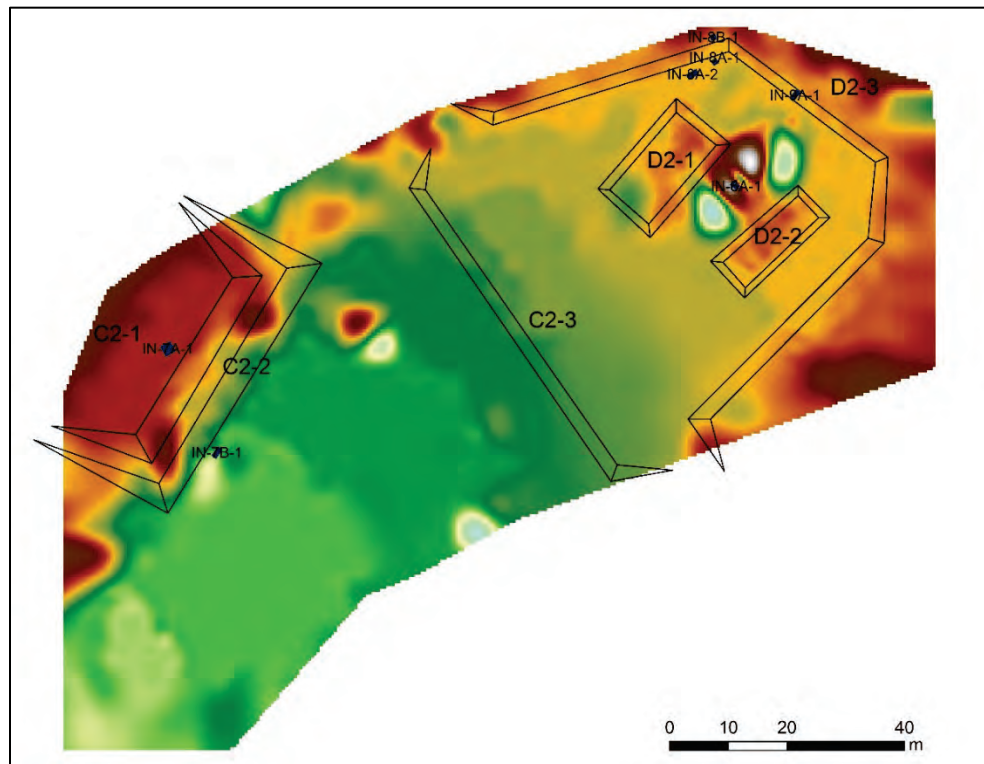


Figura 2.5 Estructuras y operaciones en la parte baja de El Infiernito.

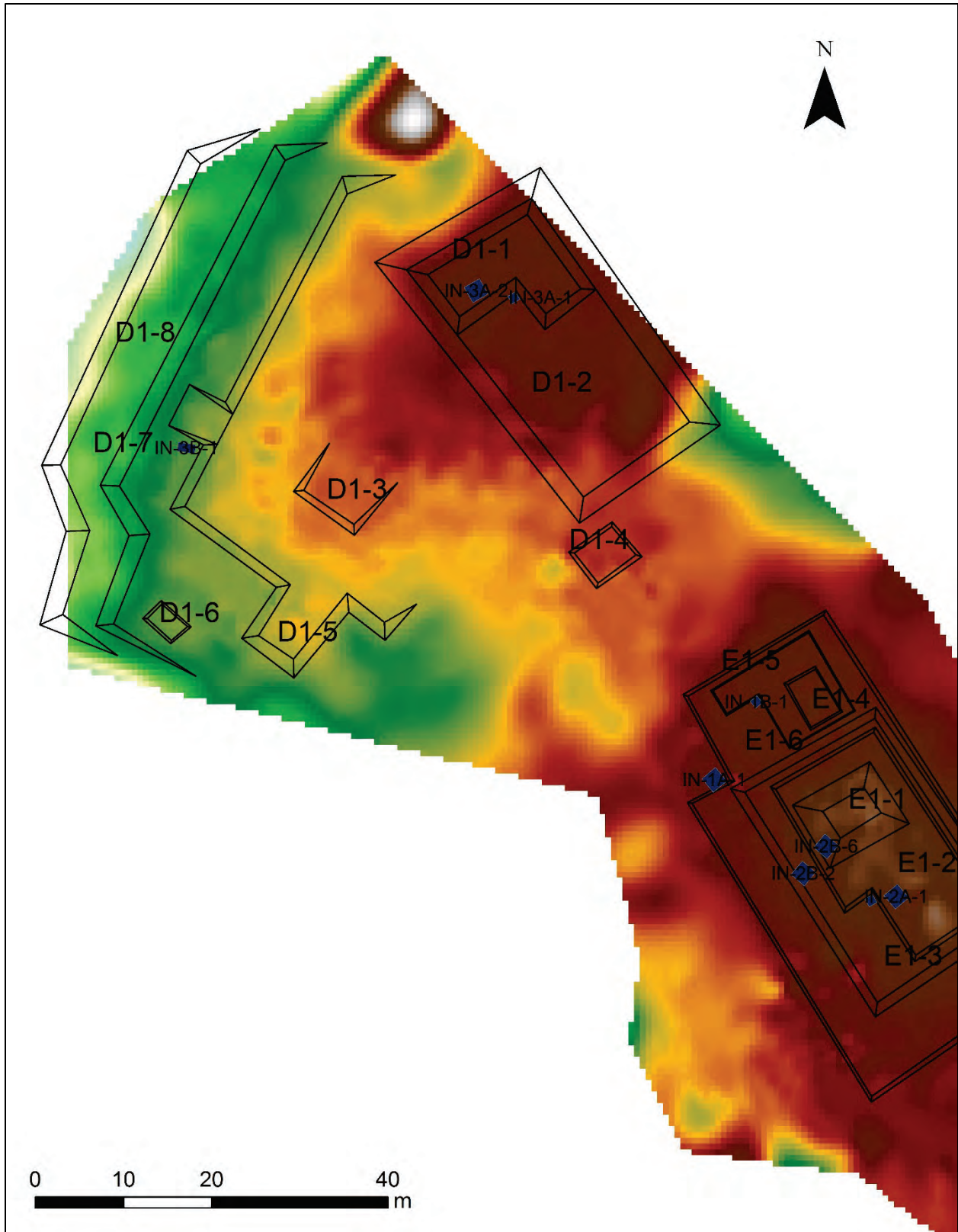


Figura 2.6 Estructuras y operaciones en la parte alta del sitio, norte.

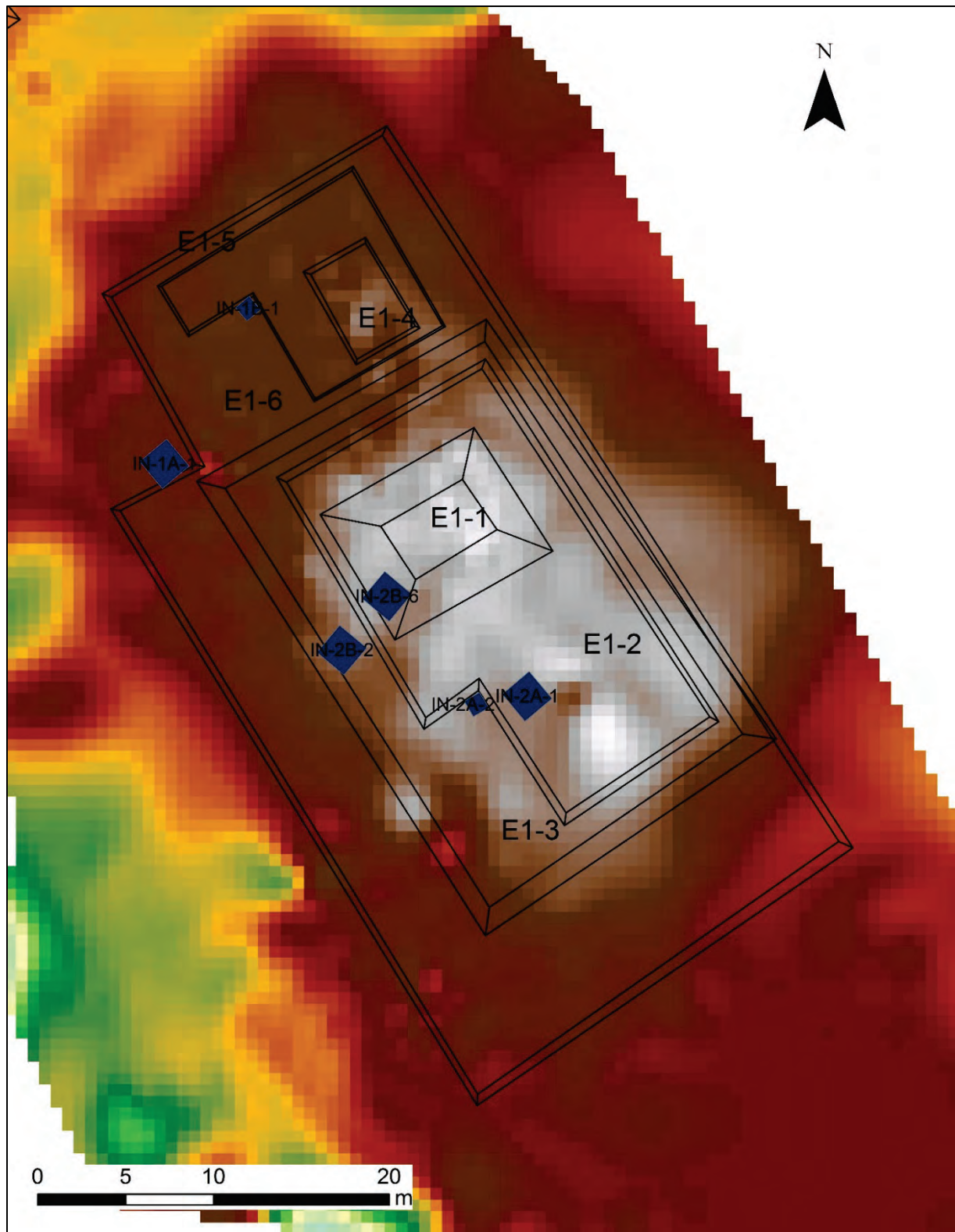


Figura 2.7 Estructuras y operaciones en la parte alta de El Infiernito, medio.

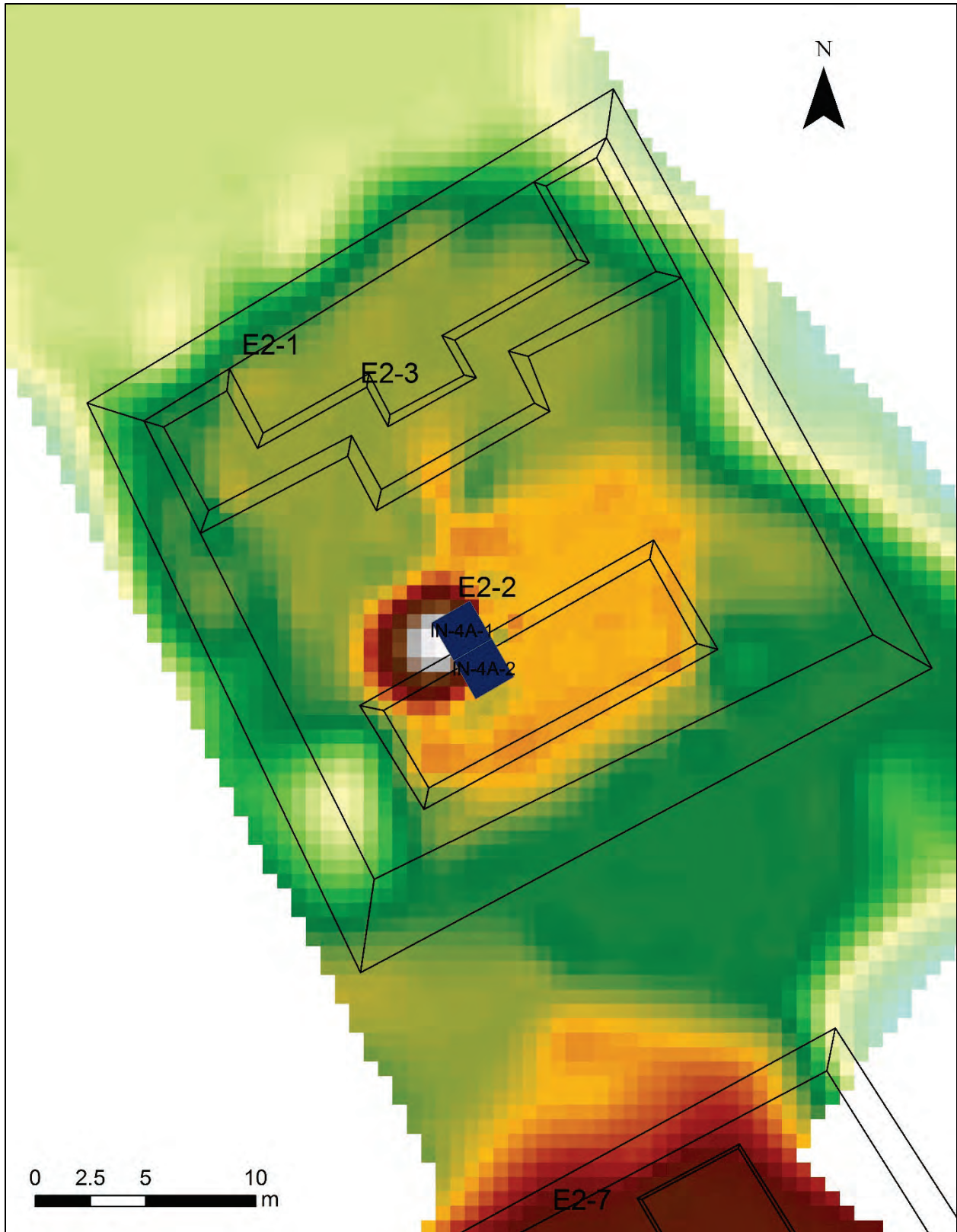


Figura 2.8 Estructuras y operaciones en la parte alta de El Infiernito, medio.

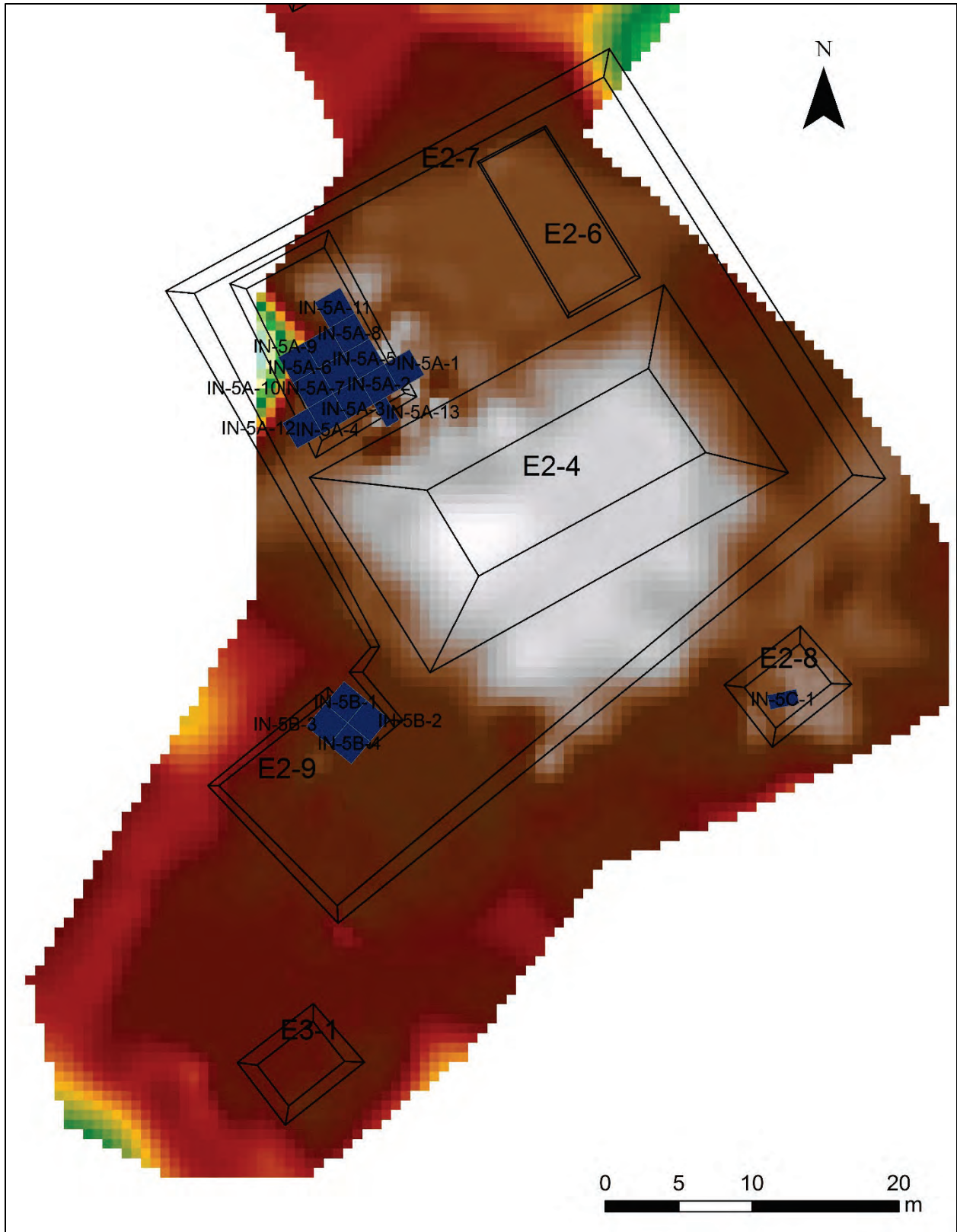


Figura 2.9 Estructuras y operaciones en la parte alta del sitio, sur.

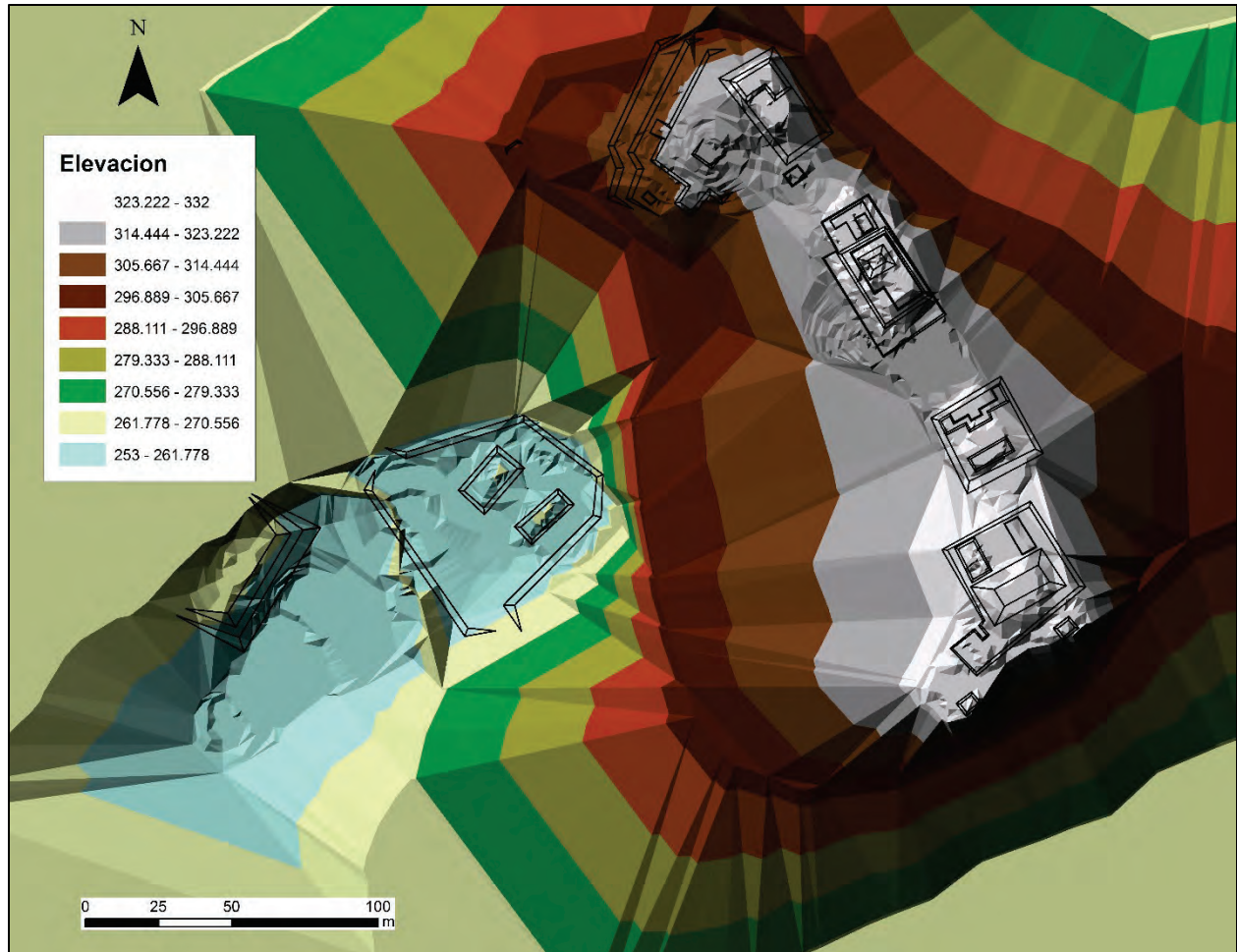


Figura 2.10 Modelo TIN de El Infiernito.

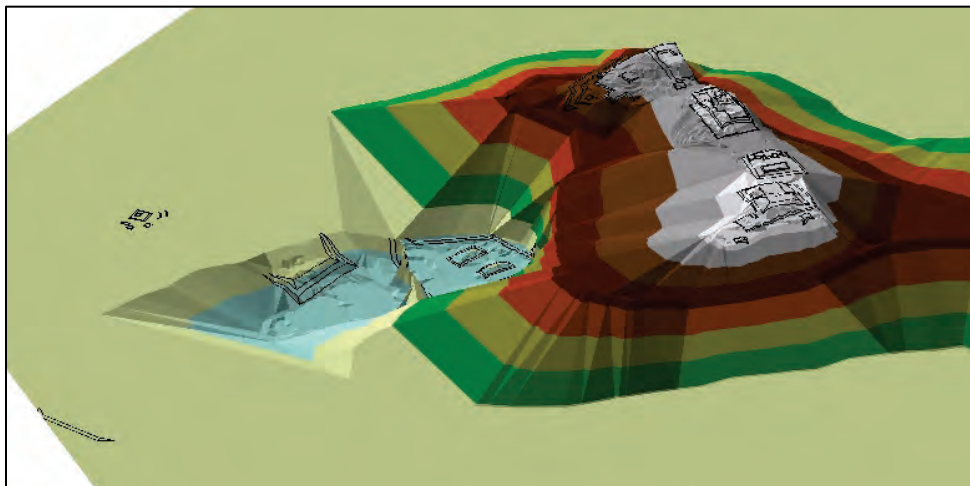


Figura 2.11 Modelo 3D de El Infiernito con mapa.



Figura 2.12 Muro monumental al suroeste de El Infiernito (foto por W. Schroder).



Figura 2.13 Muro al noroeste de la estructura D1-1 (foto por W. Schroder).



Figura 2.14 Muro al noroeste de la estructura D1-1 (por W. Schroder).



Figura 2.15 Cueva modificada arriba de la estructura C2-1 (foto por W. Schroder).



Figura 2.16 Vista del cerro arriba de la estructura C2-1 (foto por W. Schroder).



Figura 2.17 Terraza encima del cerro al noroeste de la estructura C2-1 (foto por W. Schroder).



Figura 2.18 Plataforma y montículos encima del cerro al noroeste de la estructura C2-1 (foto por W. Schroder).



Figura 2.19 Montículo encima del cerro al noroeste de la estructura C2-1 (foto por W. Schroder).



Figura 2.20 Pozo de saqueo encima del cerro al noroeste de la estructura C2-1 (foto por W. Schroder).



Figura 2.21 Manantial en la base del cerro (foto por W. Schroder).



Figura 2.22 Vista del cerro al noroeste de la estructura C2-1 desde el cerro al sur (foto por W. Schroder).



Figura 2.23 Vista del muro monumental desde el cerro al suroeste (foto por W. Schroder).



Figura 2.24 Vista del epicentro del sitio desde el cerro al suroeste (foto por W. Schroder).



Figura 2.25 Montículos en el terreno adyacente desde el cerro al suroeste del sitio, mirando hacia el suroeste (foto por W. Schroder).



Figura 2.26 Vista hacia el oeste desde el cerro al suroeste del sitio (foto por W. Schroder).



Figura 2.27 Base de la estructura E1-1 encima de una cueva (foto por W. Schroder).



Figura 2.28 Cueva debajo de la estructura E1-1 (foto por W. Schroder).



Figura 2.29 Terrazas agrícolas al nordeste de la estructura D1-1 (foto por W. Schroder).



Figura 2.30 Terraza agrícola al nordeste de la estructura D1-1 (foto por W. Schroder).



Figura 2.31 Terrazas agrícolas al nordeste de la estructura D1-1 (foto por W. Schroder).



Figura 2.32 Base de una de las terrazas que rodea el epicentro de El Infiernito (foto por W. Schroder).



Figura 2.33 Terraza que rodea el epicentro de El Infiernito (foto por W. Schroder).

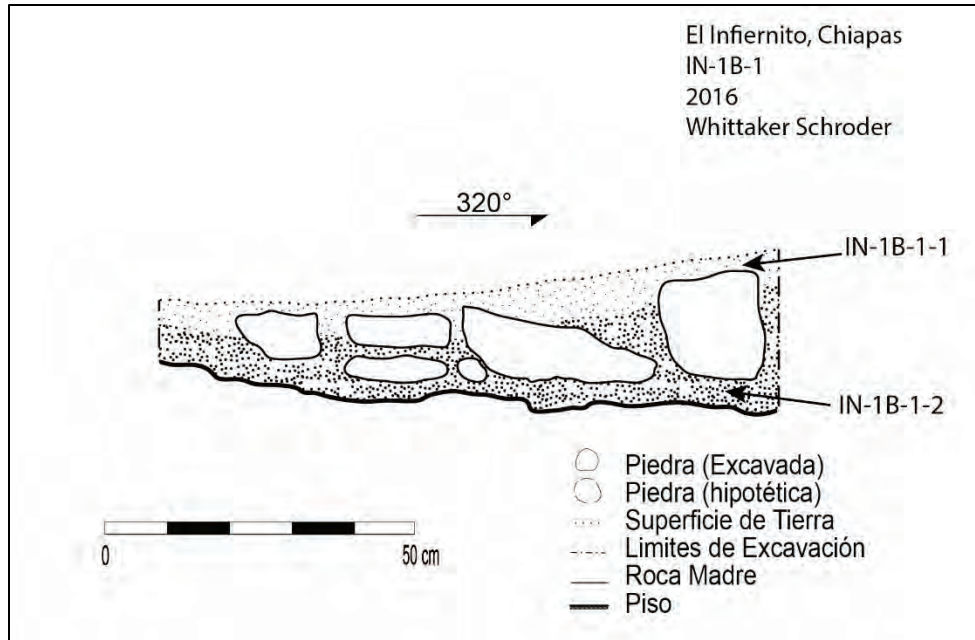


Figura 2.34 Dibujo de perfil suroeste, IN-1B-1.

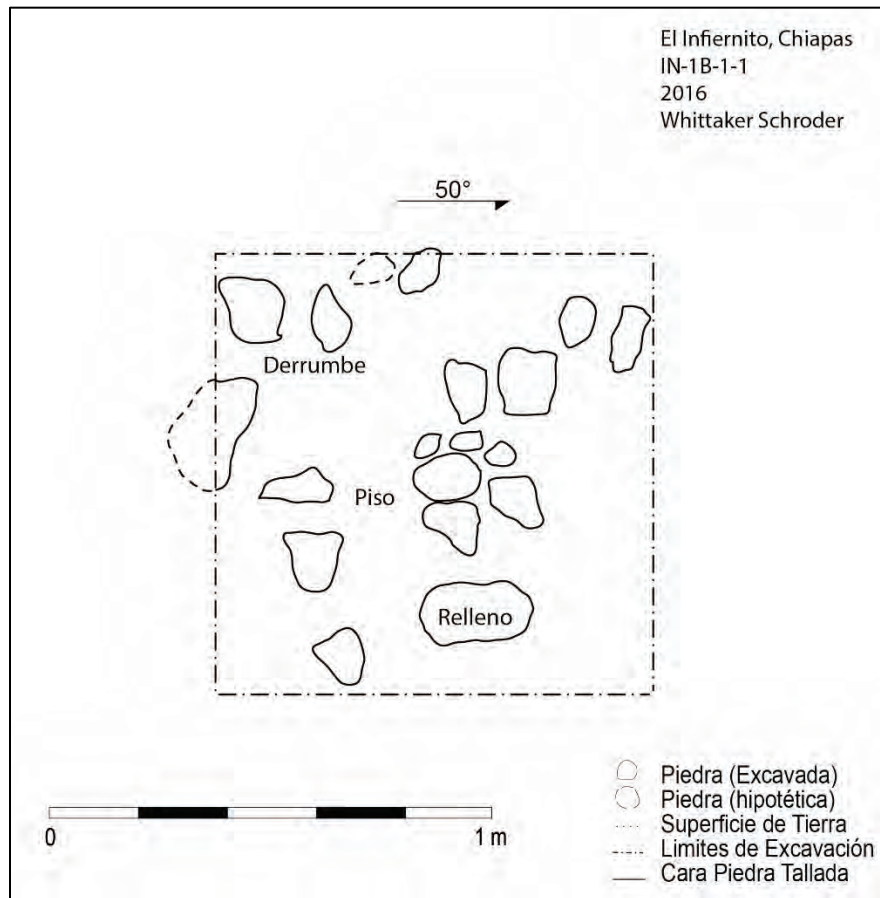


Figura 2.35 Dibujo de planta, IN-1B-1-1.

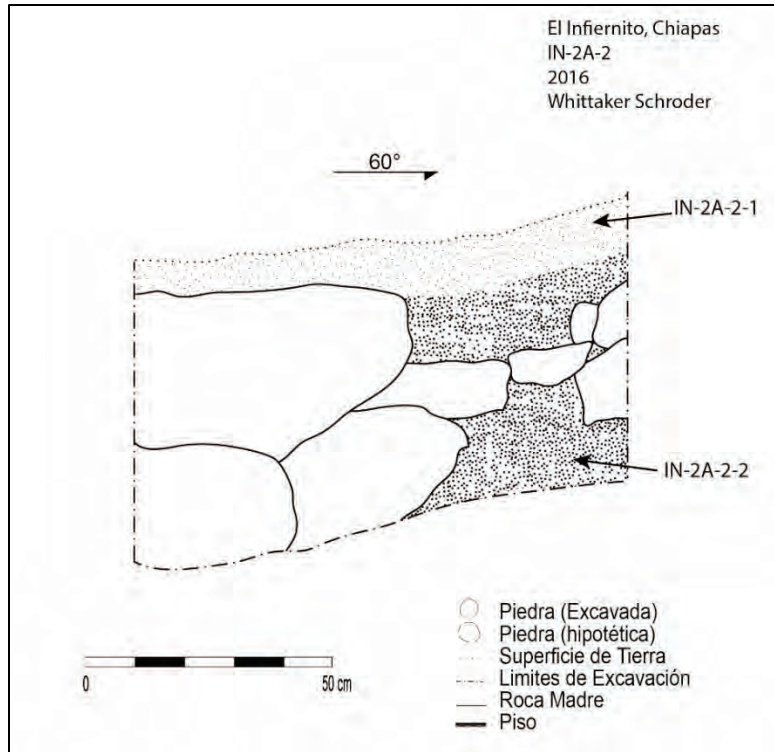


Figura 2.36 Dibujo de perfil noroeste, IN-2A-2.

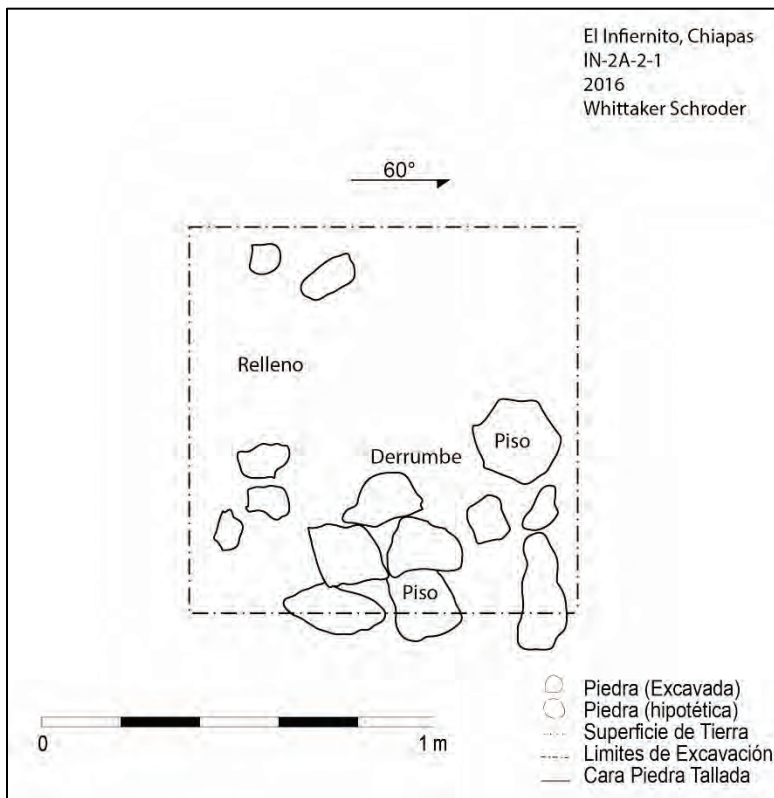


Figura 2.37 Dibujo de planta, IN-2B-2-1

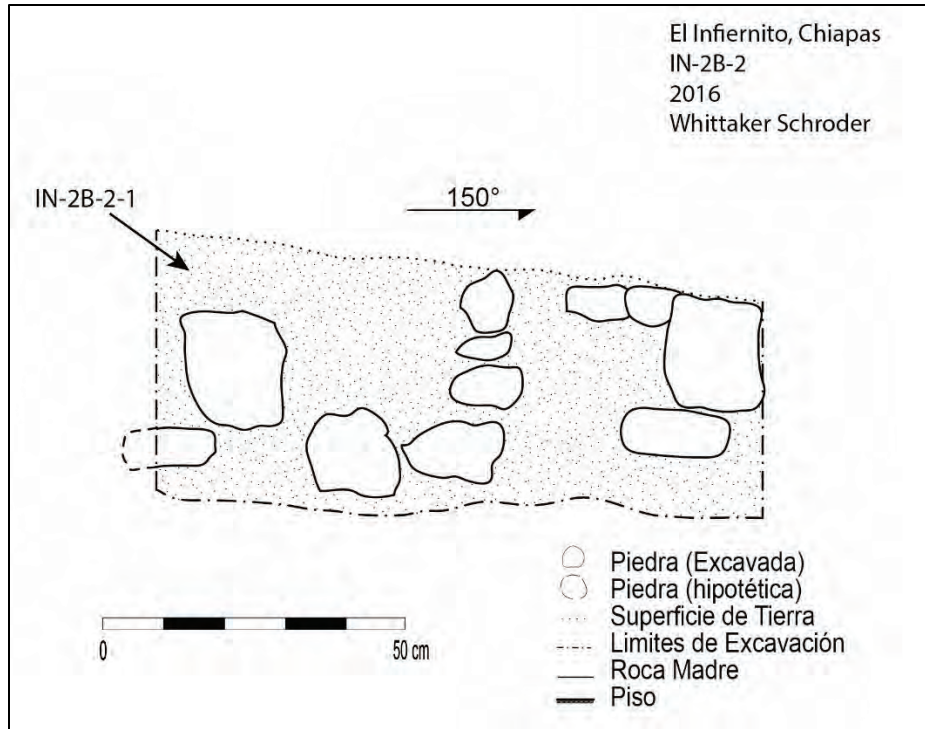


Figura 2.38 Dibujo de perfil nordeste, IN-2B-2.

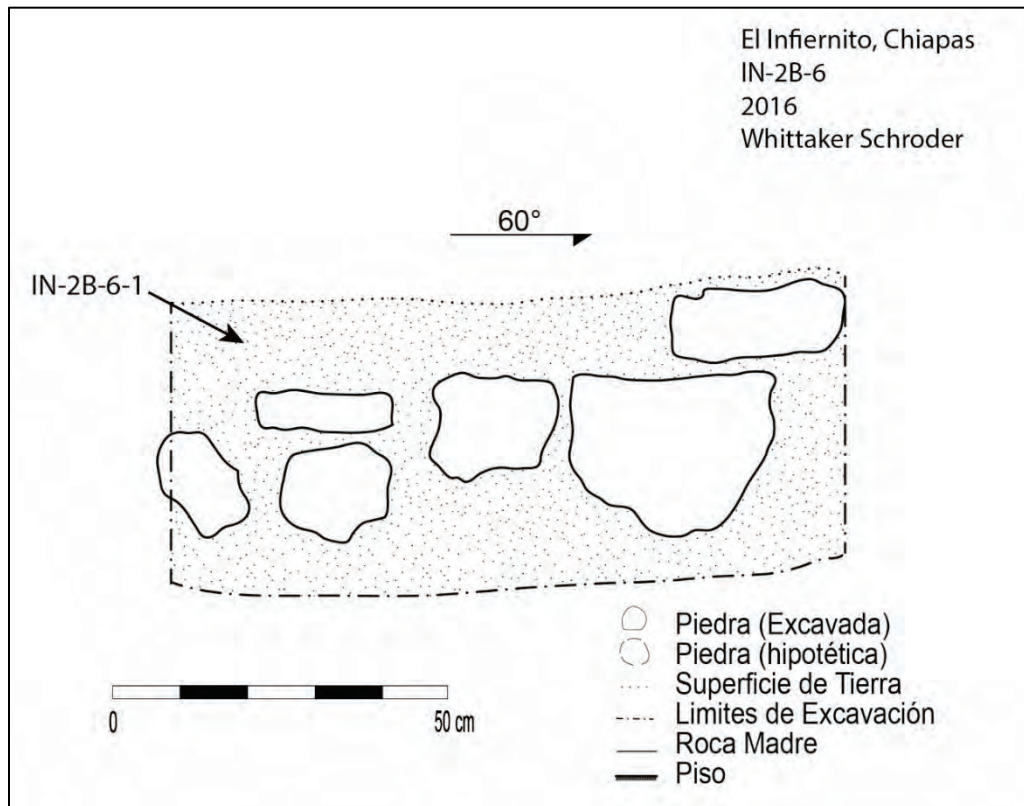


Figura 2.39 Dibujo de perfil noroeste, IN-2B-6.

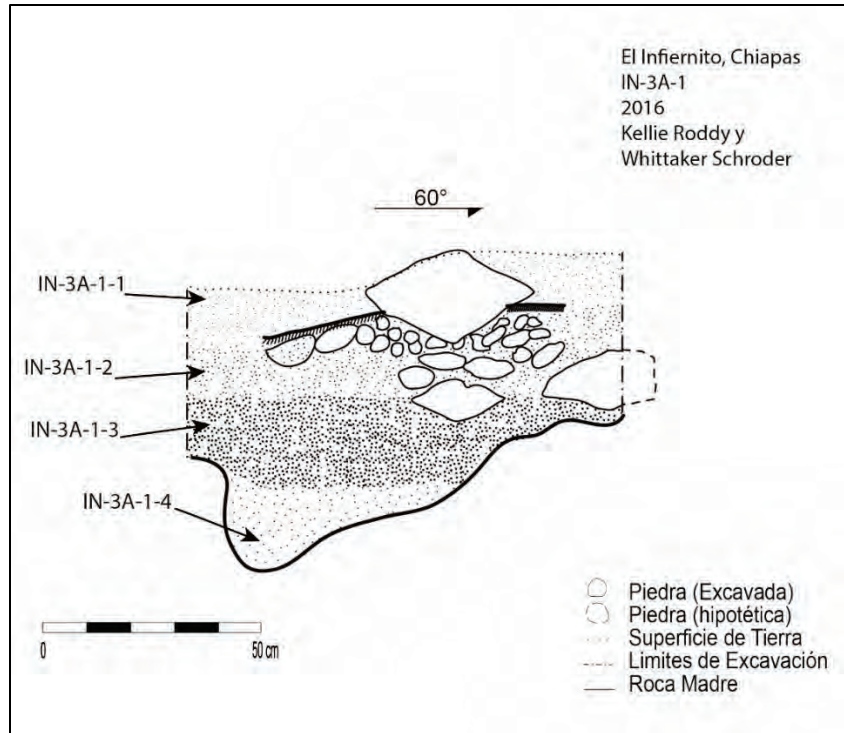


Figura 2.40 Dibujo de perfil noroeste, IN-3A-1.

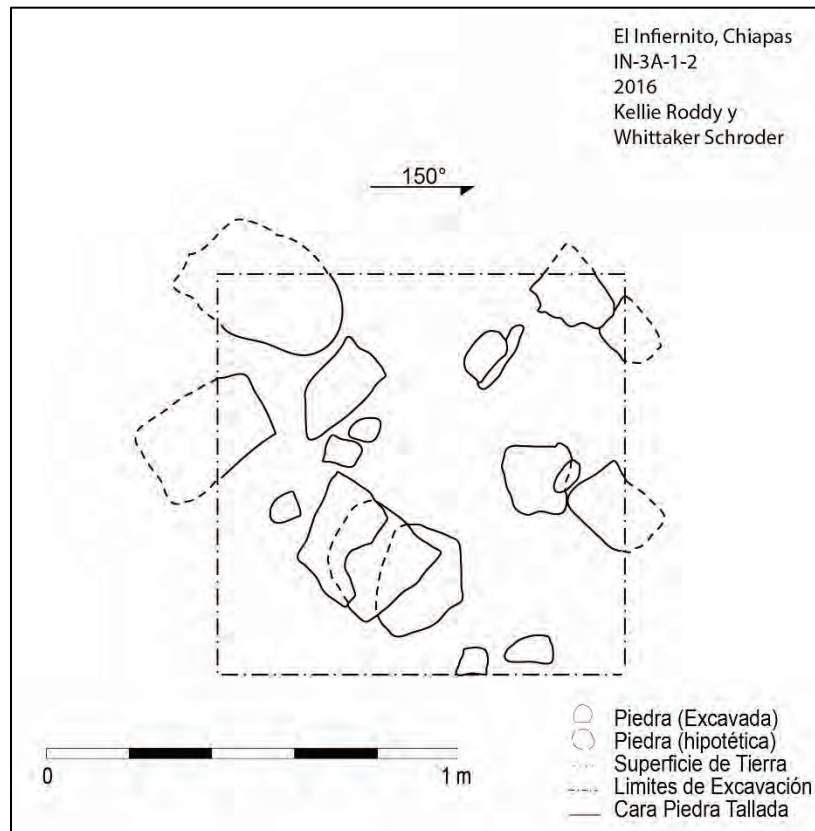


Figura 2.41 Dibujo de planta, IN-3A-1-2.

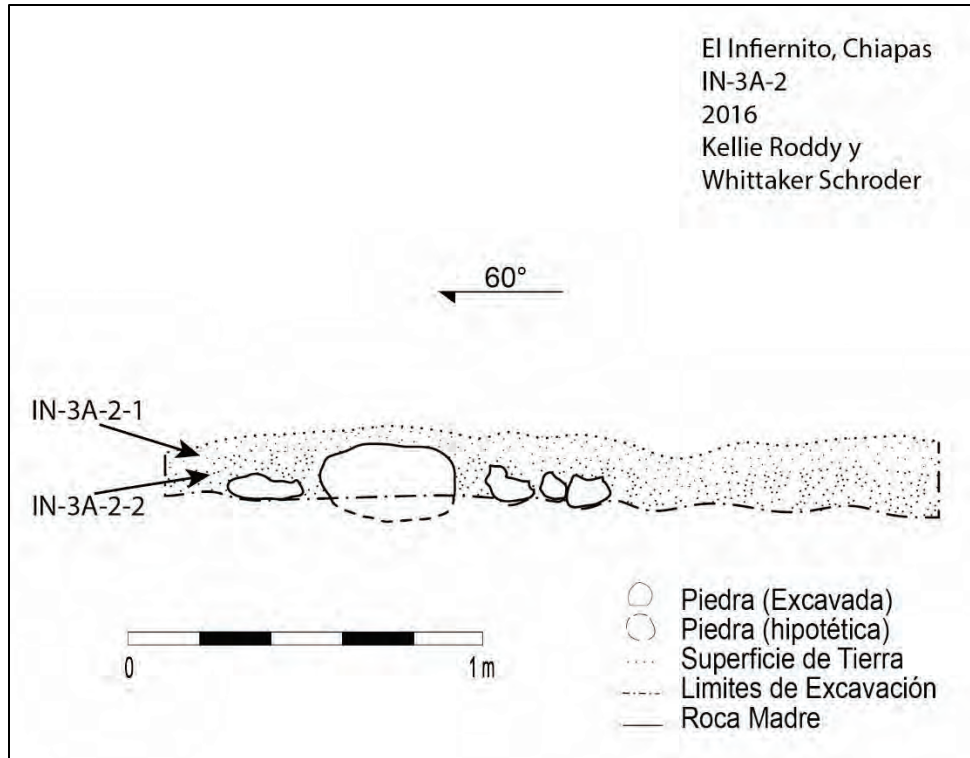


Figura 2.42 Dibujo de perfil sureste, IN-3A-2.



Figura 2.43 Posible escalera al nordeste de IN-3B-1 (foto por W. Schroder).

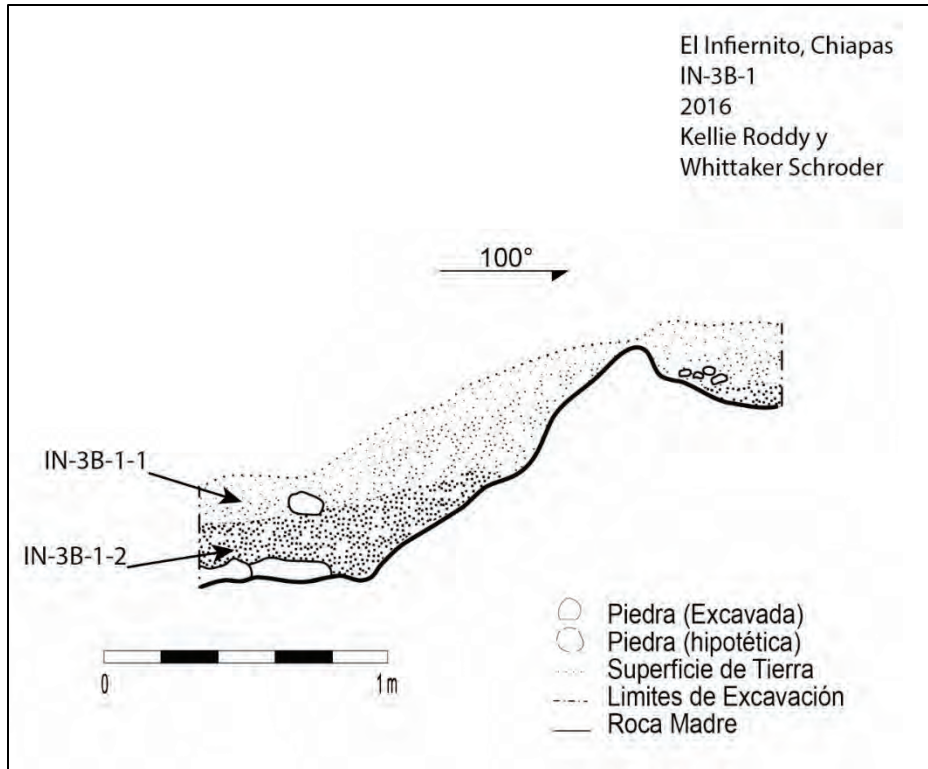


Figura 2.44 Dibujo de perfil noreste, IN-3B-1.

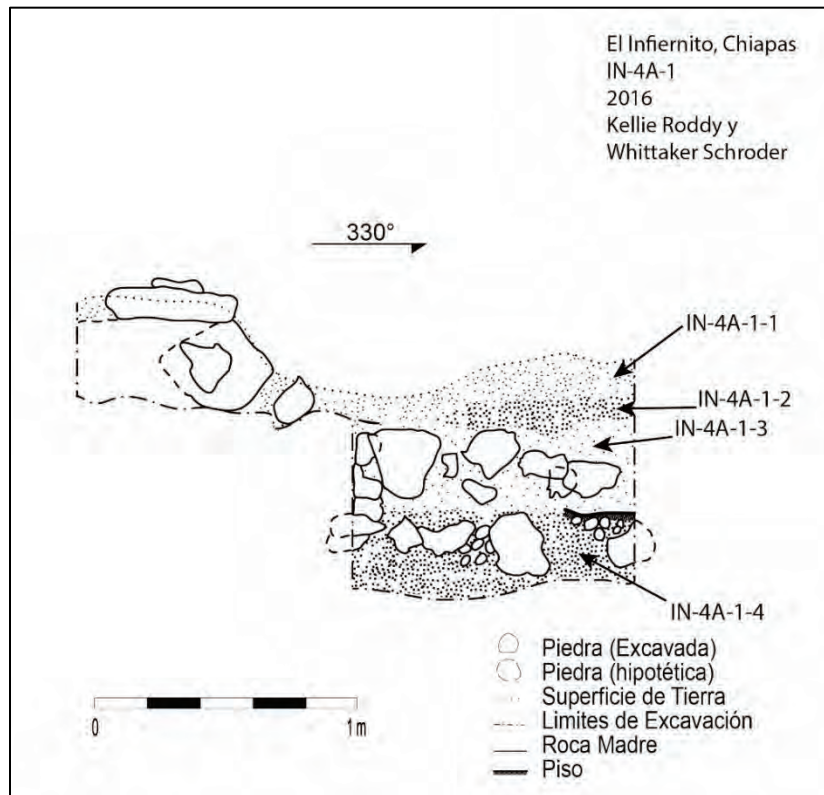


Figura 2.45 Dibujo de perfil suroeste, IN-4A-1.

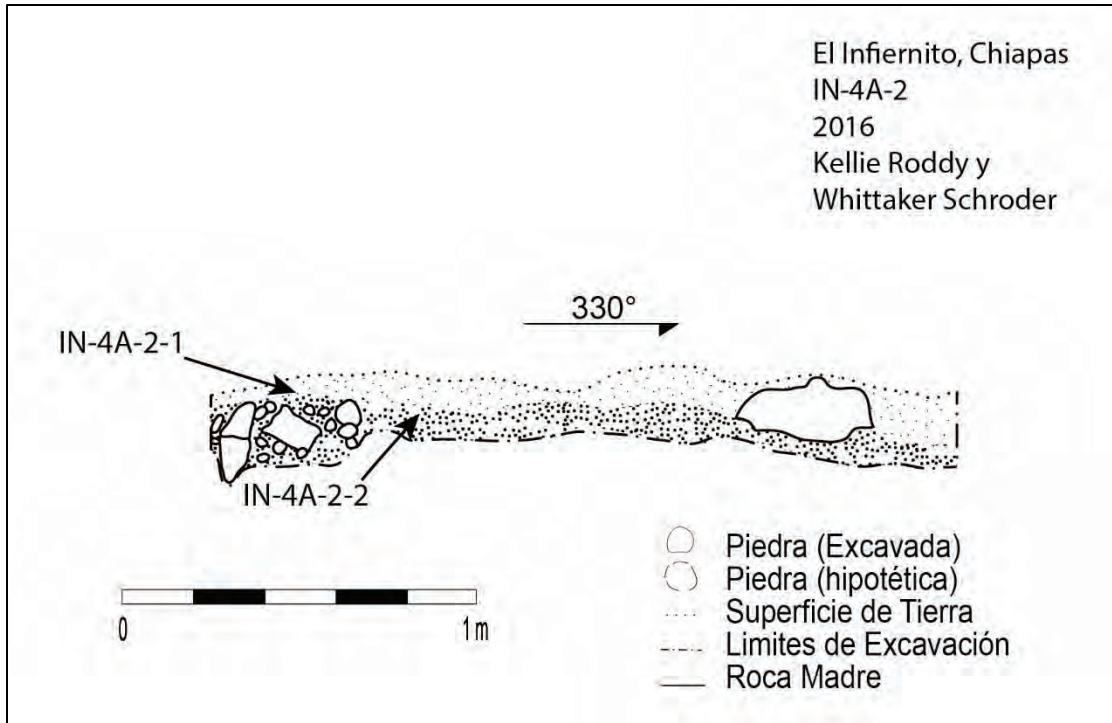


Figura 2.46 Dibujo de perfil suroeste, IN-4A-2.

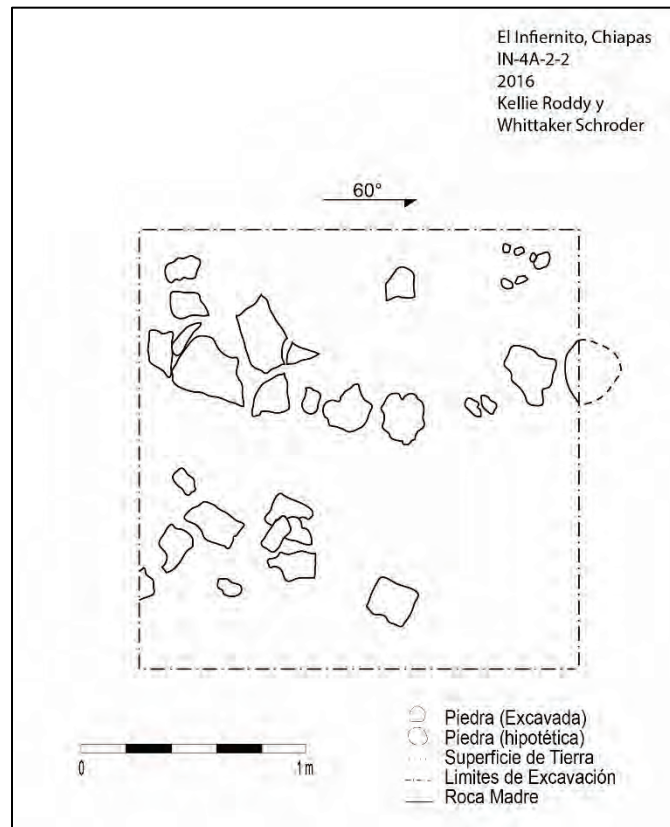


Figura 2.47 Dibujo de planta, IN-4A-2-2.

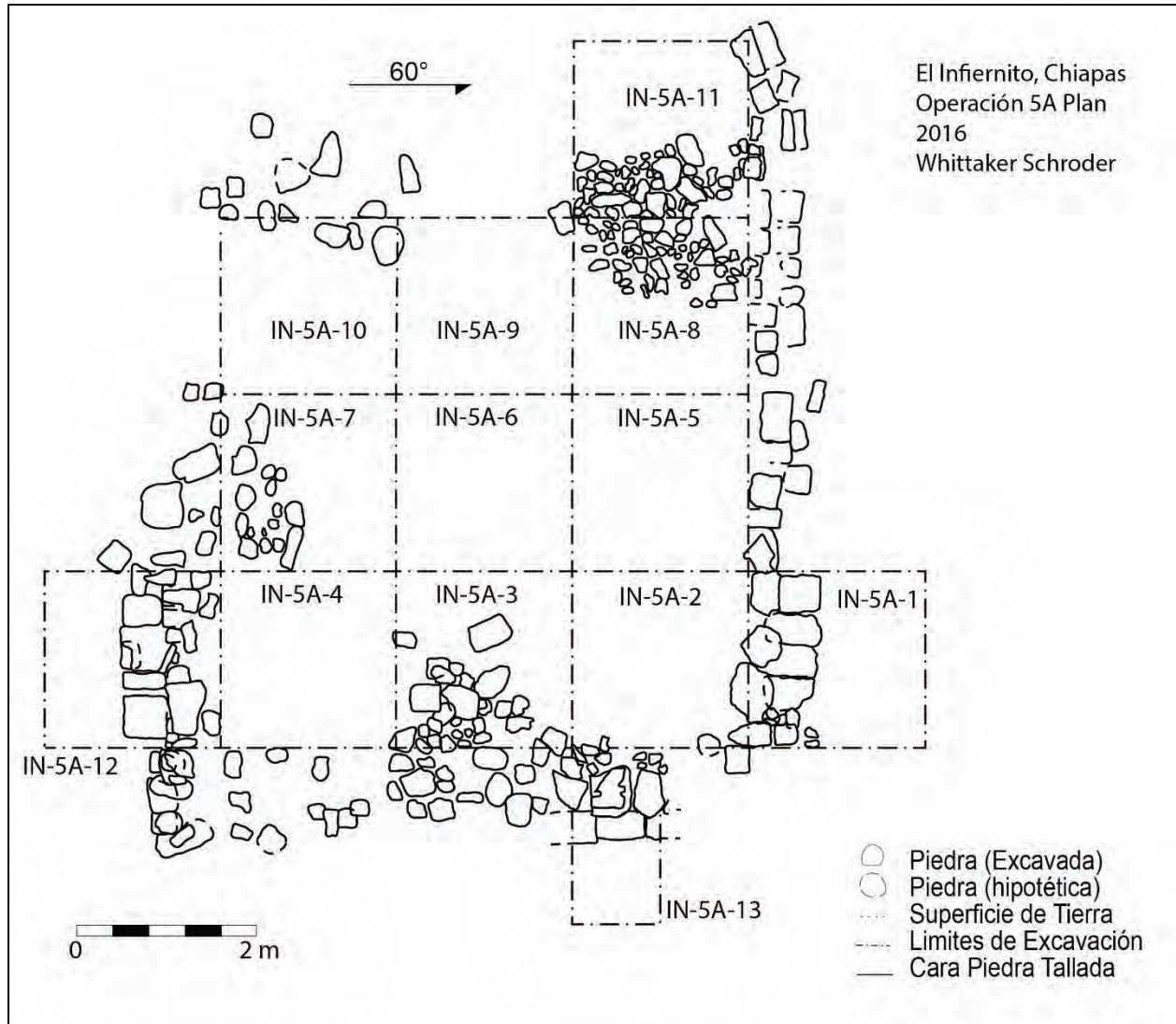


Figura 2.48 Dibujo de planta de la Operacion 5A, estructura E2-5.

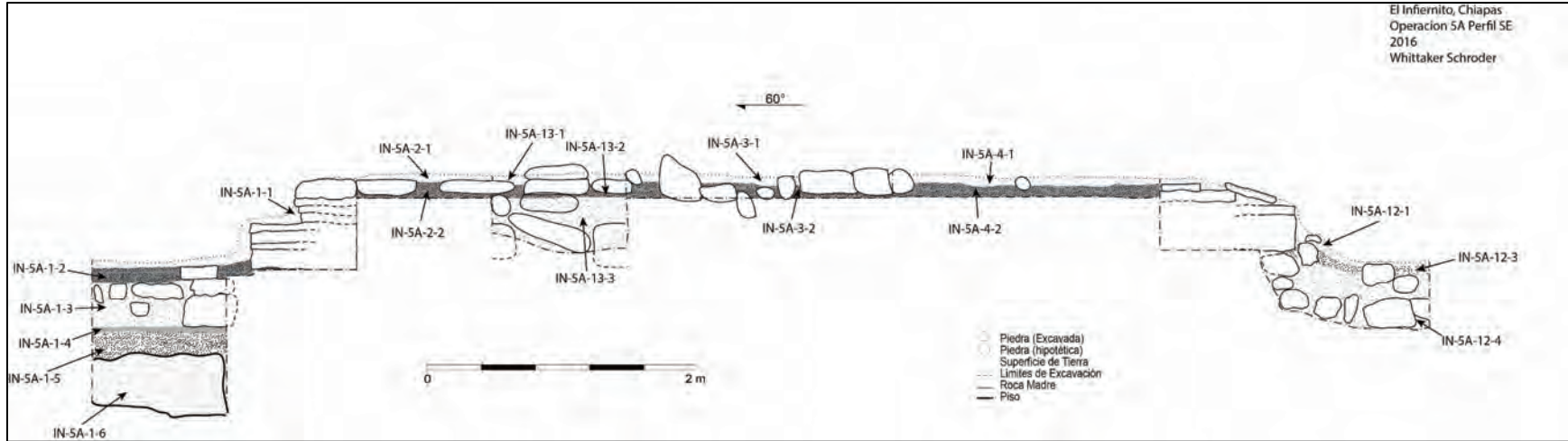


Figura 2.49 Dibujo de perfil sureste de la Operación 5A, estructura E2-5.

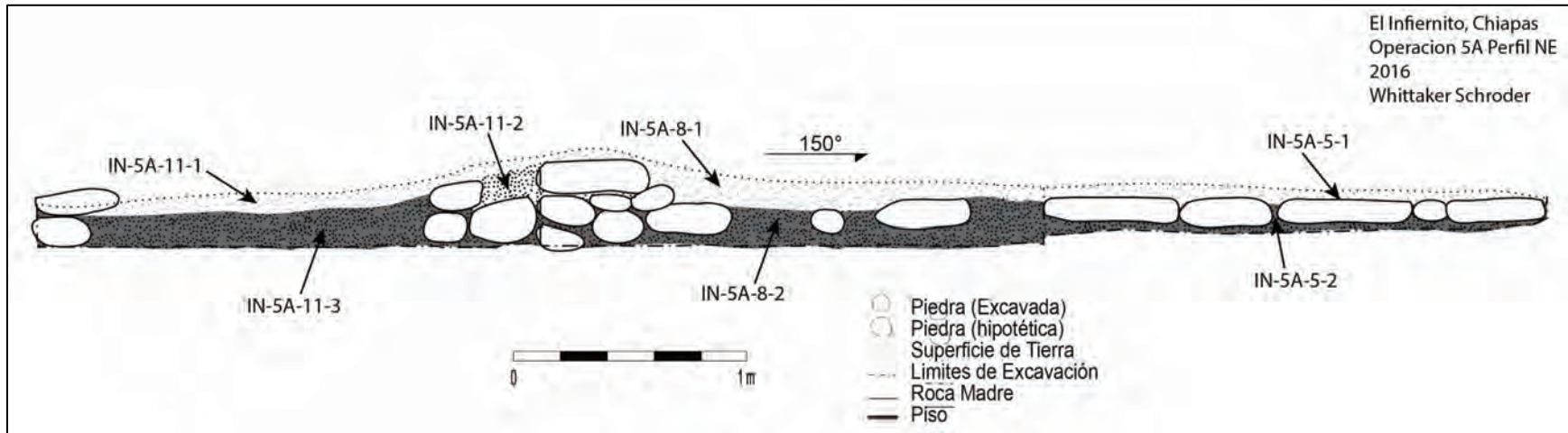


Figura 2.50 Dibujo de perfil nordeste de la Operación 5A, estructura E2-5.



Figura 2.51 La estructura E2-5 antes de excavar, mirando hasta el suroeste desde el patio (foto por W. Schroder).



Figura 2.52 La estructura E2-5 antes de excavar, mirando hasta el noroeste desde la estructura E2-4 (foto por W. Schroder).



Figura 2.53 La estructura E2-5 despues de excavar todas las unidades hasta el nivel del piso, desde la estructura E2-4 mirando hasta el noroeste (foto por W. Schroder).



Figura 2.54 La estructura E2-5 despues de excavar hasta el nivel del piso, mirando hasta el oeste (foto por W. Schroder).



Figura 2.55 La estructura E2-5 después de excavar hasta el piso, mirando hasta el sureste (foto por W. Schroder).



Figura 2.56 Los muros interiores en las unidades 8 y 11, y 10 (respectivamente) (foto por W. Schroder).

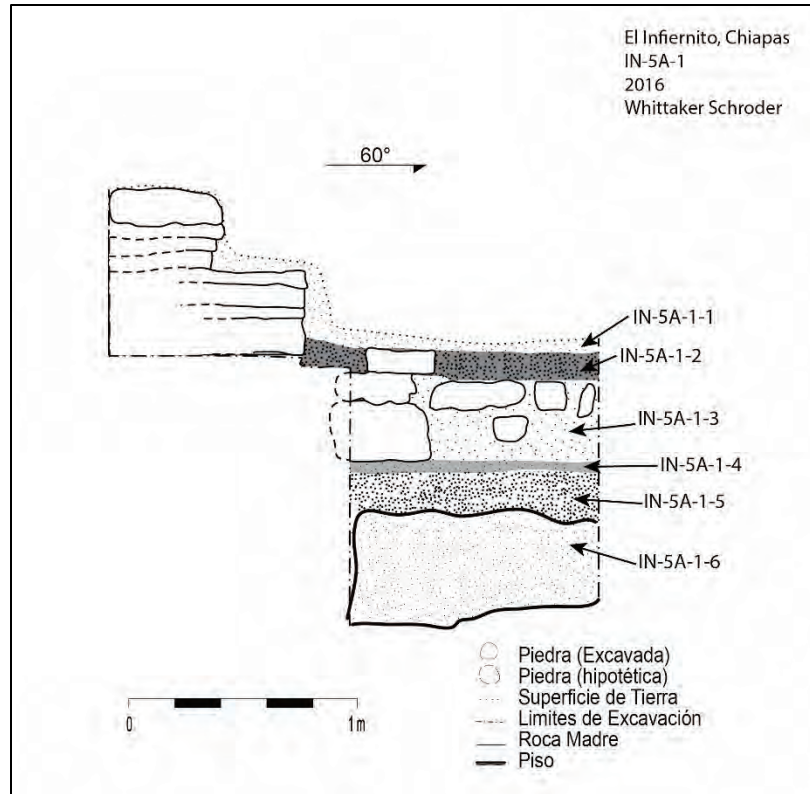


Figura 2.57 Dibujo de perfil noroeste, IN-5A-1.



Figura 2.58 Planta de IN-5A-1-2 (foto por W. Schroder).

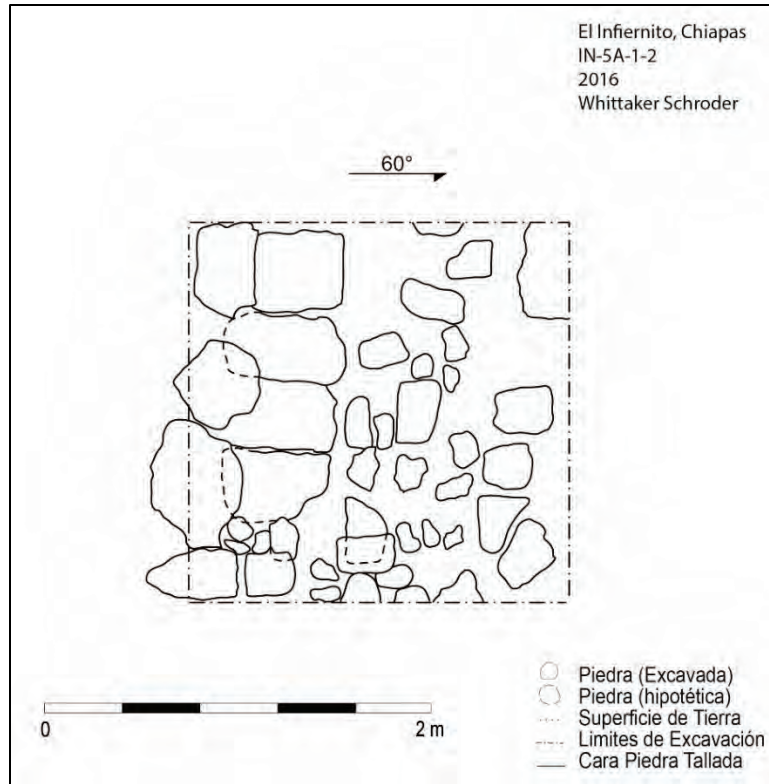


Figura 2.59 Dibujo de planta, IN-5A-1-2.

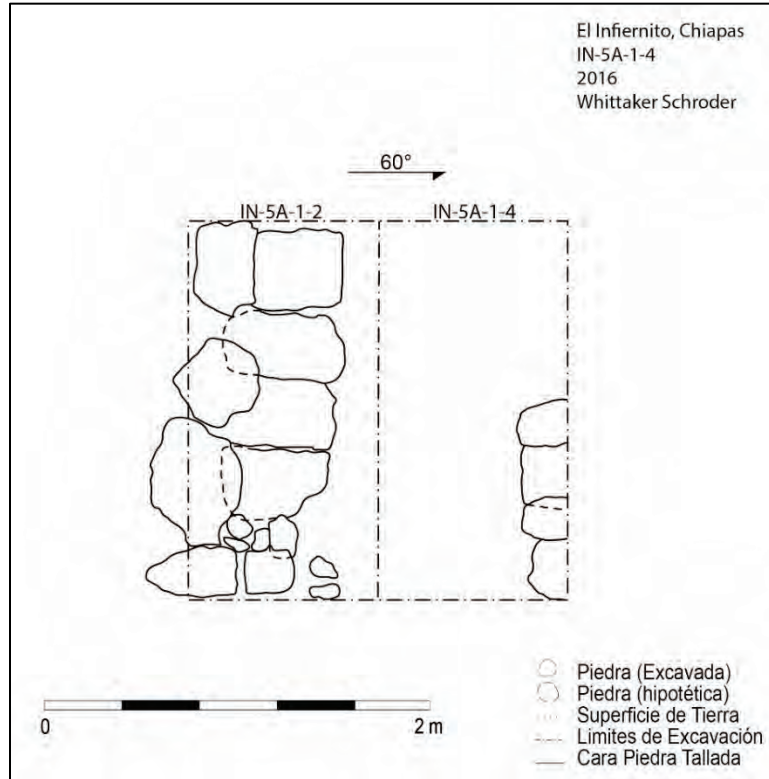


Figura 2.60 Dibujo de planta IN-5A-1-4.

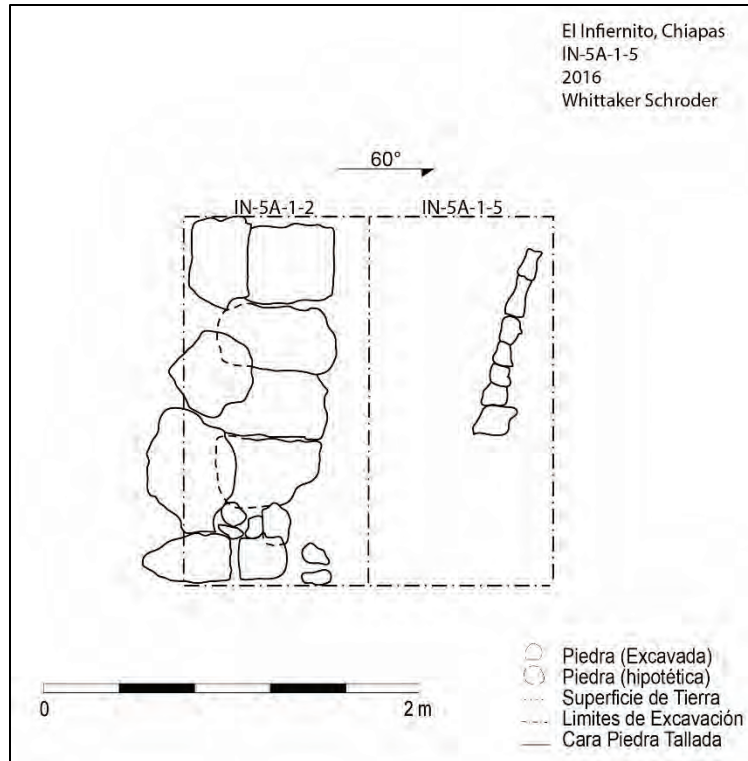


Figura 2.61 Dibujo de planta, IN-5A-1-5.



Figura 2.62 Planta de IN-5A-1-5 (foto por W. Schroder).

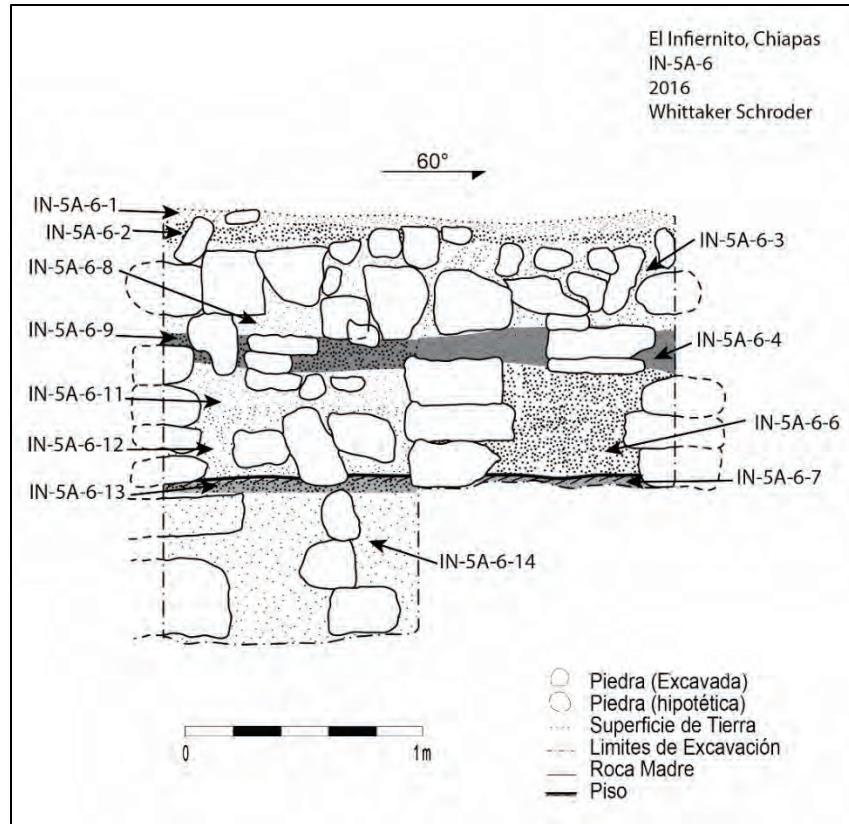


Figura 2.63 Dibujo de perfil noroeste, IN-5A-6.

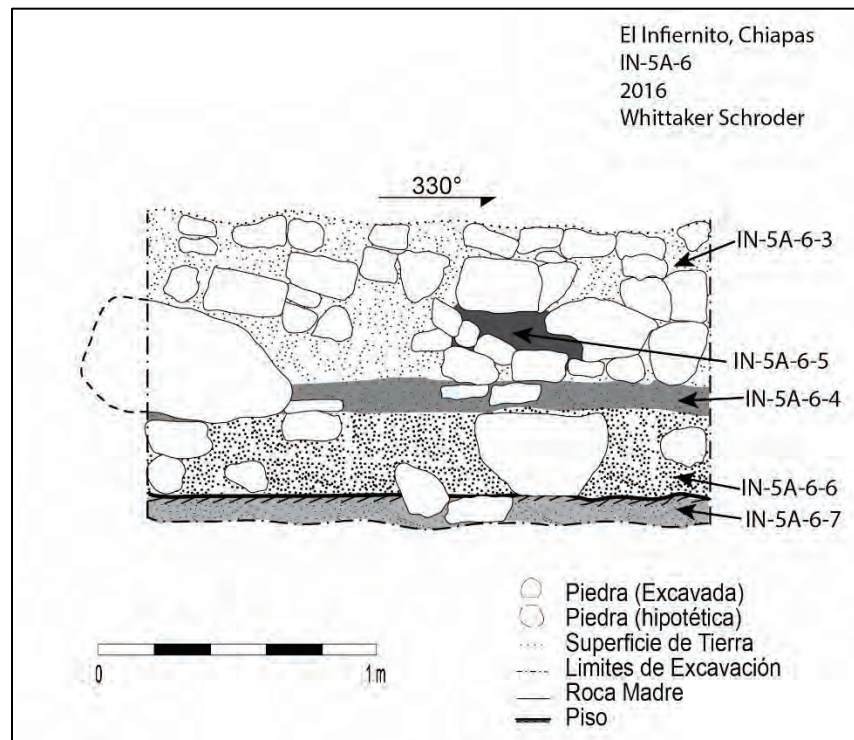


Figura 2.64 Dibujo de perfil suroeste, IN-5A-6.



Figura 2.65 Escondite en el perfil suroeste, IN-5A-6 (foto por W. Schroder).

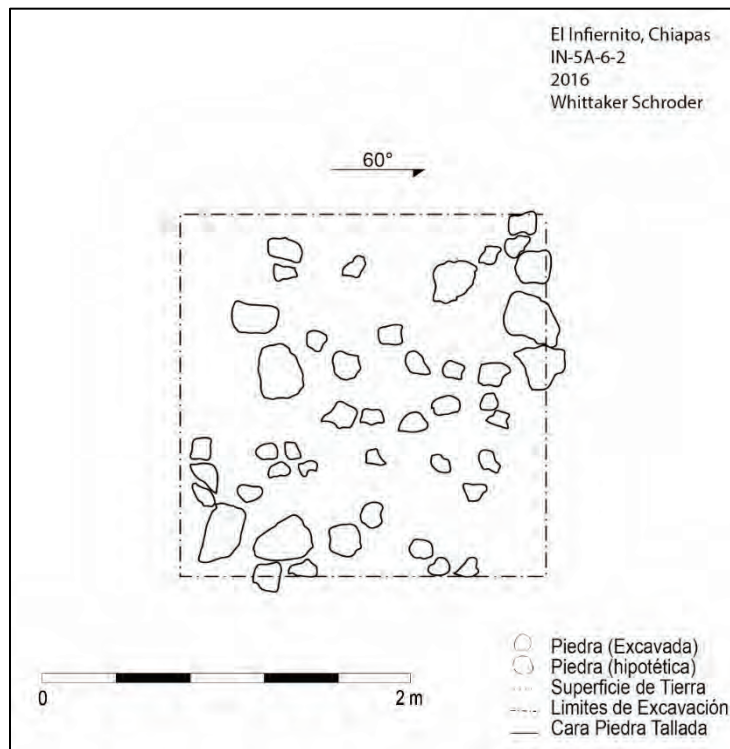


Figura 2.66 Dibujo de planta, IN-5A-6-2.

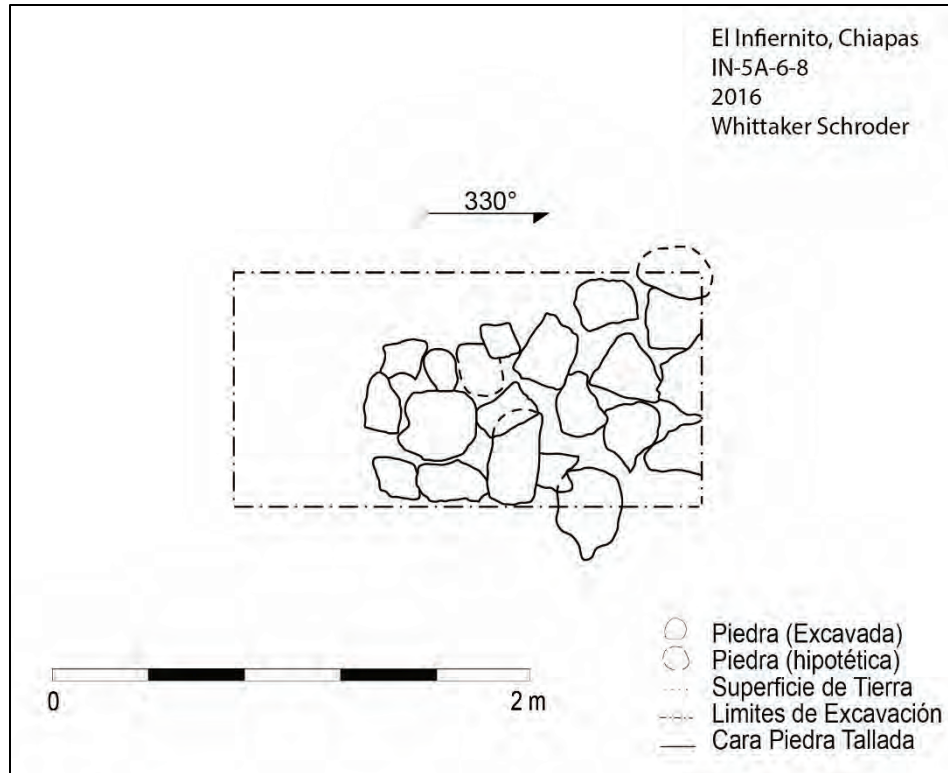


Figura 2.67 Dibujo de planta, IN-5A-6-8.

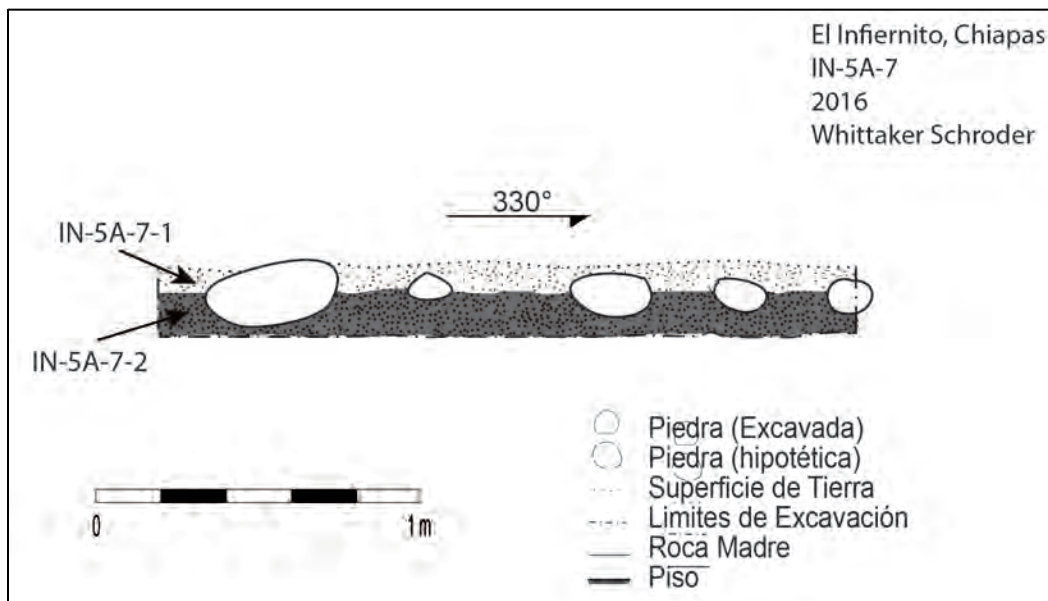


Figura 2.68 Dibujo de perfil nordeste, IN-5A-7.

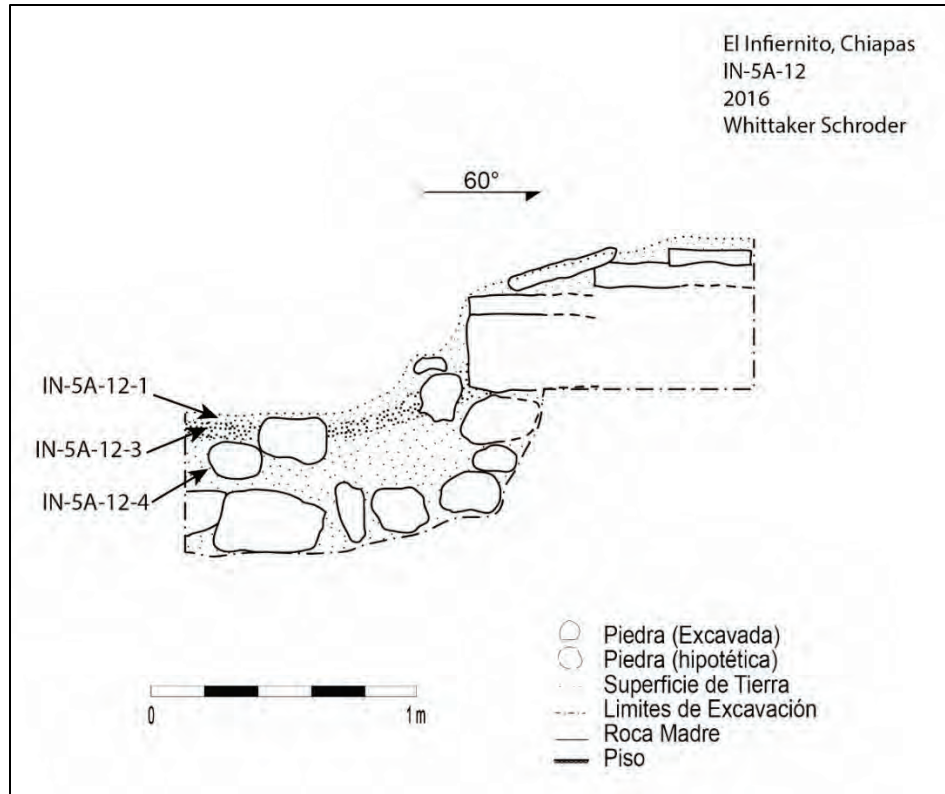


Figura 2.69 Dibujo de perfil noroeste, IN-5A-12.

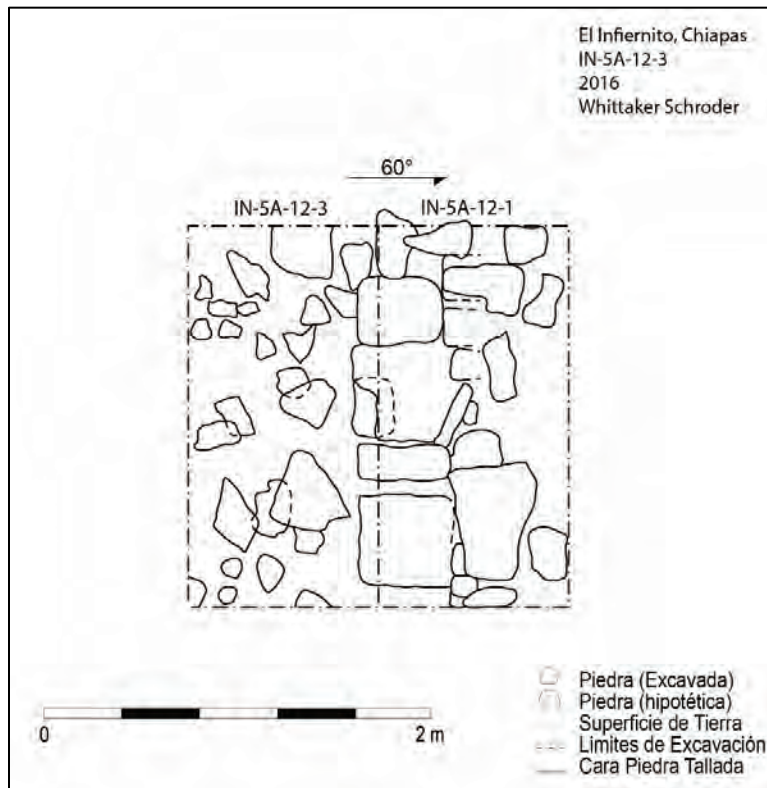


Figura 2.70 Dibujo de planta, IN-5A-12-3.

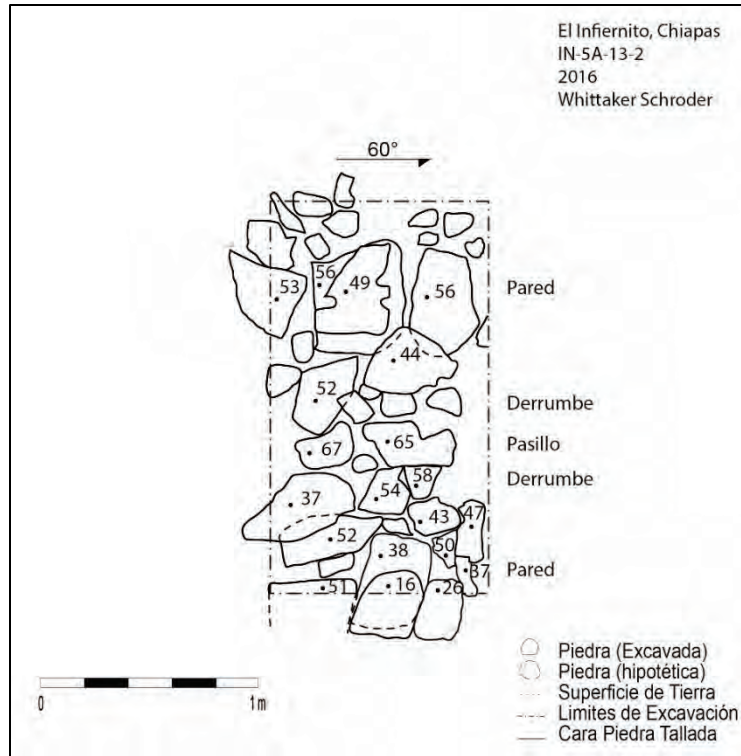


Figura 2.71 Dibujo de planta, IN-5A-13-2.

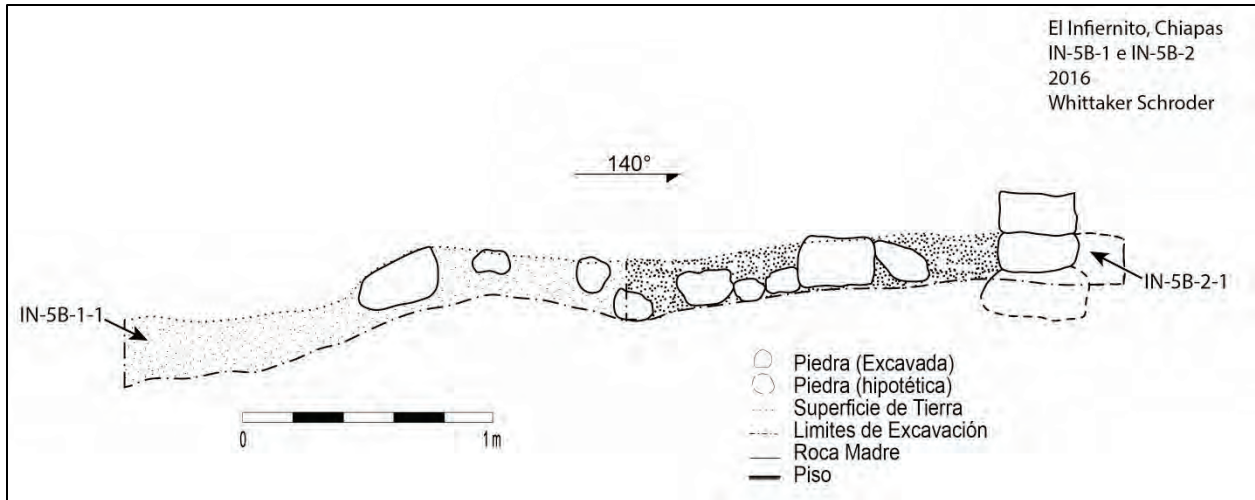


Figura 2.73 Dibujo de perfil nordeste, IN-5B-1 e IN-5B-2.

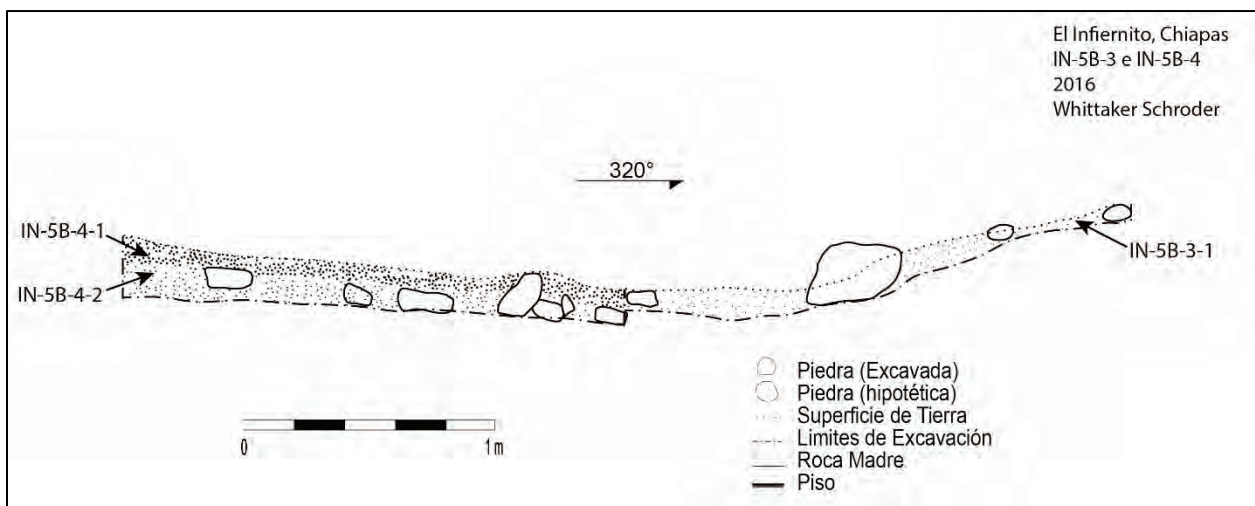


Figura 2.74 Dibujo de perfil suroeste, IN-5B-3 e IN-5B-4.

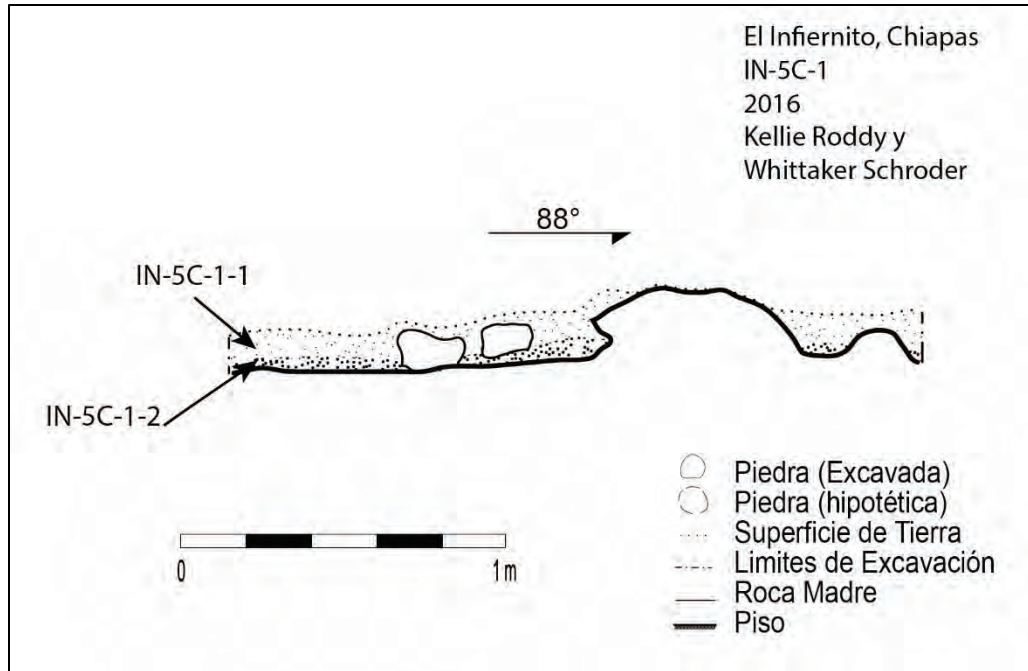


Figura 2.75 Dibujo de perfil norte, IN-5C-1.

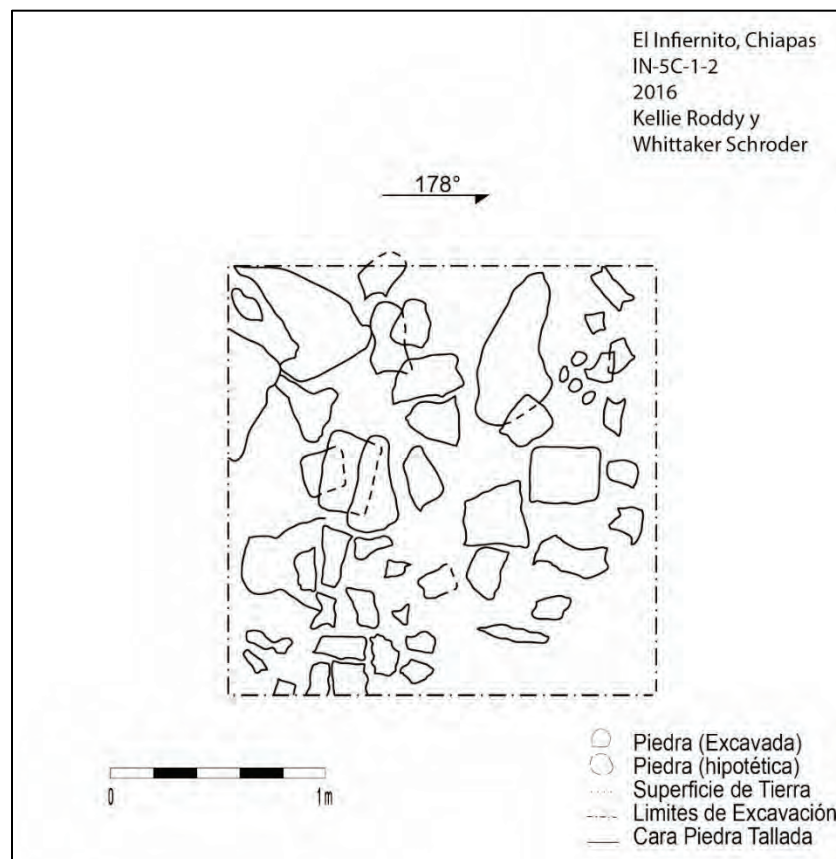


Figura 2.76 Dibujo de planta, IN-5C-1-2.

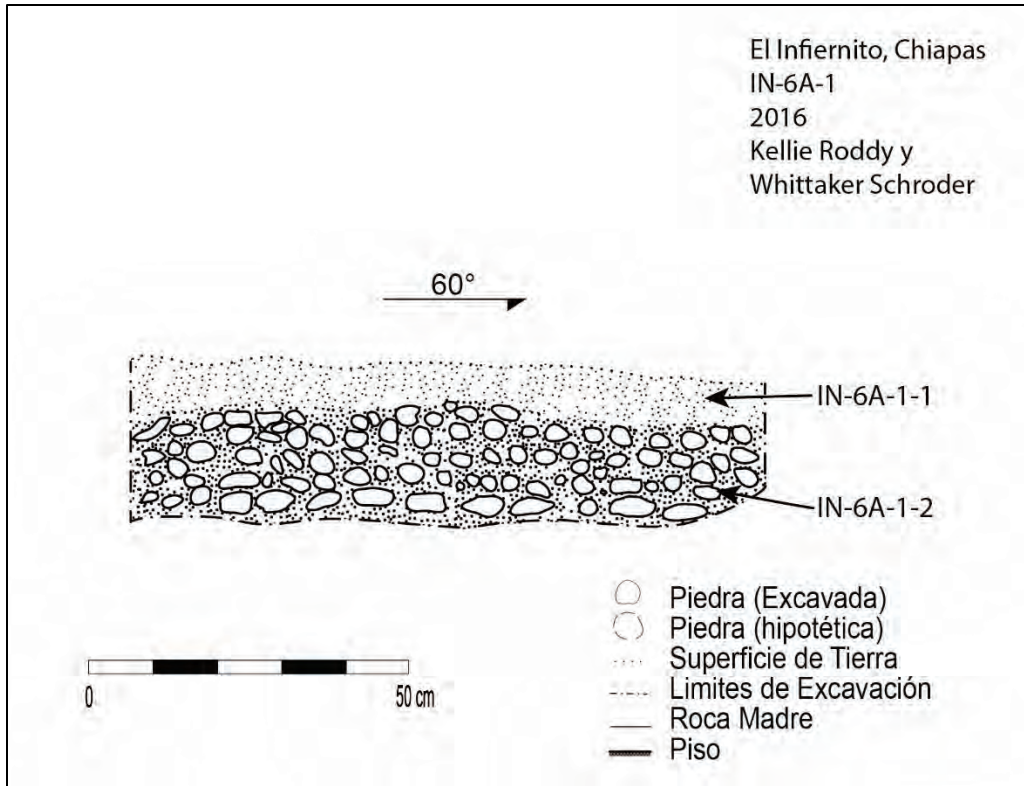


Figura 2.77 Dibujo de perfil noroeste, IN-6A-1.

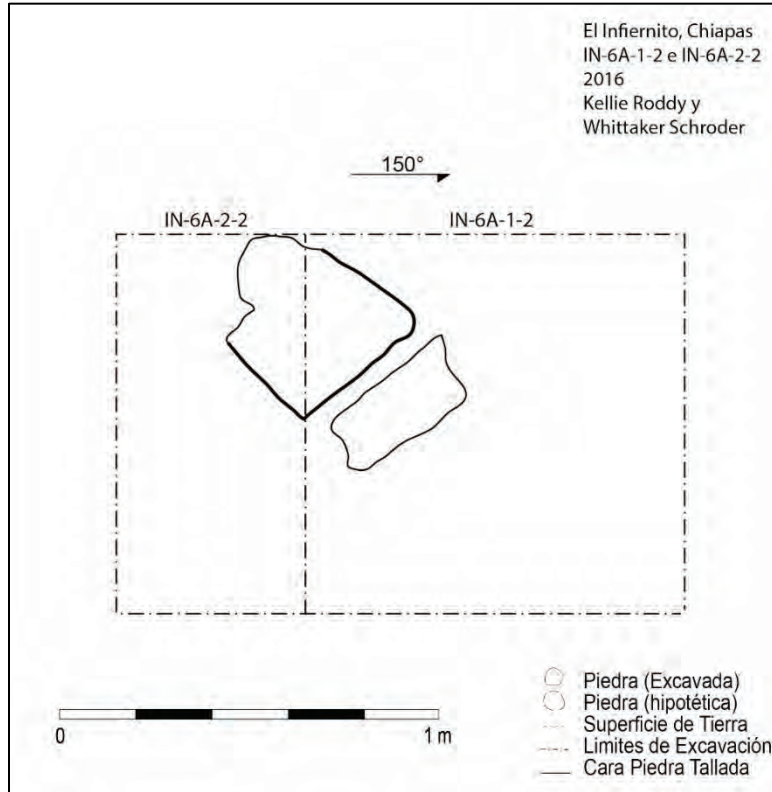


Figura 2.78 Dibujo de planta, IN-6A-1-2 e IN-6A-2-2.

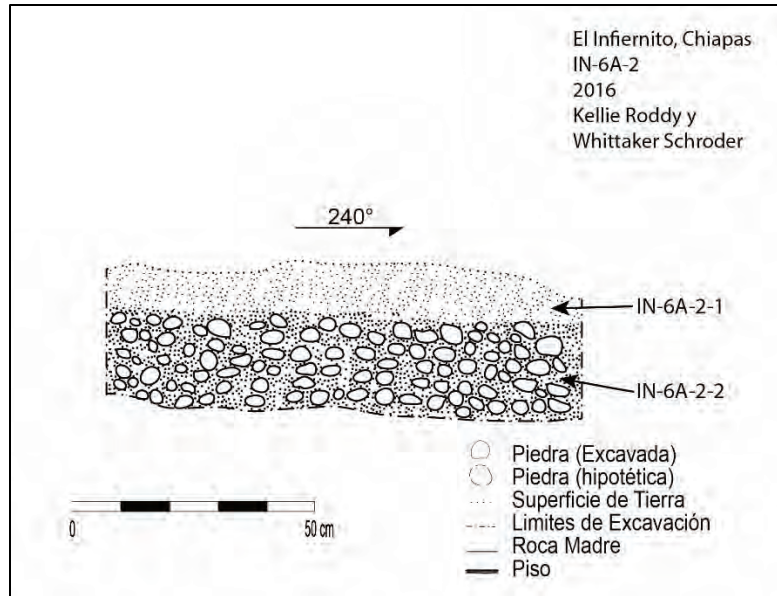


Figura 2.79 Dibujo de perfil sureste, IN-6A-2.

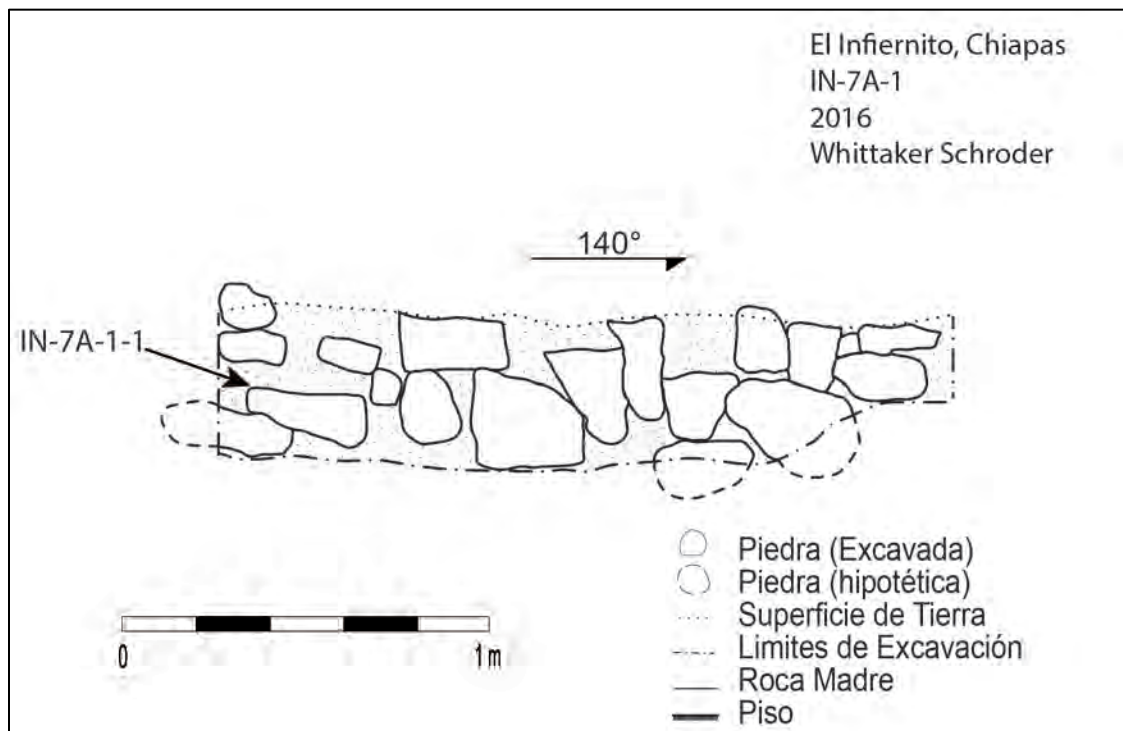


Figura 2.80 Dibujo de perfil nordeste, IN-7A-1.

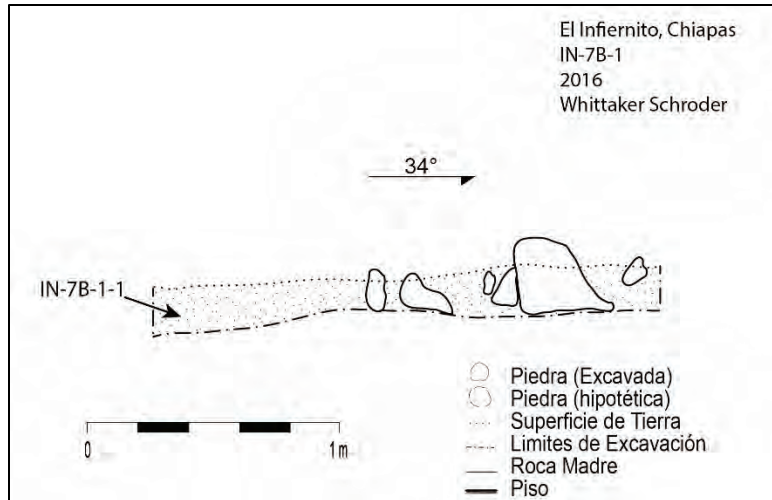


Figura 2.81 Dibujo de perfil noroeste, IN-7B-1.

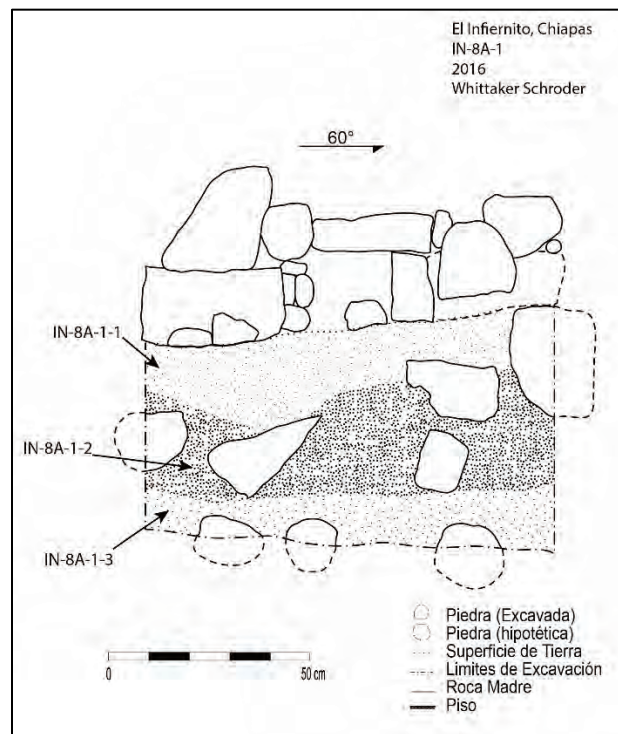


Figura 2.82 Dibujo de perfil noroeste, IN-8A-1.

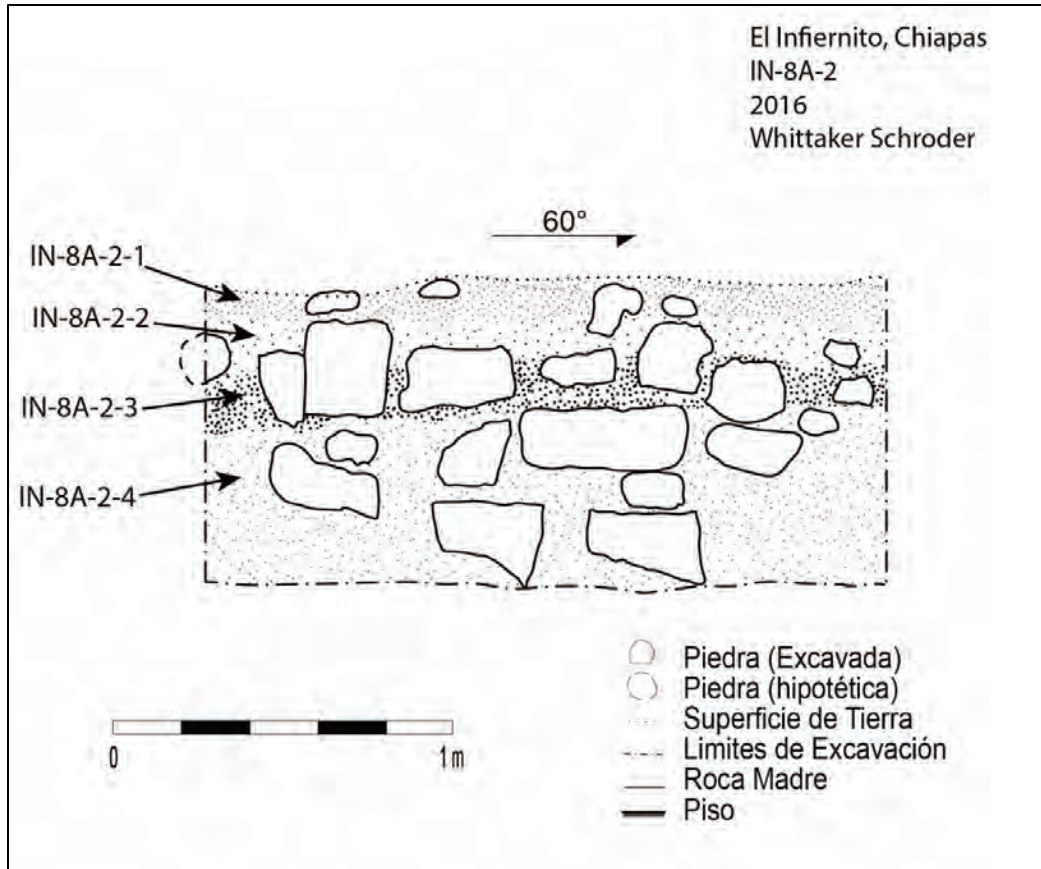


Figura 2.83 Dibujo de perfil noroeste, IN-8A-2.

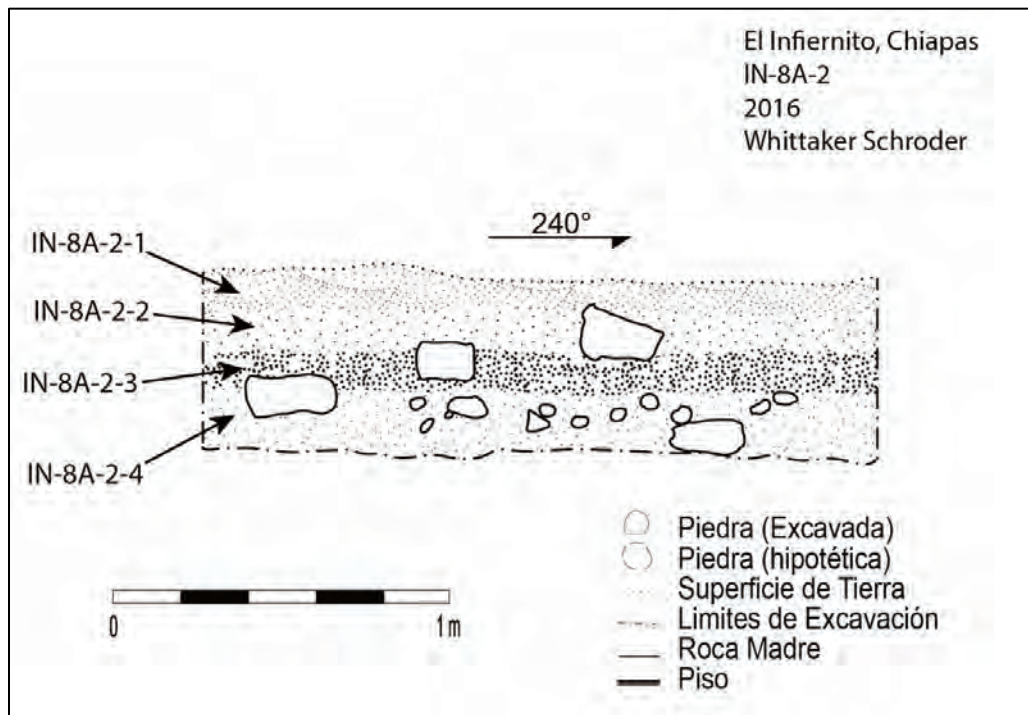


Figura 2.84 Dibujo de perfil sureste, IN-8A-2.

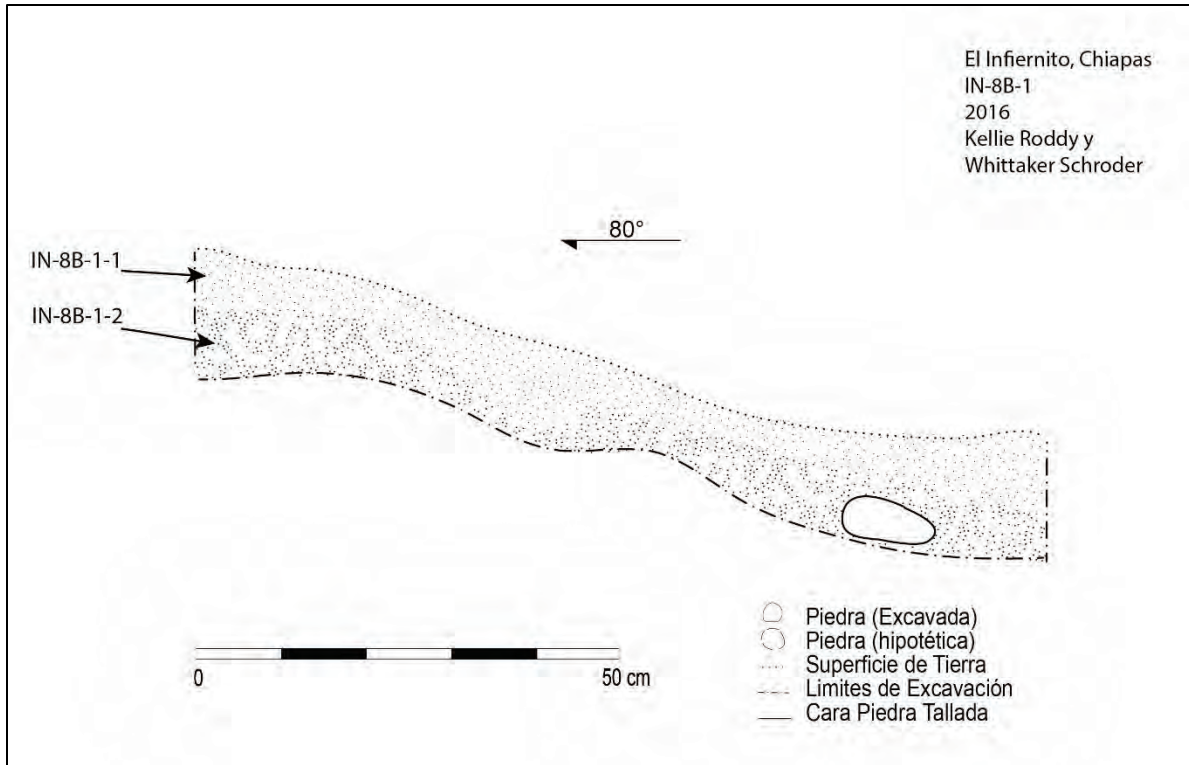


Figura 2.85 Dibujo de perfil sureste, IN-8B-1.

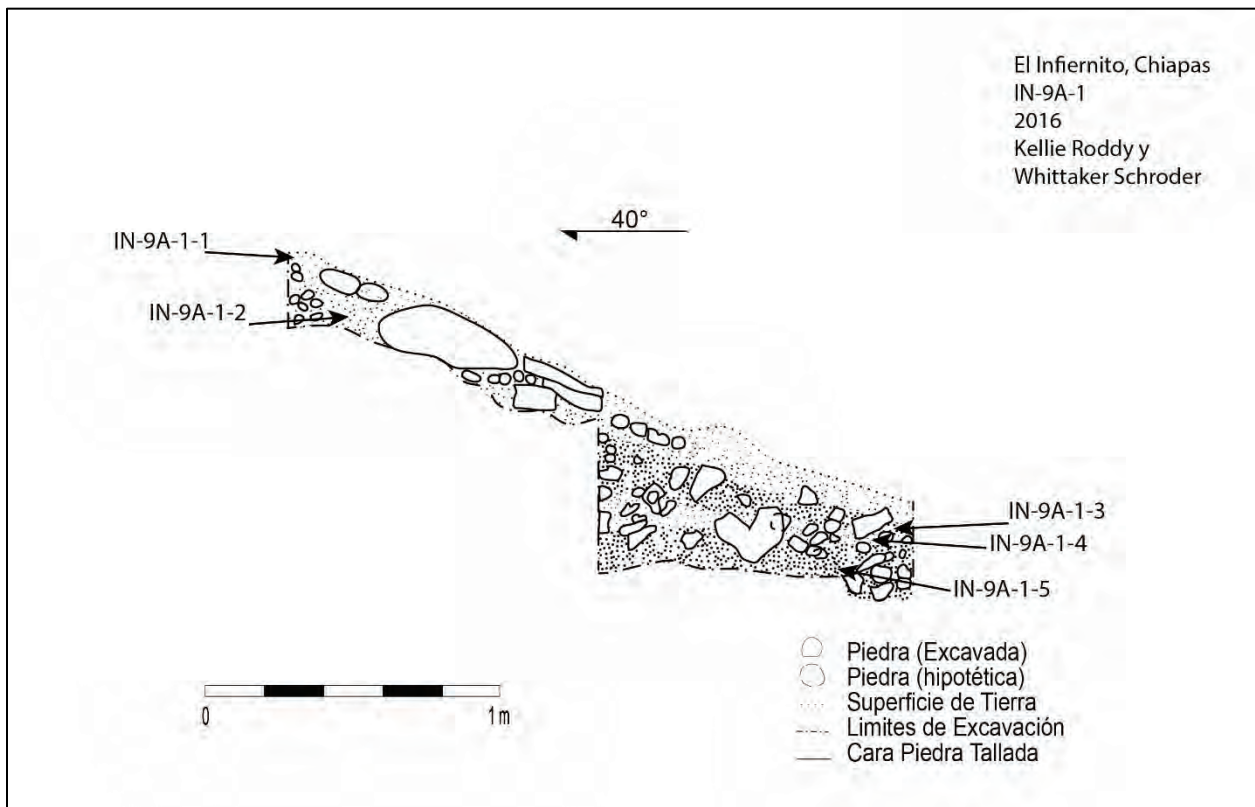


Figura 2.86 Dibujo de perfil sureste, IN-9A-1.

CAPÍTULO 3

RANCHO NUEVO: RECONOCIMIENTO Y LEVANTAMIENTO PRELIMINAR

Whittaker Schroder

Introducción

Uno de los objetivos del proyecto ha sido el reconocimiento arqueológico en el área de Budsilha. Con las investigaciones en el ejido La Selva, hemos empezado a entender mejor los patrones de asentamiento al lado este del Río Busilja, pero queda bastante reconocimiento para hacer entre los sitios Budsilha y La Selva que están separados por 3 km. En el camino entre los poblados actuales de la región, Nueva Esperanza Progresista y La Selva, hay varios grupos de montículos visibles en los cerros bajos. Un ejemplo de un grupo arquitectónico pequeño queda en un cerro 2.7 km de Nueva Esperanza Progresista en ruta a La Selva, en el Rancho Nuevo, propiedad de Don Oriel de Nueva Esperanza. Con su permiso, hicimos un recorrido del terreno y empezamos el levantamiento del epicentro del sitio con estación total. Se tomó nota y registró con GPS los rasgos culturales (Figuras 3.1-3.5). Los elementos identificados y el proceso de levantamiento se describen a continuación.

Levantamiento

El levantamiento del epicentro del sitio Rancho Nuevo se hizo con una estación total, modelo Leica el día 30 de mayo, 2016. Marcamos un total de 758 puntos desde cuatro datos en un área de 0.5 hectáreas. El mapa salió con algunos huecos y hay que regresar en el futuro para tomar más puntos para mejorar el mapa.

La estructura principal (C4-1) está visible al sur del camino a La Selva encima de un cerro bajo con una altura de 10 m arriba del valle (Figura 3.6). Este cerro queda 1 km al noroeste del sitio arqueológico La Selva, y ambos son visibles entre sí. La estructura principal tiene una altura de 5 m y está construido con piedra bien labrada. Esta característica del sitio está evidente de lejos por la gran cantidad de piedra saqueada en la base del cerro (Figura 3.7). Según la gente de Nueva Esperanza, esta piedra va a ser usada para construir un corral. Parece que el único material saqueado sea la piedra y no hay evidencia de entierros ni otros artefactos.

Por el saqueo es difícil reconstruir la forma de la estructura principal, pero por la calidad del material seguramente era abovedada.

El epicentro del sitio parece consistir en una sola estructura desde lejos, pero encima del cerro hay un área planada (C4-8) con seis estructuras (Figura 3.8). La estructura principal y una estructura auxiliar (C4-2) están construidas encima de la plataforma C4-3. Al suroeste de la estructura principal hay dos estructuras paralelas (C4-4 y C4-5) con un pasillo entre ellos (Figuras 3.9-3.10). Al suroeste hay dos estructuras pequeñas (C4-6 y C4-7). Este uso de espacio parece formar un juego de pelota pequeño en forma “I.” Este posible juego de pelota mide 18 m de largo y su pasillo mide 3.5 m de ancho. Su tamaño es similar al juego de pelota mapeado en La Mar. Desde la superficie hay parte de una piedra visible en el pasillo, quizás sirviendo la función de un marcador, pero hay que excavar para verificar esta posibilidad.

El acceso al sitio parece ser al suroeste donde hay una escalera para subir a la plataforma C4-8. Aunque hay varios montículos visibles en la distancia desde la cumbre del cerro, el área inmediatamente adyacente al epicentro no parece tener estructuras domésticas (Figura 3.11). Más reconocimiento al sur es necesario para buscar estos rasgos. Desafortunadamente, esta zona queda en otro terreno y Don Oriel no conoce el dueño. Seguramente, este terreno es parte de la colonia de Nueva Esperanza y hay que pedir permiso para hacer recorrido.

Reconocimiento Arqueológico

El epicentro del sitio arqueológico Rancho Nuevo está ubicado al extremo sur del terreno de Don Oriel, que mide 100 hectáreas en total. La mayoría de este terreno queda en un plano deforestado dividido en medio por la carretera entre Nueva Esperanza y La Selva. Desde el cerro bajo del epicentro de Rancho Nuevo ni en imágenes satélites no parecen rasgos culturales. Sin embargo, al extremo norte del terreno, 1 km norte del epicentro del sitio, hay varios cerros forestados. Una parte de este cerro está deforestado y revela un montículo (Figura 3.12-3.13). Con el permiso de Don Oriel, hicimos un reconocimiento arqueológico en esta zona.

Esta zona está ubicada entre la carretera a la cascada Busiljá y el río Busiljá. El cerro está orientada este-oeste y tiene dos cumbres en cada lado. La mayoría de asentamiento consiste en montículos y plataformas bajas en el collado entre las cumbres con un montículo encima de la cumbre poniente. Estos montículos posiblemente sirvieron una función doméstica, evidente en los cerros alrededor del sitio Budsilha, que está ubicado 1.5 km al oeste (Figura 3.14-3.17).

Al norte de este cerro, aproximadamente 400 m, hay un manantial en el valle pequeño hasta el río Busiljá (Figuras 3.18-3.19). Este manantial era la fuente de agua más cercana a los montículos al extremo norte de Rancho Nuevo, mientras el río Busiljá está más de 1 km del grupo. En contraste, el epicentro del sitio arqueológico Rancho Nuevo probablemente no usó la misma fuente de agua, y posiblemente agarró agua del río Busiljá 1.3 km al suroeste entre las comunidades actuales de Agua Cristalina y La Selva, casi 6 km río arriba. Este manantial también probablemente sirvió como una fuente de agua para varias comunidades en los cerros al lado norte del Rancho Nuevo. Por ejemplo, un grupo arquitectónico está visible inmediatamente al oeste del manantial en otro terreno.

Conclusiones

Aunque Rancho Nuevo es un sitio pequeño, parece que ocupaba una posición importante en el paisaje político de la región. La piedra usada en la construcción de sus estructuras es de la misma calidad alta de Budsilha y La Selva, y la distancia pequeña entre estos tres sitios sugiere que fueron parte de una comunidad entre La Mar y Piedras Negras. Si Rancho Nuevo realmente tenía un juego de pelota, es posible que atraía gente local en vez de los centros más grandes de La Mar y Piedras Negras. En el futuro, con el permiso del INAH y Don Oriel, esperamos investigar esas preguntas con excavaciones en el epicentro de Rancho Nuevo.

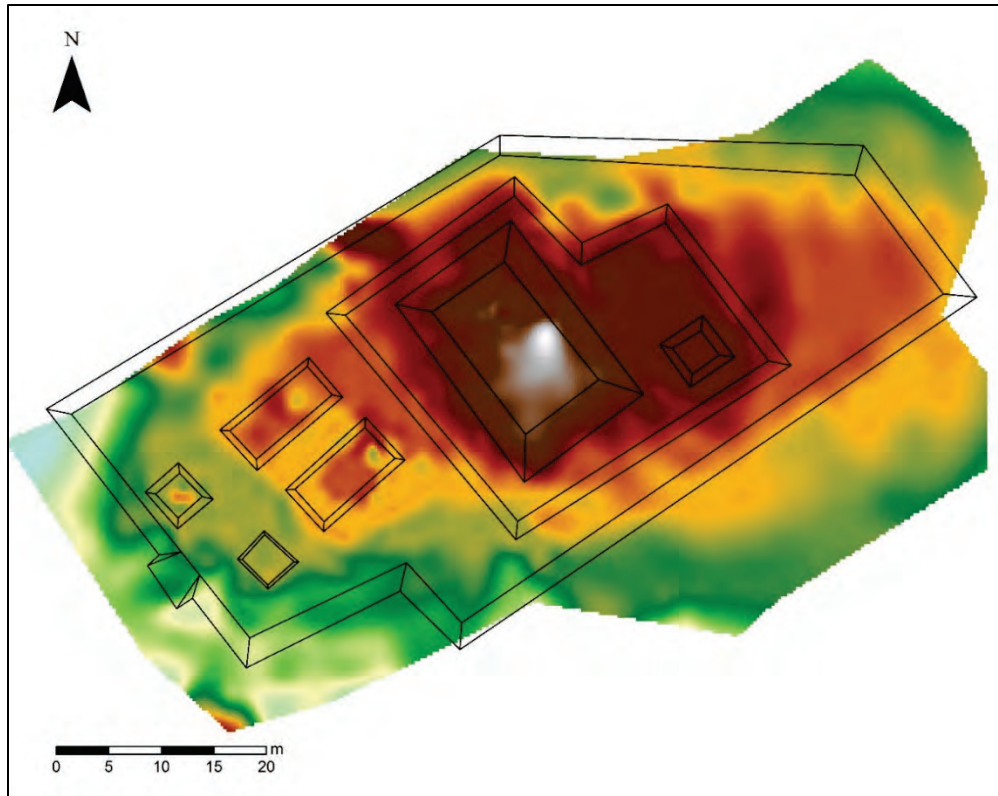


Figura 3.1 Mapa topográfico preliminar de Rancho Nuevo (por W. Schroder).

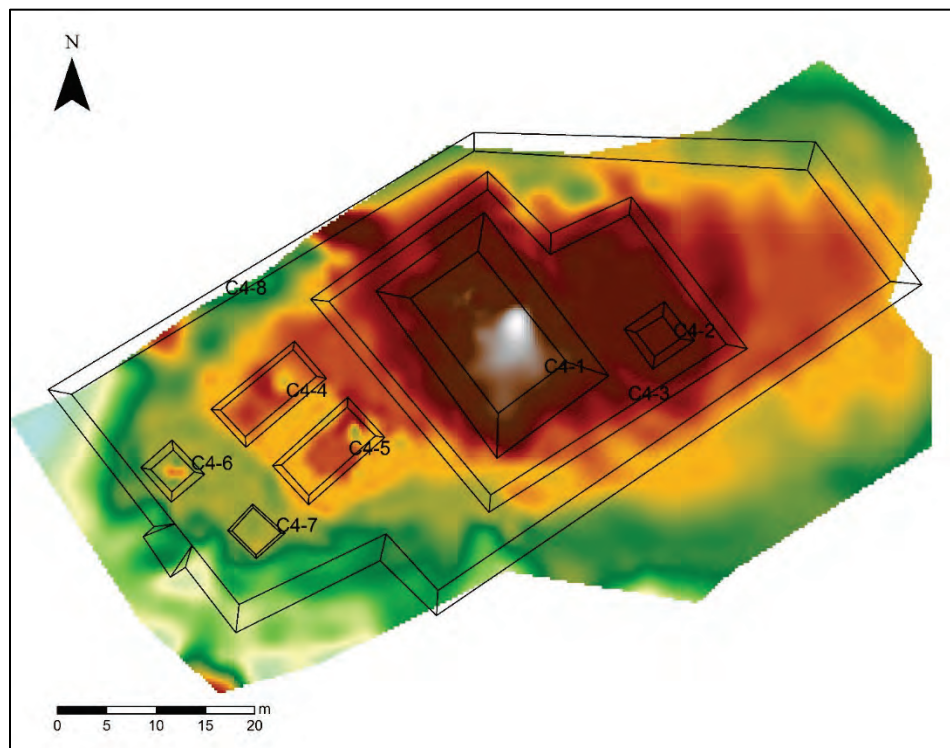


Figura 3.2 Estructuras en el epicentro de Rancho Nuevo (por W. Schroder).

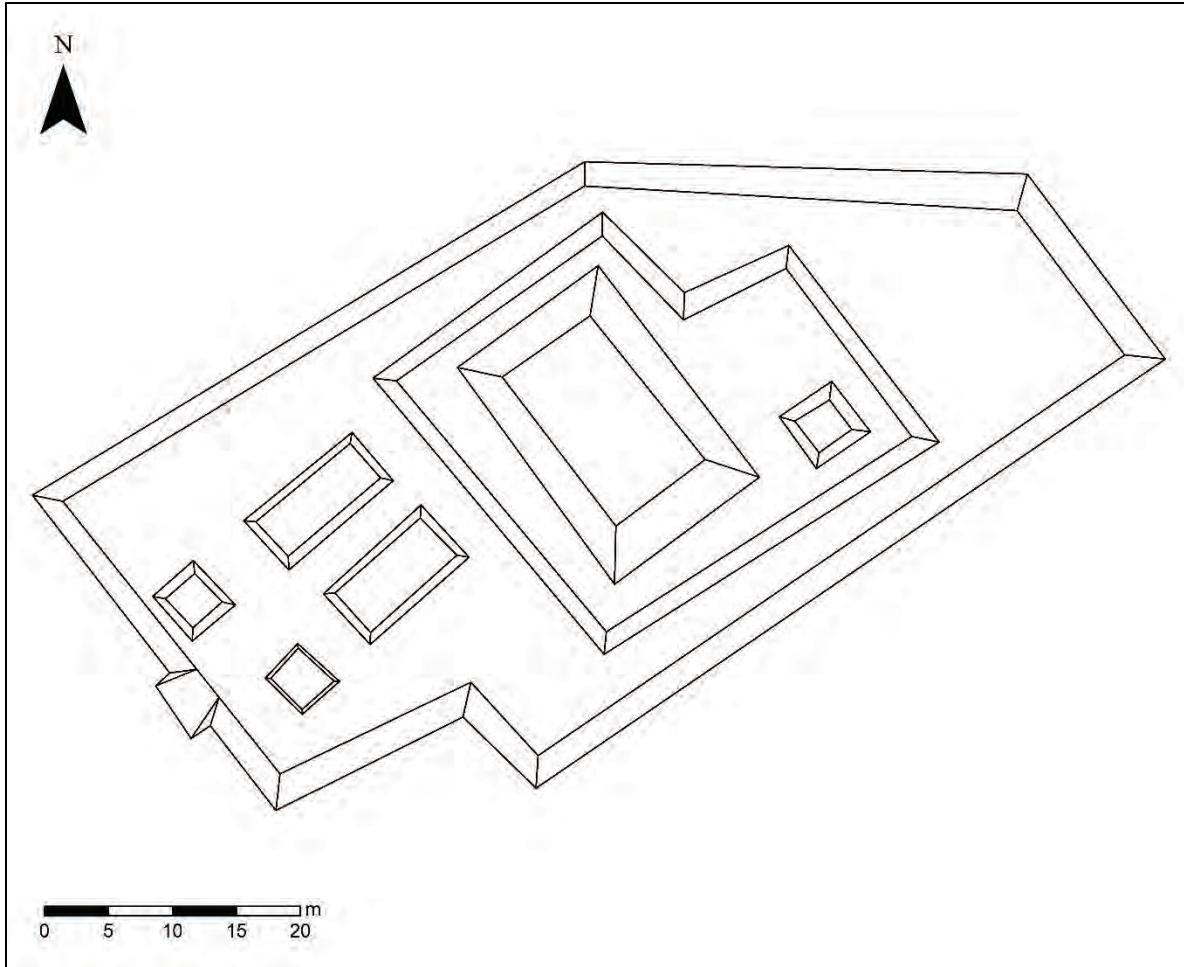


Figura 3.3 Mapa de Rancho Nuevo (por W. Schroder).

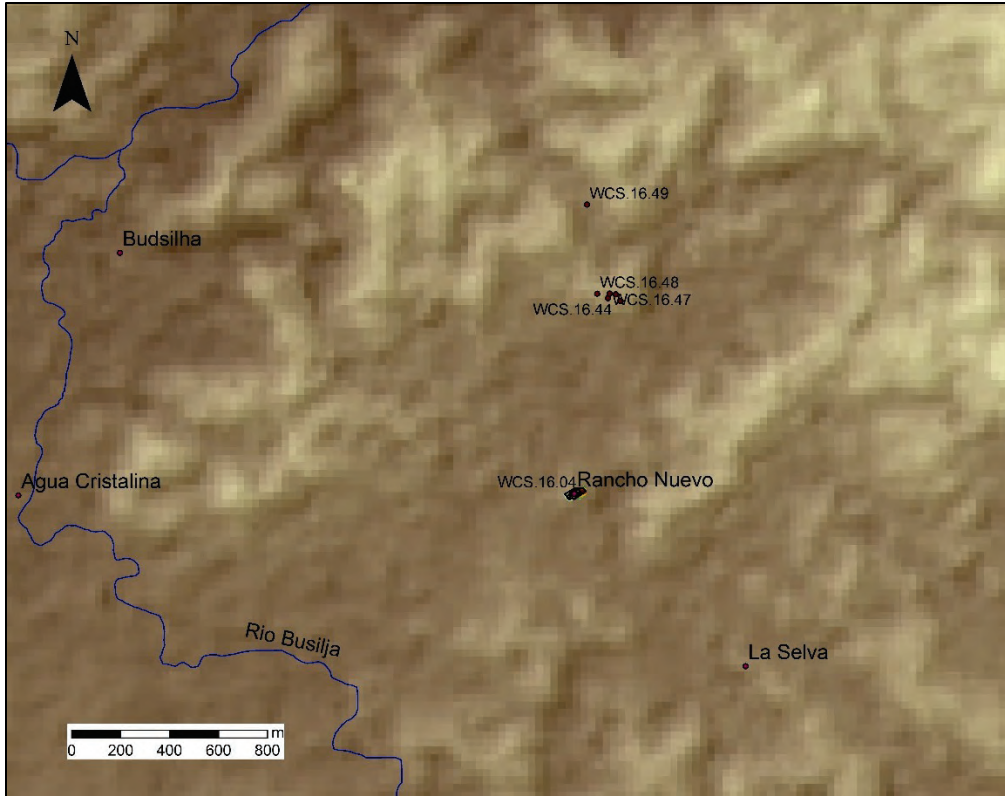


Figura 3.4 Mapa de los alrededores de Rancho Nuevo (por W. Schroder).

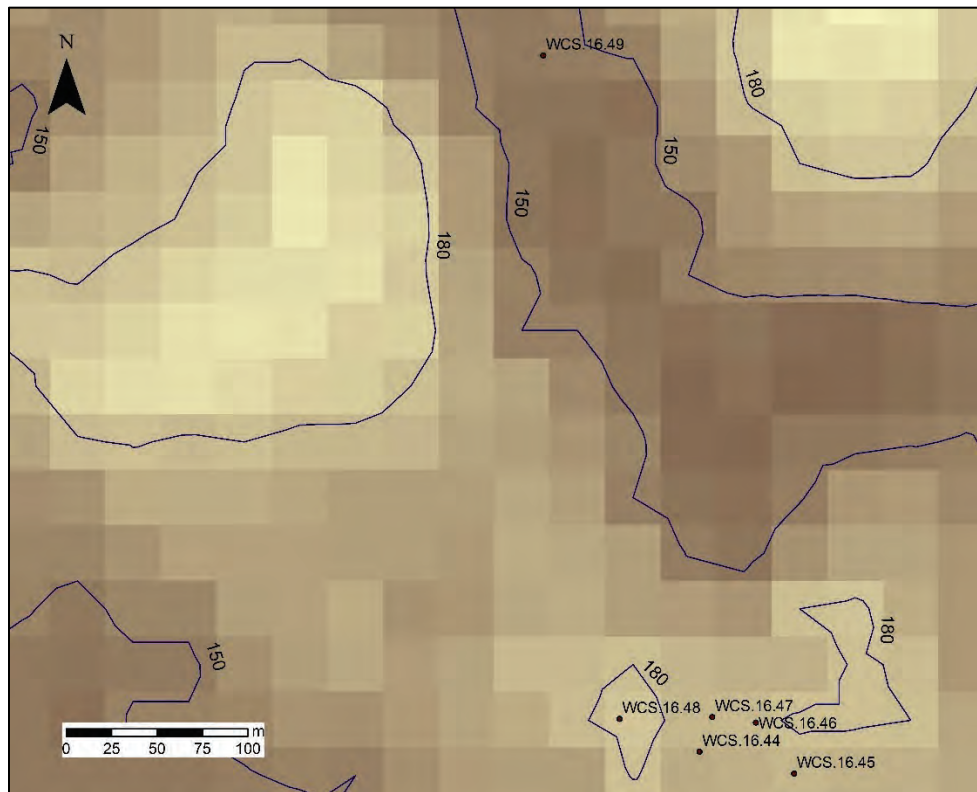


Figura 3.5 Puntos de GPS al lado norte de Rancho Nuevo (por W. Schroder).



Figura 3.6 Vista del epicentro de Rancho Nuevo desde el camino (foto por W. Schroder).



Figura 3.7 Piedras saqueadas en la base del epicentro de Rancho Nuevo (foto por W. Schroder).



Figura 3.8 Estructura C4-1, Rancho Nuevo mirando hasta el nordeste (foto por W. Schroder).



Figura 3.9 Estructuras C4-4 y C4-5 desde C4-1 (foto por W. Schroder).



Figura 3.10 Estructuras (C4-4 y C4-5) con estructura C4-1 al fondo (foto por W. Schroder).



Figura 3.11 Vista al norte del epicentro de Rancho Nuevo (foto por W. Schroder).



Figura 3.12 Montículo al norte del epicentro de Rancho Nuevo (foto por W. Schroder).



Figura 3.13 Montículo al norte del epicentro de Rancho Nuevo (foto por W. Schroder).



Figura 3.14 Vista del epicentro de Rancho Nuevo hacia el sur (foto por W. Schroder).



Figura 3.15 Plataforma en el cerro al norte del epicentro de Rancho Nuevo (foto por W. Schroder).



Figura 3.16 Montículos al norte del epicentro de Rancho Nuevo (foto por W. Schroder).



Figura 3.17 Montículos en el cerro arriba del ojo de agua (foto por W. Schroder).



Figura 3.18 Vista del ojo de agua al norte del epicentro de Rancho Nuevo (foto por W. Schroder).



Figura 3.19 Ojo de agua al norte del epicentro de Rancho Nuevo (foto por W. Schroder).

CAPÍTULO 4:

RECONOCIMIENTO ARQUEOLÓGICO EN NUEVO FRANCISCO LEÓN Y NUEVO GUERRERO, OCOSINGO

Whittaker Schroder

Introducción

Empezando en 2011 y continuando en 2015, hemos documentado sitios arqueológicos en el área sur del proyecto. Continuamos estos trabajos en 2016 después de conocer algunos dueños de terrenos en la zona. Estos estudios centraron en los poblados actuales de Nuevo Francisco León, Nuevo Jerusalén, Nuevo Guerrero, y Nuevo Tumbalá. Cada rasgo cultural fue marcado con GPS y los conjuntos arquitectónicos fueron dibujados con croquis. Los trabajos arqueológicos se describen a continuación.

Estela con Procedencia en los Alrededores de Nuevo Mariscal

Las actividades en el área sur del proyecto esta temporada empezaron con noticias de un terrateniente con una piedra labrada en su propiedad. Fuimos a conocer el monumento que era un fragmento de una estela (Figuras 4.1-4.2). Esta estela fue sacada de algún sitio y vendido entonces no podemos estar seguro de su procedencia. Según los informantes locales, la estela fue comprada de alguien de la comunidad de Nuevo Mariscal, que está ubicada al sur de Nuevo Francisco León al lado noroeste de la laguna Santa Clara. Esta zona no está bien conocida arqueológicamente, pero la estela podría venir de un sitio visitado por Teoberto Maler, incluyendo Anaite, Chicozapote, El Chile, El Cayo u otro no documentado.

El fragmento parece ser quebrado naturalmente (no hay evidencia de marcas de una sierra industrial) y sus dimensiones son 74 cm (lado derecha), 60 cm (lado izquierda), 55 cm (parte de arriba), y 49 cm (parte de abajo). La caliza mide entre 5 y 9 cm de grosor. La estela está labrada en una sola cara. Esta cara muestra una figura de un hombre con un tocado de cabeza elaborado y un bastón de mando. El fragmento solo muestra parte de la cara en perfil en la esquina bajo derecha, viendo hasta la izquierda, parte del tocado en la esquina arriba derecha, y el bastón al lado izquierda. El bastón parece ser decorado con tela amarrado para formar banderas en ambos lados del palo. Encima del bastón hay una punta de lanza, probablemente de obsidiana saliendo de la boca de un ciempiés. El tocado está complicado pero parece ser hecho de una hoja grande o

plumas de un pájaro. Debajo de la hoja hay la cabeza de un animal. Alguna visera está atada a la cabeza del hombre y una borla cae en frente de su cara desde un botón con decoración cuadrifolio. El hombre también lleva un protector de cabeza que sigue la forma de su mandíbula y forma un protector bucal. Según Stephen Houston, posiblemente el nombre del hombre está escrito en glifos en su frente, pero no está claro (Figura 4.3). Aparte de esto, no hay inscripciones en este fragmento.

La iconografía está representada en otros monumentos de la región del Usumacinta. Figuras en perfil con lanza son comunes al fin del periodo Clásico Tardío. El estilo de lanza en esta estela también está representado en la Estela 1 de Bonampak. Esta estela fue erigida en 780 d.C. y muestra el *ajaw* Chaan Muwan con una lanza similar, aunque la punta de la lanza y el tocado no están enteros (Mathews 1980). Otro monumento similar es la Estela 4 de La Mar, que muestra una figura con lanza y protector de cabeza similar.

Charles Golden ha sugerido que la estela de Nuevo Mariscal posiblemente es la Estela 3 de El Cayo, que fue dibujado por Teoberto Maler al fin del siglo XIX. La Estela 3 fue descubierta en el templo medio de la estructura principal de El Cayo y muestra una figura en perfil con bastón y tocado. El dibujo puede ser inexacto, pero el bastón y el tocado no parecen como aquellos en la estela de Mariscal. Además, Maler escribió que el tocado no tenía detalle de plumaje, pero esa decoración está clara en la estela de Mariscal. Finalmente, Maler describió que el grosor de la escultura era 45 cm mientras la estela de Mariscal mide 55 cm y seguramente cuando era entera midió más. Sin saber mejor la procedencia, no es posible decir con certeza si es la Estela 3 de El Cayo o un monumento de otro sitio documentado o desconocido.

La Ruina/Francisco León/Nuevo Jerusalén

Esta temporada, conocimos mejor el patrón de asentamiento en el área sur del proyecto. Uno de los sitios que documentamos este año está en el terreno de don Arturo García Pablo de Nuevo Francisco León (Figura 4.4-4.7). Su terreno no tiene nombre, pero el lugar está conocido localmente como “La Ruina” o “Banco de Grava.” Obviamente, hay que escoger un mejor nombre en el futuro si tenemos la oportunidad para regresar. Aunque la parcela es parte de Nuevo Francisco León, el sitio está más cerca del poblado Nuevo Jerusalén, accesible por el camino desde la Carretera Fronteriza hasta Nuevo Mariscal.

La Ruina de don Arturo García Pablo parece representar uno de los sitios secundarios más grandes de la región en la extensión del asentamiento y en la monumentalidad de las estructuras. Solo tuvimos una visita corta de una hora, y en ese tiempo tomamos fotos y dibujamos un croquis de las estructuras conocidas. El sitio está centrado en una pirámide o por lo menos un cerro piramidal modificado con una altura de 15 m con una huella de 50 x 50 m (Figura 4.8). Esta estructura principal es enorme y tiene construcción hasta la base donde hay un muro de contención de 150 cm de altura (Figuras 4.9-4.11). Hoy en día, la pirámide está cubierta en monte, incluyendo una ceiba alta. El resto del sitio está en milpa. En los alrededores, se ve otros cerros, posiblemente pirámides también, pero hay que investigar. Según el dueño, hay varias estructuras en su terreno.

Encima de la pirámide, hay un conjunto arquitectónico en forma de un grupo patio (Figuras 4.12-4.13). Esta parte del sitio está muy arruinada con pozos de saqueo, uno que tiene una profundidad hasta 2 m (Figura 4.14). Don Arturo García Pablo dice que todos estos pozos representan actividades recientes de las comunidades cercanas, y claramente él era enojado que gente entrara a su terreno sin permiso. Al lado noroeste del grupo patio hay la base de una superestructura derrumbada. El derrumbe fue causado más por efectos naturales, pero también hay saqueo. Hace veinte años, dijo don Arturo García Pablo, una pared de la superestructura de 4 m de altura era preservada pero por el saqueo ahora solo permanece la base del muro con roca de dos cursos, pero muy bien labrada. Esta base forma un cuadrado de 1 x 1 m, y anteriormente probablemente fue una columna que sostenía un techo con otra columna ahora destruido (Figura 4.13). El resto de esta arquitectura está visible entre raíces de árboles caídos al otro lado de la plataforma. Al sureste de esta plataforma, al otro lado del patio, hay un montículo de tamaño similar, pero más bajo y sin evidencia de una superestructura similar, aunque posiblemente fue completamente derrumbado (Figura 4.15). Al lado este del patio hay una plataforma de rango también saqueado (Figura 4.16). La orientación de esta parte del sitio es aproximadamente 50° azimut.

Desde la base oriental de la pirámide, una plataforma extiende al nordeste (Figura 4.17). Encontramos bastante material en este lugar, incluyendo un fragmento de la borde de una olla de paredes delgadas, fragmentos de cerámica no diagnósticas, lítica, y metates. La función de esta plataforma entonces posiblemente era habitacional, pero tiene un tamaño grande y parece formar un muro para restringir acceso al sitio (Figura 4.18). De hecho, hemos documentado este tipo de construcción en Lacanjá Tzeltal, pero en una escala más grande.

Al sureste, subimos un cerrito donde encontramos otro grupo de plataformas, por lo menos dos montículos bajos, uno cuadrado y otro rectangular. Probablemente hay más plataformas en esta parte de la milpa. Entre estas dos plataformas encontramos varios fragmentos de metates, que sugiere que esta parte del sitio era habitacional.

Examinando unas imágenes aéreas de la milpa, la estructura principal parece ser ubicada al lado suroeste de una plaza grande. Al lado noroeste y nordeste de esta plaza, la cantidad de monte sugiere que hay dos estructuras grandes más, aunque no examinamos estos lugares al nivel del terreno. Estas estructuras posibles están marcadas en el croquis. En años futuros con el permiso de don Arturo García Pablo esperamos regresar al sitio para hacer un recorrido completo con más tiempo, y ojalá empezar el levantamiento con estación total.

La Ruina de Arturo García Pablo es un sitio muy importante en la región para entender el patrón de asentamiento entre El Cayo y Lacanjá Tzeltal, que según la epigrafía tenían una relación política-ritual durante el periodo Clásico Tardío. Este sitio también es importante por ser uno de los sitios secundarios más grandes y monumentales de la región. Su diseño es similar a Laguna Oscura, documentado en 2011, con un cerro piramidal y varias estructuras en la vecindad. No encontramos monumentos, pero probablemente había monumentos antes de las actividades de saqueo. Posiblemente hay los restos de dinteles u otros monumentos debajo del derrumbe de las superestructuras encima de la estructura principal. El sitio definitivamente está relacionado con El Cayo, que queda a 6 km al nordeste. También, la orientación de las estructuras, aproximadamente 50° están en la dirección de El Cayo. Hay que investigar esta posibilidad en el futuro con el permiso de don Arturo García Pablo y el INAH.

El Pozo/Nuevo Tumbalá

También tuvimos la oportunidad esta temporada de conocer un sitio al lado sur del proyecto entre las comunidades Nuevo Guerrero y Nuevo Tumbalá. Este terreno es la propiedad de Enrique Luis Reyes de Nuevo Guerrero y está accesible por el camino entre los poblados Veinte de Noviembre/El Naranjito y Nuevo Tumbalá (Figura 4.19). Este rancho tampoco tiene nombre, entonces por ahora lo denominamos como El Pozo por el rasgo único documentado en el sitio.

Durante nuestra visita a El Pozo, documentamos dos partes del sitio: uno en el valle y otro encima de un cerro alto. En el valle investigamos tres montículos grandes con bastante evidencia

de saqueo (Figuras 4.20-4.21). Según Enrique Luis Reyes, la comunidad cercana de Nuevo Tumbalá usó mucha piedra del sitio para la construcción de un puente. En esta visita no conocimos este puente, pero en el futuro sería bueno examinar las piedras para inscripciones. Antes, El Pozo probablemente fue un sitio más monumental por la calidad de su piedra y el tamaño de sus estructuras. Dijo Enrique Luis Reyes que antes había una “cancha” grande, probablemente una plaza, y esta área está todavía visible al sureste de los montículos marcados con GPS.

Más al sureste, encima de un cerro, el asentamiento continúa. Este cerro es muy inaccesible, rodeado con acantilados. Realmente no encontramos una ruta buena de acceso, y varios trabajadores decidieron quedar abajo por la subida peligrosa. Encima del cerro, hay un pozo de agua bien construido de piedra labrada (Figura 4.22). El diámetro del pozo mide 70-80 cm y la gente de Nuevo Tumbalá ha excavado por lo menos 150 cm de profundidad. El pozo probablemente es más profundo. Actualmente, el pozo está completamente seco, que sugiere que el nivel freático era más alto en el pasado. Encima del cerro, arriba del pozo hay dos montículos habitacionales, pero deberían de haber más por la construcción del pozo (Figura 4.23).

El sitio tiene algunas semejanzas con El Infiernito, por el patrón de asentamiento en valle y cerro alto. El cerro en El Pozo es aún más inaccesible que el cerro de El Infiernito, y no hay evidencia de muros defensivos. No hemos documentado pozos de agua en El Infiernito, probablemente porque había agua en un manantial accesible, mientras en El Pozo no parece que haya otra fuente de agua. El pozo de agua en El Pozo también es similar a la cisterna excavada en El Tecolote en un grupo patio sin acceso a agua. Posiblemente El Pozo representa un asentamiento tardío con una función defensiva permanente como en El Infiernito.

Conclusiones

Los trabajos del Proyecto Arqueológico Busiljá-Chocoljá en la parte sur de la región del proyecto fueron unas de las actividades más exitosas de la temporada. El registro de una estela posiblemente no conocida antes y la documentación de dos sitios grandes e importantes pueden proveer mucha información sobre la historia de la región y la relación entre los sitios. Queda más trabajo para el futuro, y con el permiso del INAH y las comunidades locales, esperamos visitar esta zona en temporadas futuras, con el intento de documentar otros sitios y redescubrir sitios arqueológicos descritos por Maler en el siglo XIX.



Figura 4.1 Estela de los alrededores de Nuevo Mariscal (foto por W. Schroder).



Figura 4.2 Estela de los alrededores de Nuevo Mariscal con escala (foto por W. Schroder).



Figura 4.3 Detalle de la estela de Nuevo Mariscal con glifos posiblemente en la frente de la figura arriba del ojo (foto por W. Schroder).

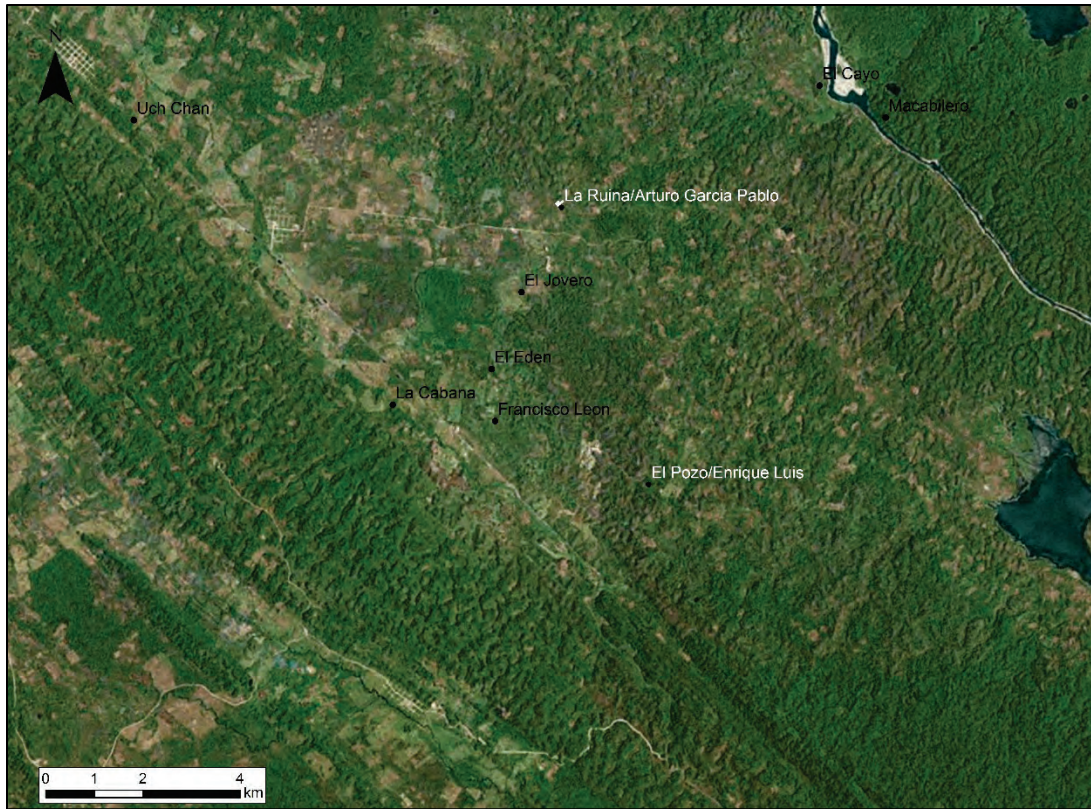


Figura 4.4 Mapa del área sur del proyecto (por W. Schroder).



Figura 4.5 Mapa del área de La Ruina de Arturo García Pablo con puntos de GPS (por W. Schroder).

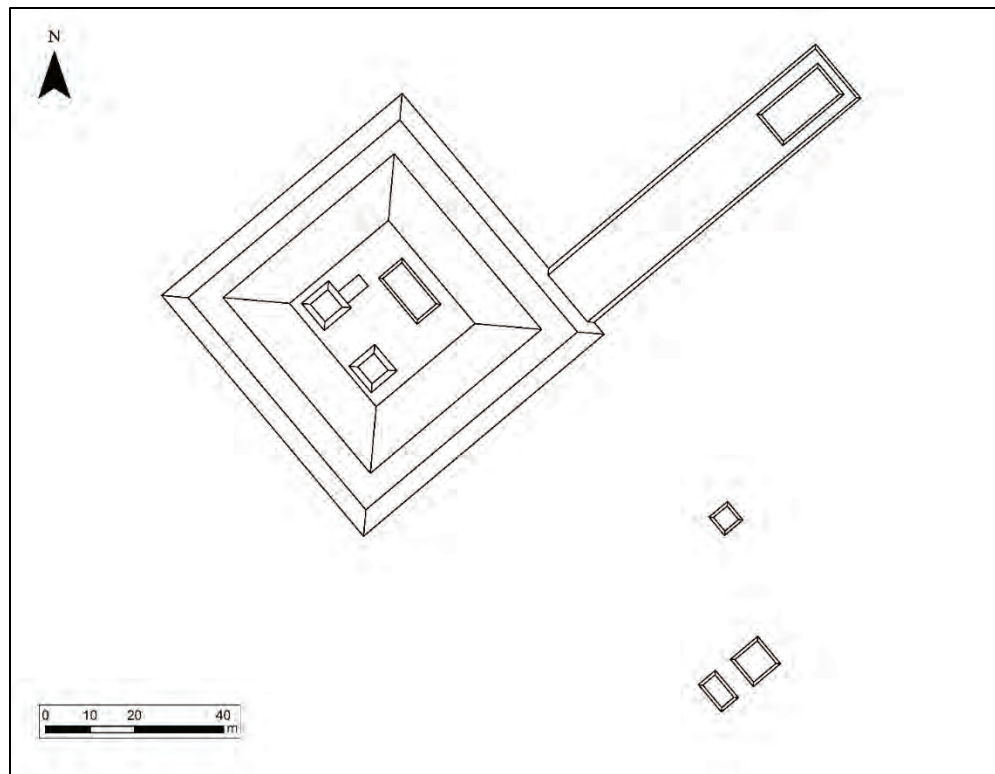


Figura 4.6 Croquis de La Ruina de Arturo García Pablo (por W. Schroder).

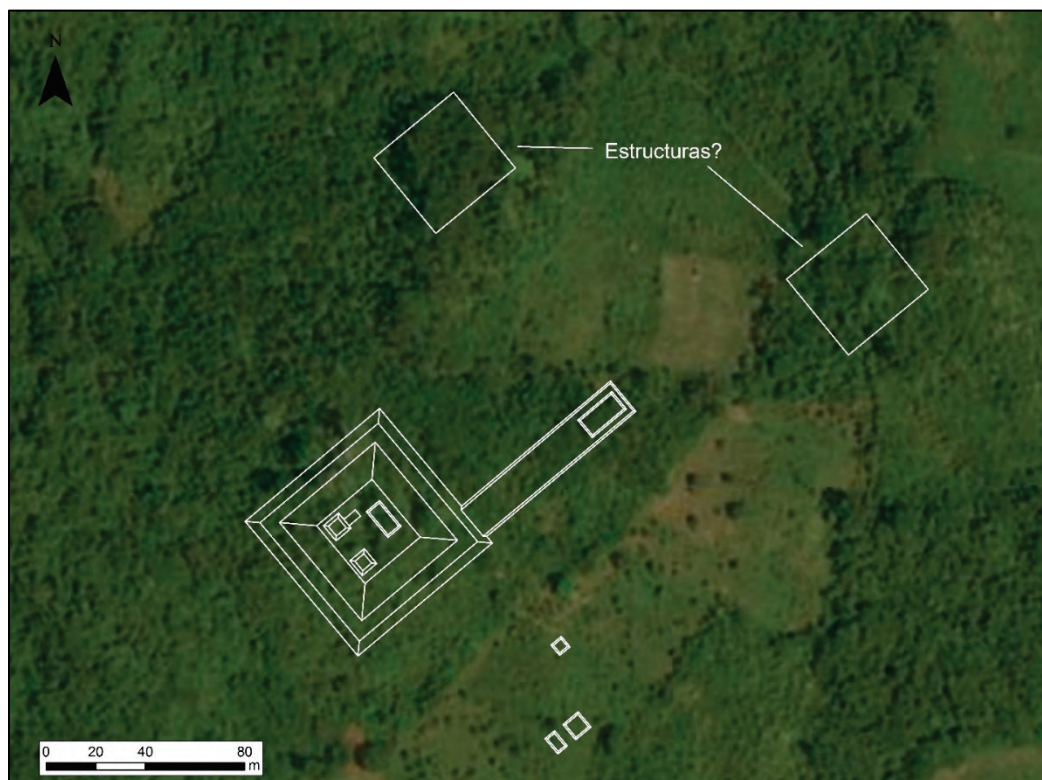


Figura 4.7 Imagen de satélite de La Ruina de Arturo García Pablo mostrando la ubicación de otras estructuras potenciales (por W. Schroder).



Figura 4.8 La estructura principal de La Ruina de Arturo García Pablo de la plaza mirando hacia el oeste (foto por W. Schroder).



Figura 4.9 Una terraza subiendo a la cumbre de la estructura principal (foto por W. Schroder).



Figura 4.10 Una terraza debajo de la cumbre de la estructura principal (foto por W. Schroder).



Figura 4.11 Muro de contención en la base de la estructura principal (foto por W. Schroder).



Figura 4.12 Los restos del templo encima de la estructura principal, lado noroeste del patio (foto por W. Schroder).



Figura 4.13 Base de la superestructura derrumbada del templo (foto por W. Schroder).



Figura 4.14 Pozo de saqueo al lado sureste del patio encima de la estructura principal (foto por W. Schroder).



Figura 4.15 Pared preservada arriba del pozo de saqueo, lado sureste del patio en la cumbre de la estructura principal (foto por W. Schroder).



Figura 4.16 Plataforma de rango al lado este del patio encima de la estructura principal (foto por W. Schroder).



Figura 4.17 Plataforma que extiende al este de la estructura principal (foto por W. Schroder).



Figura 4.18 Montículo al lado nordeste de la plataforma que extiende de la estructura principal, mirando hasta el nordeste (foto por W. Schroder).



Figura 4.19 Mapa de El Pozo/Rancho de Enrique Luis Reyes mostrando los puntos de GPS (por W. Schroder).



Figura 4.20 Base de la estructura principal de El Pozo/Rancho de Enrique Luis Reyes (foto por W. Schroder).



Figura 4.21 Pozo de saqueo grande en la estructura principal de El Pozo/Rancho de Enrique Luis Reyes (foto por W. Schroder).



Figura 4.22 Pozo de agua encima del cerro, El Pozo/Rancho de Enrique Luis Reyes (foto por W. Schroder).



Figura 4.23 Monticúlo encima del cerro, arriba del pozo de agua, El Pozo/Rancho Enrique Luis Reyes (foto por W. Schroder).

CAPÍTULO 5

RECONOCIMIENTO ARQUEOLÓGICO EN NUEVA ESPERANZA PROGRESISTA, MARGARITA MAZA DE JUÁREZ, Y RÍO OSUMACINTA, PALENQUE

Whittaker Schroder

Introducción

El Proyecto Arqueológico Busiljá-Chocoljá ha trabajado en varias comunidades de la zona, pero durante los últimos años de trabajo, hemos enfocado en el área alrededor de la comunidad actual de Nueva Esperanza Progresista. Desde la temporada de 2014, hemos expandido nuestros estudios a incluir comunidades más retiradas, pero también accesibles por el camino desde la Carretera Fronteriza y el cruce a Nueva Esperanza. Estas comunidades incluyen los ejidos de Margarita Maza de Juárez, La Selva, y Arroyo Jerusalén. Esta temporada tuvimos éxito en Margarita Maza de Juárez y otra comunidad no visitada anteriormente por arqueólogos, Río Osumacinta (Figura 5.1). Las investigaciones en Nueva Esperanza, Margaritas, y Osumacinta se describen a continuación. Cada rasgo cultural fue registrado con GPS, y los grupos arquitectónicos fueron mapeados con croquis.

Nueva Esperanza Progresista Zona Urbana

Aunque hemos trabajado en la colonia de Nueva Esperanza desde 2011, cada año estamos impresionados con la cantidad de sitios arqueológicos no registrados. Durante la temporada de 2016, visitamos un sitio bien cerca de la comunidad actual con la ayuda de Saúl Ascencio Bocanegra y Ofir Ascencio Bocanegra. Este sitio se encuentra en la Zona Urbana de Nueva Esperanza Progresista y no tiene dueño individual. Los edificios actuales más cercanos son parte de la Escuela Primaria, pero el sitio está accesible por varios caminos, incluyendo uno que sigue el Río Busiljá hasta el norte, aproximadamente 500 m de la poblada. Por no tener dueño, pusimos el nombre tentativo de La Esperanza. Actualmente, el sitio está deforestado y usado como potrero para ganado.

El sitio La Esperanza consiste en varios grupos arquitectónicos de plataformas habitacionales en los cerros bajos entre el Río Busiljá y el arroyo que viene desde La Mar

(Figuras 5.2-5.4). Examinamos tres grupos distintos, pero obviamente hay otros al otro lado del arroyo. Estos grupos están separados por 130-200 m. Otro rasgo natural notable visible del sitio es el acantilado de caliza cerca al cenote. Este acantilado se encuentra a solamente 200 m al noroeste del extremo norte del sitio.

El Grupo 1 está ubicado en la parte suroeste del sitio y consiste en cuatro montículos orientados a 30° azimut (Figura 5.5). Los montículos están organizados más o menos en línea desde noroeste hasta sudeste, pero no hay patios obvios. El montículo más grande está ubicado al lado noroeste y mide aproximadamente 2 m de alto y 5 m de largo. Al sudeste hay una plataforma de rango bajo menos de 1 m de alto con 10 m de largo. Al sudeste hay dos plataformas pequeñas, posiblemente habitacionales o auxiliares a las estructuras más grandes.

Al nordeste 200 m se encuentra el Grupo 2 que parece formar el grupo más formal del sitio (Figura 5.6). Este grupo consiste en cuatro montículos encima de un cerro bajo. La cima de este cerro está modificada con una terraza que rodea el cerro para definir el grupo arquitectónico encima. La organización de los montículos posiblemente define un espacio grande que mide 30 m de largo y 15 m de ancho. Es probable que haya otras estructuras pequeñas en este espacio que no son visibles en el pasto. Las actividades del ganado también causan daño, especialmente en las plataformas más bajas. Similarmente al Grupo 1, el Grupo 2 tiene su montículo más grande al lado noroeste. Este montículo también mide 2 m de alto. Sin embargo, la orientación de este grupo es diferente, con un 60° azimut, equivalente al sitio Budsilha, ubicado 450 m al sudeste al otro lado del Río Busiljá. Al extremo sudeste del Grupo 2 de La Esperanza hay tres montículos pequeños habitacionales en forma “L” quizás delimitando un patio al sudeste.

El Grupo 3 está ubicado 130 m al noroeste del Grupo 2 en otro cerro bajo (Figuras 5.7-5.10). El Grupo 3 está compuesto de tres montículos pequeños y dispersos, también orientados a 60° azimut. Otros rasgos interesantes en este cerro son huecos posiblemente naturales en la caliza que forman espacio más grande abajo (Figura 5.11). Aunque no parecen ser modificados, parecen similares a chultunes o cisternas. El arroyo de La Mar está ubicado a solo 90 m al este del Grupo 3, entonces la construcción de chultunes no sería necesaria, pero si existían naturalmente, quizás fueran usados para coleccionar agua.

No encontramos cerámica diagnóstica en la superficie, pero seguramente el sitio La Esperanza formaba parte del paisaje habitacional de Budsilha durante el periodo Clásico Tardío. Budsilha está cerca y además está visible desde los Grupos 2 y 3. Obviamente hay más

plataformas habitacionales visibles en los cerros bajos, y el sitio parece similar a sitios como Santa Marta donde hay una mezcla de estructuras posiblemente rituales o administrativas con espacio amplio y plataformas habitacionales dispersas. La diferencia entre la orientación del Grupo 1 y los Grupos 2 y 3 pueden ser significativo, pero más investigación sería necesaria para examinar esa pregunta. Puede ser que el Grupo 1 es más temprano y los Grupos 2 y 3 son más tardíos. Cabe mencionar que mientras los Grupos 2 y 3 tienen la misma orientación a Budsilha, el Grupo 1 tiene la misma orientación a Piedras Negras y La Selva. También las orientaciones pueden ser explicadas por las orientaciones naturales de los cerros.

Margarita Masa de Juárez

El Salvador

En 2014, conocimos un cenote recién colapsado en el ejido de Margarita Masa de Juárez, pero no investigamos rasgos culturales. Este ejido se encuentra 12 km de Nueva Esperanza por un camino de grava. La comunidad actual de Margarita Masa de Juárez está al lado de una laguna pequeña y a 2 km del Río Usumacinta. El ejido incluye varios terrenos al otro lado del Usumacinta de Piedras Negras, Guatemala. Una meta del proyecto es hacer más reconocimiento en estos terrenos para entender el patrón de asentamiento en el lado Mexicano del Usumacinta cerca de Piedras Negras.

Durante la temporada de 2016, tuvimos la oportunidad de conocer algunos rasgos culturales en Margarita Masa de Juárez, al noroeste de la comunidad actual. Investigamos la parcela de Salvador Méndez Arcos, un ejidatario de Margaritas. Con su permiso, marcamos los rasgos naturales con GPS e hicimos un croquis de su parcela. Por no tener nombre, pusimos el nombre del sitio como El Salvador, el mismo nombre del dueño (Figura 5.12).

El Salvador está ubicado en una zona deforestada de potrero y agricultura. La mayoría de las parcelas actualmente están cubiertas de pasto. Varios montículos están visibles en el paisaje encima de los cerros bajos. El Salvador está ubicado en uno de estos cerros bajos. El sitio consiste en cuatro montículos orientados a 60° (Figura 5.13). Tres de estos montículos forman una línea de suroeste hasta nordeste encima de una terraza de la misma orientación. Al norte hay un rasgo más grande que es difícil determinar si es natural o cultural. Por la evidencia de piedra suelta parecer ser un montículo o por lo menos una plataforma encima de un cerro natural. Este cerro tiene una altura de 3 m, mientras el montículo más grande al sur tiene una

altura de 1.5 m (Figuras 5.14-5.17). Al oeste del montículo de una altura de 1.5 m, encontramos evidencia de pedernal y algunos tiestos de cerámica. El único fragmento de cerámica diagnóstico era parte del borde de un cajete policromo. Aunque el fragmento fue bien quemado, quedó engobe Petén lustroso. Donde no había engobe, pareció que fue erosionado en formas no naturales, incluyendo círculos. Por eso, parece que esas partes fueran pintadas en resiste, y probablemente representa un ejemplo del tipo Santa Rosa de la fase Yaxche (620-750 d.C.).

El dueño Salvador Méndez Arcos tiene mucho interés en investigar su parcela, y los montículos están en buena condición sin evidencia de saqueo. Aunque representan un sitio pequeño, forman parte de un paisaje grande de plataformas habitacionales. También su posición 4.5 km de Piedras Negras significa que es el sitio más cercano documentado en el lado Mexicano. La evidencia de cerámica policroma en la superficie sugiere que hay bastante material para analizar en mejor condición bajo la superficie.

Cueva de las Ollas

Con el permiso de Clemente Álvarez Gómez, un ejidatario de Margarita Masa de Juárez, investigamos su parcela 2 km al suroeste del poblado actual (Figura 5.18). En su parcela hay dos cuevas que todavía tienen artefactos y ofrendas en sus posiciones originales (Figura 5.19). Durante el recorrido, encontramos una de esas cuevas, pero no pudimos encontrar la otra. También hicimos un recorrido arqueológico para otros rasgos culturales, pero no encontramos asentamientos o grupos arquitectónicos.

La Cueva de las Ollas se encuentra en una serie de cerros que marca la frontera actual con La Selva y Margaritas. La cueva está ubicada en una quebrada entre dos cerros, 30 m debajo de la cima. La entrada a la cueva mide 2 m de largo y 60 cm de alto y adentro hay un espacio de 3 m de largo y un metro de ancho (Figura 5.20). Adentro de la cueva, al lado sureste del espacio hay cuatro ollas casi enteras y varios otros fragmentos (Figura 5.21). Debajo de la entrada hay un fragmento del cuello de otra olla. Las ollas tienen la forma de olla de cuello largo (sub-clase 3.8 en Jiménez Álvarez 2015) con los cuerpos estriados. Dos de las ollas parecen ser ritualmente acabadas con huecos pequeños en los lados de sus cuerpos. Según Clemente Álvarez Gómez, un ejidatario trató de mover una de las ollas, pero no pudo quitarla de la entrada a la cueva. Después de un sueño, decidió regresar la olla a su lugar original.

Esta cueva está importante por ser una de las únicas cuevas en la región con sus ofrendas

intactas. La única otra probablemente es la cueva en el rancho El Esfuerzo, Nueva Esperanza Progresista, el terreno de Juan González. La diferencia es que en El Esfuerzo, la cueva está asociada directamente con rasgos arquitectónicos. En Margaritas, la Cueva de las Ollas no parece ser cerca a sitios arqueológicos. El sitio documentado más cerca es El Infiernito, 1.5 km al oeste. En el futuro hay que buscar la otra cueva en la parcela de Clemente Álvarez Gómez para entender mejor esta zona (Figura 5.22).

Río Osumacinta

Este ejido está accesible por el camino 10 km de Nueva Esperanza Progresista hasta la cascada Busiljá. El poblado actual es pequeño, con más o menos veinte casas (Figuras 5.23-5.24). En el medio del poblado actual hay una plaza o cancha grande con tres plataformas habitacionales bajas. Estas plataformas probablemente fueron más altas en el pasado. Sin embargo, el sitio arqueológico Río Osumacinta era bastante pequeña, con una función principalmente habitacional (Figura 5.25-5.26).

La plataforma más grande está ubicada al lado nordeste del sitio y actualmente está bisecado por un camino. La plataforma parece ser el basamento de una estructura más grande, pero hoy en día hay un solar encima de la mitad más grande de la plataforma. En total, la plataforma mide aproximadamente 10 metros en su lado suroeste y mide entre 60 y 100 cm de altura. La orientación del montículo es más o menos 30° azimut, el mismo que las otras estructuras (Figuras 5.27-5.29).

Al suroeste hay otro montículo más pequeño, 3 m de largo con una altura de 60 cm. Hay mucha concha evidente en la superficie pero no había cerámica. Al sur, hay una tercera plataforma, de rango que mide 10 m de largo, también de 60 cm de alto. No hay otras plataformas obvias en la cancha, pero seguramente debería de haber más debajo de los solares y en el monte. Según un ejidatario de Osumacinta, hay un sitio más grande de por lo menos seis montículos en el monte al suroeste, pero el dueño no estaba en casa. En temporadas futuras, sería bueno regresar para hablar con el dueño y hacer más reconocimiento.

El Panteón

Por el camino al ejido Río Osumacinta hay un solo montículo grande bien conocido localmente como El Panteón (Figura 5.30). Este montículo está ubicado directamente al lado

este del camino antes de entrar al poblado. El montículo tiene una altura de aproximadamente 3 m y tiene evidencia de un pozo de saqueo en la cima. Sin embargo, el montículo está en buena condición. Hicimos poco reconocimiento local en la zona inmediata pero no hubo evidencia de otras estructuras. Es posible que el sitio consiste solamente en un montículo monumental (hay varios ejemplos en la región), pero la zona requiere más reconocimiento para establecer el tamaño del sitio. Ubicado solo 280 m al sureste de Río Osumacinta, El Panteón también puede ser relacionado con las plataformas habitacionales descritas allí.

Rancho Guillermo Fonseca/Cascada Busiljá

Viajando 2 km al sur por el camino entre Río Osumacinta y Nueva Esperanza, hay más montículos al lado del camino. Este lugar no tiene nombre pero forma parte del terreno de Guillermo Fonseca que extiende hasta la cascada Busiljá. Solo documentamos dos montículos, el más grande que está bisecado por el camino. Este montículo es similar a El Panteón en su tamaño y construcción. Aunque los informantes locales solo conocían este montículo, caminamos por el monte un poco y documentamos otra plataforma larga 20 m al suroeste. La distancia entre estos montículos y la cascada Busiljá es casi 2 km, entonces el terreno está bien grande. Seguramente, debería haber rasgos culturales en esta zona cerca de un rasgo natural tan importante como la cascada. Con la buena relación entre el proyecto y la familia Fonseca, un proyecto importante para el futuro sería una prospección arqueológica sistemática de este terreno.

Santa Marta

Como empezamos esta temporada en abril, muchos dueños locales estaban quemando sus terrenos para preparar para sembrar. Denis Reyes, el hijo del dueño Andrés Reyes, nos llevó al rancho Santa Marta después de quemar para documentar la condición del sitio. Durante la temporada de 2015, empezamos el levantamiento del sitio con el plan de regresar en otros años (Figura 5.31). La visita a Santa Marta era interesante por dos razones: 1) identificamos más arquitectura baja que antes fue cubierto por pasto alto, y 2) conocimos arquitectura interior encima de montículos antes documentados, especialmente en la estructura B3-1 (Figuras 5.32-5.38).

La arquitectura baja está ubicada 200 m al sur del epicentro del sitio (la estructura C3-1)

(Figuras 5.39-5.41). En esta zona hay dos plataformas de alturas de 10 cm de altura que forman un pasillo entre ellos. Aunque estas estructuras están bajas, la construcción es formal y la orientación parece formar espacio importante. La existencia de estas plataformas bajas tiene implicaciones para otros sitios en la región. Posiblemente hay muchas plataformas invisibles en la zona, en áreas forestadas y deforestadas que no están visibles bajo la vegetación. Por eso, investigando sitios durante temporadas secas es recomendable en el futuro. En esta zona también encontramos fragmentos de cerámica que representan cazuelas con borde doblada, posiblemente Yaxche Tardío (700-750 d.C.) o Chacalhaaz Temprano (750-800 d.C.).

Encima de la estructura B3-1, documentamos varios espacios divididos por muros que antes no fueron visibles. La estructura B3-1 es monumental, midiendo 10 x 20 m con una altura de 3 m. Al lado noroeste de la estructura hay un patio hundido 5 m de largo encima de la plataforma. Es posible que la estructura B3-1 fuera una residencia elite con varios cuartos. Esperamos investigar esta posibilidad con excavaciones en el futuro.

Conclusiones

El reconocimiento arqueológico en las comunidades de Nueva Esperanza Progresista, Margarita Masa de Juárez, y Río Osumacinta era exitoso por varias razones. En Nueva Esperanza, documentamos sitios habitacionales asociados con Budsilha e identificamos más asentamiento en el sitio importante de Santa Marta. En Río Osumacinta y Margaritas, tuvimos la oportunidad de hacer reconocimiento en áreas anteriormente desconocidas por arqueólogos. En estos dos ejidos queda bastante trabajo para temporadas futuras. Con el permiso de los ejidatarios, los dueños de las parcelas, e INAH esperamos continuar estos trabajos en 2017.



Figura 5.1 Mapa de la región mostrando los sitios investigados y los puntos de GPS (por W. Schroder).



Figura 5.2 Croquis de La Esperanza (por W. Schroder).

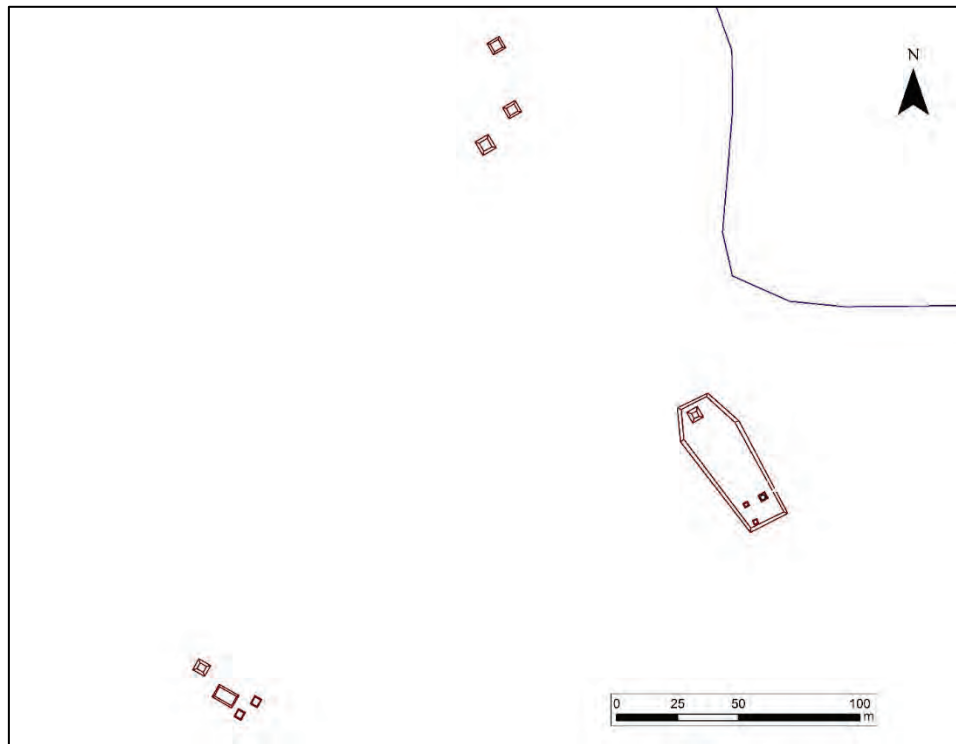


Figura 5.3 Croquis de los tres grupos de La Esperanza (por W. Schroder).



Figura 5.4 Imagen de satélite de La Esperanza (por W. Schroder).



Figura 5.5 Montículo mayor en el Grupo 1 de La Esperanza (foto por W. Schroder).



Figura 5.6 Montículo, Grupo 2 La Esperanza (foto por W. Schroder).



Figura 5.7 Vista de Grupo 3 desde Grupo 2, La Esperanza (foto por W. Schroder).



Figura 5.8 Plataforma, Grupo 2, La Esperanza con vista del grupo principal (derecha) y la estructura D4-1 de Budsilha (izquierda) al fondo (foto por W. Schroder).



Figura 5.9 Grupo de montículos al otro lado del arroyo de Grupo 2, La Esperanza (foto por W. Schroder).



Figura 5.10 Vista de Grupo 2 desde Grupo 3, La Esperanza (foto por W. Schroder).



Figura 5.11 Ejemplo de un hueco o posible cisterna en el Grupo 3, La Esperanza (foto por W. Schroder).



Figura 5.12 Imagen de satélite de los alrededores de El Salvador (por W. Schroder).

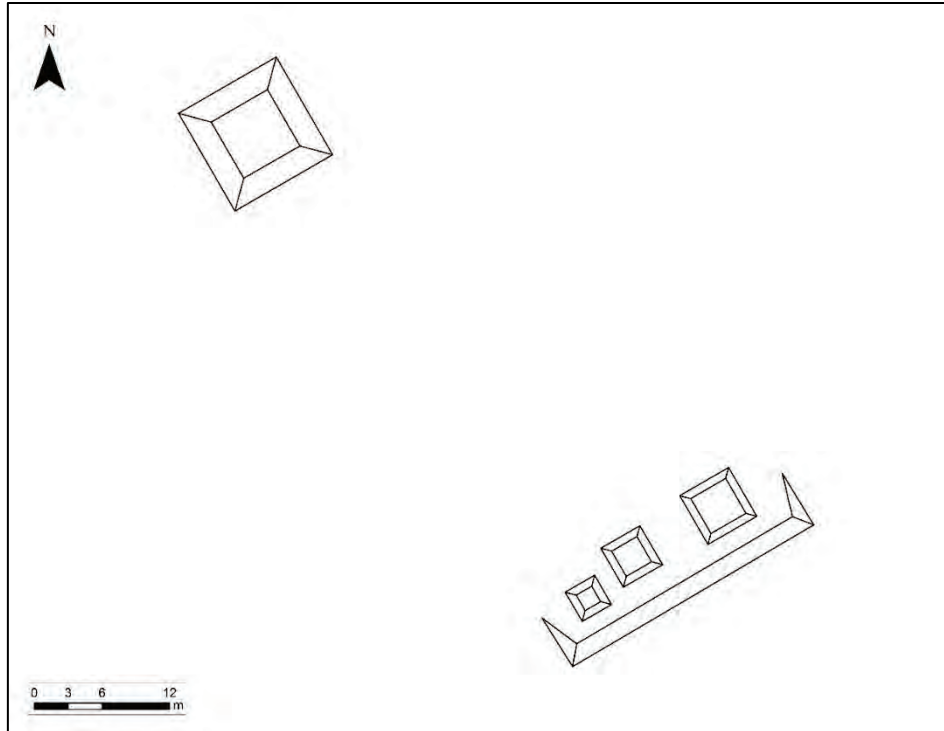


Figura 5.13 Croquis de El Salvador (por W. Schroder).



Figura 5.14 Vista de El Salvador, el cerro con pasto verde al medio de la foto (por W. Schroder).



Figura 5.15 Montículo mayor (o posiblemente cerro modificado), El Salvador (foto por W. Schroder).



Figura 5.16 Plataformas bajas, El Salvador (foto por W. Schroder).



Figura 5.17 Plataformas sobre una terraza, El Salvador (foto por W. Schroder).



Figura 5.18 Subida a la Cueva de las Ollas, Margaritas (foto por W. Schroder).



Figura 5.19 Entrada a la Cueva de las Ollas (foto por W. Schroder).



Figura 5.20 Entrada a la Cueva de las Ollas desde adentro (foto por W. Schroder).



Figura 5.21 Cueva de las Ollas, Margaritas (foto por W. Schroder).



Figura 5.22 Vista desde la Cueva de las Ollas hacia el Río Usumacinta/Cola del Diablo (foto por W. Schroder).



Figura 5.23 Imagen de satélite mostrando la región de Río Osumacinta (por W. Schroder).



Figura 5.24 La comunidad de Osumacinta, mostrando rasgos arqueológicos (por W. Schroder).

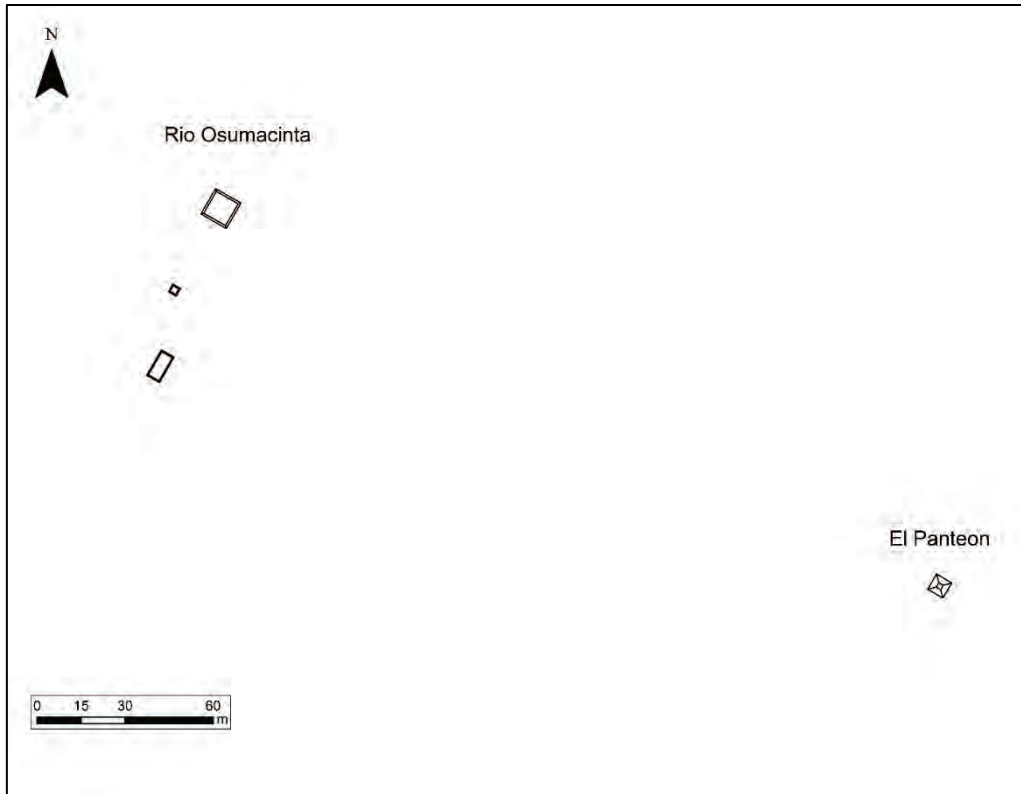


Figura 5.25 Croquis de Río Osumacinta y El Panteon (por W. Schroder).



Figura 5.26 Croquis de Río Osumacinta (por W. Schroder).



Figura 5.27 Plataformas, Río Osumacinta, mirando hasta el norte (foto por W. Schroder).



Figura 5.28 Plataformas, Río Osumacinta, mirando hasta el suroeste (foto por W. Schroder).



Figura 5.29 Plataforma, Río Osumacinta (foto por W. Schroder).



Figura 5.30 Montículo, El Panteón (foto por W. Schroder).

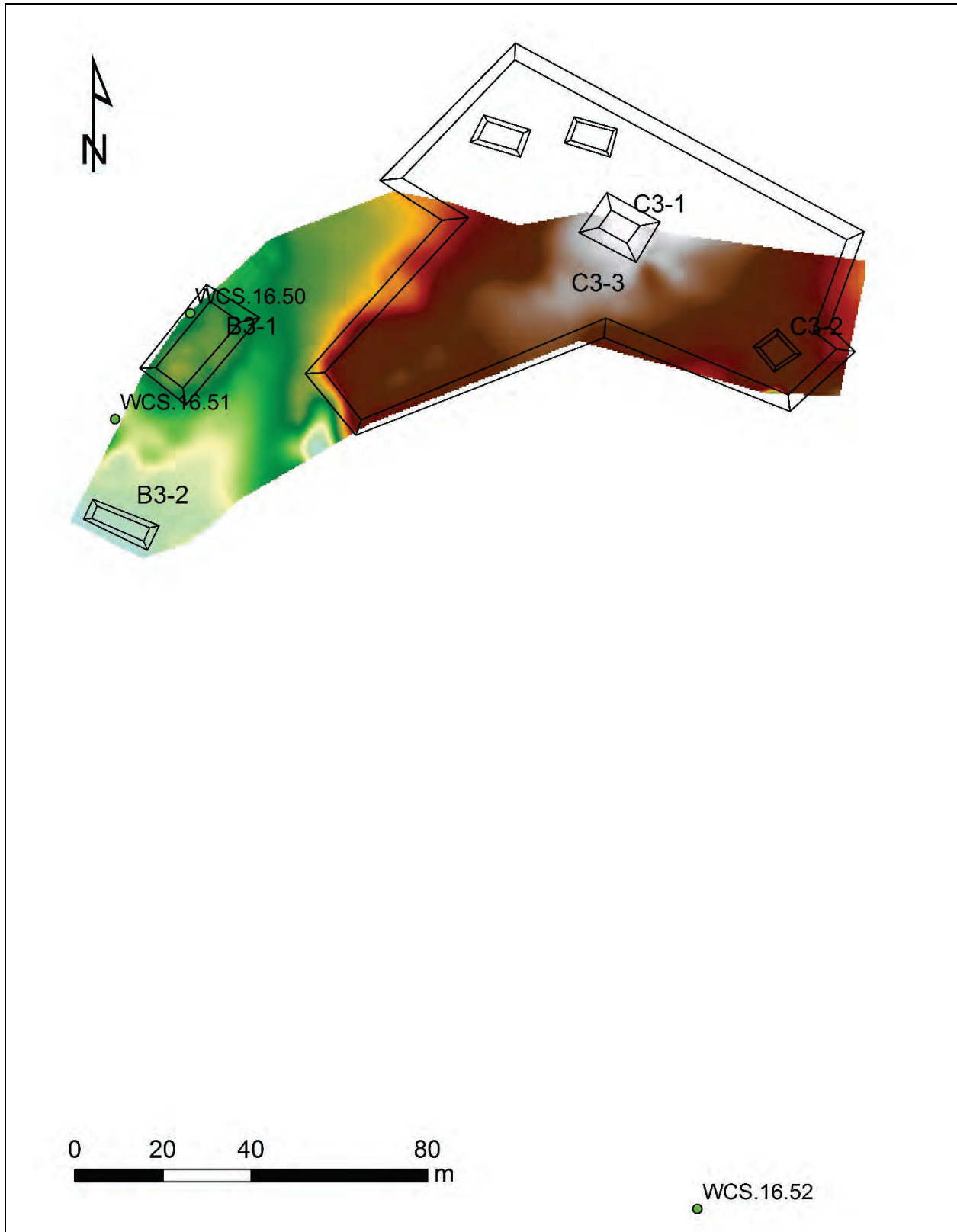


Figura 5.31 Mapa de Santa Marta, 2015 con puntos de GPS de 2016 (por W. Schroder).



Figura 5.32 Estructura B3-1, Santa Marta (foto por W. Schroder).



Figura 5.33 Muro exterior y derrumbe, estructura B3-1, Santa Marta (foto por W. Schroder).



Figura 5.34 Patio hundido encima de la estructura B3-1 (foto por W. Schroder).



Figura 5.35 Muro exterior, estructura B3-1 (foto por W. Schroder).



Figura 5.36 Grupo patio en el terreno adyacente, al norte de la estructura C3-1 (foto por W. Schroder).



Figura 5.37 Vista de la estructura C3-2 desde el sur (foto por W. Schroder).



Figura 5.38 Montículos en los alrededores de Santa Marta (foto por W. Schroder).



Figura 5.39 Plataformas bajas al sur del epicentro de Santa Marta (foto por W. Schroder).



Figura 5.40 Plataformas bajas, Santa Marta (foto por W. Schroder).



Figura 5.41 Plataforma al sur del epicentro de Santa Marta (foto por W. Schroder).

CAPÍTULO 6

CLASIFICACIÓN MÚLTIPLE DE LA CERÁMICA DEL GRUPO PRINCIPAL DE LA SELVA

Whittaker Schroder y Socorro del Pilar Jiménez Álvarez

Fotografías de Whittaker Schroder

Dibujos de Whittaker Schroder, Yesenia Cabrera Tamayo, y Cyndi Medina Pimentel

Lavado, marcado, y asistencia en la clasificación de los materiales: Estudiantes de la FCA-UADY, Santiago Alberto Sobrino Fernández, Jorge Luis Borges Barrientos

Al terminar las actividades de campo de 2016, empezamos el análisis de los materiales de cerámica recuperados durante las excavaciones de 2015 en el sitio arqueológico La Selva, Ocosingo, Chiapas (Figura 6.1). Cabe mencionar que estos materiales fueron transportados del campo al Laboratorio de Cerámica de la Facultad de Ciencias Antropológicas de la Universidad Autónoma de Yucatán con la autorización del Consejo de Arqueología. En esta institución, todos los materiales cerámicos de La Selva fueron lavados y marcados por estudiantes de la Licenciatura de la FCA-UADY y la UNICACH. Este análisis preliminar ocurrió durante los meses noviembre y diciembre de 2016. Los dibujos incluidos en este informe fueron completos en el campo durante la temporada de 2015.

Los objetivos de la clasificación de cerámica se enfocaron en dos objetivos: 1) búsqueda de una cronología básica de los materiales de La Selva y 2) una comparación entre los materiales de La Selva (ante todo en términos de pasta y forma) con las conclusiones en informes anteriores sobre la cerámica de Budsilha y Na Wits. Por la gran cantidad de materiales erosionados, la metodología usada para este análisis es el análisis múltiple que ha sido aplicado para las temporadas de análisis cerámicos anteriores del proyecto: pastas y otros análisis de forma, acabados de superficie, y decoración que resultan en diferentes tipos de cerámica (Culbert y Rands 2007).

Por su parte, se debe mencionar que el análisis de la policromía de La Selva aún no ha sido finalizado. Por el momento, estos materiales únicamente fueron contextualizados como policromía en cada una de las unidades excavadas. Aunque estos materiales fueron fotografiados y algunas observaciones fueron notadas, un análisis completo de decoración

modal queda para informes futuros.

Las excavaciones de La Selva durante la temporada 2015 están descritas en el informe anterior. En general, las excavaciones incluyeron cinco operaciones, de cuales las operaciones 1 y 5 fueron colecciones de superficie y de pozos de saqueo (Figura 6.2). Los pozos de sondeo de las operaciones 2, 3, y 4 tenían los objetivos de 1) entender la cronología del sitio, 2) investigar las actividades en las estructuras, los patios, y áreas afuera del epicentro del sitio, y 3) buscar basureros. Estos pozos, por lo general, midieron 2 x 2 m, aunque se realizaron excavaciones de otras dimensiones menores si ocurría la necesidad de excavar rasgos culturales – mayormente entierros – encontrados en el transcurso de estas investigaciones.

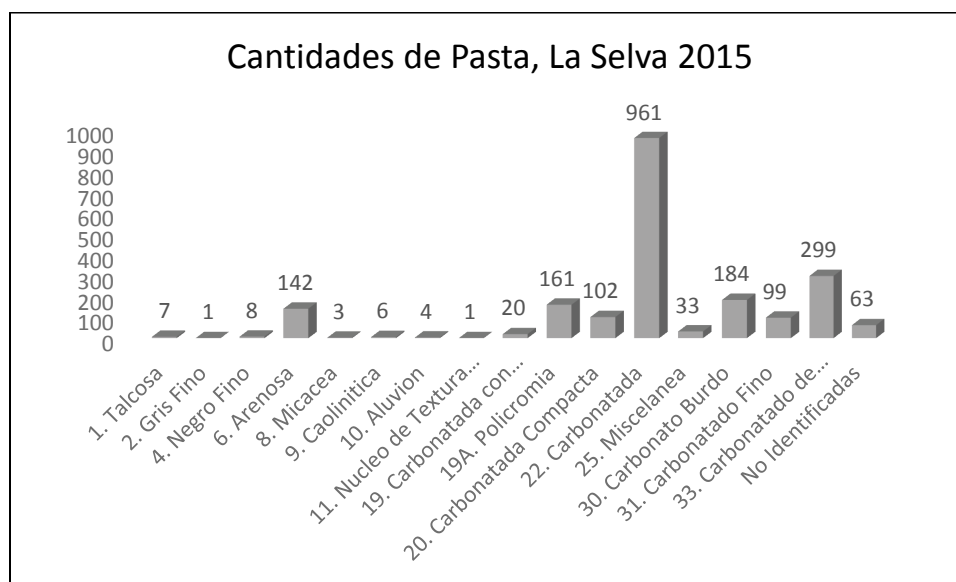
Una de las características más notables del sitio es un pozo de saqueo grande en la estructura principal (C3-1) (Figura 6.3). La Operación 2A consistió en las actividades de limpiar este pozo de saqueo y para investigar los restos de por lo menos tres entierros debajo de la estructura. Al sureste de la estructura C3-1, abrimos la Operación 3 en el patio principal para buscar basureros. En estos pozos, encontramos la mayoría de la cerámica analizada en este informe. La Operación 4 fue ubicada al norte del patio principal en una parte del sitio posiblemente cultural o completamente natural. Esta operación tenía la meta de averiguar la función de este espacio.

Los materiales analizados en las instalaciones del Laboratorio de la Facultad de Ciencias Antropológicas de la Universidad Autónoma de Yucatán incluyeron todos los tiestos recuperados durante la temporada 2015 en las operaciones 1-5 (Figuras 6.4-6.10). Estos materiales analizados suman un total de 2,094 fragmentos con un peso de 21,812.7 gramos.

Tabla 6.1 Lista de Pastas y cantidades de la colección cerámica de La Selva

| Pasta | Frecuencia | Peso (g) | Porcentaje |
|--------------------------------|------------|----------|------------|
| 1. Talcosa | 7 | 27.5 | 0.3% |
| 2. Gris Fino | 1 | 2.4 | 0.0% |
| 3. Anaranjada Fina | | | |
| 4. Negro Fino | 8 | 21.8 | 0.4% |
| 5. Café Fino | | | |
| 6. Arenosa | 142 | 602.2 | 6.8% |
| 8. Micacea | 3 | 60.3 | 0.1% |
| 9. Caolinitica | 6 | 31.4 | 0.3% |
| 10. Aluvion | 4 | 14.0 | 0.2% |
| 11. Nucleo de Textura Jabonosa | 1 | 5.2 | 0.0% |

| | | | |
|--|-------------|----------------|-------|
| 12. De Textura Rasposa | | | |
| 14. Gredosa Crema con Oxidacion Completa | | | |
| 15. Rasposa de Paredes Delgadas con Nucleo Negro | | | |
| 17. Pasta Gredosa Oxidada | | | |
| 18. Arenosa Rojiza Oxidada | | | |
| 19. Carbonatada con Engobe Peten Lustroso | 20 | 181.8 | 1.0% |
| 19A. Policromia | 161 | 1030.1 | 7.7% |
| 20. Carbonatada Compacta | 102 | 2259.9 | 4.9% |
| 21. Arenosa Transicional | | | |
| 22. Carbonatada | 961 | 12199.5 | 45.9% |
| 23. Pomacea | | | |
| 25. Miscelanea | 33 | 206.5 | 1.6% |
| 26. Miscelanea Preclasica | | | |
| 30. Carbonato Burdo | 184 | 3231.2 | 8.8% |
| 31. Carbonatado Fino | 99 | 469.9 | 4.7% |
| 32. Carbonatada Waxy | | | |
| 33. Carbonatado de Paredes Delgadas | 299 | 1265.7 | 14.3% |
| 34. Carbonatada Amarillenta | | | |
| 35. Nucleo Negro | | | |
| 36. Nucleo Negro con Particulas Blancas | | | |
| 37. Conchuela | | | |
| 52. Corcho Porosa Con Carbonatos | | | |
| No Identificadas | 63 | 203.3 | 3.0% |
| TOTAL | 2094 | 21812.7 | |



Operación 2A

Esta operación fue ubicada en el pozo de saqueo en la estructura C3-1 al lado oeste del sitio. Aunque este pozo de saqueo destruyó la mayoría de la estructura, incluyendo la

superestructura posiblemente abovedada y por lo menos tres entierros, tuvimos la oportunidad de examinar una fase constructiva más antiguo del sitio mientras limpiamos el pozo. Este pozo de saqueo mide más de 2 m de profundidad mientras nuestros pozos arqueológicos en la Operación 3 llegaron a un metro de profundidad. La operación consistió en dos pozos de sondeo de 2 x 2 m en la parte más baja del pozo de saqueo. También se dibujó los perfiles noreste y sureste del pozo de sondeo, denominando las fases constructivas con otras unidades y lotes. Sacamos algunos tiestos de cerámica de las unidades LS-2A-4 y LS-2A-6 que también se describen abajo.

LS-2A-1

La Unidad 1 midió 2 x 2 m y fue orientada 30° azimuth, con la estructura C3-1 y el resto del sitio. La unidad fue excavada en tres lotes, el último representando el Entierro 2, que se describe aparte. Recuperamos un total de 218 fragmentos de cerámica con un peso de 2,928.8 gramos (consúltese anexo de Tablas de Pastas).

Una muestra de 71.1% de los fragmentos de los lotes LS-2A-1-1 y LS-2A-1-2 (155 fragmentos, 2,581.7 gramos) ollas de pasta carbonatada de cuello alargado, ollas estriadas, cazuelas con borde doblado hacia el exterior, y ollas de paredes delgadas. Algo interesante de estos ejemplos es que hay una variedad de pastas carbonatadas, algunas bien finas y compactas, quizás mostrando un centro de producción especializado con conexiones a Piedras Negras. De estos ejemplos, solo un 3.2% de fragmentos (5 fragmentos, 39.1 gramos) representan pasta carbonatada (Pasta No. 22), un 40.6% (63 fragmentos, 1,333.4) representan pasta carbonatada compacta (Pasta No. 20), y un 56.1% (87 fragmentos, 1,209.2 gramos) representan pasta carbonatada burda (Pasta No. 30).

Solo un ejemplo con pasta posiblemente no local fue recuperado en estos lotes (1 fragmento, 5.7 gramos), un 0.5%. Este ejemplo fue clasificado como Miscelánea (Pasta No. 25) y posiblemente viene del Bajo Usumacinta. En total la proporción de fragmentos alisados fue 24.3% de la colección (53 fragmentos, 1,306.9 gramos). La pluralidad de fragmentos tenían un acabado de superficie de engobe negro o rojo, normalmente en el interior de ollas y cazuelas, un porcentaje de 46.8% (102 fragmentos, 1,274.8 gramos). Policromía representa un 24.8% de la muestra (54 fragmentos, 329.4 gramos).

Los ejemplos analizados de esta operación representan un cambio dramático del resto

del sitio. En general, las otras operaciones tienen una mayoría de Pasta Carbonatada local con una proporción significativa de pastas no locales (entre 5 y 10%) con policromía representando normalmente menos de 5%. En la operación 2A, todavía hay pastas diversas, pero casi todas son carbonatadas burdas o compactas, que no fueron encontradas en otras operaciones. La cantidad de policromía también está muy alta, representando casi un cuarto de la colección. Las formas de las ollas y cazuelas, también con el estilo de policromía sugieren que hay evidencia de tiestos de la fase Balché (560-620 d.C.) y Yaxche Temprano (620-675 d.C.). La diferencia en esta parte del sitio puede ser explicado por la diferencia en cronología o el contexto asociado con entierros elites, o quizás los dos. Un análisis de tipo variedad de la policromía puede ayudar a explicar estos contextos.

Entierro 2

El Entierro 2 fue ubicado en la esquina norte de la Unidad 1, y fue equivalente al lote LS-2A-1-3. Aunque no se recuperaron restos humanos, fue evidente que hubo un entierro por una cista en forma rectangular, orientada del norte al sur, con el eje largo orientada 150°. La cista midió un metro de largo, con espacio posiblemente para un adulto en estática fetal con su cabeza al norte. Recuperamos un total de 39 fragmentos de cerámica con un peso de 768.6 gramos. Por el contexto desordenado de la unidad, es probable que algunos de los tiestos, especialmente la policromía, en los lotes más altos originalmente eran parte del entierro.

La mayoría de fragmentos, un 61.5%, representan ollas estriadas, cazuelas, y ollas de paredes delgadas de pasta carbonatada (24 fragmentos, 597.1 gramos). De estos ejemplos sigue la diversidad de pastas carbonatadas, incluyendo un 45.8% (11 fragmentos, 367.2 gramos) de fragmentos de carbonato compacto (Pasta No. 20), un 45.8% (11 fragmentos, 176.9 gramos) de fragmentos de pasta carbonatada (Pasta No. 22), y un 8.3% (2 fragmentos, 53.0 gramos) de carbonato burdo (Pasta No. 30).

Materiales no locales eran pocos, un 2.6% de la muestra representaron la forma de olla de paredes delgadas con borde muescada con engobe café (1 fragmento, 1.3 gramos). Un 6.9% de la muestra era alisada (2 fragmentos, 53.0 gramos), mientras las ollas y cazuelas tenían engobes negros, rojos, y bayos interiores. Policromía representa un 33.3% de la colección (13 fragmentos, 167.7 gramos), pero por ser un entierro, la cantidad original probablemente era más alto con platos enteros.

LS-2A-2

La Unidad 2 fue colocada directamente al lado sureste de la Unidad 1, también adentro del pozo de saqueo. La unidad midió 2 x 2 m y tenía la misma orientación de 30° azimut. La unidad fue excavada en tres lotes, el último representando el Entierro 1, que se describe aparte. Recuperamos un total de 128 fragmentos de cerámica con un peso de 2,083.9 gramos (consúltese anexo de Tablas de Pastas).

La mayoría de tiestos, un 61.7%, representaron ollas estriadas, ollas de paredes delgadas, y cazuelas de pastas carbonatadas (79 fragmentos, 1,684.9 gramos). De estos ejemplos, había una variedad de pastas, incluyendo un 17.7% de carbonato compacto (14 fragmentos, 344.9 gramos), un 67.1% de carbonato burdo (53 fragmentos, 1,214.1 gramos), y un 15.2% de pasta carbonatada y carbonato de ollas de paredes delgadas (12 fragmentos, 125.9 gramos).

El único ejemplo de un fragmento de otro tipo de pasta es un cajete con pasta micácea (1 fragmento, 7.7 gramos), un porcentaje de 0.8% de la muestra. Solo un porcentaje de 2.3% representan ejemplos alisados (3 fragmentos, 17.4 gramos), mientras lo demás tienen engobes rojos, negros, cafés, y bayos, normalmente en el interior de ollas y cazuelas. Policromía representa un 26.6% de la unidad (34 fragmentos, 289.8 gramos). Aunque estos ejemplos requieren un análisis de tipo-variedad, hay unos ejemplos interesantes de tipo Mataculebras de la fase Balché (560-620 d.C.).

Entierro 1

El Entierro 1 fue colocado en la esquina norte de la Unidad 2 y la esquina oriental de la Unidad 1. El entierro fue contenido adentro de una cista orientada 120° azimut, con los pies al lado oeste y la cabeza al este. La cista midió 110 x 38 cm. Los restos humanos recuperados incluyeron fragmentos de la tibia y el peroné en el lote LS-2A-2-3 y fragmentos del peroné y el tobillo en el lote LS-2A-1-2. Recuperamos 66 fragmentos de cerámica con un peso de 847.1 gramos.

La mayoría de ejemplos analizados incluyen un 72.7% de ollas estriadas, ollas de paredes delgadas, y cazuelas de pasta carbonatada (48 fragmentos, 733.8 gramos). En esta categoría, un 66.7% de los fragmentos representaron carbonato burdo (32 fragmentos, 501.7 gramos), un 29.2% de los fragmentos representaron carbonato compacto (14 fragmentos, 214.4

gramos), y un 4.2% de los fragmentos (2 fragmentos, 17.7 gramos) representaron pasta carbonatada (Pasta No. 22).

Ningún ejemplo tenía una pasta no local, y ningún fragmento era alisado. Las ollas y cazuelas tenían una variedad de engobes interiores, incluyendo negro, rojo, café, y bayo. Policromía representó un 27.3% de la colección (18 fragmentos, 113.3 gramos). En el futuro, un análisis de tipo-variedad de esos fragmentos sería completado para entender mejor la relación entre los entierros. Pero seguramente, estos ejemplos también representan ejemplos de la fase Balché (560-620 d.C.) o Yaxche Temprano (620-675 d.C.).

LS-2A-4

La Unidad 4 no fue excavada por arqueólogos, pero representa el perfil sureste del pozo de saqueo al sur de la Unidad 2. En esta unidad, hay evidencia de tres pisos en total, dos anteriores debajo de la superestructura de C3-1. Es posible que el piso al fondo era parcialmente destruido en antigüedad para meter por lo menos los entierros 1 y 2. Por esa evidencia, este piso tiene una fecha antes de 675 d.C. y posiblemente antes de 560 d.C. si los entierros eran intrusivos.

El único tiesto recuperado de este perfil viene del lote LS-2A-4-4, que representa el piso y el relleno de la subestructura C3-1 sub 1, el piso arriba del piso más bajo. Este piso probablemente tiene una fecha después de los entierros durante la fase Yaxche (620-750 d.C.). El fragmento es un borde de una cazuela de pasta carbonato burdo (Pasta No. 30) con acabado de superficie alisado (1 fragmento, 56.2 gramos).

LS-2A-6

La Unidad 6 tampoco fue excavada por arqueólogos, y representa el perfil sureste del pozo de saqueo al este de la Unidad 2. En esta unidad también se nota dos niveles de piso con estuco, pero el piso más bajo no existe, probablemente por las actividades de meter los entierros 1 y 2, o quizás por derrumbe más reciente. Por eso, los materiales recuperados de los primeros lotes de las unidades 1 y 2 pueden ser parte de este derrumbe. Durante la limpieza de este perfil, recuperamos fragmentos de cerámica, un total de 11 fragmentos con un peso de 265.1 gramos.

El lote LS-2A-6-3 corresponde al piso y el relleno de la estructura C3-1. Por la calidad de la arquitectura arriba de este piso, parece que era el último piso de construcción, y

posiblemente representa el interior de la estructura. En esta sección del perfil, recuperamos 7 fragmentos de cazuelas con engobe negro interior de pasta carbonato burdo con un peso de 160.5 gramos. También recuperamos 2 fragmentos Misceláneas (Pasta No. 25), posiblemente de pasta aluvión, pero seguramente una pasta fina probablemente de un estilo de Tabasco alrededor del año 800 d.C. La forma también es rara y representa el soporte de un cajete o incensario pequeño. Es posible que estos tiestos representen una fase de construcción muy tarde o quizás una reocupación de la estructura después de la última fase de construcción. La segunda explicación parece explicar mejor la evidencia del resto del sitio de una ocupación entre los siglos VI y VIII d.C.

El lote LS-2A-6-4 corresponde a un piso anterior, el piso de la subestructura C3-1 sub 1, el mismo documentado en LS-2A-4-4. En esta parte del perfil, recuperamos 7 fragmentos de cazuela con engobe interior negro de pasta carbonato burdo (Pasta No. 30) con un peso de 160.5 gramos. También recuperamos un borde de un plato trípode de policromía anaranjado, rojo, y crema, consistente con las muestras de los entierros más abajo. Por eso, es probable que este piso tiene la misma fecha que los entierros 1 y 2, que sugiere que fueron intrusivos al C3-1 sub 2.

En total, un 72.7% de los fragmentos de la Unidad 6 representan cazuelas de pasta carbonato burdo (Pasta No. 30) con engobe interior negro (8 fragmentos, 177.7 gramos). Policromía representa un 9.1% de la muestra (1 fragmento, 63.7 gramos). Finalmente, ejemplos Misceláneas, posiblemente Aluviones de Tabasco, representan 18.2% de la colección (2 fragmentos, 23.7 gramos).

Operación 3A

La sub-operación 3A fue colocada en frente de las estructuras C3-1 y C3-3 en el patio al sureste de la plataforma. El objetivo del pozo fue para buscar un basurero y para establecer la cronología de la construcción del patio principal del sitio. Con estas excavaciones, parece que el patio C3-8 fue construido en una fase. Esta operación también recuperó la muestra más grande de cerámica del sitio.

LS-3A-1

Esta unidad midió 2 x 2 m y fue orientada 30° azimut, la orientación del sitio en general.

La unidad fue excavada en tres lotes. Un total de 1,120 fragmentos fueron recuperados con un peso de 10,314.2 gramos (consúltese anexo de Tablas de Pastas).

Una muestra de 81.0% de los fragmentos recuperados en la Unidad 1 (907 fragmentos, 9,265.4 gramos) representan ollas de pasta carbonatada de cuello alargado, ollas estriadas, y cazuelas con borde doblado hacia el exterior (Pasta No. 22), y ollas de carbonato fino de paredes delgadas alisadas (Pasta No. 31 y No. 33). Varios tiestos están recortados en formas de discos y triángulos o puntos. Una forma común en esta muestra es la olla de paredes delgadas con borde muescada, una forma conocida del área de Palenque durante la fase Murciélagos (700-770 d.C.), pero hecho con pastas locales de carbonato fino en vez de arenosa. Un ejemplo retiene su engobe rojo debajo de la borde. Otros ejemplos de pasta carbonatada con acabado de superficie alisado o decoración inciso de formas de cajete, “beaker,” plato trípode, cuenco, e incensario de pasta carbonatada suman a 22 fragmentos y 247.3 gramos, un porcentaje de 2.0% de la muestra. Policromía representa un 4.2% de los fragmentos (47 fragmentos, 184.4 gramos).

Una gran proporción de fragmentos representan pastas no locales, incluyendo Arenosa, Negro Fino, Talcosa, Aluvi3n, Micácea, y Caolinitica, un porcentaje de 10.7% (120 fragmentos, 518.9 gramos) con formas de cuenco, cajete, plato trípode, “beaker,” olla, y olla de paredes delgadas con borde muescada. Fragmentos alisados representan 80.3% de la colección (899 fragmentos, 9,445.0 gramos), mientras formas de acabado de superficie incluyen varios engobes negros y rojos, impreso de roca, y pulido.

La muestra de la sub-operaci3n 3A recuperó fragmentos de cerámica de pastas diversas. Aunque la mayoría representan pastas locales de carbonato, la gran cantidad de material no local sugiere que durante las fases Otolum/Balche (600-700/560-620 d.C.) y Murciélago/Yaxche (siglo VIII d.C.) importaci3n del norte era común. Varios tiestos diagn3sticos, incluyendo una base anular de los principios de la fase Otolum (600-620 d.C.) establecen la ocupaci3n de esta parte del sitio entre los siglos VII y VIII d.C. Otra observaci3n interesante, que no ocurri3 en Budsilha, es la imitaci3n de formas Palencanas con pastas locales. Mientras la gente de La Selva importaba cerámica del norte, los artesanos locales hicieron copias de las mismas formas en carbonato. Algunos ejemplos de pastas de carbonato de La Selva parecen distintos de ejemplos de Budsilha, en el uso de fragmentos grandes de xute en el temper. Posiblemente esa diferencia en la tecnología de la producci3n de la cerámica de La Selva indica un centro distinto de producci3n. En la sub-operaci3n 3A, también recuperamos

fragmentos de formas de cuenco y olla previamente desconocidas en la región. Estas formas fueron denominadas 1.8 y 1.9 para los cuencos y 3.11 para la olla y agregadas a la nomenclatura de Jiménez Álvarez (2015).

Operación 3B

Esta sub-operación consistió en un pozo abierto en el patio principal (C3-8) del sitio, al este de la sub-operación 3A entre las estructuras C3-4 y C3-7. El objetivo de la sub-operación era encontrar una muestra de cerámica y para entender las fases de construcción del patio. En general, esta sub-operación reveló que el patio probablemente fue construido en una fase y también encontró una escalera en la base de la estructura C3-7.

LS-3B-1

La Unidad 1 midió 2 x 2 m y estuvo orientada al 30° azimut con la pared noroeste de la estructura C3-7. La unidad se constituyó de 5 lotes de excavación. Un total de 484 fragmentos fueron recuperados con un peso de 4,316.7 gramos (consúltese anexo de Tablas de Pastas).

La gran mayoría (372 fragmentos, 3,822.1 gramos) es decir 76.9% de los fragmentos recuperados en los contextos de la sub-operación 3B corresponden a fragmentos de ollas de pasta carbonatada de cuello alargado, estriadas, y cazuelas con borde doblado hacia el exterior (Pasta No. 22) así como a ollas de carbonato fino de paredes delgadas alisadas (Pasta No. 31 y No. 33), y un ejemplo de cazuela de pasta carbonato burdo (Pasta No. 30). Una característica interesante es la gran cantidad de ejemplos recortados. Fragmentos con formas de cajetes trípode, plato trípode, platón, “beaker,” y comal de pasta carbonatada (Pasta No. 22 o Pasta No. 31) con acabados de superficie alisados representan 1.0% de los tiestos (5 fragmentos, 38.6 gramos). Ejemplos policromos fueron hallados en los lotes 1-4 y representan un 2.8% (14 fragmentos con un peso de 63.6 gramos).

Otras pastas representadas en menor cantidad son Arenosa, Caolinitica, Aluvion, Gris Fino, y Núcleo de Textura Jabonosa con formas de cajete, “beaker,” cajete trípode, olla de paredes delgadas, y olla de paredes delgadas con borde muescada, un porcentaje significativo de 8.9% (45 fragmentos, 224.5 gramos). Fragmentos alisados representan un 65.6% (332 fragmentos, 3,463.4 gramos) de la muestra.

Todos los ejemplos diagnósticos seguramente caen en el periodo Clásico Tardío, y

parece que pertenezcan a las fases Yaxche Tardío (650/675-750 d.C.). Es posible que excavando más profundo hubiéramos encontrado ejemplos más tempranos que igualarían con las excavaciones de la sub-operación 2A. Pero según las excavaciones en la sub-operación 3A, hay evidencia de solo una fase de construcción del patio C3-8, que sugiere que las estructuras en esta parte del sitio son más tardías que las primeras fases de construcción de la estructura C3-1. La evidencia de pastas diversas con porcentajes más altas que Budsilha es similar al resto del sitio, sugiriendo importación del norte. Las pastas arenosas posiblemente vinieron de Tabasco y la pasta gris fina probablemente representa el grupo Chablekal que marca la transición a la fase Chacalhaaz temprano (750 d.C.). Un solo ejemplo de este grupo en todo el sitio probablemente significa que no hubo mucha ocupación después del medio del siglo VIII. Además, un tiesto misceláneo con pasta porosa es posiblemente más tardío, pero requiere más análisis.

Operación 4A

Esta sub-operación fue ubicada al norte del epicentro del sitio para buscar evidencia de plataformas habitacionales. Esta parte del sitio parece formar otro patio con plataformas alrededor, pero estas excavaciones revelaron que son cerritos naturales y la evidencia cultural probablemente vino del epicentro arriba por procesos naturales de erosión.

LS-4A-1

La Unidad 1 midió 2 x 2 m y fue colocada al lado de una línea de piedras en la base de un cerrito o posible plataforma. La orientación de la unidad era 40° azimut siguiendo la línea de piedra. El objetivo del pozo era verificar si esta línea de piedra fuera natural o cultural. Esta unidad fue excavada en tres lotes. Los materiales recuperados eran pocos, incluyendo 20 fragmentos de cerámica con un peso de 123.2 gramos (consúltense Tablas de Pasta).

La mayoría de materiales eran bastante erosionados, un porcentaje de 95.0% (19 fragmentos, 117.3 gramos) debido al contexto que era erosión del epicentro más arriba. Un 85% de tiestos representan ollas estriadas y ollas de paredes delgadas de pasta carbonatada (Pasta No. 22 y Pasta No. 33), un total de 17 fragmentos con un peso de 112.5 gramos. Unos ejemplos de pasta arenosa con una forma de olla de paredes delgadas fueron recuperados, un 10.0% de la muestra (2 fragmentos, 4.8 gramos). El único tiesto con acabado de superficie preservado representó un cajete con pasta negro fino con impresión de roca, un porcentaje de 5.0% (1

fragmento, 5.9 gramos).

No hubo tiestos diagnósticos para establecer la cronología, pero realmente esta parte del sitio parece no había sido usado permanente para habitación, por el matriz natural de los suelos. La línea de piedra también era roca madre y no modificada. Entonces, por ahora, La Selva parece ser un sitio pequeño de un patio principal. Sin embargo, hemos hecho poco reconocimiento en terrenos adyacentes, y hay arquitectura grande en el mismo cerro y seguramente este patrón de asentamiento continúa hasta el poblado actual de La Selva. Aunque este pozo recuperó poca cerámica, todavía podemos notar que el porcentaje de pastas no locales era relativamente alta, un 15.0% de la muestra (3 fragmentos, 10.7 gramos).

Operación 5A

La sub-operación 5A no fue descrita en el informe anterior porque fue agregada en el laboratorio para denominar un contexto de la colección de un pozo de saqueo en el terreno adyacente de don Benito Sánchez Gutiérrez. Este pozo de saqueo no aparece en el mapa porque no obtuvimos permiso del dueño para mapear en esta zona. Sin embargo durante los primeros días de investigación, colectamos algunos tiestos de este lugar. El pozo de saqueo está ubicado al oeste de la estructura C3-2 donde termina el mapa de la estación total.

LS-5A-1

Este contexto no representa un pozo arqueológico sino un pozo de saqueo. En la superficie de este pozo de saqueo había unos tiestos de cerámica que colectamos para tener información acerca de la cronología de este pozo de saqueo. Por ser solo colecciones de superficie, los materiales fueron pocos, un total de 7 fragmentos con un peso de 108.9 gramos (consúltese Tablas de Pasta).

Todos los ejemplos recuperados representaron ollas estriadas, cazuelas, y ollas de paredes delgadas de pasta carbonatada (Pasta No. 22 y Pasta No. 33). La mayoría de los fragmentos eran alisados (5 fragmentos, 53.4 gramos), un porcentaje de 71.4%. El resto de la muestra consistió en ollas estriadas con engobe rojo interior, un porcentaje de 28.6% (2 fragmentos, 55.5 gramos).

Dos ejemplos de esta colección de superficie son fragmentos de borde de ollas estriadas. Sus formas representan estilos seguramente Clásico Tardío, y probablemente de la fase Yaxche

(620-750 d.C.). Entonces los materiales de este pozo de saqueo son más tardíos que los fragmentos de cerámica de la sub-operación 2A, por ser colectados de un pozo menos profundo. Con más excavación controlada, es posible que haya más evidencia temprana debajo, pero sin permiso del dueño no es posible examinar esta posibilidad.

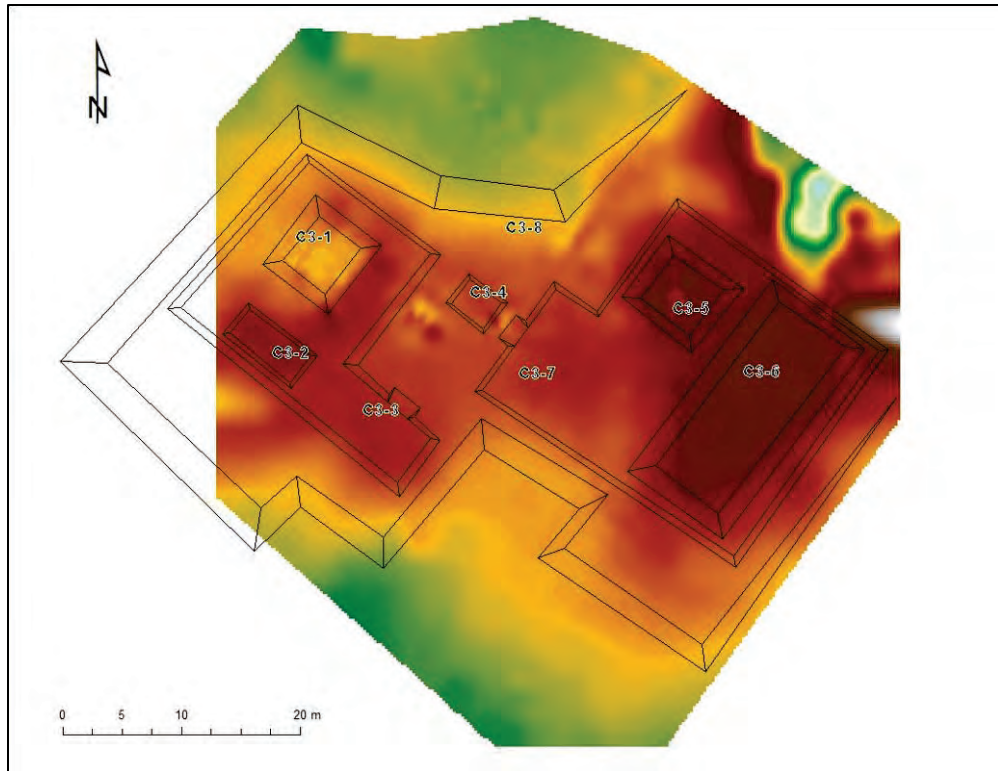


Figura 6.1 Mapa de La Selva, 2015 (por W. Schroder).

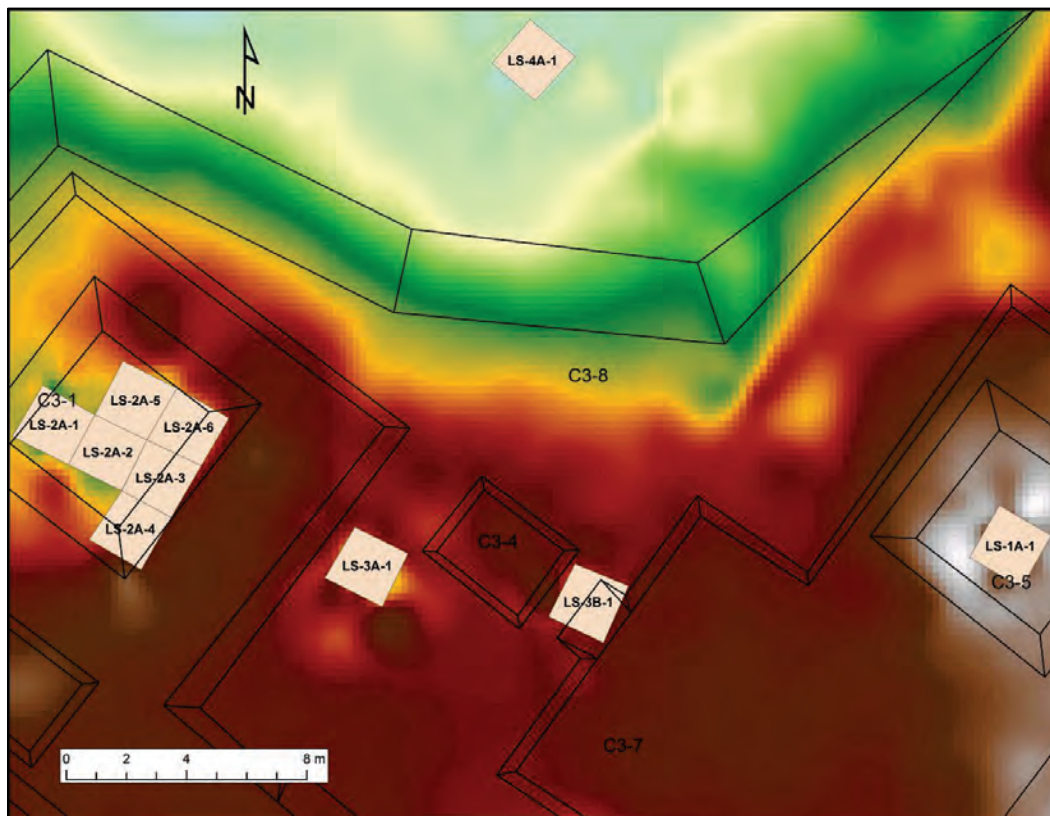


Figura 6.2 Mapa de los contextos de excavación, 2015.

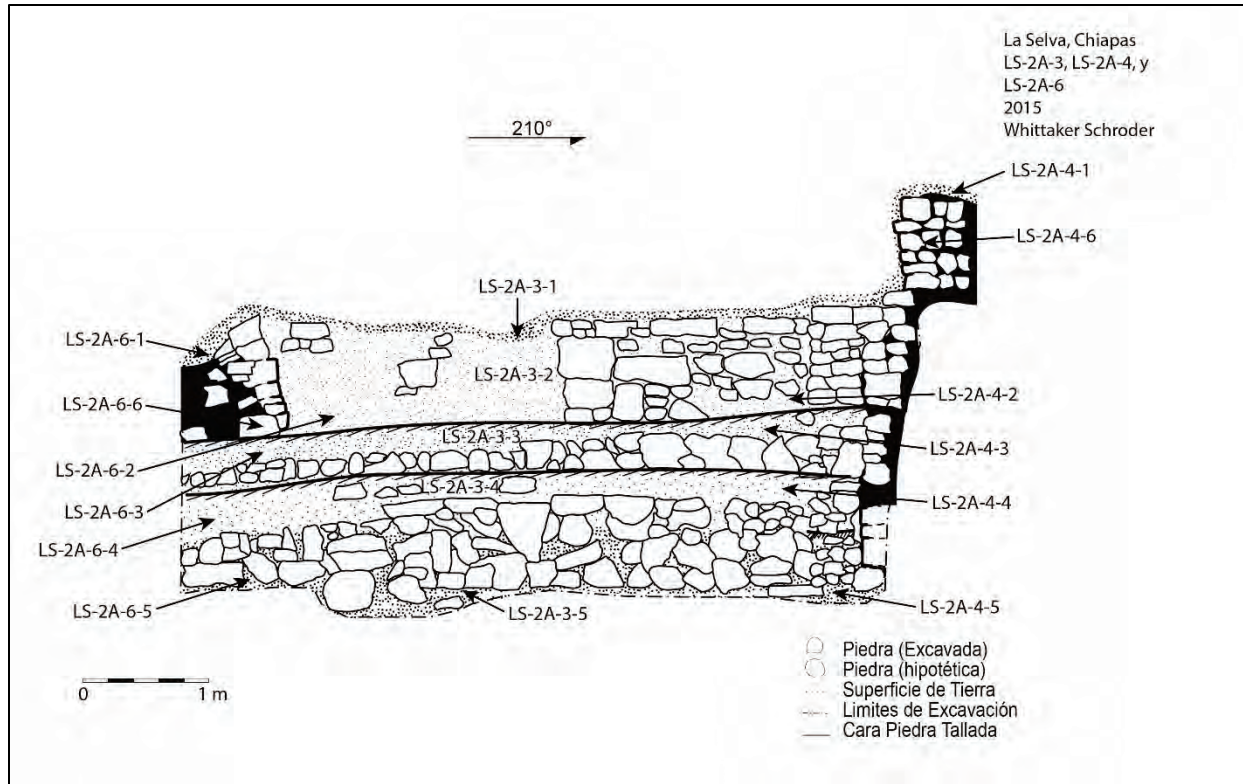


Figura 6.3 Perfil sureste del pozo de saqueo en estructura C3-1 (por W. Schroder).

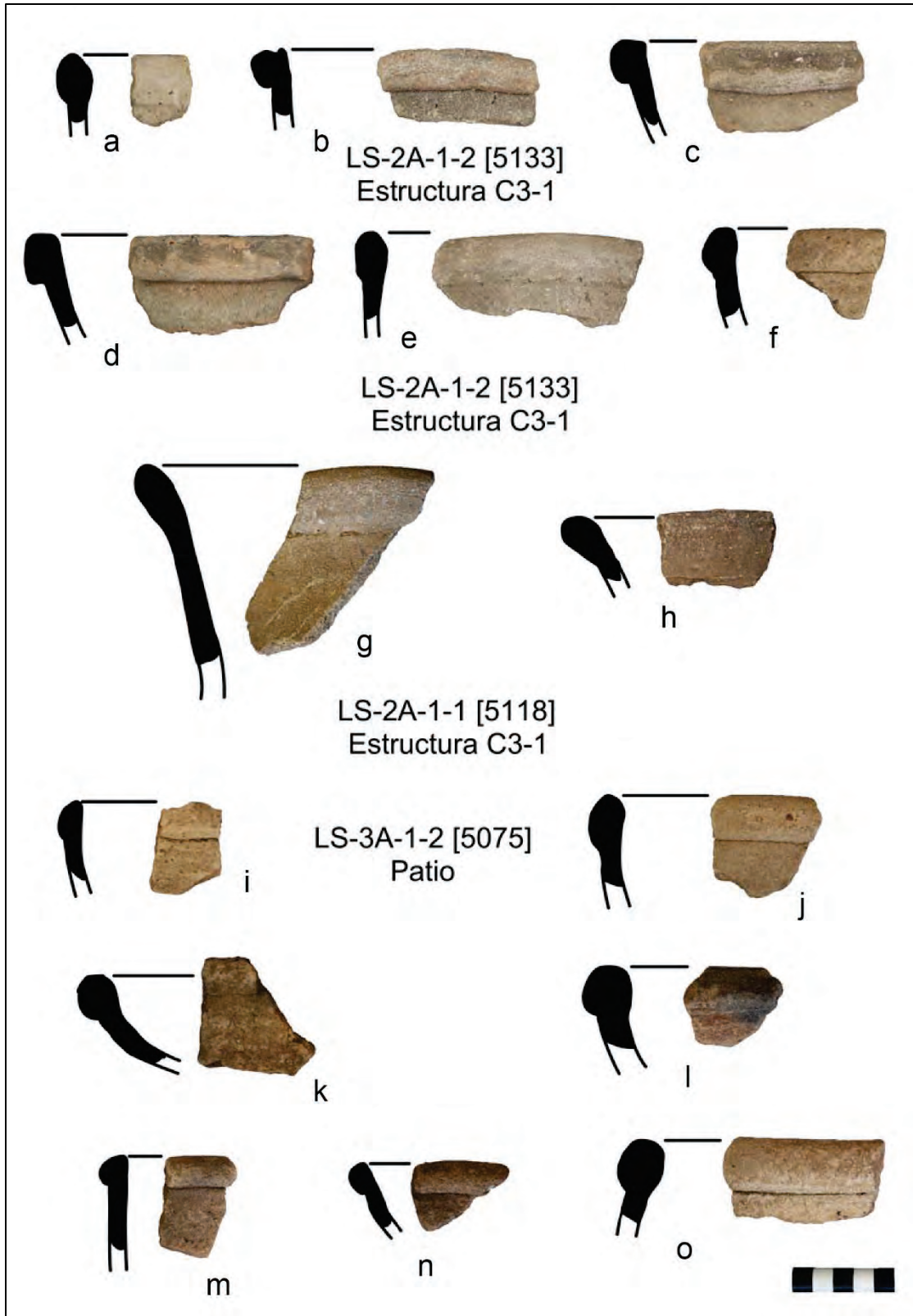


Figura 6.4 Colección cerámica de La Selva, temporada de excavación 2015 (análisis 2016).

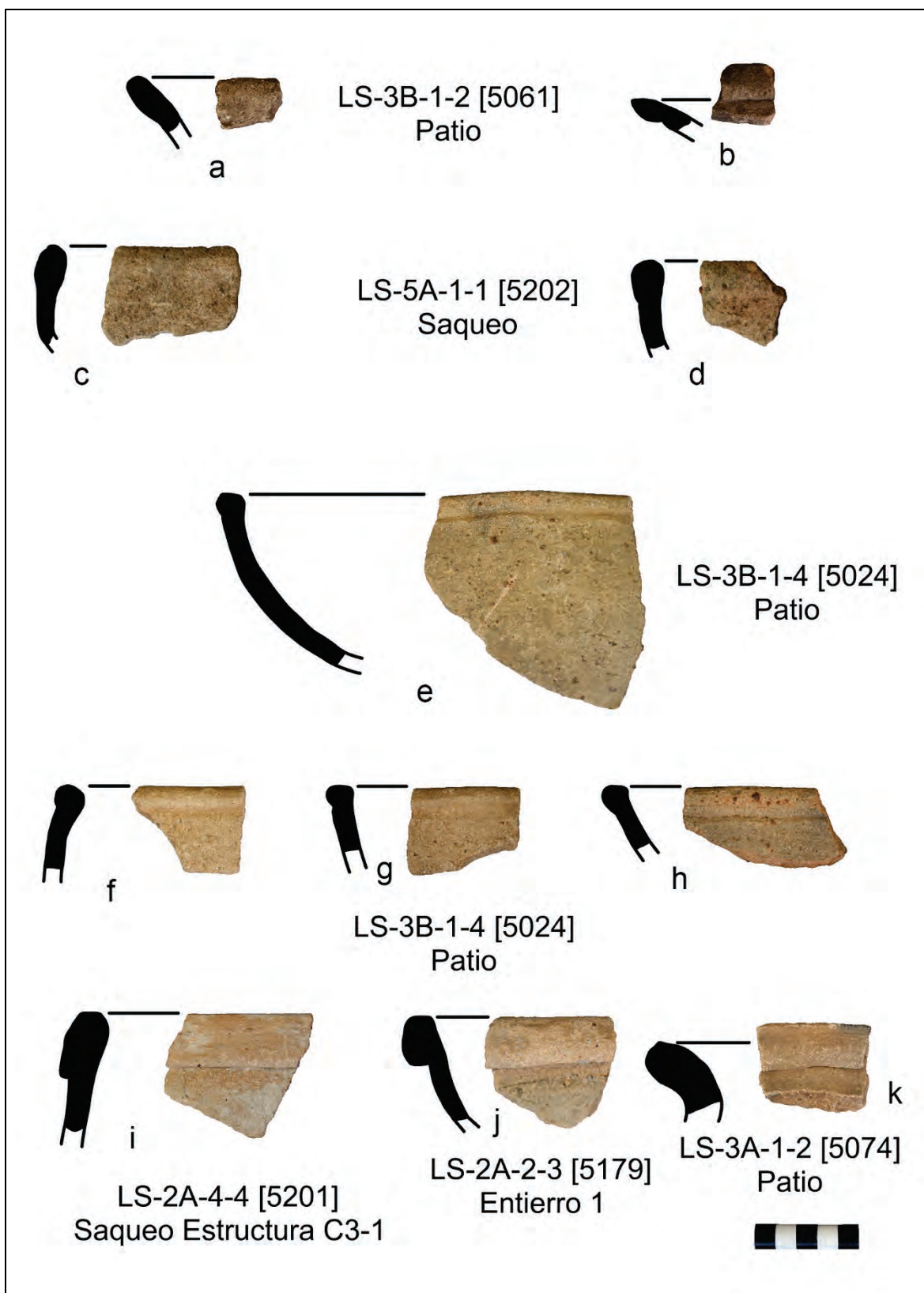


Figura 6.5 Colección de cerámica La Selva, temporada de excavación 2015 (análisis 2016).

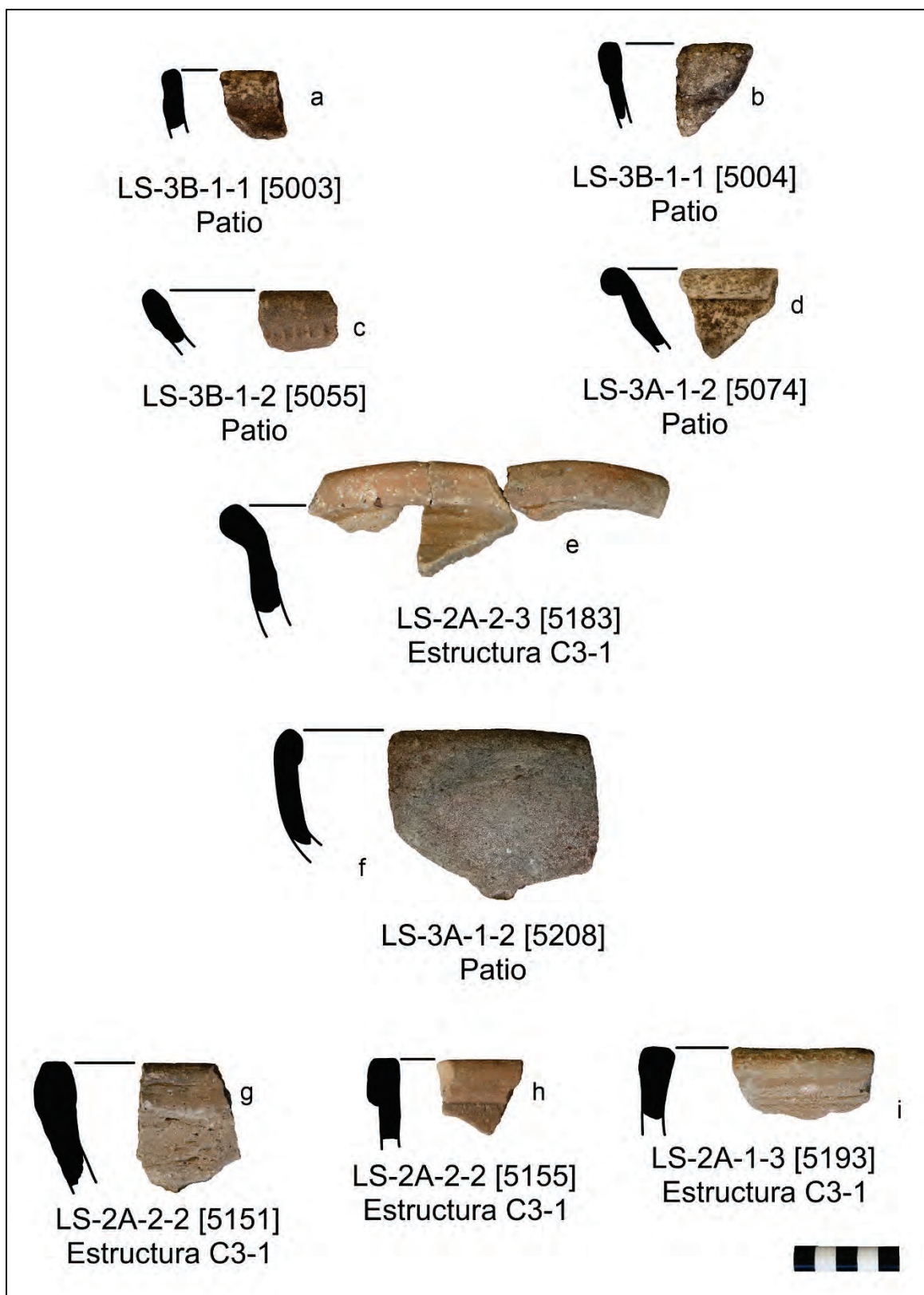


Figura 6.6 Colección de cerámica La Selva, temporada de excavación 2015 (análisis 2016).

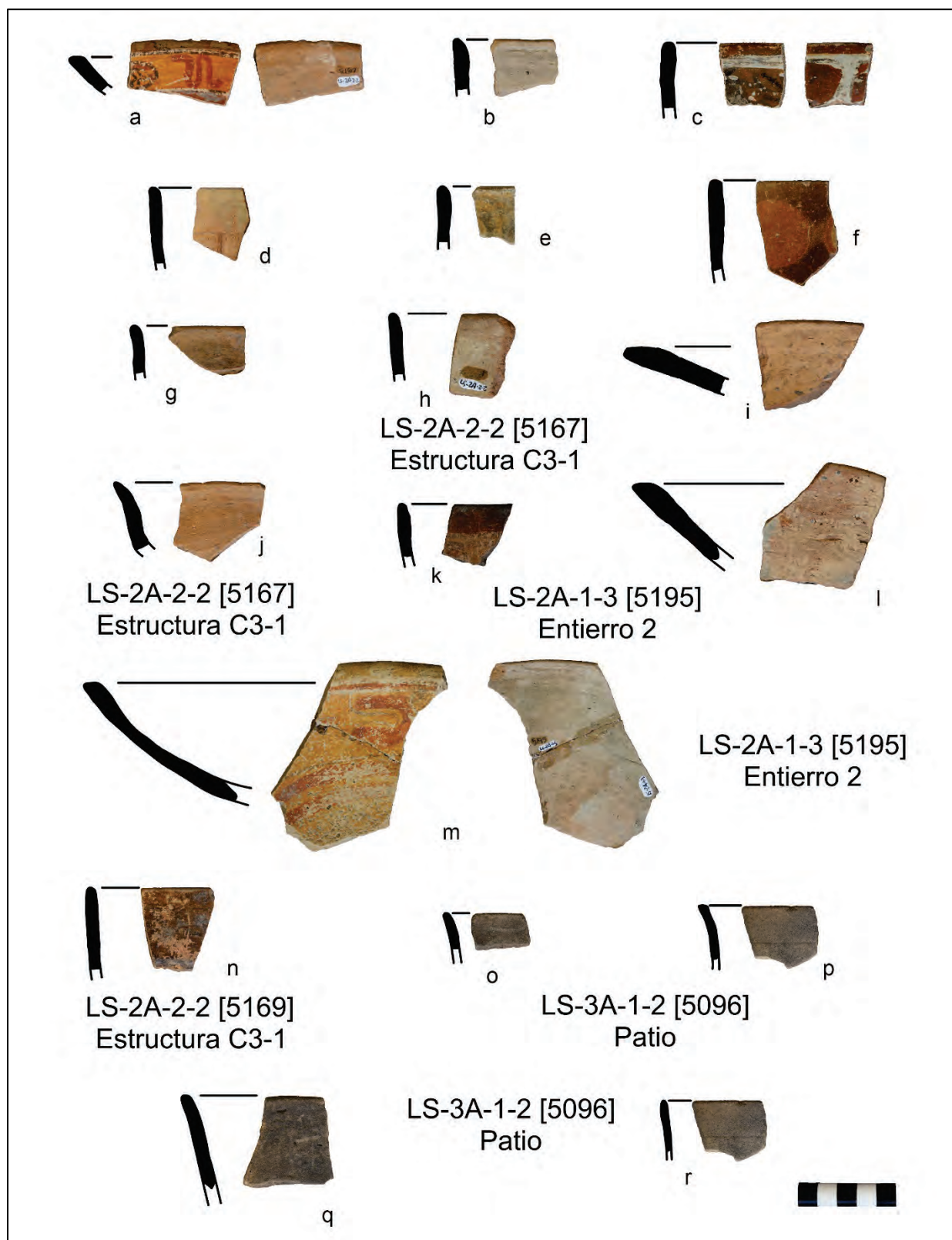


Figura 6.7 Colección de cerámica La Selva, temporada de excavación 2015 (análisis 2016).

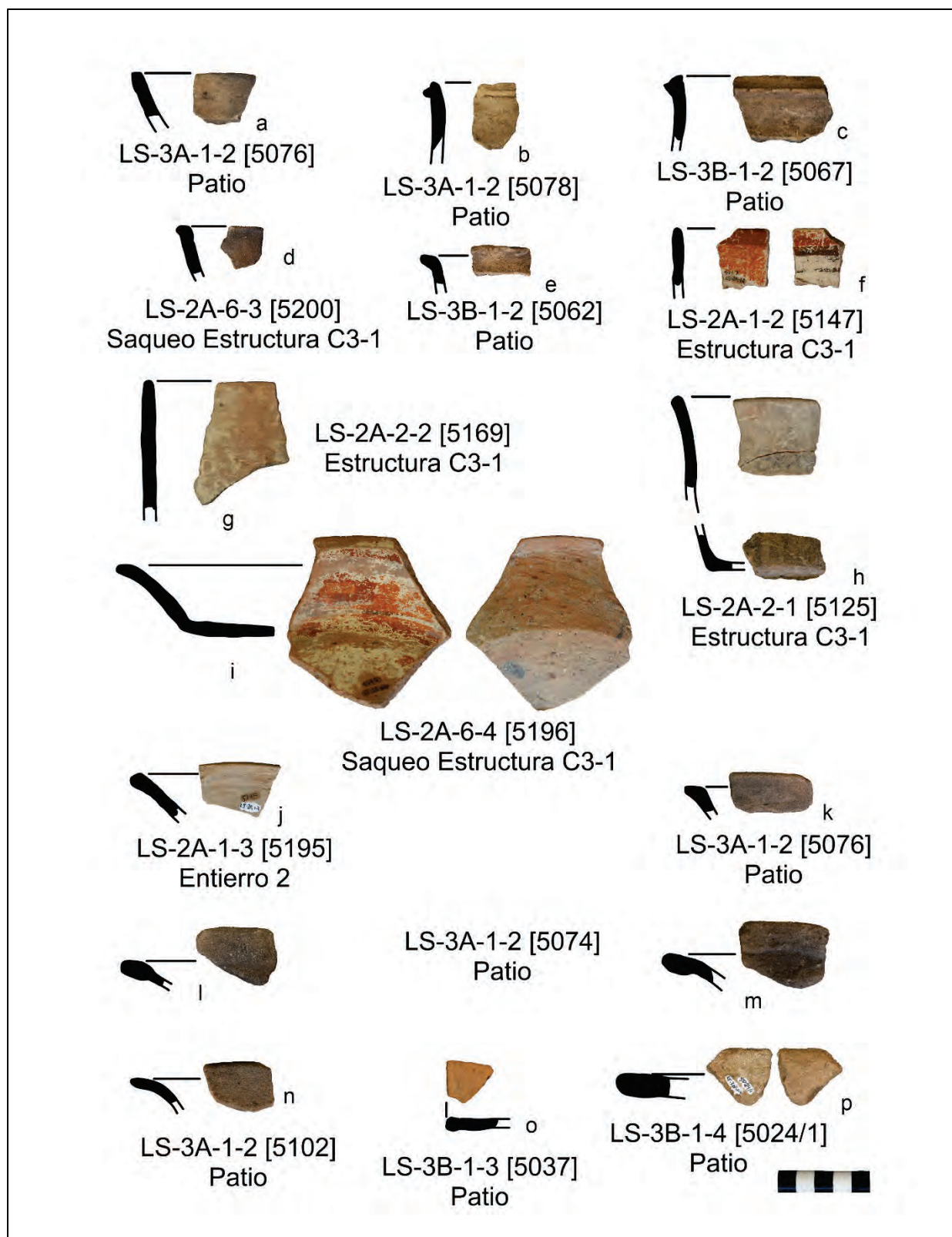


Figura 6.8 Colección de cerámica La Selva, temporada de excavación 2015 (análisis 2016).

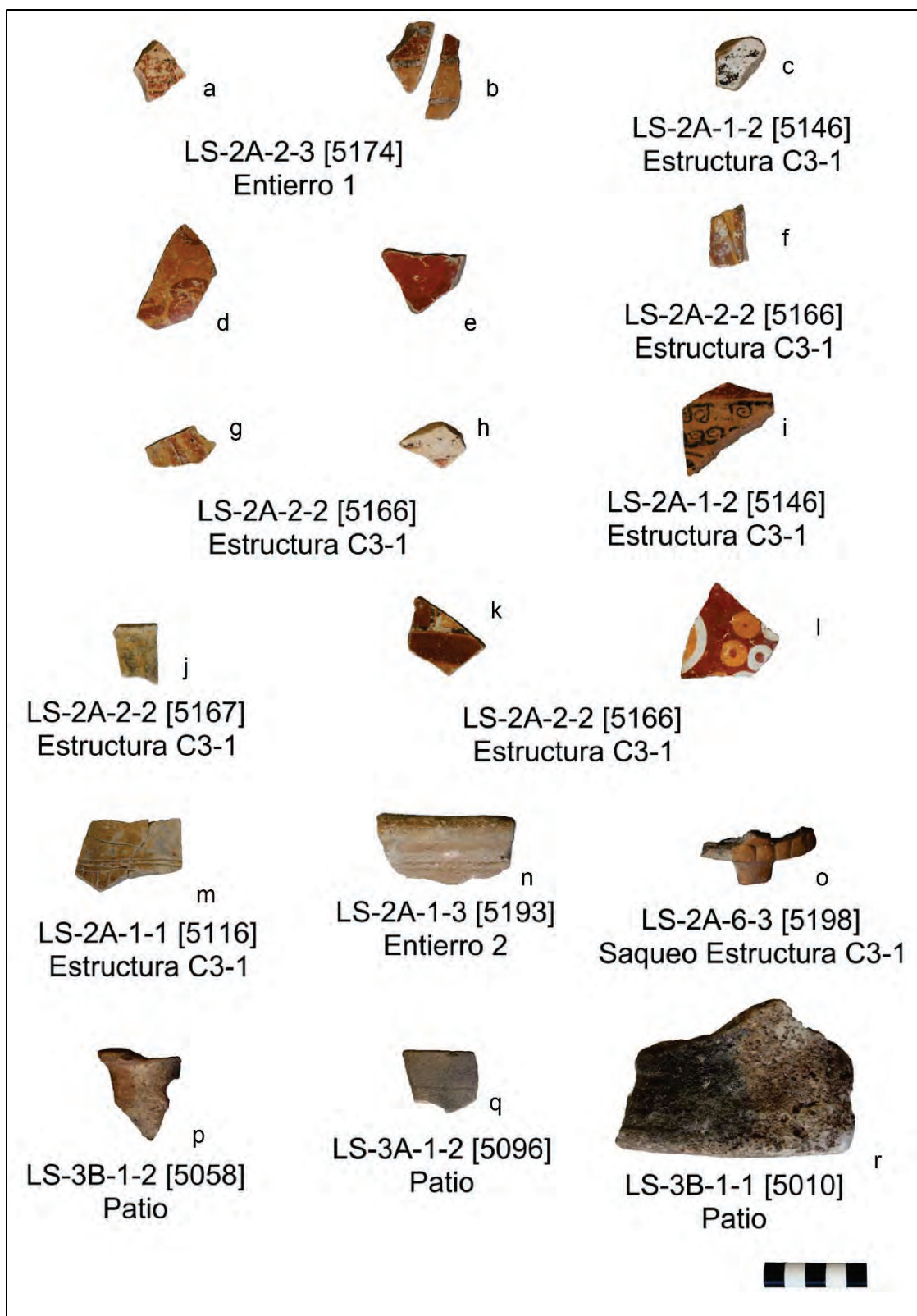


Figura 6.9 Colección de cerámica La Selva, temporada de excavación 2015 (análisis 2016).

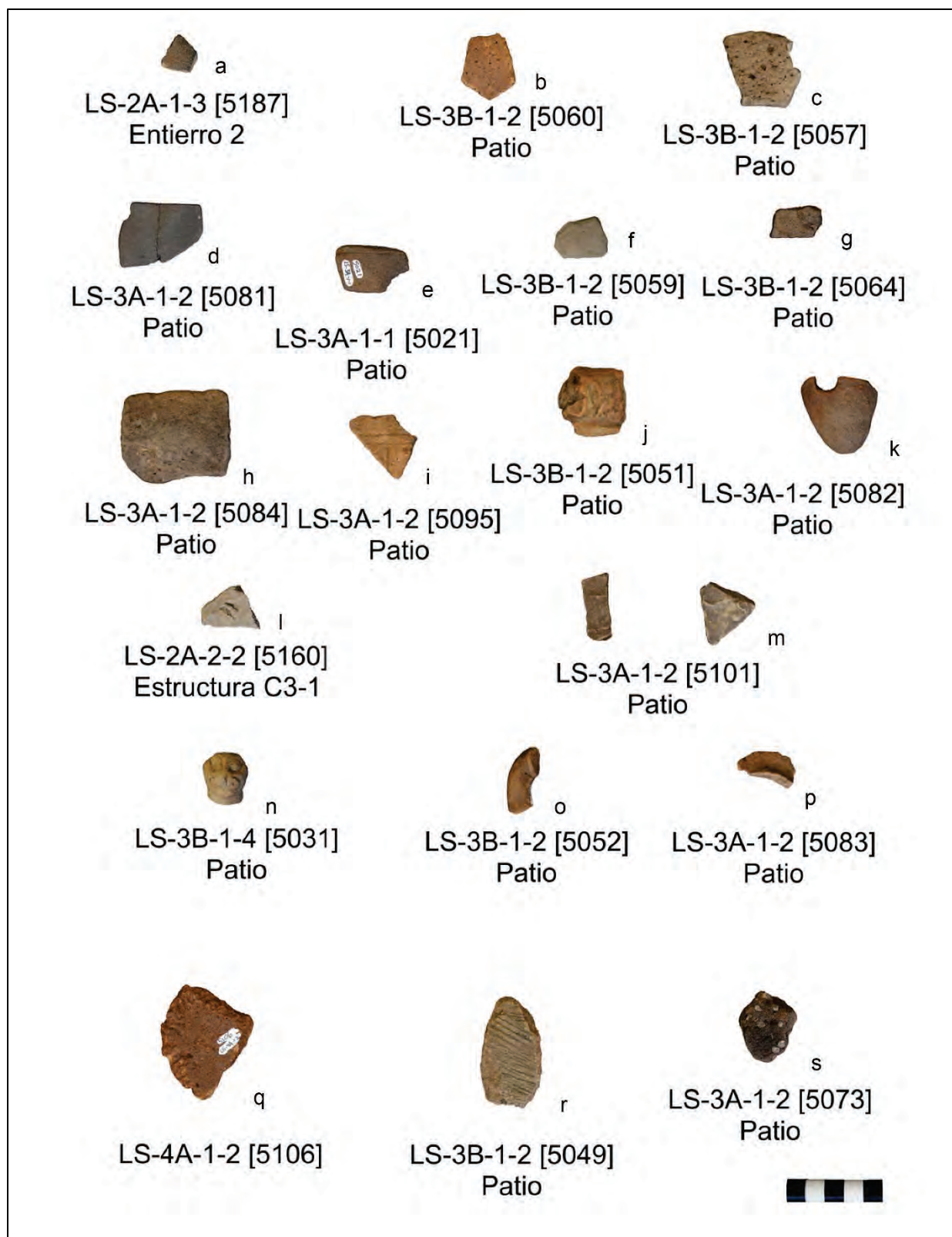


Figura 6.10 Colección de cerámica La Selva, temporada de excavación 2015 (análisis 2016).

Lista de Figuras del Análisis Cerámico de La Selva, 2015

Figura 6.4

- 4a. Fragmento de cazuela, pasta Carbonatada Compacta (pasta No. 20).
- 4b. Fragmento de cazuela, pasta Carbonatada Compacta (pasta No. 20).
- 4c. Fragmento de cazuela, pasta Carbonatada Compacta (pasta No. 20).
- 4d. Fragmento de cazuela, pasta Carbonatada Compacta (pasta No. 20).
- 4e. Fragmento de cazuela, pasta Carbonatada Compacta (pasta No. 20).
- 4f. Fragmento de cazuela, pasta Carbonatada Compacta (pasta No. 20).
- 4g. Fragmento de olla, pasta Carbonato Burdo (pasta No. 30).
- 4h. Fragmento de olla, pasta Carbonato Burdo (pasta No. 30).
- 4i. Fragmento de cazuela, pasta Carbonatada (pasta No. 22).
- 4j. Fragmento de cazuela, pasta Carbonatada (pasta No. 22).
- 4k. Fragmento de cazuela, pasta Carbonatada (pasta No. 22).
- 4l. Fragmento de cazuela, pasta Carbonatada (pasta No. 22).
- 4m. Fragmento de cazuela, pasta Carbonatada (pasta No. 22).
- 4n. Fragmento de cazuela, pasta Carbonatada (pasta No. 22).
- 4o. Fragmento de cazuela, pasta Carbonatada (pasta No. 22).

Figura 6.5

- 5a. Fragmento de olla, pasta Carbonatada (pasta No. 22).
- 5b. Fragmento de olla, pasta Carbonatada (pasta No. 22).
- 5c. Fragmento de olla, pasta Carbonatada (pasta No. 22).
- 5d. Fragmento de olla, pasta Carbonatada (pasta No. 22).
- 5e. Fragmento de cazuela, pasta Carbonatada (pasta No. 22).
- 5f. Fragmento de cazuela, pasta Carbonatada (pasta No. 22).
- 5g. Fragmento de cazuela, pasta Carbonatada (pasta No. 22).
- 5h. Fragmento de cazuela, pasta Carbonatada (pasta No. 22).
- 5i. Fragmento de cazuela, pasta Carbonato Burdo (pasta No. 30).
- 5j. Fragmento de cazuela, pasta Carbonatada Compacta (pasta No. 20).
- 5k. Fragmento de olla, pasta Carbonatada (pasta No. 22).

Figura 6.6

- 6a. Fragmento de olla, pasta Carbonatada (pasta No. 22).
- 6b. Fragmento de cazuela, pasta Carbonatada (pasta No. 22).
- 6c. Fragmento de cazuela, pasta Carbonatada (pasta No. 22).
- 6d. Fragmento de olla, pasta Carbonatada (pasta No. 22).
- 6e. Fragmento de olla, pasta Carbonato Burdo (pasta No. 30).
- 6f. Fragmento de cuenco, pasta Carbonatada (pasta No. 22), nueva forma (sub-clase 1.9).
- 6g. Fragmento de cazuela, pasta Carbonato Burdo (pasta No. 30).
- 6h. Fragmento de cazuela, pasta Carbonatada Compacta (pasta No. 20).
- 6i. Fragmento de cazuela, pasta Carbonatada Compacta (pasta No. 20).

Figura 6.7

- 7a. Fragmento de plato, policromía (pasta No. 19A).
- 7b. Fragmento de cajete, policromía (pasta No. 19A).
- 7c. Fragmento de cajete, policromía (pasta No. 19A), tipo Mataculebras.
- 7d. Fragmento de cajete, policromía (pasta No. 19A).
- 7e. Fragmento de cajete, policromía (pasta No. 19A).
- 7f. Fragmento de cajete, policromía (pasta No. 19A).
- 7g. Fragmento de cajete, policromía (pasta No. 19A).
- 7h. Fragmento de cajete, policromía (pasta No. 19A).
- 7i. Fragmento de plato, policromía (pasta No. 19A).
- 7j. Fragmento de cajete, policromía (pasta No. 19A).
- 7k. Fragmento de cajete, policromía (pasta No. 19A).
- 7l. Fragmento de plato, policromía (pasta No. 19A).
- 7m. Fragmento de plato, policromía (pasta No. 19A).
- 7n. Fragmento de cajete, pasta Miscelánea (pasta No. 25).
- 7o. Fragmento de cajete, pasta Arenosa (pasta No. 6).
- 7p. Fragmento de cajete, pasta Arenosa (pasta No. 6).
- 7q. Fragmento de cajete, pasta Arenosa (pasta No. 6).
- 7r. Fragmento de cajete, pasta Arenosa (pasta No. 6).

Figura 6.8

- 8a. Fragmento de cajete, pasta Carbonatado Fino (pasta No. 31).
- 8b. Fragmento de olla de paredes delgadas con borde muescada, pasta Arenosa (pasta No. 6).
- 8c. Fragmento de olla de paredes delgadas con borde muescada, pasta Arenosa (pasta No. 6).
- 8d. Fragmento de cajete, pasta Miscelánea (pasta No. 25).
- 8e. Fragmento de olla de paredes delgadas, pasta Carbonatada (pasta No. 22).
- 8f. Fragmento de cajete, policromía (pasta No. 19A).
- 8g. Fragmento miscelánea (pasta No. 25).
- 8h. Fragmentos de cajete, policromía (pasta No. 19A).
- 8i. Fragmento de plato trípode, policromía (pasta No. 19A).
- 8j. Fragmento de plato, policromía (pasta No. 19A).
- 8k. Fragmento de cajete trípode, pasta Carbonatado Fino (pasta No. 31).
- 8l. Fragmento de olla, pasta Carbonatada (pasta No. 22).
- 8m. Fragmento de olla, pasta Carbonatada (pasta No. 22).
- 8n. Fragmento de plato trípode, pasta Carbonatado Fino (pasta No. 31).
- 8o. Fragmento de comal, Miscelánea (pasta No. 25).
- 8p. Fragmento de platón, pasta Carbonatada (pasta No. 22).

Figura 6.9

- 9a. Fragmento de policromía (pasta No. 19A).
- 9b. Fragmentos de policromía (pasta No. 19A).
- 9c. Fragmento de policromía (pasta No. 19A).

- 9d. Fragmento de policromía (pasta No. 19A).
- 9e. Fragmento de policromía (pasta No. 19A).
- 9f. Fragmento de policromía (pasta No. 19A).
- 9g. Fragmento de policromía (pasta No. 19A).
- 9h. Fragmento de policromía (pasta No. 19A).
- 9i. Fragmento de policromía (pasta No. 19A).
- 9j. Fragmento de policromía (pasta No. 19A).
- 9k. Fragmento de policromía (pasta No. 19A).
- 9l. Fragmento de policromía (pasta No. 19A), tipo Santa Rosa.
- 9m. Fragmento de cajete, pasta Carbonatada con Engobe Peten Lustroso (pasta No. 19).
- 9n. Fragmento de cazuela, pasta Carbonatada Compacta (pasta No. 20).
- 9o. Fragmento de soporte, pasta Miscelánea (pasta No. 25).
- 9p. Fragmento de plato trípode, policromía (pasta No. 19A).
- 9q. Fragmento de cajete, pasta Arenosa (pasta No. 6).
- 9r. Fragmento de incensario, pasta Carbonatada (pasta No. 22).

Figura 6.10

- 10a. Fragmento de olla de paredes delgadas, pasta Arenosa (pasta No. 6).
- 10b. Fragmento miscelánea (pasta No. 25).
- 10c. Fragmento de plato, pasta Caolinitica (pasta No. 9).
- 10d. Fragmento de cajete, pasta Aluvión (pasta No. 10).
- 10e. Fragmento de tapa/comal, pasta Miscelánea (pasta No. 25).
- 10f. Fragmento de cajete, pasta Gris Fino (pasta No. 2).
- 10g. Fragmento de cajete, pasta Aluvión (pasta No. 10).
- 10h. Fragmento de cajete, pasta Micácea (pasta No. 8).
- 10i. Fragmento de cajete con decoración incisa, pasta Arenosa (pasta No. 6).
- 10j. Fragmento miscelánea (pasta No. 25).
- 10k. Fragmento plato trípode, pasta Carbonatado Fino (pasta No. 31).
- 10l. Fragmento de cazuela con decoración impresión de roca, pasta Carbonatada Compacta (pasta No. 20).
- 10m. Fragmentos de cajete, pasta Negro Fino (pasta No. 4).
- 10n. Fragmento de figurilla felina, pasta Miscelánea (pasta No. 25).
- 10o. Fragmento de figurilla antropomórfico, pasta Miscelánea (pasta No. 25).
- 10p. Fragmento de figurilla, pasta Miscelánea (pasta No. 25).
- 10q. Fragmento de olla estriada, “tejo,” pasta Carbonatada (pasta No. 22).
- 10r. Fragmento de olla estriada, “tejo,” pasta Carbonatada (pasta No. 22).
- 10s. Fragmento de cazuela, pasta Carbonatada (pasta No. 22).

Tabla 6.2 Tabla de Pastas, LS-2A-1

| LS-2A-1 | LOTE 1 | | LOTE 2 | | LOTE 3 | | CANT. | % | Peso |
|---|--------|-------|--------|--------|--------|-------|-------|-------|--------|
| | CANT. | PESO | CANT. | PESO | CANT. | PESO | | | |
| 1. Talcosa | | | | | | | | | |
| 2. Gris Fino | | | | | | | | | |
| 4. Negro Fino | | | | | | | | | |
| 6. Arenosa | | | | | 1 | 1.3 | 1 | 0.4% | 1.3 |
| 8. Micacea | | | | | | | | | |
| 9. Caolinitica | | | | | | | | | |
| 10. Aluvion | | | | | | | | | |
| 11. Nucleo de Textura Jabonosa | | | | | | | | | |
| 19. Carbonatada con Engobe Peten Lustroso | 2 | 18.4 | 8 | 62.0 | | | 10 | 3.9% | 80.4 |
| 19A. Policromia | 13 | 43.3 | 31 | 205.7 | 13 | 167.7 | 57 | 22.2% | 416.7 |
| 20. Carbonatada Compacta | 11 | 70.1 | 52 | 1263.3 | 11 | 367.2 | 74 | 28.8% | 1700.6 |
| 22. Carbonatada | | | 5 | 39.1 | 11 | 176.9 | 16 | 6.2% | 216.0 |
| 25. Miscelanea | | | 1 | 5.7 | 1 | 2.5 | 2 | 0.8% | 8.2 |
| 30. Carbonato Burdo | 19 | 327.1 | 68 | 882.1 | 2 | 53.0 | 89 | 34.6% | 1262.2 |
| 31. Carbonatado Fino | | | | | | | | | |
| 33. Carbonatado de Paredes Delgadas | | | | | | | | | |
| No Identificadas | | | 8 | 12.0 | | | 8 | 3.1% | 12.0 |
| | 45 | 458.9 | 173 | 2469.9 | 39 | 768.6 | 257 | | 3697.4 |

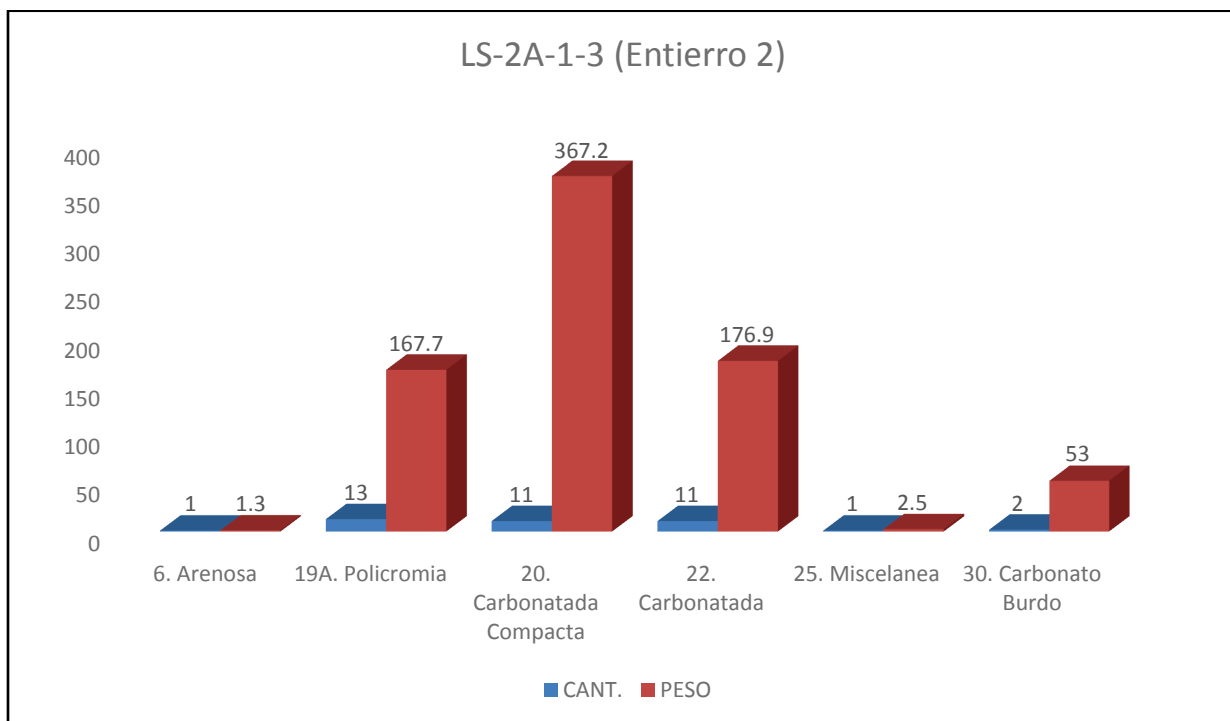
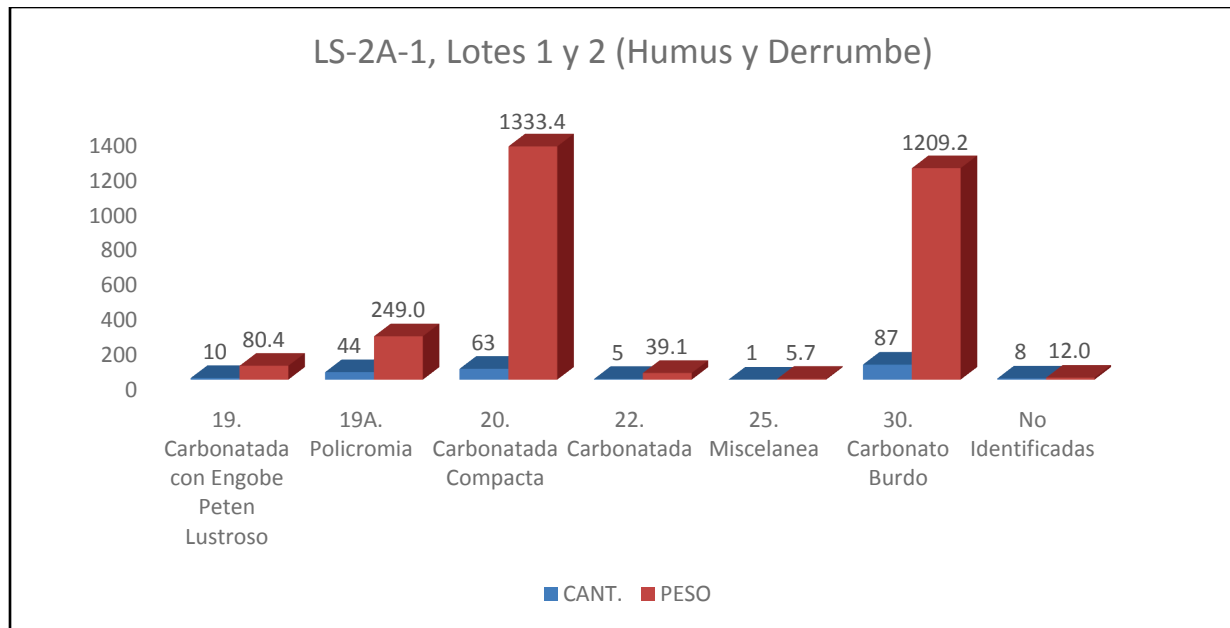


Figura 6.11 Diagrama de frecuencias y pesos de la LS-2A-1.

Tabla 6.3 Tabla de Pastas, LS-2A-2

| LS-2A-2 | LOTE 1 | | LOTE 2 | | LOTE 3 | | CANT. | % | Peso |
|---|--------|------|--------|--------|--------|-------|-------|-------|--------|
| | CANT. | PESO | CANT. | PESO | CANT. | PESO | | | |
| 1. Talcosa | | | | | | | | | |
| 2. Gris Fino | | | | | | | | | |
| 4. Negro Fino | | | | | | | | | |
| 6. Arenosa | | | | | | | | | |
| 8. Micacea | | | 1 | 7.7 | | | 1 | 0.5% | 7.7 |
| 9. Caolinitica | | | | | | | | | |
| 10. Aluvion | | | | | | | | | |
| 11. Nucleo de Textura Jabonosa | | | | | | | | | |
| 19. Carbonatada con Engobe Peten Lustroso | | | 6 | 72.3 | 2 | 20.6 | 8 | 4.1% | 92.9 |
| 19A. Policromia | 6 | 30.1 | 22 | 187.4 | 16 | 92.7 | 44 | 22.7% | 310.2 |
| 20. Carbonatada Compacta | 2 | 17.6 | 12 | 327.3 | 14 | 214.4 | 28 | 14.4% | 559.3 |
| 22. Carbonatada | | | 11 | 121.6 | 2 | 17.7 | 13 | 6.7% | 139.3 |
| 25. Miscelanea | | | 9 | 68.1 | | | 9 | 4.6% | 68.1 |
| 30. Carbonato Burdo | 1 | 5.9 | 52 | 1208.2 | 32 | 501.7 | 85 | 43.8% | 1715.8 |
| 31. Carbonatado Fino | | | | | | | | | |
| 33. Carbonatado de Paredes Delgadas | | | 1 | 4.3 | | | 1 | 0.5% | 4.3 |
| No Identificadas | 1 | 6.7 | 4 | 26.7 | | | 5 | 2.6% | 33.4 |
| | 10 | 60.3 | 118 | 2023.6 | 66 | 847.1 | 194 | | 2931.0 |

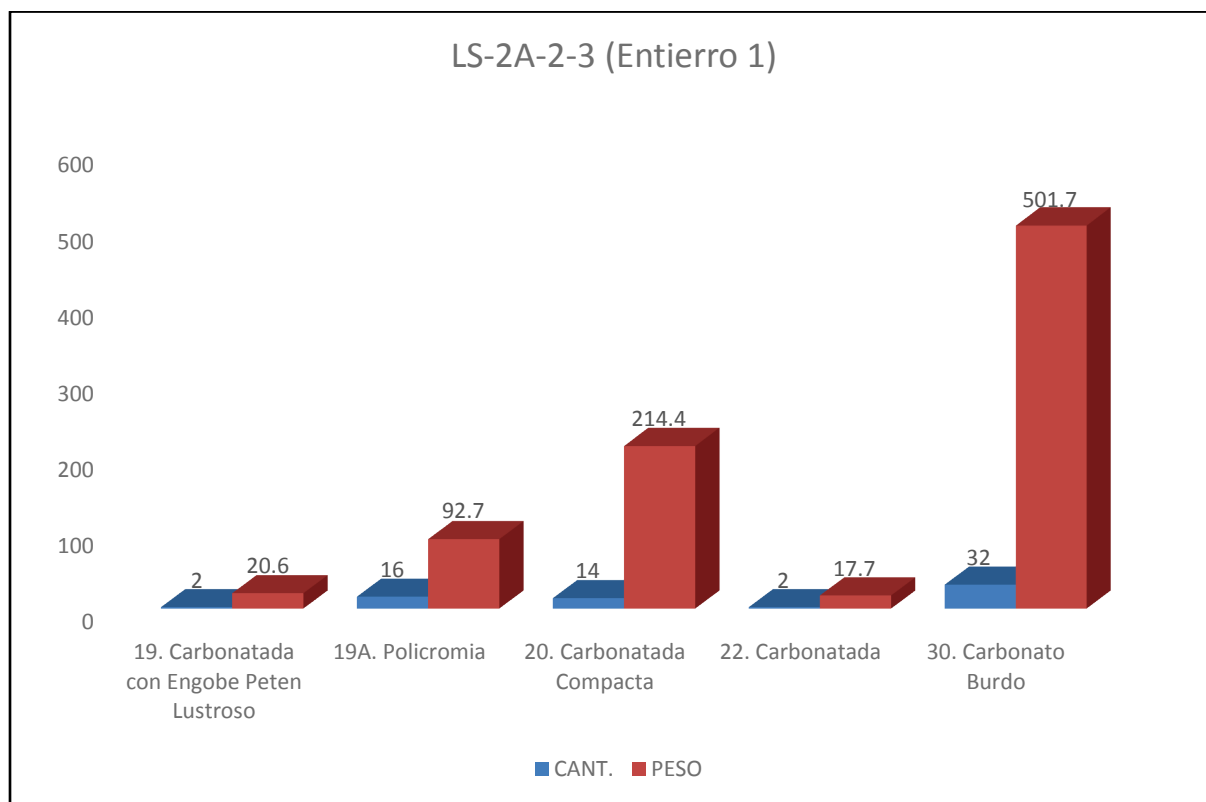
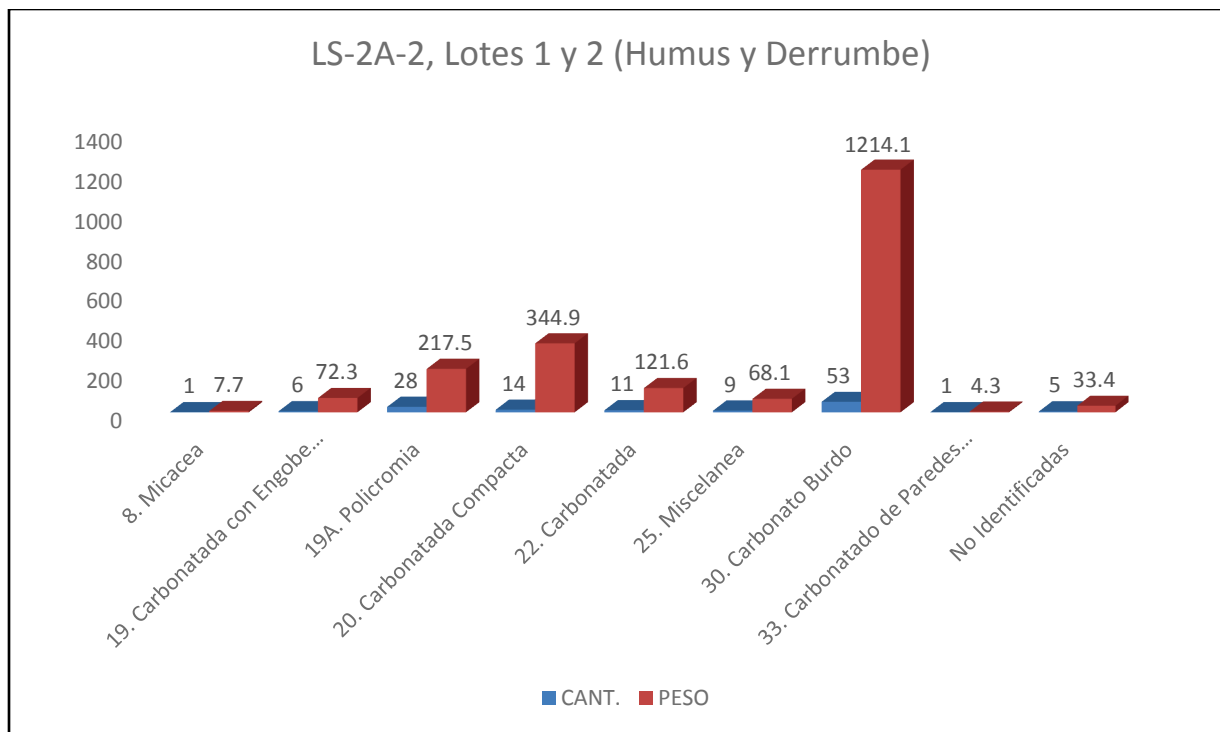


Figura 6.12 Diagrama de frecuencias y pesos de la LS-2A-2.

Tabla 6.4 Tabla de Pastas, LS-2A-4 y LS-2A-6

| LS-2A-4 y LS-2A-6 INSPECCION VISUAL DE PASTAS | LS-2A-4-4 | | LS-2A-6-3 | | LS-2A-6-4 | | CANT. | % | Peso |
|--|-----------|------|-----------|-------|-----------|------|-------|-------|-------|
| | CANT. | PESO | CANT. | PESO | CANT. | PESO | | | |
| 1. Talcosa | | | | | | | | | |
| 2. Gris Fino | | | | | | | | | |
| 4. Negro Fino | | | | | | | | | |
| 6. Arenosa | | | | | | | | | |
| 8. Micacea | | | | | | | | | |
| 9. Caolinitica | | | | | | | | | |
| 10. Aluvion | | | | | | | | | |
| 11. Nucleo de Textura Jabonosa | | | | | | | | | |
| 19. Carbonatada con Engobe Peten Lustroso | | | | | | | | | |
| 19A. Policromia | | | | | 1 | 63.7 | 1 | 8.3% | 63.7 |
| 20. Carbonatada Compacta | | | | | | | | | |
| 22. Carbonatada | | | | | | | | | |
| 25. Miscelanea | | | 2 | 23.7 | | | 2 | 16.7% | 23.7 |
| 30. Carbonato Burdo | 1 | 56.2 | 7 | 160.5 | 1 | 17.2 | 9 | 75.0% | 233.9 |
| 31. Carbonatado Fino | | | | | | | | | |
| 33. Carbonatado de Paredes Delgadas | | | | | | | | | |
| No Identificadas | | | | | | | | | |
| | 1 | 56.2 | 9 | 184.2 | 2 | 80.9 | 12 | | 321.3 |

Tabla 6.5 Tabla de Pastas, LS-3A-1

| LS-3A-1 | LOTE 1 | | LOTE 2 | | LOTE 3 | | CANT. | % | Peso |
|---|-----------------------------|-------|--------|--------|--------|-------|-------|-------|---------|
| | INSPECCION VISUAL DE PASTAS | CANT. | PESO | CANT. | PESO | CANT. | | | |
| 1. Talcosa | | | 7 | 27.5 | | | 7 | 0.6% | 27.5 |
| 2. Gris Fino | | | | | | | | | |
| 4. Negro Fino | 2 | 1.7 | 5 | 14.2 | | | 7 | 0.6% | 15.9 |
| 6. Arenosa | 2 | 25.7 | 99 | 376.6 | | | 101 | 9.0% | 402.3 |
| 8. Micacea | | | 2 | 52.6 | | | 2 | 0.2% | 52.6 |
| 9. Caolinitica | | | 3 | 12.5 | | | 3 | 0.3% | 12.5 |
| 10. Aluvion | | | 2 | 9.8 | | | 2 | 0.2% | 9.8 |
| 11. Nucleo de Textura Jabonosa | | | | | | | | | |
| 19. Carbonatada con Engobe Peten Lustroso | | | | | | | | | |
| 19A. Policromia | 3 | 16.1 | 41 | 153.8 | 3 | 14.5 | 47 | 4.2% | 184.4 |
| 20. Carbonatada Compacta | | | | | | | | | |
| 22. Carbonatada | 56 | 782.0 | 574 | 7326.0 | 12 | 140.8 | 642 | 57.3% | 8248.8 |
| 25. Miscelanea | 1 | 6.5 | 3 | 13.8 | 4 | 14.7 | 8 | 0.7% | 35.0 |
| 30. Carbonato Burdo | | | | | | | | | |
| 31. Carbonatado Fino | 3 | 27.9 | 93 | 430.2 | | | 96 | 8.6% | 458.1 |
| 33. Carbonatado de Paredes Delgadas | 37 | 96.8 | 153 | 705.2 | 1 | 3.8 | 191 | 17.1% | 805.8 |
| No Identificadas | | | 14 | 61.5 | | | 14 | 1.3% | 61.5 |
| | 104 | 956.7 | 996 | 9183.7 | 20 | 173.8 | 1120 | | 10314.2 |

Tabla 6.6 Tabla de Pastas, LS-3B-1

| LS-3B-1 INSPECCION VISUAL DE PASTAS | LOTE 1 | | LOTE 2 | | LOTE 3 | | LOTE 4 | | LOTE 5 | | CANT. | % | Peso |
|--|--------|-------|--------|-------|--------|--------|--------|-------|--------|------|-------|-------|--------|
| | CANT. | PESO | CANT. | PESO | CANT. | PESO | CANT. | PESO | CANT. | PESO | | | |
| 1. Talcosa | | | | | | | | | | | | | |
| 2. Gris Fino | | | 1 | 2.4 | | | | | | | 1 | 0.2% | 2.4 |
| 4. Negro Fino | | | | | | | | | | | | | |
| 6. Arenosa | 1 | 1.5 | 20 | 110.1 | 16 | 78.0 | 1 | 4.2 | | | 38 | 7.9% | 193.8 |
| 8. Micacea | | | | | | | | | | | | | |
| 9. Caolinitica | 1 | 2.0 | 1 | 13.3 | 1 | 3.6 | | | | | 3 | 0.6% | 18.9 |
| 10. Aluvion | | | 2 | 4.2 | | | | | | | 2 | 0.4% | 4.2 |
| 11. Nucleo de Textura Jabonosa | | | | | | | 1 | 5.2 | | | 1 | 0.2% | 5.2 |
| 19. Carbonatada con Engobe Peten Lustroso | 1 | 6.0 | 1 | 2.5 | | | | | | | 2 | 0.4% | 8.5 |
| 19A. Policromia | 1 | 4.3 | 8 | 30.5 | 1 | 1.8 | 2 | 18.5 | | | 12 | 2.5% | 55.1 |
| 20. Carbonatada Compacta | | | | | | | | | | | | | |
| 22. Carbonatada | 65 | 717.4 | 87 | 806.7 | 86 | 1134.3 | 35 | 698.8 | 3 | 38.2 | 276 | 57.0% | 3395.4 |
| 25. Miscelanea | | | 10 | 61.5 | 1 | 3.8 | 1 | 6.2 | | | 12 | 2.5% | 71.5 |
| 30. Carbonato Burdo | | | | | | | | | 1 | 19.3 | 1 | 0.2% | 19.3 |
| 31. Carbonatado Fino | | | 1 | 4.2 | 2 | 7.6 | | | | | 3 | 0.6% | 11.8 |
| 33. Carbonatado de Paredes Delgadas | 38 | 186.7 | 13 | 96.8 | 40 | 111.5 | 6 | 39.2 | | | 97 | 20.0% | 434.2 |

| | | | | | | | | | | | | | |
|------------------|-----|-------|-----|--------|-----|--------|----|-------|---|------|-----|------|--------|
| No Identificadas | 1 | 5.5 | 21 | 51.3 | 13 | 36.0 | | | 1 | 3.6 | 36 | 7.4% | 96.4 |
| | 108 | 923.4 | 165 | 1183.5 | 160 | 1376.6 | 46 | 772.1 | 5 | 61.1 | 484 | | 4316.7 |

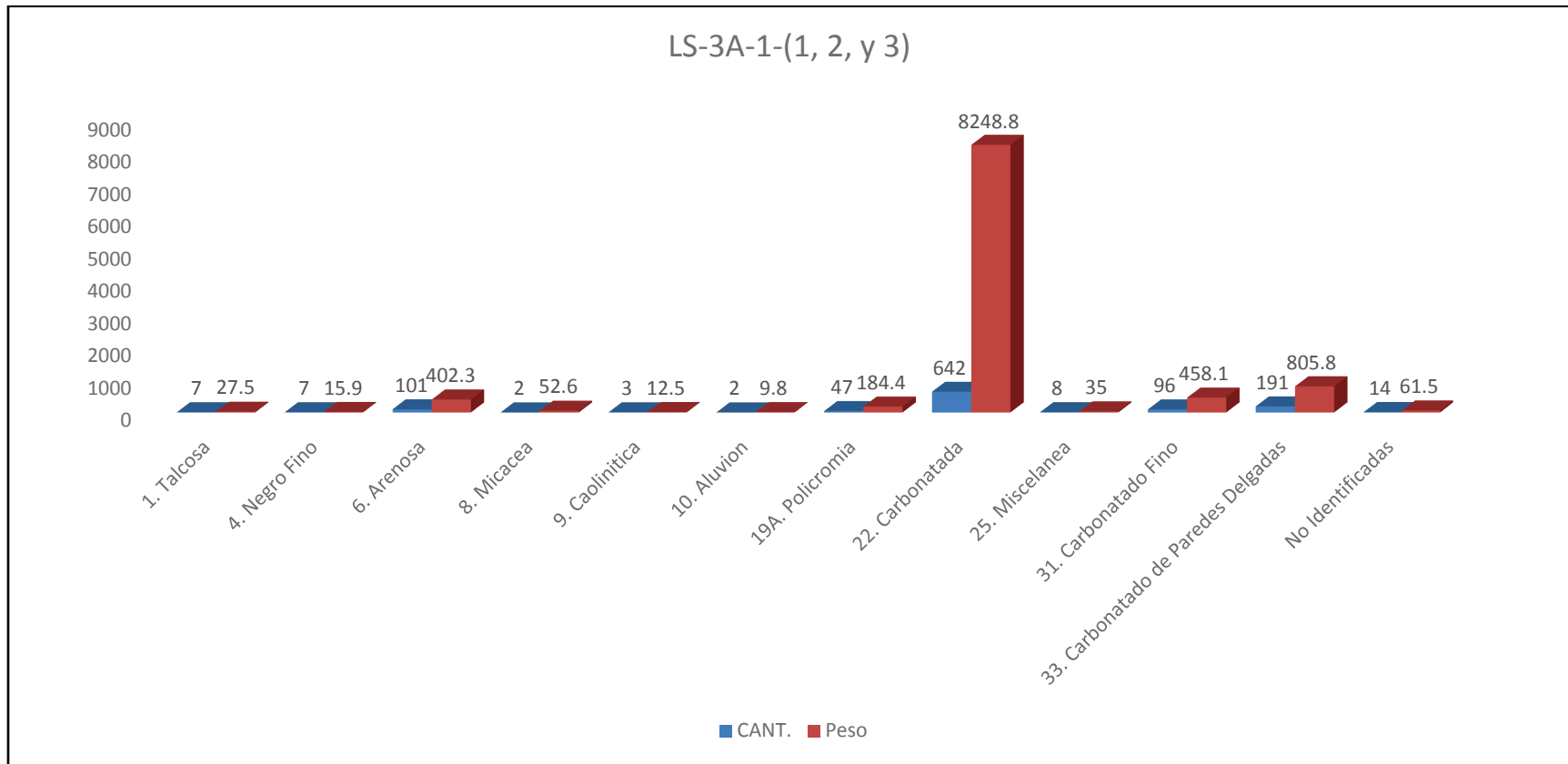


Figura 6.13 Diagrama de frecuencias y pesos de la LS-3A-1.

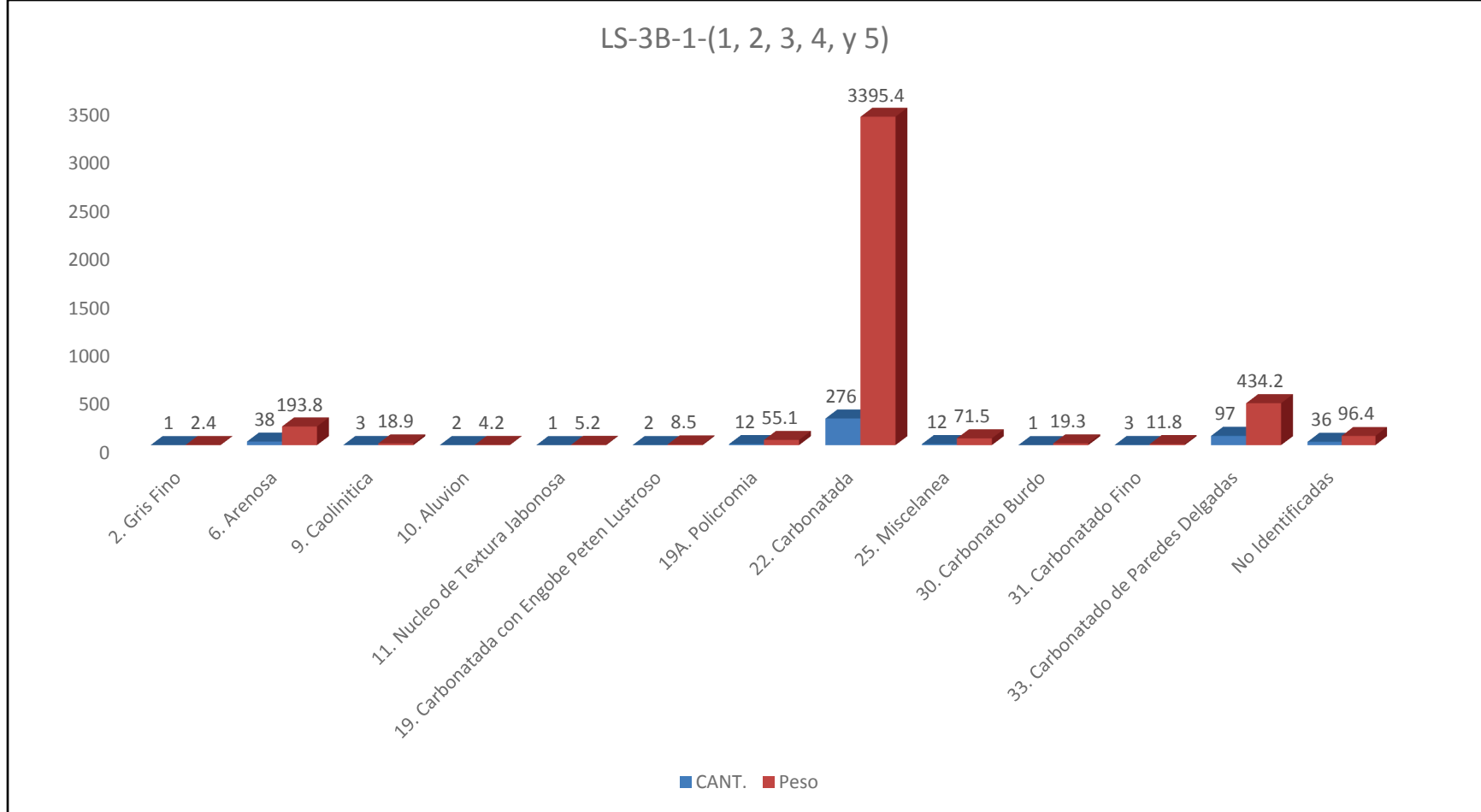


Figura 6.14 Diagrama de frecuencias y pesos de la LS-3B-1.

Tabla 6.7 Tabla de Pastas, LS-4A-1

| Op. 4A INSPECCION VISUAL DE PASTAS | LOTE 1 | | LOTE 2 | | LOTE 3 | | CANT. | % | Peso |
|---|--------|------|--------|-------|--------|------|-------|-------|-------|
| | CANT. | PESO | CANT. | PESO | CANT. | PESO | | | |
| 1. Talcosa | | | | | | | | | |
| 2. Gris Fino | | | | | | | | | |
| 4. Negro Fino | 1 | 5.9 | | | | | 1 | 5.0% | 5.9 |
| 6. Arenosa | | | | | 2 | 4.8 | 2 | 10.0% | 4.8 |
| 8. Micacea | | | | | | | | | |
| 9. Caolinitica | | | | | | | | | |
| 10. Aluvion | | | | | | | | | |
| 11. Nucleo de Textura Jabonosa | | | | | | | | | |
| 19. Carbonatada con Engobe Peten Lustroso | | | | | | | | | |
| 19A. Policromia | | | | | | | | | |
| 20. Carbonatada Compacta | | | | | | | | | |
| 22. Carbonatada | | | 9 | 95.0 | | | 9 | 45.0% | 95.0 |
| 25. Miscelanea | | | | | | | | | |
| 30. Carbonato Burdo | | | | | | | | | |
| 31. Carbonatado Fino | | | | | | | | | |
| 33. Carbonatado de Paredes Delgadas | | | 4 | 9.9 | 4 | 7.6 | 8 | 40.0% | 17.5 |
| No Identificadas | | | | | | | | | |
| | 1 | 5.9 | 13 | 104.9 | 6 | 12.4 | 20 | | 123.2 |

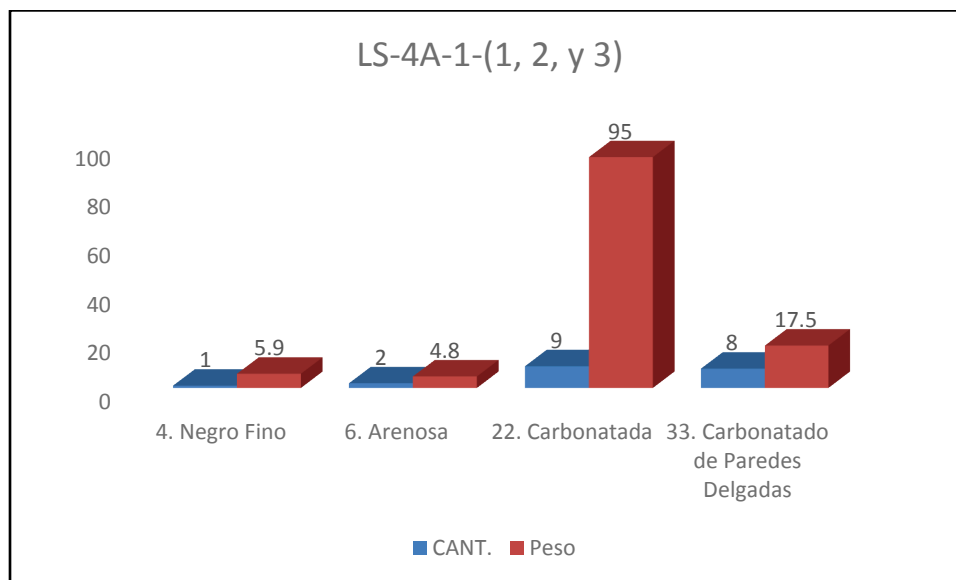


Figura 6.15 Diagrama de frecuencias y pesos de la LS-4A-1.

Tabla 6.8 Tabla de Pastas, LS-5A-1-1

| Op. 5A | LOTE 1 | | % |
|---|--------|-------|-------|
| | CANT. | PESO | |
| INSPECCION VISUAL DE PASTAS | | | |
| 1. Talcosa | | | |
| 2. Gris Fino | | | |
| 4. Negro Fino | | | |
| 6. Arenosa | | | |
| 8. Micacea | | | |
| 9. Caolinitica | | | |
| 10. Aluvion | | | |
| 11. Nucleo de Textura Jabonosa | | | |
| 19. Carbonatada con Engobe Peten Lustroso | | | |
| 19A. Policromia | | | |
| 20. Carbonatada Compacta | | | |
| 22. Carbonatada | 5 | 105.0 | 71.4% |
| 25. Miscelanea | | | |
| 30. Carbonato Burdo | | | |
| 31. Carbonatado Fino | | | |
| 33. Carbonatado de Paredes Delgadas | 2 | 3.9 | 28.6% |
| No Identificadas | | | |
| | 7 | 108.9 | |

CAPÍTULO 7

CONCLUSIONES

Charles Golden, Andrew K. Scherer y Whittaker Schroder

Con los resultados de la temporada de campo de 2016 hemos avanzado en el conocimiento de la región y establecido una base para realizar investigaciones más amplias en las temporadas subsecuentes. En cuanto a las metas principales de la temporada, se conoce más de los patrones de asentamiento, de las relaciones espaciales entre los sitios, del vínculo entre el paisaje y los patrones de asentamiento, y de los patrones agrícolas antiguos. Aunque los resultados son preliminares, podemos juntar los datos de la séptima temporada del PABC con los publicados por otros proyectos en la región del Usumacinta Medio, con el fin de clarificar y llenar los vacíos de información.

Excavaciones en El Infiernito

El énfasis de las actividades del proyecto durante la temporada de 2016 era ampliar las excavaciones en el sitio terciario de El Infiernito. Primero documentado en 2015, dimos cuenta que formaba un sitio único en el paisaje del periodo Clásico Tardío de la región. Después de las excavaciones de 2016, ahora sabemos que realmente el sitio está compuesto de por lo menos dos zonas distintas, uno seguramente con una fecha Preclásica, y la otra mayormente parte del periodo Clásico Tardío. Esta cronología parece coincidir con la organización del sitio en general, con la zona más antigua en la base del cerro y la zona Clásica encima del cerro. Las metas del futuro incluyen definir mejor la ocupación Clásica, especialmente en relación con la transición al periodo Clásico Terminal al principio del siglo IX.

Las excavaciones horizontales este año demuestran que esa metodología vale la pena para examinar la ocupación terminal de las plataformas habitacionales en la cumbre del cerro. Estas excavaciones revelaron varios datos de arquitectura, cerámica, y otros materiales para examinar la fase y para comparar con los otros sitios de la región, especialmente Budsilha donde hemos hecho trabajos similares. El descubrimiento de un escondite de concha de mar debajo de la plataforma E2-5 también provee información acerca de las actividades rituales de esta época en el sitio. Para el futuro, esperamos ampliar las excavaciones horizontales para incluir plataformas en los otros grupos monumentales del sitio para obtener una base de datos de comparación.

Reconocimiento Arqueológico

El reconocimiento de la zona incluyó esfuerzos en seis comunidades distintas, un éxito en conocer mejor la gente y los dueños de los terrenos. Todavía queda bastante para recorrer, pero cada año obtenemos un mejor entendimiento de los patrones de asentamiento entre los sitios de Piedras Negras, El Cayo, y La Mar. Estos trabajos han establecido un fundamento para años futuros para empezar proyectos más intensivos en los sitios donde hay interés de los dueños de las parcelas y las comunidades adyacentes.

Podemos observar que los sitios documentados en 2016 pueden ser descritos por una tipología preliminar para la región. Desde La Ruina de Arturo García Pablo hasta el sitio El Salvador, hay sitios de cada tamaño. Seguramente, La Ruina de Arturo García Pablo entre Nuevo Francisco León y Nuevo Jerusalén es uno de los sitios secundarios más grandes de la región, por el tamaño y la calidad de su arquitectura. Aunque quizás tenía monumentos en el pasado, ahora no podemos estar seguro. Entonces por el momento, La Ruina de Arturo García Pablo ocupa un lugar en la tipología bajo sitios como La Mar y El Cayo, pero con una importancia similar a Laguna Oscura, otro sitio con arquitectura piramidal y monumental.

Al lado más pequeño de esta tipología, hay sitios como El Salvador, Rio Osumacinta, y El Panteón. Estos sitios representan parte del paisaje de plataformas habitacionales que cubren la zona. En general, estos sitios pequeños parecen formar grupos en las zonas alrededor de sitios secundarios o terciarios. Entre estos sitios más pequeños y los sitios más monumentales, quedan varios sitios que son más difíciles de clasificar. Estos sitios incluyen, por ejemplo, El Infiernito, un sitio expansivo con arquitectura monumental pero construida con piedra no labrada. La función de este sitio en el paisaje político de la región queda como una pregunta útil para temporadas futuras. Otro sitio similar es El Pozo de Enrique Luis Reyes, que hoy en día está en peor condición por saqueo. Sin embargo, este sitio parece formar un tipo de sitio entre El Infiernito y Tecolote, Guatemala, por la presencia de arquitectura monumental y un pozo de agua formal, que todavía no han sido encontrados en otros sitios.

Un sitio que también queda como un misterio por el momento es Rancho Nuevo. Este sitio está bastante pequeño, pero también tiene arquitectura formal, posiblemente los restos de una estructura abovedada. En este sentido, Rancho Nuevo parece ocupar un lugar entre los sitios La Selva y Budsilha que representaron quizás residencias elites o lugares para reunir las comunidades locales. Rancho Nuevo posiblemente tiene un juego de pelota pequeño que sería un

ejemplo de estos espacios comunales. Sin embargo, el sitio parece ocupar un lugar restringido en un cerro, un lugar visible de las plataformas habitacionales de los alrededores pero posiblemente inaccesible a la gente más humilde de la zona.

Finalmente, hay sitios que seguramente ocuparon una posición importante de comercio local. Hemos hablado del sitio Flores Magón en esa manera, como un mercado posible en la ruta entre Palenque y La Mar. Santa Marta también parecía tener una función similar, por su ubicación en el Río Busilja arriba de la cascada que entra al Usumacinta. La presencia de plataformas bajas al sur del sitio posiblemente formaban un tipo de mercado, y el descubrimiento de machacadores de piedra en la superficie sugieren un función administrativa para las estructuras mayores. Una residencia posiblemente elite también puede proveer información sobre los nobles que posiblemente controlaban el movimiento de materiales entre La Mar, Budsilha, y los sitios del Bajo Usumacinta.

Análisis de los Materiales

Con la ayuda de los estudiantes y Socorro del Pilar Jiménez Álvarez de la UADY, tuvimos la oportunidad de empezar el análisis de los materiales de cerámica recuperados durante las excavaciones de 2015. Los datos colectados indican que La Selva era un sitio con conexiones amplias con la zona de Palenque y los planos de Tabasco. Un porcentaje significativo de fragmentos tenían una procedencia no local. Además, varios ejemplos de pasta local parecen imitar formas conocidas de Palenque durante el periodo Clásico Tardío. La gran cantidad de ejemplos policromos, especialmente en la Operación 2A también sugieren que la gente enterrada en el sitio ocuparon un estatus alto con los nobles de Piedras Negras, una conexión también establecida por el estilo de arquitectura y la orientación del sitio. Un análisis de tipo variedad puede definir mejor la cronología del sitio, pero seguramente la mayoría de la construcción tiene una fecha entre los fines del siglo VI y los principios del siglo VIII.

Conclusiones

En resumen, la temporada 2016 del Proyecto Arqueológico Busiljá-Chocoljá fue exitosa en términos de ser un paso de un proyecto a largo plazo. Cumplió con las metas propuestas del proyecto, y resultó en un mejor conocimiento de los patrones de asentamiento del periodo Clásico Tardío. Y tal vez más importante en términos de posibles investigaciones subsecuentes es que el

trabajo de 2016 hizo posible la colaboración de varias comunidades, ejidos y dueños de los terrenos privados donde están ubicados los sitios arqueológicos.

En un proyecto de largo plazo no es posible contestar cada cuestión arqueológica después de una sola temporada. Sin embargo, junto con los datos recolectados durante las primeras temporadas del proyecto, las investigaciones de campo en 2016 han ampliado el conocimiento de la cronología del asentamiento en la región de estudio; han resultado en la documentación de sitios arqueológicos no previamente identificados y en la producción de croquices preliminares de varios sitios anteriormente desconocidos; y han brindado datos preliminares sobre la cerámica regional y otros patrones de los materiales culturales de la zona. Así, los datos recién colectados proveen una comprensión nueva de la distribución temporal y espacial del asentamiento en la región de estudio, además de generar interpretaciones preliminares de los vínculos entre los sitios de ésta y las capitales del periodo Clásico, tales como Piedras Negras y Palenque. La presente investigación también forma una base para los estudios que los miembros del PABC esperan realizar en 2017, con el permiso del Consejo de Arqueología y las autoridades locales.

AGRADECIMIENTOS

Se realizaron las investigaciones del PABC durante la temporada 2016 con el permiso del Consejo de Arqueología del Instituto Nacional de Antropología e Historia (INAH). Estamos especialmente agradecidos con el Antropólogo Miguel Ángel Rivapalacio Sulser y el Arqueólogo Héctor Cuevas Fernández, por su colaboración y apoyo en las investigaciones. Como directores del proyecto agradecemos a nuestros colegas de campo durante la temporada 2016: Whittaker Schroder, Kellie Roddy, Diego Ibarra Cardona, Saúl Ascencio Bocanegra, Ofir Ascencio Bocanegra, Abel Lara Gómez, Denis Reyes Martínez, Juan Carlos Pérez, Rudby Pérez Hernández, Mario Aguilar Pérez, Deni Mena Aguilar, Elmar Rodríguez Álvaro, Salomon Rodríguez Álvaro, Ismael Javier Pérez Ramírez, Angélica Casaux Lara, y Roció Sarao Casaux. El señor Guillermo Fonseca proporcionó su asistencia con la logística local, sin la cual el trabajo de campo habría sido mucho más difícil y no tan exitoso. Don Andrés Reyes (Santa Marta), Eric Pérez González (El Infiernito), Enrique Luis Reyes (El Pozo), don Oriel (Rancho Nuevo), don Arturo García Pablo (Nuevo Francisco León), Salvador Méndez Arcos (El Salvador), y Clemente Álvarez Gómez, y otros miembros de las comunidades y propietarios de la región han sido colaboradores tan nobles que nos han permitido realizar la documentación de los sitios arqueológicos ubicados en sus terrenos, y estamos en deuda con ellos. Se realizó esta investigación con el apoyo económico y/o institucional de las fundaciones Kolb y Familia Rust, las universidades de Brown, Brandeis (con el Fondo de Jane de la Programa de Estudios Latinoamericanos y Latinos, y con el fondo del Vice Rector para las Investigaciones), Pennsylvania (con el fondo de estudios latinos), y la Universidad Autónoma de Yucatán.

REFERENCIAS

- Culbert, T. Patrick y Robert L. Rands
2007 Multiple Classifications: an Alternative approach to the investigation of Maya Ceramics. *Latin American Antiquity* 18 (2): 181-190
- Golden, Charles, Andrew K. Scherer, A. René Muñoz y Rosaura Vasquez
2008 Piedras Negras and Yaxchilan: Divergent Political Trajectories in Adjacent Maya Polities. *Latin American Antiquity* 19(3):249-274.
- Golden, Charles y Andrew K. Scherer
2011 *Proyecto Arqueológico Busilja-Chocolja: Informe de la Segunda Temporada de Investigacion*. Presentado ante El Consejo de Arqueología del Instituto Nacional de Antropología e Historia, México, D.F.
- Houston, Stephen D.
1993 Hieroglyphs and History at Dos Pilas: Dynastic Politics of the Classic Maya. Austin: University of Texas Press.
- Jiménez Alvarez, Socorro del Pilar. (Tesis)
2015 Producción, consumo y distribución del periodo Clásico Tardío, Chinikihá, Chiapas, México. Tesis de Doctorado en Antropología. Facultad de Filosofía y Letras de la Universidad Nacional Autónoma de México, México, D.F.
- Maler, Teobert
1901 *Researches in the Central Portion of the Usumacintla Valley: Report of Explorations for the Museum, 1898-1900*. Memoirs 2(1). Peabody Museum of American Archaeology and Ethnology, Harvard University, Cambridge, MA.

1903 *Researches in the Central Portion of the Usumacintla Valley: Reports of Explorations for the Museum.—Part Second*. Memoirs 2(2). Peabody Museum of American Archaeology and Ethnology, Harvard University, Cambridge, MA.
- Mathews, Peter
1980 “Notes on the Dynastic Sequence of Bonampak, Part 1.” En *Third Palenque Round Table, 1978*, editado por Merle Green Robertson. University of Texas Press, Austin.
- Scherer, Andrew K., Charles Golden y Jeffrey Dobereiner
2013 *Proyecto Arqueológico Busilja-Chocolja: Informe de la Cuarta Temporada de Investigacion*. Presentado ante El Consejo de Arqueología del Instituto Nacional de Antropología e Historia, México, D.F.
- Scherer, Andrew K. y Charles Golden
2012 *Revisiting Maler’s Usumacinta: Recent Archaeological Investigations in Chiapas, Mexico*. Precolumbia Mesoweb Press, San Francisco.

2014 War in the West: History, Landscape, and Classic Maya Conflict. En *Embattled Bodies, Embattled Places: War in Pre-Columbian Mesoamerica and the Andes*, editado por Andrew K. Scherer y John W. Verano, pp. 57-92. Dumbarton Oaks, Washington D.C.

Schroder, Whittaker, Jeffrey Dobereiner, Charles Golden, y Andrew K. Scherer

2014 *Proyecto Arqueológico Busilja-Chocolja: Informe de la Quinta Temporada de Investigación*. Presentado ante El Consejo de Arqueología del Instituto Nacional de Antropología e Historia, México, D.F.

2015 *Proyecto Arqueológico Busilja-Chocolja: Informe de la Sexta Temporada de Investigación*. Presentado ante El Consejo de Arqueología del Instituto Nacional de Antropología e Historia, México, D.F.

APÉNDICE 1
PESOS DE MATERIALES EXCAVADOS DEL SITIO EL INFIERNITO,
TEMPORADA 2016

Whittaker Schroder

| MATERIAL | PROCEDENCIA | NÚMERO | PESO (g) | COMENTARIO |
|----------------------------|-------------|--------|----------|-------------------------|
| Bajareque | IN-5A-1-2 | | 69.20 | |
| | IN-5A-11-3 | | 12.94 | |
| | IN-5A-12-3 | | 22.15 | |
| | IN-5A-13-2 | | 11.41 | |
| Caliza | IN-5A-3-2 | 1 | 53.65 | Posiblemente para pulir |
| Ceramica miscelanea | IN-5A-11-3 | 1 | 1.45 | Bola de cerámica |
| Concha | IN-3A-1-3 | 3 | 11.77 | |
| | IN-3B-1-1 | 1 | 4.07 | |
| | IN-3B-1-2 | 3 | 6.98 | |
| | IN-3B-1-3 | 2 | 4.41 | |
| | IN-4A-2-2 | 3 | 0.77 | Concha del mar |
| | IN-5A-1-3 | 27 | 51.02 | |
| | IN-5A-1-3 | 16 | 17.36 | Concha del mar |
| | IN-5A-1-3 | 16 | 17.23 | Concha del mar |
| | IN-5A-1-4 | 8 | 23.60 | |
| | IN-5A-1-5 | 11 | 28.96 | |
| | IN-5A-1-6 | 5 | 22.90 | |
| | IN-5A-2-2 | 1 | 0.24 | |
| | IN-5A-4-2 | 1 | 3.01 | |
| | IN-5A-6-4 | 10 | 25.71 | |
| | IN-5A-6-6 | 8 | 32.50 | |
| | IN-5A-6-7 | 2 | 3.75 | |
| | IN-5A-6-8 | 1 | 0.84 | |
| | IN-5A-6-10 | 3 | 17.56 | |
| | IN-5A-6-10 | 2 | 12.51 | |
| | IN-5A-6-11 | 8 | 17.55 | |
| | IN-5A-6-12 | 2 | 8.27 | |
| | IN-5A-6-13 | 1 | 7.48 | |
| | IN-5A-6-14 | 1 | 0.20 | |
| | IN-5A-12-3 | 1 | 0.22 | |
| | IN-5A-13-3 | 8 | 11.79 | |
| | IN-7A-1-1 | 3 | 1.50 | |
| | IN-8B-1-2 | 3 | 0.05 | |

| | | | | |
|--------------------------|------------|----|--------|--|
| Cuarzo | IN-3A-1-1 | 1 | 72.51 | Posiblemente para pulir |
| | IN-3B-1-1 | 1 | 28.37 | |
| | IN-4A-2-1 | 1 | 4.34 | |
| | IN-5A-1-3 | 10 | 61.99 | |
| | IN-5A-1-3 | 4 | 10.16 | |
| | IN-5A-1-4 | 2 | 5.19 | |
| | IN-5A-1-5 | 20 | 93.68 | |
| | IN-5A-1-6 | 3 | 27.21 | Cuarzo |
| | IN-5A-8-1 | 1 | 17.45 | Posible peso para pescar |
| | IN-5A-12-3 | 1 | 68.83 | |
| Cuenta | IN-1B-1-1 | 1 | 2.48 | Cuenta tubular de piedra |
| | IN-3B-1-3 | 1 | 1.23 | Piedra verde, dos agujeros en una cara |
| | IN-5A-6-5 | 1 | 2.43 | Circular de piedra blanca |
| | IN-5A-6-5 | 1 | 2.36 | Circular de piedra blanca |
| | IN-5A-6-5 | 1 | 5.35 | Concha tallada e inciso |
| | IN-5A-6-5 | 1 | 5.96 | Concha tallada e inciso |
| | IN-5A-6-5 | 1 | 3.08 | Concha tallada e inciso |
| | IN-5A-6-6 | 1 | 0.40 | Piedra blanca |
| | IN-5A-6-11 | 1 | 0.40 | Piedra verde |
| | IN-5A-6-11 | 1 | 0.39 | Piedra blanca |
| | IN-5A-6-12 | 1 | 0.89 | Concha spondylus |
| Estuco | IN-4A-1-2 | | 1.36 | |
| | IN-4A-1-3 | | 25.56 | |
| | IN-4A-1-4 | | 41.03 | |
| | IN-5A-1-2 | | 2.14 | |
| | IN-5A-1-3 | | 4.91 | |
| | IN-5A-1-4 | | 16.69 | |
| | IN-5A-1-5 | | 26.97 | |
| | IN-5A-3-2 | | 1.03 | |
| | IN-5A-5-2 | | 9.27 | |
| | IN-5A-6-6 | | 118.51 | |
| | IN-5A-6-7 | | 509.21 | |
| | IN-5A-6-13 | | 65.81 | |
| | IN-5A-12-4 | | 97.61 | |
| | IN-5A-13-3 | | 4.41 | |
| Figurina cerámica | IN-4A-1-2 | 1 | 5.93 | Cabeza de tucan |
| | IN-5A-6-8 | 1 | 15.22 | Torso, hombre sentado |
| | IN-5A-6-9 | 1 | 51.36 | Cabeza de hombre viejo |
| | IN-5A-6-10 | 1 | 16.78 | Cabeza de reptil |
| Hueso animal | IN-2A-2-2 | 2 | 10.21 | 1 vértebra, 1 concha tortuga |
| | IN-3A-1-2 | 4 | 0.24 | No identificado |

| | | | | |
|-----------------------|------------|----|--------|---|
| Hueso animal | IN-3A-1-3 | 18 | 13.95 | No identificado |
| | IN-3A-1-4 | 2 | 1.09 | No identificado |
| | IN-3A-2-1 | 1 | 1.53 | Concha tortuga |
| | IN-3A-2-1 | 1 | 17.33 | Cuerno de venado tallado, herramienta |
| | IN-3B-1-1 | 3 | 2.56 | 2 conchas tortuga, 1 frag. hueso largo |
| | IN-3B-1-2 | 22 | 24.15 | 13 concha tortuga, 1 frag. hueso largo |
| | IN-3B-1-3 | 10 | 9.11 | 8 concha tortuga, 1 frag. hueso largo |
| | IN-3B-1-3 | 1 | 0.05 | No identificado |
| | IN-4A-1-3 | 1 | 0.72 | No identificado |
| | IN-5A-1-4 | 4 | 2.65 | 1 concha tortuga |
| | IN-5A-1-5 | 12 | 7.39 | 6 concha tortuga, 6 no identificado |
| | IN-5A-1-6 | 1 | 0.45 | Concha tortuga |
| | IN-5A-2-1 | 1 | 0.21 | No identificado |
| | IN-5A-6-2 | 1 | 0.75 | No identificado |
| | IN-5A-6-3 | 18 | 8.55 | 2 dientes colmillos, 1 concha tortuga |
| | IN-5A-6-4 | 3 | 2.93 | Aguja de hueso |
| | IN-5A-6-4 | 14 | 17.27 | 1 concha tortuga, 1 vértebra, 3 huesos largos |
| | IN-5A-6-4 | 1 | 0.27 | Diente |
| | IN-5A-6-5 | 1 | 0.62 | Hueso trabajado/pulido |
| | IN-5A-6-5 | 1 | 7.71 | Hueso largo trabajado/pulido |
| | IN-5A-6-5 | 1 | 0.31 | No identificado |
| | IN-5A-6-6 | 2 | 4.51 | No identificado |
| | IN-5A-6-8 | 2 | 0.88 | Concha tortuga |
| | IN-5A-6-9 | 1 | 0.21 | No identificado |
| | IN-5A-6-9 | 1 | 0.24 | Diente colmillo pequeño |
| | IN-5A-6-9 | 1 | 1.17 | Cuenco de colmillo |
| | IN-5A-6-10 | 1 | 0.67 | No identificado |
| | IN-5A-6-10 | 1 | 0.35 | Diente de jabalí |
| | IN-5A-6-11 | 6 | 2.73 | 1 concha tortuga |
| | IN-5A-6-11 | 1 | 0.41 | Cuenco de colmillo |
| | IN-5A-6-11 | 1 | 0.50 | Cuenco de colmillo |
| | IN-5A-6-12 | 2 | 1.89 | 1 frag. hueso largo, 1 no identificado |
| | IN-5A-12-3 | 2 | 0.81 | No identificado |
| | IN-5A-12-3 | 1 | 0.35 | Fragmento de una cola |
| Hueso humano | IN-3B-1-3 | 1 | 0.59 | Molar |
| | IN-5A-1-3 | 1 | 0.79 | Molar |
| | IN-5A-1-3 | 1 | 0.72 | Molar |
| | IN-5A-1-3 | 1 | 0.14 | Diente pequeño, posiblemente premolar |
| Mano de Metate | IN-5A-1-4 | 1 | 282.81 | |
| | IN-5A-1-5 | 1 | 195.77 | |

| | | | | |
|-----------------------|----------------------|---|--------|----------------------|
| Mano de Metate | IN-5A-1-5 | 1 | 309.54 | |
| | IN-5A-6-9 | 1 | 132.39 | |
| | IN-5A-6-10 | 1 | 345.18 | |
| | IN-5A-6-10 | 1 | 403.14 | |
| | Superficie Op. 1B | 1 | 157.29 | |
| | Superficie Op. 1B | 1 | 400.32 | |
| Metate | IN-5A-2-1 | 1 | 55.00 | |
| | IN-5A-2-2 | 2 | 51.40 | |
| | IN-5A-3-2 | 1 | | Peso >500g |
| | IN-5A-6-1 | 1 | 252.11 | |
| | IN-5A-6-1 | 1 | 158.50 | |
| | IN-5A-6-1 | 1 | 81.63 | |
| | IN-5A-6-1 | 1 | 78.83 | |
| | IN-5A-6-1 | 1 | 64.30 | |
| | IN-5A-6-1 | 1 | 13.27 | |
| | IN-5A-6-1 | 1 | 49.58 | |
| | IN-5A-6-2 | 1 | 79.17 | |
| | IN-5A-6-2 | 1 | 170.33 | |
| | IN-5A-6-2 | 1 | 17.05 | |
| | IN-5A-6-2 | 1 | 63.91 | |
| | IN-5A-6-2 | 1 | 33.51 | |
| | IN-5A-6-2 | 1 | 4.97 | |
| | IN-5A-6-2 | 1 | 24.07 | |
| | IN-5A-6-2 | 1 | 23.90 | |
| | IN-5A-6-3 | 1 | 48.69 | |
| | IN-5A-6-3 | 1 | 103.62 | |
| | IN-5A-6-4 | 1 | 1.80 | |
| | IN-5A-7-1 | 1 | 85.67 | |
| | IN-5A-7-2 | 1 | 86.70 | |
| | Superficie Op. 1B | 1 | 195.53 | |
| Obsidiana | IN-1B-1-1 | 1 | 0.63 | Navaja |
| | IN-2A-2-2 | 2 | 1.14 | Navajas |
| | IN-3A-1-2 | 2 | 0.57 | 1 navaja, 1 debitage |
| | IN-3A-1-3 | 2 | 0.85 | Navajas |
| | IN-3A-2-2 | 1 | 1.21 | Navaja |
| | IN-3B-1-2 | 2 | 1.27 | 1 navaja, 1 lasca |
| | IN-3B-1-3 | 3 | 1.54 | Navajas |
| | IN-4A-1-2 | 3 | 1.09 | 2 navajas, 1 lasca |
| | IN-4A-2-1 | 1 | 0.35 | Navaja |

| | | | | |
|------------------|------------|-----|--------|-------------------------------|
| Obsidiana | IN-5A-1-3 | 4 | 1.33 | 3 navajas, 1 debitage |
| | IN-5A-1-5 | 3 | 0.78 | 1 navaja, 1 lasca, 1 debitage |
| | IN-5A-1-6 | 4 | 0.84 | Lascas |
| | IN-5A-2-2 | 1 | 0.63 | Navaja |
| | IN-5A-3-2 | 1 | 2.06 | Navaja |
| | IN-5A-6-2 | 2 | 2.33 | Navajas |
| | IN-5A-6-3 | 1 | 0.12 | Navaja |
| | IN-5A-6-4 | 10 | 4.83 | 7 lascas, 3 navajas |
| | IN-5A-6-6 | 2 | 0.65 | Navajas |
| | IN-5A-6-10 | 1 | 0.31 | Navaja |
| | IN-5A-6-10 | 3 | 1.92 | Navajas |
| | IN-5A-6-10 | 1 | 0.23 | Navaja |
| | IN-5A-6-11 | 5 | 0.95 | Lascas |
| | IN-5A-6-12 | 2 | 0.34 | Lascas |
| | IN-5A-11-3 | 1 | 2.05 | Navaja |
| | IN-5A-12-3 | 1 | 0.72 | 1 lasca |
| Pedernal | IN-1B-1-1 | 8 | 73.80 | Lascas |
| | IN-1B-1-2 | 15 | 45.50 | Lascas |
| | IN-2A-2-2 | 2 | 9.60 | Lascas |
| | IN-3A-1-1 | 3 | 7.67 | Lascas |
| | IN-3A-1-2 | 8 | 57.97 | Lascas |
| | IN-3A-1-3 | 16 | 96.94 | Lascas |
| | IN-3A-1-4 | 6 | 57.57 | Lascas |
| | IN-3A-2-1 | 6 | 21.04 | Lascas |
| | IN-3A-2-2 | 4 | 18.73 | Lascas |
| | IN-3B-1-1 | 56 | 219.49 | Lascas |
| | IN-3B-1-1 | 1 | 4.49 | Punta proyectil |
| | IN-3B-1-2 | 1 | 202.70 | Hacha |
| | IN-3B-1-2 | 168 | 281.25 | Lascas |
| | IN-3B-1-3 | 117 | 185.68 | Lascas |
| | IN-4A-1-1 | 4 | 18.28 | Lascas |
| | IN-4A-1-2 | 12 | 41.60 | Lascas |
| | IN-4A-1-2 | 1 | 26.73 | Núcleo bifacial |
| | IN-4A-1-3 | 1 | 1.72 | Lasca |
| | IN-4A-1-4 | 1 | 54.10 | Núcleo |
| | IN-4A-2-1 | 6 | 18.25 | Lascas |
| | IN-4A-2-2 | 21 | 37.80 | Lascas |
| | IN-4A-2-2 | 1 | 23.94 | Lasca retocada (bifacial) |
| | IN-5A-1-1 | 1 | 1.22 | Lasca |
| | IN-5A-1-2 | 4 | 38.63 | Lasca |
| | IN-5A-1-3 | 43 | 141.14 | Lascas |

| | | | | |
|-----------------|------------|----|--------|-----------------------|
| Pedernal | IN-5A-1-3 | 3 | 7.98 | Puntas proyectil |
| | IN-5A-1-4 | 5 | 9.81 | Lascas |
| | IN-5A-1-5 | 17 | 21.04 | Lascas |
| | IN-5A-1-6 | 5 | 13.92 | Lascas |
| | IN-5A-2-1 | 1 | 3.41 | Lasca |
| | IN-5A-2-2 | 1 | 4.24 | Lasca |
| | IN-5A-2-2 | 1 | 5.89 | Punta proyectil |
| | IN-5A-4-2 | 1 | 9.40 | Punta proyectil |
| | IN-5A-5-1 | 1 | 9.38 | Punta proyectil |
| | IN-5A-6-1 | 1 | 1.76 | Punta proyectil |
| | IN-5A-6-2 | 1 | 10.14 | Lasca |
| | IN-5A-6-3 | 9 | 23.40 | Lascas |
| | IN-5A-6-4 | 22 | 119.27 | Lascas |
| | IN-5A-6-4 | 1 | 116.06 | Punta proyectil |
| | IN-5A-6-4 | 1 | 88.82 | Punta proyectil |
| | IN-5A-6-4 | 1 | 9.58 | Punta proyectil |
| | IN-5A-6-5 | 1 | 0.76 | Lasca |
| | IN-5A-6-6 | 8 | 11.13 | Lascas |
| | IN-5A-6-7 | 2 | 3.66 | Lascas |
| | IN-5A-6-9 | 3 | 9.82 | Lascas |
| | IN-5A-6-9 | 1 | 12.98 | Punta proyectil |
| | IN-5A-6-10 | 1 | 12.32 | Lasca retocada |
| | IN-5A-6-10 | 1 | 83.67 | Núcleo |
| | IN-5A-6-10 | 8 | 37.04 | Lascas |
| | IN-5A-6-10 | 1 | 33.34 | Navaja semi-circular |
| | IN-5A-6-10 | 1 | 10.15 | Punta proyectil |
| | IN-5A-6-11 | 10 | 30.25 | Lascas |
| | IN-5A-6-12 | 3 | 8.23 | Lascas |
| | IN-5A-11-3 | 1 | 20.80 | Lasca |
| | IN-5A-12-1 | 3 | 8.10 | Lascas |
| | IN-5A-12-3 | 5 | 29.42 | Lascas |
| | IN-5A-13-3 | 1 | 5.95 | Lasca |
| | IN-5C-1-1 | 1 | 269.60 | Hacha |
| | IN-5C-1-1 | 1 | 14.65 | Lasca |
| | IN-5C-1-2 | 1 | 0.63 | Lasca |
| | IN-6A-1-2 | 1 | 0.72 | Lasca |
| | IN-8A-1-2 | 1 | 1.48 | Lasca, córtex parcial |
| | IN-8A-2-3 | 1 | 1.18 | Bifacial |
| | IN-8A-2-3 | 1 | 1.02 | Lasca |
| | IN-8A-2-3 | 1 | 1.02 | Lasca |
| | IN-9A-1-1 | 1 | 1.53 | Lasca |

| | | | | |
|-------------------|-----------|---|-------|---------------|
| Pedernal | IN-9A-1-3 | 2 | 5.16 | Lascas |
| | IN-9A-1-3 | 2 | 5.16 | Lascas |
| | IN-9A-1-3 | 1 | 2.04 | Piedra pulida |
| Pómez | IN-1B-1-1 | 1 | 2.19 | |
| Serpentina | IN-3B-1-3 | 1 | 46.50 | Azuela |
| | IN-4A-1-1 | 1 | 45.29 | Azuela |
| | IN-5A-1-3 | 1 | 1.22 | |
| | IN-5A-3-2 | 1 | 0.85 | |

APÉNDICE 2
TABLAS DE LA CLASIFICACIÓN MÚLTIPLE DE CERÁMICA DEL
SITIO LA SELVA, 2015

Whittaker Schroder

La Selva 2015

| Ref. | Sitio | Pasta | Acab. Sup | Dec. | Forma | Diag. | Frec. | Peso | Observ. | Clase.Sub-Clase |
|------|-----------|---|----------------------------|-------------------|-----------------------------|--------|-------|-------|---|------------------|
| 5000 | LS-3B-1-1 | 33. Carbonata do de Paredes Delgadas | Alisado/En gobe | | Olla Paredes Delgadas | Cuerpo | 38 | 186.7 | Mayoría alisado, engobe en un ejemplo | 3.9 |
| 5001 | LS-3B-1-1 | 22. Carbonata da | Alisado | | Cazuela | Cuerpo | 47 | 393.0 | | 5.9 |
| 5002 | LS-3B-1-1 | 22. Carbonata da | Alisado | Estriada | Olla Estriada | Cuerpo | 15 | 123.0 | | 3.8 |
| 5003 | LS-3B-1-1 | 22. Carbonata da | Alisado | Estriada | Olla Estriada | Borde | 1 | 12.3 | | 3.8 |
| 5004 | LS-3B-1-1 | 22. Carbonata da | Alisado | | Cazuela | Borde | 1 | 15.2 | | 5.9 |
| 5005 | LS-3B-1-1 | 19. Carbonata da con Engobe Peten Lustroso | Engobe rojo lustroso | Pos. policroma | Olla | Cuerpo | 1 | 6.0 | Pos. Tinaja Rojo | formas varias |
| 5006 | LS-3B-1-1 | 19A. Policromia | Engobe crema | Pos. policroma | Cajete Tripode | Borde | 1 | 4.3 | | formas varias |
| 5007 | LS-3B-1-1 | 9. Caolinitica | Alisado | | Cajete Tripode | Borde | 1 | 2.0 | | s/f |

| | | | | | | | | | | |
|------|-----------|-------------------------------------|---------|--|--------------------------------|---------|----|-------|--------------------|---------|
| 5008 | LS-3B-1-1 | 6. Arenosa | Alisado | | Olla Paredes Delgadas | Cuerpo | 1 | 1.5 | | 3.2 |
| 5009 | LS-3B-1-1 | No Identificadas | | | | | 1 | 5.5 | | s/f |
| 5010 | LS-3B-1-1 | 22. Carbonatada | Alisado | | Incensario | Soporte | 1 | 173.9 | | clase 8 |
| 5011 | LS-3A-1-1 | 22. Carbonatada | Alisado | | Cazuela | Cuerpo | 18 | 159.9 | | 5.9 |
| 5012 | LS-3A-1-1 | 22. Carbonatada | Alisado | | Cazuela | Borde | 4 | 101.4 | | 5.9 |
| 5013 | LS-3A-1-1 | 31. Carbonatado Fino | Alisado | | Cuenco | Borde | 1 | 8.5 | | 1.8 |
| 5014 | LS-3A-1-1 | 31. Carbonatado Fino | Alisado | | Plato Tripode | Borde | 1 | 10.3 | | 6.7 |
| 5015 | LS-3A-1-1 | 33. Carbonatado de Paredes Delgadas | Alisado | | Olla Paredes Delgadas | Cuerpo | 7 | 29.2 | | 3.9 |
| 5016 | LS-3A-1-1 | 31. Carbonatado Fino | Alisado | | Plato Tripode | Cuerpo | 1 | 9.1 | Recortado -- disco | 6 |
| 5017 | LS-3A-1-1 | 33. Carbonatado de Paredes Delgadas | Alisado | | Olla Paredes Delgadas Muescada | Borde | 1 | 4.5 | | 3.2 |

| | | | | | | | | | | |
|--------|-----------|--------------------------------------|-----------------------|----------|----------------------------|--------|----|-------|------|---------------|
| 5018 | LS-3A-1-1 | 4. Negro Fino | Engobe negro jabonoso | | Cuenco | Cuerpo | 2 | 1.7 | | s/f |
| 5019 | LS-3A-1-1 | 19A. Policromia | Engobe crema | | Cajete | Cuerpo | 2 | 11.8 | | formas varias |
| 5020 | LS-3A-1-1 | 6. Arenosa | Alisado | | Cajete | Cuerpo | 2 | 25.7 | Base | 2 |
| 5021 | LS-3A-1-1 | 25. Miscelanea | Alisado | | Tapa/Comal | Borde | 1 | 6.5 | | s/f |
| 5022 | LS-3A-1-1 | 22. Carbonata da | Alisado | Estriada | Olla Estriada | Cuerpo | 34 | 520.7 | | 3.8 |
| 5023 | LS-3A-1-1 | 33. Carbonata do de Paredes Delgadas | Alisado | | Cajete de Paredes Delgadas | Cuerpo | 29 | 63.1 | | 2 |
| 5024 | LS-3B-1-4 | 22. Carbonata da | Alisado | | Cazuela | Borde | 5 | 245.1 | | 5.9 |
| 5024/1 | LS-3B-1-4 | 22. Carbonata da | Alisado | | Platon | Borde | 1 | 13.1 | | 7 |
| 5025 | LS-3B-1-4 | 22. Carbonata da | Alisado | | Cazuela | Cuerpo | 12 | 109.4 | | 5.9 |
| 5026 | LS-3B-1-4 | 33. Carbonata do de Paredes Delgadas | Alisado | | Olla Paredes Delgadas | Cuerpo | 6 | 39.2 | | 3.9 |

| | | | | | | | | | | |
|------|-----------|--|--------------------------|-------------------|-----------------------------|--------|----|-------|----------------------------|------------------|
| 5027 | LS-3B-1-4 | 22. Carbonata da | Alisado | Estriada | Olla de Cuello Largo | Cuerpo | 17 | 331.2 | Ejemplos recortado s | 3.8 |
| 5028 | LS-3B-1-4 | 19A. Policromia | Engobe | Policroma | Formas Varias | Cuerpo | 2 | 18.5 | Negro, crema, rojo | formas varias |
| 5029 | LS-3B-1-4 | 6. Arenosa | Engobe crema | Pos. policroma | Beaker | Cuerpo | 1 | 4.2 | | s/f |
| 5030 | LS-3B-1-4 | 11. Núcleo de Textura Jabonosa | Engobe | | Cajete Tripode | Cuerpo | 1 | 5.2 | | 6 |
| 5031 | LS-3B-1-4 | 25. Miscelane a | | | | | 1 | 6.2 | Figurina felina | s/f |
| 5032 | LS-3B-1-3 | 22. Carbonata da | Alisado | Estriada | Olla Estriada | Cuerpo | 41 | 745.0 | Ejemplos recortado s | 3.8 |
| 5033 | LS-3B-1-3 | 19A. Policromia | Engobe | Policroma | Plato | Cuerpo | 1 | 1.8 | Parte de 5028 | 6 |
| 5034 | LS-3B-1-3 | 33. Carbonata do de Paredes Delgadas | Alisado | | Olla Paredes Delgadas | Cuerpo | 40 | 111.5 | | 3.9 |
| 5035 | LS-3B-1-3 | 22. Carbonata da | Engobe rojo, negro | | Cazuela | Cuerpo | 44 | 375.6 | | 5.9 |
| 5036 | LS-3B-1-3 | No Identificad as | | | | | 13 | 36.0 | | s/f |
| 5037 | LS-3B-1-3 | 25. Miscelane a | Alisado | | | Borde | 1 | 3.8 | Fino | s/f |

| | | | | | | | | | | |
|------|-----------|--|------------------------------------|-------------------|-----------------------------|---------|---|-------|------------------------|------------------|
| 5038 | LS-3B-1-3 | 22. Carbonata da | Alisado | | Comal | Borde | 1 | 13.7 | | 9 |
| 5039 | LS-3B-1-3 | 9. Caolinitica | Alisado | | Beaker | Cuerpo | 1 | 3.6 | | 1.2 |
| 5040 | LS-3B-1-3 | 31. Carbonata do Fino | Alisado | | Beaker | Cuerpo | 2 | 7.6 | | 1 |
| 5041 | LS-3B-1-3 | 6. Arenosa | Alisado | | Beaker | Cuerpo | 8 | 22.4 | | 1 |
| 5042 | LS-3B-1-3 | 6. Arenosa | Engobe | Pos. policroma | Cajete | Cuerpo | 6 | 20.8 | | formas varias |
| 5043 | LS-3B-1-3 | 6. Arenosa | Engobe | Pos. policroma | Cajete | Borde | 2 | 34.8 | | formas varias |
| 5044 | LS-3A-1-3 | 22. Carbonata da | Alisado | Estriada | Olla Estriada | Cuerpo | 8 | 113.0 | | 3.8 |
| 5045 | LS-3A-1-3 | 25. Miscelane a | Engobe rojo, café | | | Soporte | 4 | 14.7 | | s/f |
| 5046 | LS-3A-1-3 | 33. Carbonata do de Paredes Delgadas | Alisado | | Olla Paredes Delgadas | Cuerpo | 1 | 3.8 | | 3.9 |
| 5047 | LS-3A-1-3 | 22. Carbonata da | Alisado | | Cazuela | Varias | 4 | 27.8 | 2 cuerpos, 2 bordes | 5.9 |
| 5048 | LS-3A-1-3 | 19A. Policromia | Engobe negro, rojo, crema | Policroma | Cajete | Cuerpo | 3 | 14.5 | | formas varias |

| | | | | | | | | | | |
|------|-----------|---|-----------------------------|---------------------------------|-----------------------------|--------|----|-------|---|-----|
| 5049 | LS-3B-1-2 | 22. Carbonata da | Alisado | Estriada | Olla Estriada | Cuerpo | 36 | 406.5 | Ejemplos recortado s | 3.8 |
| 5050 | LS-3B-1-2 | 22. Carbonata da | Alisado | | Cazuela | Cuerpo | 37 | 327.7 | | 5.9 |
| 5051 | LS-3B-1-2 | 25. Miscelane a | | | | | 5 | 45.8 | Figurilla/in censario, talcosa | s/f |
| 5052 | LS-3B-1-2 | 25. Miscelane a | | | | | 1 | 7.4 | Figurilla, fragmento de un brazo | s/f |
| 5053 | LS-3B-1-2 | 33. Carbonata do de Paredes Delgadas | Alisado | | Olla Paredes Delgadas | Cuerpo | 13 | 96.8 | | 3.9 |
| 5054 | LS-3B-1-2 | 19. Carbonata da con Engobe Peten Lustroso | Engobe rojo, lustroso | | Plato | Cuerpo | 1 | 2.5 | Pos. Tinaja Rojo | 6 |
| 5055 | LS-3B-1-2 | 22. Carbonata da | Alisado | Impresado debajo de borde | Cazuela | Borde | 1 | 15.6 | forma nueva | 1.8 |
| 5056 | LS-3B-1-2 | No Identificad as | | | | | 21 | 51.3 | | s/f |
| 5057 | LS-3B-1-2 | 9. Caolinitica | Alisado | | Plato | Cuerpo | 1 | 13.3 | | 6.3 |
| 5058 | LS-3B-1-2 | 19A. Policromia | Engobe crema | Policroma | Plato Tripode | Varias | 8 | 30.5 | 1 borde, 1 soporte | 6.2 |

| | | | | | | | | | | |
|------|-----------|-----------------------|----------------------|----------|--------------------------------|--------|----|--------|---------------------|-----|
| 5059 | LS-3B-1-2 | 2. Gris Fino | Engobe gris | | Beaker | Cuerpo | 1 | 2.4 | | s/f |
| 5060 | LS-3B-1-2 | 25. Miscelanea | Alisado | | | | 3 | 6.3 | Poroso (pos. tarde) | s/f |
| 5061 | LS-3B-1-2 | 22. Carbonata da | Alisado | Estriada | Olla Estriada | Borde | 2 | 28.1 | | 3.8 |
| 5062 | LS-3B-1-2 | 22. Carbonata da | Alisado | | Olla Paredes Delgadas | Cuerpo | 11 | 28.8 | | 3.9 |
| 5063 | LS-3B-1-2 | 31. Carbonata do Fino | Alisado | | Plato Tripode | Borde | 1 | 4.2 | | 6 |
| 5064 | LS-3B-1-2 | 10. Aluvion | Pulido, Engobe negro | | Cajete | Cuerpo | 2 | 4.2 | | s/f |
| 5065 | LS-3B-1-2 | 6. Arenosa | Alisado | | Beaker | Varias | 12 | 62.1 | 2 soportes | 1 |
| 5066 | LS-3B-1-2 | 25. Miscelanea | Alisado | | Beaker | Cuerpo | 1 | 2.0 | | 1 |
| 5067 | LS-3B-1-2 | 6. Arenosa | Alisado | | Olla Paredes Delgadas Muescada | Varias | 8 | 48.0 | 1 borde | 3.2 |
| 5068 | LS-3A-1-2 | 22. Carbonata da | Alisado | Estriada | Olla Estriada | Cuerpo | 51 | 1159.6 | Ejemplos recortados | 3.9 |
| 5069 | LS-3A-1-2 | 22. Carbonata da | Alisado | Estriada | Olla Estriada | Cuerpo | 66 | 1134.2 | | 3.8 |

| | | | | | | | | | | |
|------|-----------|-----------------------|--------------|----------|--------------------------------|--------|-----|--------|--------------------------------------|-----|
| 5070 | LS-3A-1-2 | 22. Carbonata da | Alisado | Estriada | Olla Estriada | Cuerpo | 129 | 979.4 | Xute en el temper | 3.8 |
| 5071 | LS-3A-1-2 | 22. Carbonata da | Alisado | | Cazuela | Cuerpo | 50 | 1316.6 | Ejemplos recortados | 5.9 |
| 5072 | LS-3A-1-2 | 22. Carbonata da | Alisado | | Cazuela | Cuerpo | 70 | 972.5 | Ejemplos recortados | 5.9 |
| 5073 | LS-3A-1-2 | 22. Carbonata da | Alisado | | Cazuela | Cuerpo | 186 | 1023.4 | | 5.9 |
| 5074 | LS-3A-1-2 | 22. Carbonata da | Alisado | | Olla | Borde | 3 | 75.3 | | 3.8 |
| 5075 | LS-3A-1-2 | 22. Carbonata da | Alisado | | Cazuela | Borde | 18 | 559.8 | | 5.9 |
| 5076 | LS-3A-1-2 | 31. Carbonata do Fino | Alisado | | Cajete Tripode | Borde | 5 | 32.3 | | |
| 5077 | LS-3A-1-2 | 31. Carbonata do Fino | Engobe negro | | Olla | Cuerpo | 1 | 21.7 | posiblemente forma nueva (sin borde) | 3 |
| 5078 | LS-3A-1-2 | 6. Arenosa | Alisado | | Olla Paredes Delgadas Muescada | Varias | 3 | 14.1 | 2 bordes, 1 cuerpo | 3.2 |
| 5079 | LS-3A-1-2 | 1. Talcosa | Alisado | | Plato Tripode | Varias | 5 | 23.7 | 1 borde, 4 cuerpos | 6.8 |
| 5080 | LS-3A-1-2 | 6. Arenosa | Alisado | | Beaker | Cuerpo | 20 | 73.2 | | |

| | | | | | | | | | | |
|--------|-----------|--|--------------------------|--------|---|---------|----|-------|-----------|------------------|
| 5081 | LS-3A-1-2 | 10. Aluvion | Alisado | | Beaker | Cuerpo | 2 | 9.8 | | s/f |
| 5082 | LS-3A-1-2 | 31. Carbonata do Fino | Alisado | | Plato Tripode | Soporte | 3 | 32.6 | | 6 |
| 5083 | LS-3A-1-2 | 25. Miscelane a | Alisado | | | | 1 | 3.4 | Figurilla | s/f |
| 5084 | LS-3A-1-2 | 8. Micacea | Alisado | | Cajete | Cuerpo | 1 | 40.9 | | s/f |
| 5084/1 | LS-3A-1-2 | 8. Micacea | Alisado | | Plato Tripode | Borde | 1 | 11.7 | | 6 |
| 5085 | LS-3A-1-2 | 31. Carbonata do Fino | Engobe rojo | | Olla Paredes Delgadas Muescada | Cuerpo | 70 | 252.8 | | 3.9 |
| 5086 | LS-3A-1-2 | 31. Carbonata do Fino | Engobe rojo | | Olla Paredes Delgadas Muescada | Varias | 4 | 41.5 | 1 borde | 3.2 |
| 5087 | LS-3A-1-2 | 33. Carbonata do de Paredes Delgadas | Alisado | | Olla Paredes Delgadas | Cuerpo | 38 | 274.8 | | 3.9 |
| 5088 | LS-3A-1-2 | 33. Carbonata do de Paredes Delgadas | Alisado | | Olla Paredes Delgadas | Borde | 4 | 32.0 | | 3.9 |
| 5089 | LS-3A-1-2 | 19A. Policromia | Engobe crema, rojo | Inciso | Cajete | Cuerpo | 39 | 137.8 | | formas varias |

| | | | | | | | | | | |
|------|-----------|--|----------------------|--------|-----------------------------|--------|-----|-------|---|------------------|
| 5090 | LS-3A-1-2 | 19A. Policromia | Engobe crema | | Cajete | Borde | 2 | 16.0 | | formas varias |
| 5091 | LS-3A-1-2 | 1. Talcosa | Alisado | | Cajete | Cuerpo | 2 | 3.8 | | s/f |
| 5092 | LS-3A-1-2 | 6. Arenosa | Alisado | | Olla | Borde | 1 | 8.5 | | 3.11 |
| 5093 | LS-3A-1-2 | 6. Arenosa | Alisado | | Plato Tripode | Cuerpo | 5 | 27.3 | | 6 |
| 5094 | LS-3A-1-2 | 31. Carbonata do Fino | Engobe negro | Inciso | Beaker | Cuerpo | 2 | 12.8 | | 1 |
| 5095 | LS-3A-1-2 | 6. Arenosa | Pulido | Inciso | Beaker | Cuerpo | 63 | 207.6 | Soportes, bases | 1 |
| 5096 | LS-3A-1-2 | 6. Arenosa | Pulido | Inciso | Beaker | Borde | 7 | 45.9 | | 1.1 |
| 5097 | LS-3A-1-2 | 33. Carbonata do de Paredes Delgadas | Alisado | | Olla Paredes Delgadas | Cuerpo | 111 | 398.4 | | 3.9 |
| 5098 | LS-3A-1-2 | 25. Miscelane a | | | | | 2 | 10.4 | Tapa? | s/f |
| 5099 | LS-3A-1-2 | 31. Carbonata do Fino | Alisado | | Plato | Base | 1 | 11.7 | Base anular (Otolum 600-620 d.C.) | 7 |
| 5100 | LS-3A-1-2 | 9. Caolinitica | Alisado | | Cajete | Cuerpo | 3 | 12.5 | | 6.3 |
| 5101 | LS-3A-1-2 | 4. Negro Fino | Impresión de Roca | | Cajete | Cuerpo | 3 | 11.7 | | s/f |
| 5102 | LS-3A-1-2 | 31. Carbonata do Fino | Alisado | | Plato Tripode | Borde | 1 | 8.7 | | 6.8 |

| | | | | | | | | | | | |
|------|-----------|--|----------------------|----------|--|-----------------------------|--------|----|------|--|-----|
| 5103 | LS-3A-1-2 | 31. Carbonata do Fino | Alisado | | | Cuenco | Borde | 6 | 16.1 | | 1.4 |
| 5104 | LS-3A-1-2 | No Identificad as | | | | | | 14 | 61.5 | | s/f |
| 5105 | LS-4A-1-1 | 4. Negro Fino | Impresión de Roca | | | Cajete | Cuerpo | 1 | 5.9 | | s/f |
| 5106 | LS-4A-1-2 | 22. Carbonata da | Alisado | Estriada | | Olla Estriada | Cuerpo | 9 | 95.0 | | 3.8 |
| 5107 | LS-4A-1-2 | 33. Carbonata do de Paredes Delgadas | Alisado | | | Olla Paredes Delgadas | Cuerpo | 4 | 9.9 | | 3.9 |
| 5108 | LS-4A-1-3 | 6. Arenosa | Alisado | | | Olla Paredes Delgadas | Cuerpo | 2 | 4.8 | | 3.2 |
| 5109 | LS-4A-1-3 | 33. Carbonata do de Paredes Delgadas | Alisado | | | Olla Paredes Delgadas | Cuerpo | 4 | 7.6 | | 3 |
| 5110 | LS-3B-1-5 | 22. Carbonata da | Alisado | Estriada | | Olla Estriada | Cuerpo | 2 | 16.0 | | 3.8 |
| 5111 | LS-3B-1-5 | 30. Carbonato Burdo | Alisado | | | Cazuela | Cuerpo | 1 | 19.3 | | 5 |
| 5112 | LS-3B-1-5 | 22. Carbonata da | Alisado | | | Cazuela | Cuerpo | 1 | 22.2 | | 5 |

| | | | | | | | | | | |
|------|-----------|---|--------------------------------|-----------|---------------|--------|----|-------|----------|---------------|
| 5113 | LS-3B-1-5 | No Identificadas | | | | | 1 | 3.6 | | s/f |
| 5114 | LS-2A-2-1 | No Identificadas | | | | | 1 | 6.7 | | s/f |
| 5115 | LS-2A-1-1 | 19. Carbonatada con Engobe Peten Lustroso | Engobe negro | | Beaker | Cuerpo | 1 | 6.6 | | formas varias |
| 5116 | LS-2A-1-1 | 19. Carbonatada con Engobe Peten Lustroso | Engobe café | Inciso | Cajete | Cuerpo | 1 | 11.8 | | s/f |
| 5117 | LS-2A-1-1 | 20. Carbonatada Compacta | Engobe negro (int.) | | Cazuela | Cuerpo | 8 | 39.3 | | 5.9 |
| 5118 | LS-2A-1-1 | 30. Carbonato Burdo | Alisado | | Olla | Varias | 3 | 141.7 | 2 bordes | 3.8 |
| 5119 | LS-2A-1-1 | 30. Carbonato Burdo | Alisado | Estriada | Olla Estriada | Cuerpo | 16 | 185.4 | | 3.8 |
| 5120 | LS-2A-1-1 | 19A. Policromia | Engobe rojo, anaranjado, negro | Policroma | Cajete | Cuerpo | 9 | 29.2 | | formas varias |
| 5121 | LS-2A-1-1 | 19A. Policromia | Engobe rojo, | Policroma | Cajete | Borde | 1 | 1.1 | | formas varias |

| | | | | | | | | | | |
|------|-----------|------------------------------------|---|-----------|-----------------------------|--------|---|------|------------------------------|------------------|
| | | | anaranjado, negro | | | | | | | |
| 5122 | LS-2A-1-1 | 20. Carbonata da Compacta | Alisado | | Olla Paredes Delgadas | Cuerpo | 3 | 30.8 | | 3.9 |
| 5123 | LS-2A-1-1 | 19A. Policromia | Engobe crema, anaranjado | Policroma | Formas varias | Cuerpo | 2 | 8.6 | | formas varias |
| 5124 | LS-2A-1-1 | 19A. Policromia | Engobe crema, anaranjado | Policroma | | Borde | 1 | 4.4 | | formas varias |
| 5125 | LS-2A-2-1 | 19A. Policromia | Engobe crema, anaranjado | Policroma | | Cuerpo | 3 | 10.5 | Add these two together | s/f |
| 5126 | LS-2A-2-1 | 19A. Policromia | Engobe crema, anaranjado | Policroma | | Borde | 1 | 12.3 | | s/f |
| 5127 | LS-2A-2-1 | 19A. Policromia | Engobe anaranjado, rojo | Policroma | Plato Tripode | Borde | 1 | 6.0 | | 6.8 |
| 5128 | LS-2A-2-1 | 19A. Policromia | Engobe anaranjado, rojo, negro | Policroma | Plato Tripode | Cuerpo | 1 | 1.3 | | 6 |
| 5129 | LS-2A-2-1 | 20. Carbonata da Compacta | Engobe negro (int.) | | Cazuela | Cuerpo | 2 | 17.6 | Stored with LS- 2A-1-1 | 5.9 |

| | | | | | | | | | | |
|------|-----------|------------------------------------|---------------------------|----------|-----------------------------|--------|----|-------|--|-----|
| 5130 | LS-2A-2-1 | 30. Carbonato Burdo | Alisado | Estriada | Olla Estriada | Cuerpo | 1 | 5.9 | | 3.8 |
| 5131 | LS-2A-1-2 | 30. Carbonato Burdo | Engobe negro (int.) | Estriada | Olla Estriada | Cuerpo | 68 | 882.1 | | 3.8 |
| 5132 | LS-2A-1-2 | 20. Carbonata da Compacta | Alisado | | Olla Estriada | Cuerpo | 12 | 359.0 | | 5.9 |
| 5133 | LS-2A-1-2 | 20. Carbonata da Compacta | Alisado | | Cazuela | Borde | 7 | 379.6 | | 5.9 |
| 5134 | LS-2A-1-2 | 20. Carbonata da Compacta | Alisado | | Olla Paredes Delgadas | Cuerpo | 7 | 107.4 | | 3.9 |
| 5135 | LS-2A-1-2 | 20. Carbonata da Compacta | Alisado | | Olla Paredes Delgadas | Base | 1 | 40.2 | | 3.9 |
| 5136 | LS-2A-1-2 | 20. Carbonata da Compacta | Alisado | | Olla Paredes Delgadas | Borde | 1 | 8.3 | | 3.9 |
| 5137 | LS-2A-1-2 | 20. Carbonata da Compacta | Alisado | | Cazuela | Cuerpo | 3 | 54.5 | | 3.8 |
| 5138 | LS-2A-1-2 | 20. Carbonata da Compacta | Engobe rojo (int.) | | Cazuela | Cuerpo | 4 | 33.6 | | 5.9 |

| | | | | | | | | | | |
|------|-----------|---|------------------------------------|-----------------------|-----------------------------|--------|----|-------|--------------------------------|------------------|
| 5139 | LS-2A-1-2 | 20. Carbonata da Compacta | Engobe negro (int.) | | Cazuela | Cuerpo | 7 | 185.1 | | 5.9 |
| 5140 | LS-2A-1-2 | 20. Carbonata da Compacta | Engobe negro (int.) | | Olla Paredes Delgadas | Cuerpo | 10 | 95.6 | Carbonato compacto | 3.9 |
| 5141 | LS-2A-1-2 | 22. Carbonata da | Engobe negro (int.) | Estriada | Olla Estriada | Cuerpo | 5 | 39.1 | | 3.8 |
| 5142 | LS-2A-1-2 | 19. Carbonata da con Engobe Peten Lustroso | Engobe negro | Pos. policroma | Plato Tripode | Cuerpo | 7 | 30.1 | | 6 |
| 5143 | LS-2A-1-2 | 19. Carbonata da con Engobe Peten Lustroso | Engobe negro | Pos. policroma | Plato Tripode | Borde | 1 | 31.9 | | 6.8 |
| 5144 | LS-2A-1-2 | 25. Miscelane a | Engobe negro (int.) | | | Cuerpo | 1 | 5.7 | Usumacint a bajo | 3 |
| 5145 | LS-2A-1-2 | 19A. Policromia | Engobe crema, anaranjad o | Policroma, impreso | Cajete | Base | 1 | 2.7 | Base rehundido /remetido | 1 |
| 5146 | LS-2A-1-2 | 19A. Policromia | Engobe crema, negro, | Policroma | Formas varias | Cuerpo | 28 | 188.9 | | formas varias |

| | | | | | | | | | | |
|------|-----------|--------------------------------------|---------------------------------|-----------|-----------------------|--------|----|-------|--|-----|
| | | | anaranjado | | | | | | | |
| 5147 | LS-2A-1-2 | 19A. Policromia | Engobe crema, negro, anaranjado | Policroma | Cajete | Borde | 2 | 14.1 | | |
| 5148 | LS-2A-1-2 | No Identificadas | | | | | 8 | 12.0 | | |
| 5149 | LS-2A-2-2 | 30. Carbonato Burdo | Engobe negro, rojo (int.) | Estriada | Olla Estriada | Cuerpo | 44 | 839.5 | | 3.8 |
| 5150 | LS-2A-2-2 | 30. Carbonato Burdo | Engobe negro | | Cazuela | Cuerpo | 6 | 318.1 | | 5.9 |
| 5151 | LS-2A-2-2 | 30. Carbonato Burdo | Engobe negro | | Cazuela | Borde | 1 | 41.3 | | 5.9 |
| 5152 | LS-2A-2-2 | 30. Carbonato Burdo | Bayo | | Olla Paredes Delgadas | Borde | 1 | 9.3 | | 3.9 |
| 5153 | LS-2A-2-2 | 33. Carbonata do de Paredes Delgadas | Engobe negro | | Olla Paredes Delgadas | Cuerpo | 1 | 4.3 | | 3.9 |
| 5154 | LS-2A-2-2 | 20. Carbonata da Compacta | Bayo | | Cazuela | Cuerpo | 4 | 76.6 | | 5.9 |
| 5155 | LS-2A-2-2 | 20. Carbonata | Bayo | | Cazuela | Borde | 1 | 20.0 | | 5.9 |

| | | | | | | | | | | |
|------|-----------|------------------------------------|---|-------------------|------------------|--------|----|-------|-----------------------------|------------------|
| | | da Compacta | | | | | | | | |
| 5156 | LS-2A-2-2 | 22. Carbonata da | Engobe negro | | Cazuela | Cuerpo | 10 | 113.4 | | 5.9 |
| 5157 | LS-2A-2-2 | 20. Carbonata da Compacta | Bayo | Estriada | Cazuela | Cuerpo | 3 | 178.9 | | 5.9 |
| 5158 | LS-2A-2-2 | 22. Carbonata da | Engobe rojo, café | Estriada | Olla Estriada | Cuerpo | 1 | 8.2 | | 3.8 |
| 5159 | LS-2A-2-2 | 20. Carbonata da Compacta | Engobe rojo | | Cazuela | Cuerpo | 2 | 40.3 | | 5.9 |
| 5160 | LS-2A-2-2 | 20. Carbonata da Compacta | Alisado | Piedra impreso | Cazuela | Cuerpo | 2 | 11.5 | | 5 |
| 5161 | LS-2A-2-2 | No Identificad as | | | | | 4 | 26.7 | | |
| 5162 | LS-2A-2-2 | 8. Micacea | Engobe café (int.), crema (ext.) | | Cajete | Cuerpo | 1 | 7.7 | | s/f |
| 5163 | LS-2A-2-2 | 25. Miscelane a | Engobe negro (int.), rojo (ext.) | | Cajete | Cuerpo | 2 | 20.5 | Tipo Achiote | s/f |
| 5164 | LS-2A-2-2 | 19. Carbonata da con | Engobe negro, café | Pos. policroma | Plato Tripode | Cuerpo | 5 | 45.3 | Carbonata da compacta | formas varias |

| | | | | | | | | | | |
|------|-----------|---|--------------------------------|----------------|---------------|--------|----|-------|------------------------------|---------------|
| | | Engobe Peten Lustroso | | | | | | | | |
| 5165 | LS-2A-2-2 | 19. Carbonatada con Engobe Peten Lustroso | Engobe negro, café | Pos. policroma | Plato Tripode | Borde | 1 | 27.0 | | 6.8 |
| 5166 | LS-2A-2-2 | 19A. Policromia | Engobe rojo, crema, anaranjado | Policroma | Varias Formas | Cuerpo | 11 | 50.4 | Balche Tardio (Mataculabras) | formas varias |
| 5167 | LS-2A-2-2 | 19A. Policromia | Engobe rojo, crema, anaranjado | Policroma | Varias Formas | Borde | 11 | 137.0 | | formas varias |
| 5168 | LS-2A-2-2 | 25. Miscelanea | | | Varias Formas | Cuerpo | 4 | 14.6 | | s/f |
| 5169 | LS-2A-2-2 | 25. Miscelanea | | | | Borde | 3 | 33.0 | | s/f |
| 5170 | LS-2A-2-3 | 22. Carbonatada | Engobe negro, café | | Cazuela | Cuerpo | 2 | 17.7 | | 5.9 |
| 5171 | LS-2A-2-3 | 19. Carbonatada con Engobe Peten Lustroso | Engobe negro, rojo | Pos. policroma | Cajete | Borde | 1 | 19.5 | | |

| | | | | | | | | | | |
|------|-----------|---|---|-------------------|-----------------------------|--------|----|------|--------------------------------|------------------|
| 5172 | LS-2A-2-3 | 19. Carbonata da con Engobe Peten Lustroso | Engobe negro, rojo | Pos. policroma | Cajete | Cuerpo | 1 | 1.1 | | 1 |
| 5173 | LS-2A-2-3 | 20. Carbonata da Compacta | Engobe negro | | Olla Paredes Delgadas | Cuerpo | 3 | 29.5 | | 3.9 |
| 5174 | LS-2A-2-3 | 19A. Policromia | Engobe rojo, negro, anaranjad o | Policroma | Varias Formas | Cuerpo | 15 | 85.0 | | formas varias |
| 5175 | LS-2A-2-3 | 19A. Policromia | Engobe negro | Policroma | Cajete | Base | 1 | 7.7 | Base rehundido /remetido | 7 |
| 5176 | LS-2A-2-3 | 20. Carbonata da Compacta | Engobe negro | | Cazuela | Cuerpo | 4 | 62.8 | | 5.9 |
| 5177 | LS-2A-2-3 | 20. Carbonata da Compacta | Bayo | | Cazuela | Cuerpo | 2 | 31.5 | | 5.9 |
| 5178 | LS-2A-2-3 | 20. Carbonata da Compacta | Engobe rojo, café | | Cazuela | Cuerpo | 4 | 36.1 | | 5.9 |
| 5179 | LS-2A-2-3 | 20. Carbonata da Compacta | Engobe negro | | Cazuela | Borde | 1 | 54.5 | | 5.9 |

| | | | | | | | | | | |
|------|-----------|------------------------------------|--------------------------|-------------------|---|--------|----|-------|--------------------|-----|
| 5180 | LS-2A-2-3 | 30. Carbonato Burdo | Engobe negro | Estriada | Olla Estriada | Cuerpo | 14 | 212.0 | | 3.8 |
| 5181 | LS-2A-2-3 | 30. Carbonato Burdo | Engobe rojo | Estriada | Olla Estriada | Cuerpo | 9 | 105.0 | | 3.8 |
| 5182 | LS-2A-2-3 | 30. Carbonato Burdo | Bayo | Estriada | Olla Estriada | Cuerpo | 7 | 84.4 | | 3.8 |
| 5183 | LS-2A-2-3 | 30. Carbonato Burdo | Bayo | Estriada | Olla Estriada | Borde | 2 | 100.3 | | 3.8 |
| 5184 | LS-2A-1-3 | 22. Carbonata da | Engobe negro | | Cazuela | Cuerpo | 7 | 116.2 | | 5.9 |
| 5185 | LS-2A-1-3 | 30. Carbonato Burdo | Alisado | Estriada | Olla Estriada | Cuerpo | 2 | 53.0 | | 3.8 |
| 5186 | LS-2A-1-3 | 25. Miscelane a | | | | | 1 | 2.5 | Molde, soporte? | s/f |
| 5187 | LS-2A-1-3 | 6. Arenosa | Engobe café | Pos. policroma | Olla Paredes Delgadas Muescada | Cuerpo | 1 | 1.3 | | 3.2 |
| 5188 | LS-2A-1-3 | 20. Carbonata da Compacta | Engobe negro, café | | Olla Paredes Delgadas | Cuerpo | 1 | 16.1 | | 3.9 |
| 5189 | LS-2A-1-3 | 22. Carbonata da | Engobe negro | Estriada | Olla Estriada | Cuerpo | 4 | 60.7 | | 3.8 |
| 5190 | LS-2A-1-3 | 20. Carbonata | Bayo | | Cazuela | Cuerpo | 3 | 54.0 | | 5.9 |

| | | | | | | | | | | |
|------|-----------|------------------------------------|--|-----------|------------------|---------|---|-------|--|------------------|
| | | da Compacta | | | | | | | | |
| 5191 | LS-2A-1-3 | 20. Carbonata da Compacta | Engobe rojo interior | | Cazuela | Cuerpo | 3 | 232.1 | | 5.9 |
| 5192 | LS-2A-1-3 | 20. Carbonata da Compacta | Engobe negro interior | Estriada | Olla Estriada | Cuerpo | 3 | 24.3 | | 3.8 |
| 5193 | LS-2A-1-3 | 20. Carbonata da Compacta | Engobe rojo interior | | Cazuela | Borde | 1 | 40.7 | | 5.9 |
| 5194 | LS-2A-1-3 | 19A. Policromia | Engobe anaranjad o, rojo | Policroma | Varias Formas | Cuerpo | 9 | 48.6 | | formas varias |
| 5195 | LS-2A-1-3 | 19A. Policromia | Engobe anaranjad o, rojo | Policroma | Varias Formas | Borde | 4 | 119.1 | | formas varias |
| 5196 | LS-2A-6-4 | 19A. Policromia | Engobe anaranjad o, rojo, crema | Policroma | Plato Tripode | Borde | 1 | 63.7 | Saqueo, esquina oriental, 240 cm abajo | 6.1 |
| 5197 | LS-2A-6-4 | 30. Carbonato Burdo | Engobe negro interior | | Cazuela | Cuerpo | 1 | 17.2 | Saqueo, esquina oriental, 240 cm abajo | 5.9 |
| 5198 | LS-2A-6-3 | 25. Miscelane a | Alisado | | | Soporte | 1 | 20.6 | Pos. aluvion | 1 |

| | | | | | | | | | | |
|------|-----------|-----------------------------------|-----------------------|-----------|-----------------------|--------|---|-------|---|-----|
| 5199 | LS-2A-6-3 | 30. Carbonato Burdo | Engobe negro interior | | Cazuela | Cuerpo | 7 | 160.5 | Saqueo, esquina oriental, 140 cm abajo | 3.8 |
| 5200 | LS-2A-6-3 | 25. Miscelanea | Engobe | | Beaker | Borde | 1 | 3.1 | Estilo de Tabasco, 800 d.C., pos. aluvion | 1 |
| 5201 | LS-2A-4-4 | 30. Carbonato Burdo | Alisado | | Cazuela | Borde | 1 | 56.2 | Saqueo, esquina sur, 165 cm abajo | 5.9 |
| 5202 | LS-5A-1-1 | 22. Carbonatada | Engobe rojo interior | Estriada | Olla Estriada | Borde | 2 | 55.5 | Saqueo, lado Arturo | 3.8 |
| 5203 | LS-5A-1-1 | 22. Carbonatada | Alisado | | Cazuela | Cuerpo | 1 | 10.9 | Saqueo, lado Arturo | 5.9 |
| 5204 | LS-5A-1-1 | 33. Carbonado de Paredes Delgadas | Alisado | | Olla Paredes Delgadas | Cuerpo | 2 | 3.9 | Saqueo, lado Arturo | 3.9 |
| 5205 | LS-5A-1-1 | 22. Carbonatada | Alisado | Estriada | Olla Estriada | Cuerpo | 2 | 38.6 | Saqueo, lado Arturo | 3.8 |
| 5206 | LS-3A-1-1 | 19A. Policromia | Alisado | Policroma | Platon | Base | 1 | 4.3 | Base rehundido /remetido | 7 |
| 5207 | LS-3A-1-2 | 4. Negro Fino | Engobe negro | Acanalada | | Cuerpo | 2 | 2.5 | | s/f |

| | | | | | | | | | | |
|------|-----------|------------------------|---------|--|--------|-------|---|-------|--|-----|
| 5208 | LS-3A-1-2 | 22. Carbonata da | Alisado | | Cuenco | Borde | 1 | 105.2 | | 1.9 |
|------|-----------|------------------------|---------|--|--------|-------|---|-------|--|-----|